

لجنة البحث العلمي

تقدير عن

بيئة و مصادر المنطقة الساحلية
بين جدة و بنبع

المشروع المشترك

بين

جامعة علوم الحاسوب و مركز التراثة الأسلامية
بجدة

١٤٠٤
١٩٨٤

المحررون

- د. عبد القادر علي بحيري
د. عبد الرحمن الحولي
د. محمد محمود علي السيد

بِسْمِ اللَّهِ الرَّحْمَنِ الرَّحِيمِ

الفريق العلمي

صفحة

٢٤٨		(١) - هيدروبيولوجي	الدكتور/أحمد محمد إبراهيم
١٩		(١) - هيدروحراف	الدكتور/أمين حامد مشعل
١٩٥		(١) - بيئة بحرية «تلعث بترولي»	الدكتور/حسن السناعوش
٢٥٢		(١) - مصايد	الدكتور/محمد طلعت هاشم
٢٥٢		(١) - مصايد	الدكتور/عبد الرحمن الحوسي
١٩		(١) - هيدروحراف	الدكتور/محمد محسن عثمان
١٧٧		(١) - بيئة بحرية «مواد عضوية»	الدكتور محمد محمود على السيد
٢٢٥		(١) دراسات حيوياتية على رواسب تكتنوبات بحرية	الدكتور/محمد خميس السيد
١٦٢		(١) - بيئة بحرية «عناصر معدنية»	الدكتور/مسعود عبد الرحمن حس
٢٠٧		(١) - توزيع الفوارة منفراً القاعية	الدكتور/أحمد الدين محمد حسـب يوسف
١٩		(١) - هيدروحراف	السيد/أحمد فؤاد صبرة
١٦٢		(١) - بيئة بحرية «عناصر معدنية»	السيد/أسامة طه أبو الدهب
١٧٧		(١) - بيئة بحرية «مواد عضوية»	السيد/عبدالرؤوف عبد العزيز فريش
١٦٢		(١) - بيئة بحرية «عناصر معدنية»	السيد/مخلوق أمين فهمي
٢٥٢		(٢) مصايد	السيد/عارى عبدالله حريري
٢٥٢		(٢) مصايد	السيد/فيصل عبدالعزيز حاري
٢٥٢		(٢) مصايد	السيد/أرضا عبداللطيف مندورة
٢٥٢		(٢) - مصايد	السيد/عبد السلام صادق
٢٥٢		(٢) - مصايد	السيد/مدني أسعد فزار

(١) كلية علوم البحار جامعة الملك عبد العزيز

(٢) مركز أختات الشروة النسكية وزارة الزراعة والبيئة المملكة العربية السعودية

أ - مقدمة :

أ-١- التعرف بالمشروع .

أ-١-١- اسم المشروع .

أ-١-٢- الجهات المشتركة في المشروع .

أ-١-٣- الغرض من المشروع .

أ-١-٤- منطقة الدراسة .

أ-١-٥- جدول الرحلات .

أ-١-٥-١- المرحلة الأولى .

أ-١-٥-٢- المرحلة الثانية .

أ-١-٦- وسائل المشروع .

أ - مقدمة :

لقد تضاربت التقارير والامكانيات المتاحة للثروة السمكية بالبحر الأحمر بين ٢٥٠ ألف طنا من الأسماك الى نصف مليون طنا ، لاستخراج منها في الوقت الحالى أكثر من ثمانين ألف طن في كل مجموعة الدول العربية المطلة على البحر الأحمر .

ولو رجعنا الى الوراء غوصا في أعماق التاريخ نجد أن هذا البحر هو مركز جذب لأنظار العالم منذ أواسط القرن الثامن عشر عندما بدأ العالم بيتر فورسكال ١٧٦٧-١٧٦٦ تجميعه لأسماك البحر الأحمر ، ومن بعده تالت الرحلات الاستكشافية العديدة ، وكان من بينها الرحلة البحرية المصرية عام ١٩٣٤-١٩٣٥ م ، ورحلات المركب اكتيالوج الروسي لاختبار إمكانيات مصايد الشانشولا (١٩٦٤-١٩٦٥) والتي تمركز عملها في منطقة رأس بناس وخليج السويس من الشاطئ المصرى وكذلك العمل الجيد الذى قدمه بطرس ١٩٧١ م ، قال الذى سرد فيه التاريخ العلمى لبحث الأسماك في البحر الأحمر . ثم التقارير المختلفة لهيئة السمك الأبيض بالاشتراك مع وزارة الزراعة والمياه بالملكة العربية السعودية (١٩٧٩ م) .

يكون البحر الأحمر حوضا ضيقا طويلا يفصل بين قارني آسيا وأفريقيا وقد نشأ هذا البحر في العصر البايوسیني كخليج من البحر الأبيض المتوسط ثم انفصل هذا الخليج عن البحر نتيجة لعوامل جيولوجية مختلفة . وتوالى انفصال هذا الخليج عن البحر واتصاله به مع أحقاد الزمن المختلفة حيث تحول إلى بحيرة منفصلة تماما عن المحيط الهندي قرب بدء العصر البايوسیني .

ولم يقتصر إتصال البحيرة بالبحر الأبيض المتوسط ، بل إمتزجت مياهها بياه المحيط الهندي في العصر البايوسیني ، وامتزجت حيونات كل المحيط الهندي والبحر الأبيض عبر البحر الأحمر ، ثم انفصل البحر الأحمر مرة أخرى عن البحر المتوسط في أواخر العصر البايوسیني الى أن أخذ الإنسان على عاته عملية توصيل البحرين الأبيض المتوسط والأحمر - بافتتاح قناة السويس سنة ١٨٦٩ م .

ويمتد البحر الأحمر بين خطى عرض ٣٦°٠١٢ شمالي عند باب المدب الى ٣٠°٥٣ شمالي عند السويس ويضم طرفه الشمالي خليجي العقبة والسويس ويكون حوضا ضيقا طويلا يبلغ طوله حوالي ٢٠٠٠ كم ومتوسط عرضه ٢٨٠ كم يبلغ العرض مداه ٣٤٠ كم عند مصوع وأدناه ٢٢٠ كم قريبا من باب المدب الذي يبلغ عرضه ٢٧ كم .

ويتميز البحر الأحمر بقاع وعر غير منتظم تغطيه التلال المرتفعة نوعا ولكنها شديدة الانحدار ويظهر بعضها من فوق سطح الماء على شكل جزر والبعض الآخر يصل الى ما دون سطح الماء ، وتعطى الشعاب المرجانية اذا كانت قرية من السطح ، ومتوسط العمق ٤٩٠ مترا بالرغم من وجود أعمق تزيد عن ٢٠٠٠ مترا . وتحف بالشاطئ مجموعة من الشعاب المرجانية في أعماق لا تزيد عن ٥٠ مترا ولكنها تختلف في العرض من بضعة أمتار الى نصف الكيلومتر وتكون في خطوط موازية على

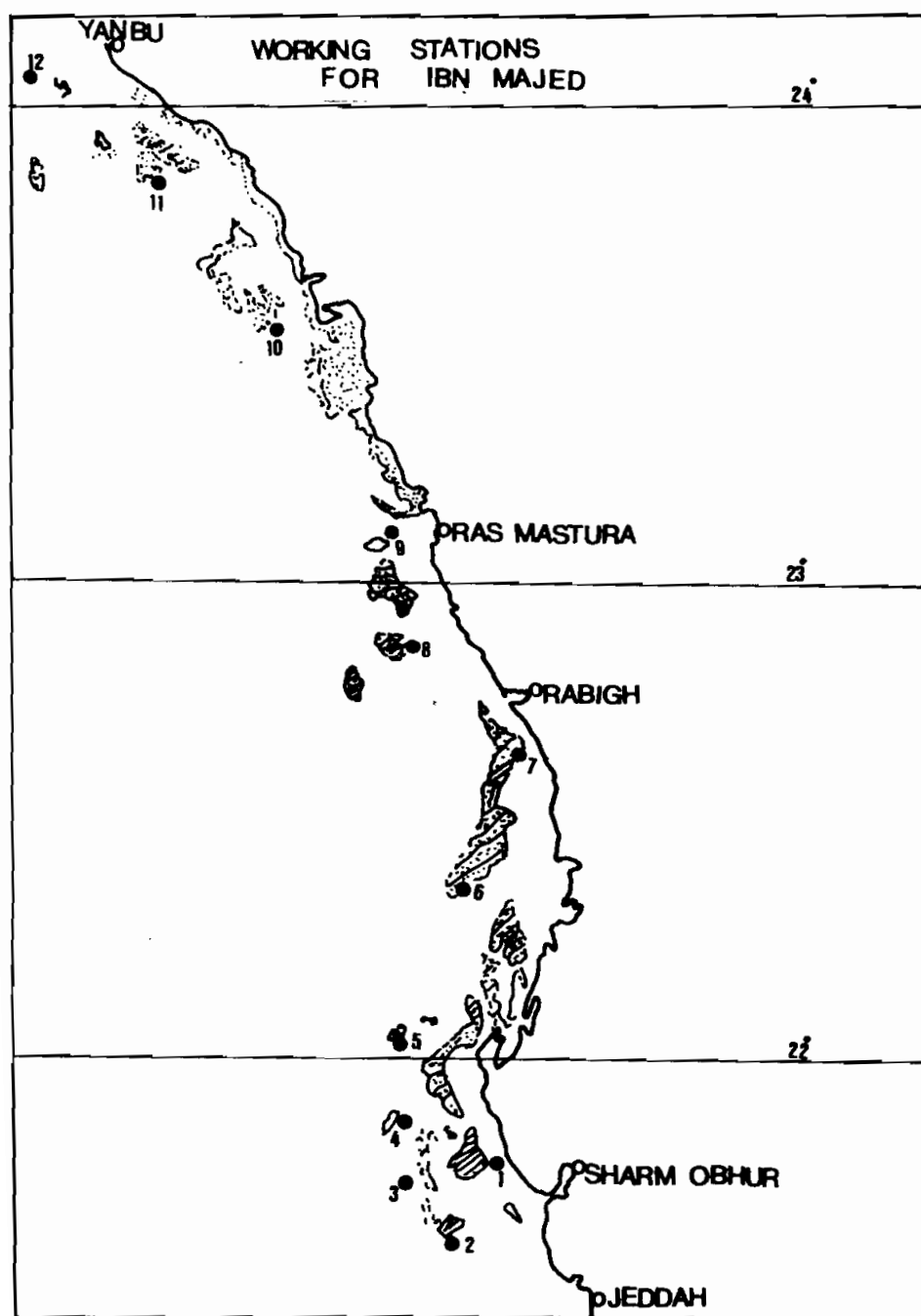


Fig 1

شكل (١١)

جدول رقم (١)

موقع وأعمق المحطات التي أجريت عند العمل الحقل

العمق حتى القاع (متر)	الموقع الجغرافي		رقم المخطة
	خط الطول شرقاً	خط العرض شمالاً	
٤٠	٥٣٨ ٥٩	٥٢١ ٤٦	١
١٥	٥٣٨ ٥٢	٥٢١ ٣٢	٢
٣٠	٥٣٨ ٤٦	٥٢١ ٤٣	٣
٢٠	٥٣٨ ٤٥	٥٢١ ٥١	٤
١٩	٥٣٨ ٤٦	٥٢٢ ٠٧	٥
٢٢	٥٣٨ ٥٣	٥٢٢ ٢١	٦
٢٩	٥٣٨ ٥٩	٥٢٢ ٣٩	٧
٢١	٥٣٨ ٤٣	٥٢٢ ٥٢	٨
١٩	٥٣٨ ٤١	٥٢٣ ٠٦	٩
٣٢	٥٣٨ ٣٦	٥٢٣ ٣١	١٠
٣٠	٥٣٨ ٠٩	٥٢٣ ٥٠	١١
٢٥	٥٣٧ ٥٣	٥٢٤ ٠٣	١٢

وفي المرحلة الثانية من المشروع تم إلغاء المخطوطين رقمي (٣،١) ليصبح عدد المخطوطات عشرة فقط . وأصبحت المخطة رقم (٢) في المرحلة الأولى هي رقم (١) في المرحلة الثانية والمخططة رقم (٤) أصبحت رقم (٢) والمخططة رقم (٥) أصبحت رقم (٣) وهكذا. شكل (١ ب)

وقد أجريت الدراسات الهيدرو جرافية عند هذه المخطوطات في المرحلة الأولى خلال رحلتين بحريتين في ديسمبر ١٩٨١ م وفي فبراير ١٩٨٢ م . وقد أظهرت تحليل بيانات هاتين الرحلتين أن عمود الماء متGANس في كل المخطوطات مما أظهر فروقاً رئيسية ضئيلة في الخصائص الفيزيائية للمياه ، ولذا فقد تركز الاهتمام على الفروق الأفقية .

المياه التي تمت دراستها خلال هاتين الرحلتين تقع في الجزء المحمي من المياه الساحلية المحصورة بين خط الساحل وال حاجز المرجاني ، ولا يتعدى العمق فيها ٥٠ متر ، ولا يمكن منها استنتاج حركة دوران المياه أمام الساحل السعودي بدرجة معقولة من الدقة . ولذلك فقد طور البرنامج الحقل للدراسات الهيدرو جرافية واتسع بحيث يشمل جمع عينات وأخذ القياسات الحقلية التي تساعد في

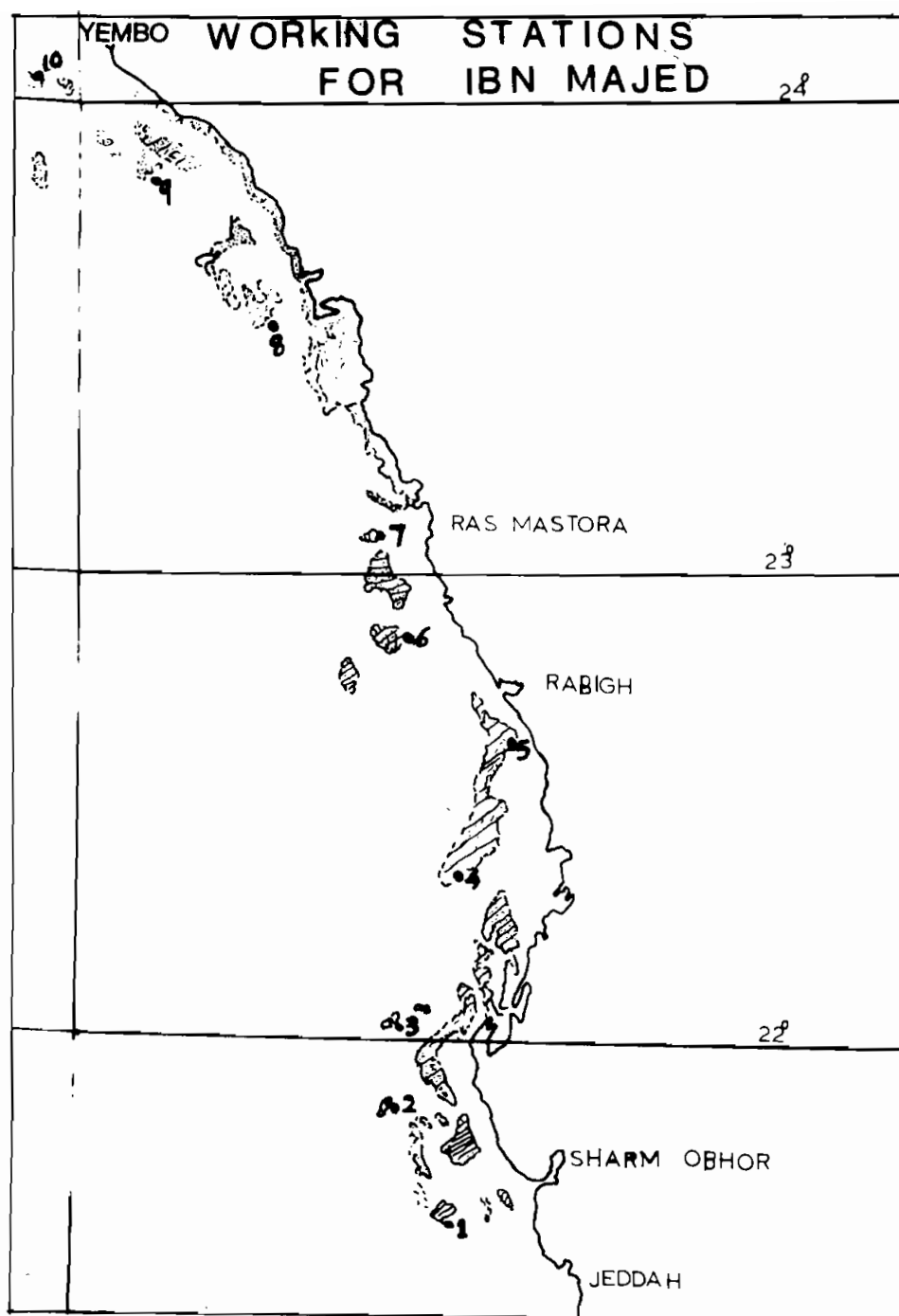


Fig 1

شكل (١ب)

دراسة الخصائص الفيزيائية للمياه الساحلية . فقسمت منطقة البحث الى ثلاثة قطاعات عمودية على خط الساحل تمتد في اتجاه شرق - غرب الى حوالي ٦٠ كم داخل البحر . ويقع القطاع الأول J أمام مدينة جدة عند خط عرض ٣٥°٢١' شمالا والقطاع الثاني R أمام مدينة رابغ عند خط عرض ٤٥°٢٢' و القطاع الثالث Q عند خط عرض ٤٥°٢٣' شمالا .

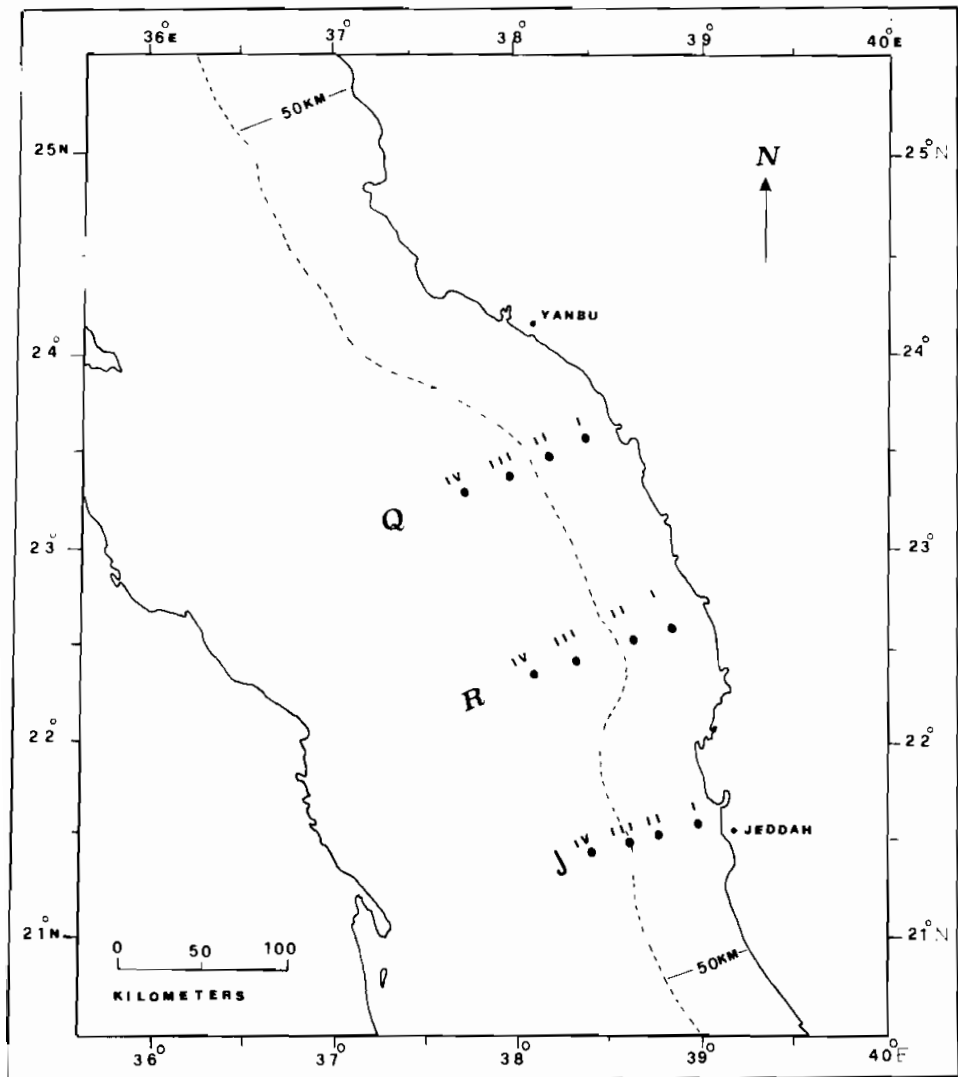
وأخذت القياسات عند أربع محطات على امتداد كل قطاع .. وبذلك يكون عدد المحطات الميدروجرافية ١٢ محطة . ويبين جدول رقم (٢) الموقع الجغرافي لكل محطة شكل (٢) .

جدول رقم (٢)

الموقع الجغرافي والعمق للمحطات الميدروجرافية التي أخذت في الرحلات

مارس ٨٢ - ديسمبر ٨٢ ومارس ١٩٨٣ م

القطاع	العمق بالметр	الموقع الجغرافي				رقم المحطة
		خط الطول شرقا	خط العرض شمالا			
J	٧٥٠	٥٣٩	٠٤	٥٢١	٤٣	J ١
	٧٥٠	٥٣٨	٥٦	٥٢١	٤٥	J ٢
	٧٢٥	٥٣٨	٤٨	٥٢١	٤٥	J ٣
	٨٠٠	٥٣٨	٤٢	٥٢١	٤٥	J ٤
R	٤٠٠	٥٣٨	٥٨	٥٢٢	٤٥	R ١
	٦٧٥	٥٣٨	٤٩	٥٢٢	٤٣	R ٢
	٦٠٠	٥٣٨	٤٢	٥٢٢	٤٢	R ٣
	٤٢٥	٥٣٨	٣٥	٥٢٢	٤١	R ٤
Q	٥٥٠	٥٣٨	٢٩	٥٢٣	٤٧	Q ١
	٨٥٠	٥٣٨	٢١	٥٢٣	٤٥	Q ٢
	٦٠٠	٥٣٨	١٦	٥٢٣	٤٥	Q ٣
	٥٥٠	٥٣٨	٠٩	٥٢٣	٤٤	Q ٤



SAMPLING STATION

Fig 2

شكل (٢) : توزيع المخطات الهيدروجرافية في منطقة البحث

أ - ١ - ٥ - جدول الرحلات :

أ - ١ - ٥ - ١ - المراحلة الأولى :

التاريخ	القائمون بالرحلة	رقم الرحلة
٢٤ ذي الحجة - ٣ محرم ١٤٠٢ هـ الموافق ٢٤/١٠/٣٠ م ٨١	د. عبد الرحمن الخولي د. أمين حامد مشعل فيصل بخارى رضاء مندورة	١ (استكشافية)
٢٥ - ١٨ محرم ١٤٠٢ هـ الموافق ١٤/١١/٢١ م ٨١	د. محمد طلعت هاشم د. أحمد إبراهيم غازي حريري	٢
١٤-١٦ و ٢١-٢١ صفر ١٤٠٢ هـ الموافق ١٠-٨ و ١٢-١٧ م ٨١	د. محمود خميس أسامة أبو الذهب فيصل بخارى رضاء مندورة	٣
٢١-١٤ ربى الأول ١٤٠٢ هـ الموافق ١٦-٩ يناير ١٩٨٢ م	د. عبد الرحمن الخولي غازي حريري	٤
١٥-٧ ربى الثاني ١٤٠٢ هـ الموافق ٩-١ فبراير ١٩٨٢ م	أسامة أبو الذهب أحمد فؤاد صبره	٥
٢٨ ربى ٢ - ٧ جمادى ١ ١٤٠٢ هـ الموافق ٢٢ فبراير - ٢ مارس ١٩٨٢ م	د. محمد طلعت هاشم د. أحمد إبراهيم على العيدروس غازي حريري	٦
٢٣ جمادى ١ - ٢ جمادى ٢ ١٤٠٢ هـ الموافق ٢٨-٢٠ مارس ١٩٨٢ م	د. أمين حامد مشعل د. محمد محسن عثمان عبد السلام صادق مدنى أسعد قفاز	٧

٨

د. نجم الدين يوسف
د. محمد السيد
عبد السلام صادق

٢٠-١٢ رجب ١٤٠٢ هـ
الموافق ١٣-٥ مايو ١٩٨٢ م

أ - ١ - ٥ - ٢ - المرحلة الثانية :

رقم الرحلة	القائمون بالرحلة	التاريخ
٩	د. عبد الرحمن الخولي د. أز نفريد أنطونيوس غازى حريرى	٢٦ ذى القعدة - ٣ محرم ١٤٠٢ هـ الموافق ٢٠-١٣ أكتوبر ١٩٨٢ م
١٠	د. مسعود عبد الرحمن ممدوح أمين فهمي رضا برلنji	٢٥-١٨ محرم ١٤٠٣ هـ الموافق ١١-٦ نوفمبر ١٩٨٢ م
١١	د. محمد طلعت هاشم د. أحمد ابراهيم غازى حريرى عبد السلام الصادق	١٥-٩ صفر ١٤٠٢ هـ الموافق ٣٠-٢٤ نوفمبر ١٩٨٢ م
١٢	د. أمين حامد مشعل د. درجا بر سادا راو	٢٨-٢٣ صفر ١٤٠٣ هـ الموافق ١٤-٨ ديسمبر ١٩٨٢ م
١٣	د. نجم الدين يوسف د. حسن البدنا أحمد فؤاد صبره	٢٧-٢١ جمادى الأولى ١٤٠٣ هـ الموافق ١٢-٦ مارس ١٩٨٣ م

أ - ١ - ٦ - وسائل المشروع :

(أ) مركب الأبحاث « ابن ماجد » (ملحق رقم ١) .
قامت وزارة الزراعة مشكورة بعد المشروع بمركبى أبحاث « ابن ماجد و عقام » .

- ب - هيدروجرافية منطقة الدراسة
- ب - ١ - مقدمة .
- ب - ٢ - الطرق والوسائل .
- ب - ٣ - الظروف الجوية العامة السائدة في منطقة الدراسة .
- ب - ٤ - نظام التيارات البحرية السائدة في البحر الأحمر .
- ب - ٥ - النتائج .

ب - ٥ - ١ - المراحل الأولى :

ب - ٥ - ١ - رحلة ديسمبر ١٩٨١ م .

ب - ٥ - ٢ - رحلة فبراير ١٩٨٢ م .

ب - ٥ - ٢ - المراحل الثانية :

ب - ٥ - ٢ - ١ رحلة مارس ١٩٨٢ م .

ب - ٥ - ٢ - ٢ رحلة ديسمبر ١٩٨٢ م .

ب - ٥ - ٢ - ٣ رحلة مارس ١٩٨٣ م .

ب - ٥ - ٣ - الكتل المالية .

ب - ٦ - المناقشة .

ب - ٧ - الخلاصة .

ب - ٨ - المراجع

ب - ١ - مقدمة

يهدف هذا البحث الى دراسة التغيرات الأفقية والرأسمية لبعض الخصائص الفيزيائية للمياه الساحلية للجزء الشرقي من البحر الأحمر أيام الساحل السعودي بين ميناء جدة وبنغ . وتشمل هذه الخصائص ملوحة المياه وحرارتها وكثافتها وتركيز الأكسجين الذائب فيها وذلك بغرض استخدام هذه التغيرات في استنباط الحركة الرأسية والأفقية للمياه في هذه المنطقة التي تغيرت في أى دراسات من البيئة البحرية وعن مصايد المنطقة

ب - ٢ - الطرق والوسائل

تم القيام بخمس رحلات بحرية لمنطقة البحث : تمت الرحلتان الأوليتان خلال شهر ديسمبر ١٩٨١ ، فبراير ١٩٨٢ م . وتمت فيما تغطية مواقع المحطات المبينة بالجدول (١) شكل (١١) . وفي كل محطة جمعت عينات للمياه لتعيين الأكسجين الذائب والملوحة تغير درجات الحرارة على امتداد عمود الماء من السطح وحتى قرب القاع الذى لم يتجاوز ٥٠ مترا في كل المحطات .

وتمت الرحلات الثلاث الباقية في الشهور : مارس ١٩٨٢ ، ديسمبر ١٩٨٢ ، ومارس ١٩٨٣ م وأخذت الدراسات والقياسات الحقلية عن المحطات الائتى عشر المبينة في الجدول (٢) وشكل (٢) وهذه المحطات موزعة على هيئة شبكة تتكون من ثلات قطاعات عرضية تمتد في اتجاه شرق غرب موازية لخط الساحل وهى J, R, Q وأربع قطاعات طولية تمتد في اتجاه جنوب - شمال موازية لخط الساحل تقريبا وهى ١ ، ٢ ، ٣ ، ٤ . وتتوزع المحطات الائتى عشر بحيث تتوارد واحدة منها عند تقاطع القطاع العرضي مع القطاع الطولى . فمثلا عند تقاطع القطاع العرضي J مع القطاع الطولى I تتوارد المخطة JI . جمعت عينات من الماء لتعيين كل من الأكسجين الذائب والملوحة وقيس درجات الحرارة وذلك عند الأعمق القياسية التى تمتد حتى عمق ٢٥٠ مترا .

جمعت القياسات السطحية باستخدام الدلو بملء الزجاجات مباشرة من سطح الماء . أما العينات التحت سطحية فقد تم الحصول عليها باستخدام زجاجات نانس القلابة . قيست درجات الحرارة السطحية باستخدام دلو وترموتر عادي مدرج الى أو. ٥ س^(١) ، بالإضافة الى استعمال الترمومترات القلابة أيضا لقياس درجة حرارة السطح . أما درجة حرارة المياه التحت سطحية فقد قيست باستخدام الترمومترات القلابة الحممية Protected reversing thermometer من انتاج شركة Kahlsico Co. . وتم كذلك تسجيل درجة الحرارة وتغيرها مع العمق حتى ٢٨٠ مترا باستخدام جهاز مسجل الحرارة والعمق Bathy thermograph من انتاج شركة Intercean .

حفظت عينات الملوحة في زجاجات سعة ٢٥٠ سم^٣ محكمة الأغلاق ، وجرى تحليلها في معامل كلية علوم البحار بأبجر فور العودة باستعمال مقياس الملوحة Salinometer من انتاج شركة Bekman وحسب الملوحة باستخدام جدول اليونسكو (UNESCO, 1973) أما عينات الأوكسجين فقد جرى ثبيتها فور جمع العينة وحفظت في مكان مظلم بعمق السفينة وجرى تحليلها فور العودة الى معامل الكلية بأبجر . واتبع في تحليلها طريقة ونكلر وباستعمال جهاز تحليل الأوكسجين الذى صممته جراسوف وتم تصحيح قراءة الترمومترات القلابة بالاستعانة بشهادة كل ترمومتر وحسب الكثافة باستخدام جدول المكتب الهيدروجراف للبحرية الأمريكية (U. S. Navy Hgdrgraphic Office, 1952).

ب - ٣ - الظروف الجوية العامة السائدة في منطقة الدراسة

معظم البيانات والمعلومات المتاحة لنا حتى الآن عن الظروف الجوية في البحر الأحمر قد أخذت على امتداد محوره الرئيسي ، وقد توفرت أحياناً بعض المعلومات التي تم قياسها في منطقة الأغوار الحارة المالحة أثناء عمليات المسح والتقطيب التي تمت في هذه المنطقة ، ولا توجد بيانات منشورة عن الظروف الجوية على امتداد الساحل السعودي للبحر الأحمر بين ميناءى جدة وينبع ، ولذلك فاننا سنعتمد على البيانات المتاحة لنا عن البحر الأحمر ككل لاعطاء صورة عامة عن الظروف الجوية السائدة في منطقة البحث .

والمعلومات المعطاة هنا قد جمعت من عدة مصادر أهمها (Neumann, 1966; Morcos, 1970; Tchernisa, 1980).

ونظراً لتوارد الجبال والهضاب على جانبي البحر الأحمر فإن الرياح في الطبقة الجوية السفلية تضرر إلى التدفق في اتجاه مواز للمحور الرئيسي للبحر الأحمر بصورة أساسية ، أما هبوب الرياح في الاتجاهات الأخرى فيمثل نسبة ضئيلة ، وتغير سرعة واتجاه الرياح تغيرات يومية بالقرب من الساحل حيث يهب نسيم البر ونسيم البحر بتأثير التغير الواضح بين درجتي حرارة النهار والليل .

ومن وجهة نظر الظروف الجوية السائدة يمكن اعتبار البحر الأحمر مقسماً إلى جزئين رئيسيين : جزء شمالي وأخر جنوبي يفصل بينهما خط عرض ١٩° شمالاً ، تسود الجزء الشمالي رياح شمالية غربية طوال العام ولكن معدل هبوبها يزداد وسرعتها تكبر في الصيف عن بقية فصول السنة خاصة في الشتاء أما الجزء الجنوبي (جنوب خط عرض ١٩° شمالاً) فإن الرياح السائدة التي تهب عليه ينعكس اتجاهها مرتين في العام : فخلال شهور الصيف (يونيه - أغسطس) تسود الرياح الشمالية الشمالية الغربية . بينما بقية فصول السنة فإن الرياح السائدة على الجزء الجنوبي من البحر الأحمر تصبح جنوبية شرقية شكل (٣) .

Fig. 3 Magnitude and direction of monthly mean vector surface winds over the Red Sea in m/sec (left) and constancy of these winds in percent (right). The dashed line (right figure) represents the zero wind vector shown at left. January and February are repeated.

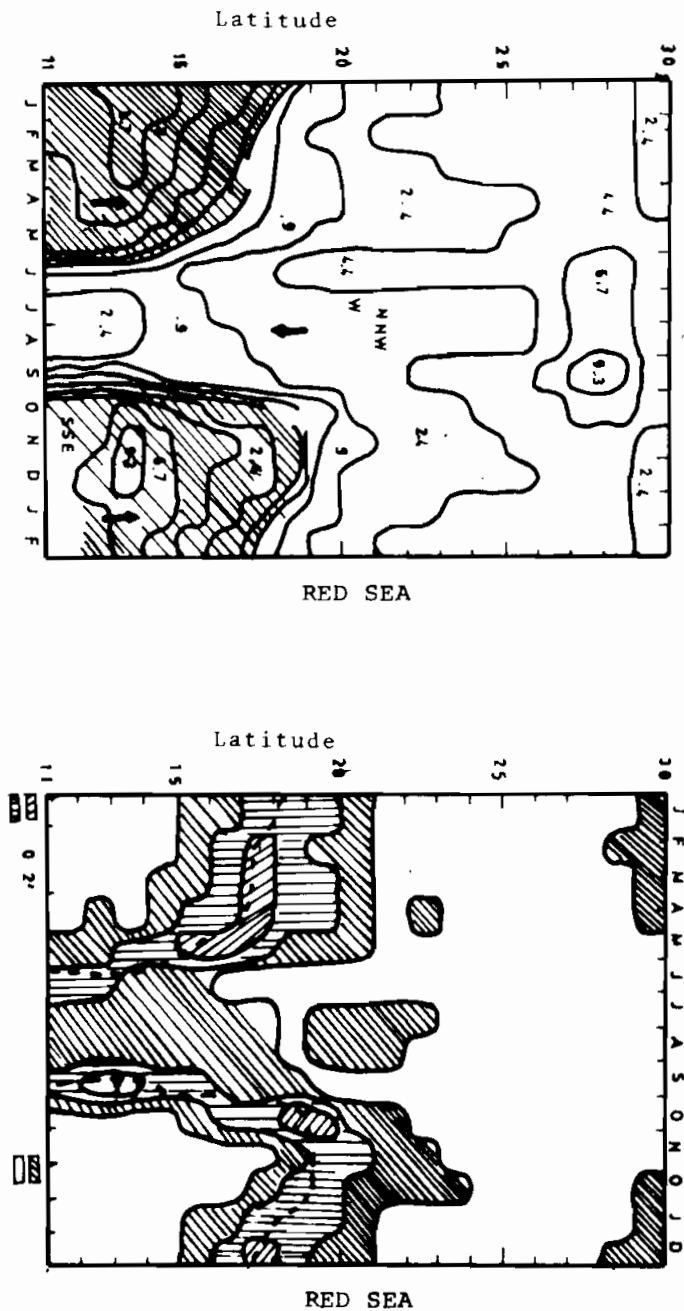


Fig 3

شكل (٣) : الأتجاهات الرئيسية للرياح السطحية فوق منطقة البحر الاحمر

وباختصار فإنه خلال شهور الصيف تهب على البحر الأحمر كله رياح شمالية شماليّة غربية . أما خلال الفصول الأخرى فتهب على الجزء الشمالي رياح شمالية شماليّة غربية في حين تهب على الجزء الجنوبي رياح جنوبية شرقية ، ونتيجة لذلك تتوارد منطقة انتقالية حول خط عرض °١٩ شمالاً خلال فصول السنة ما عدا الصيف . ويُتضح وجود هذه المنطقة خلال الشتاء حينما تكون الرياح السائدة في جزئي البحر الأحمر مؤثرة وذات فعالية ، وتندد المنطقة الانتقالية عادة بين خطى عرض °١٨ ، °٢١ شمالاً .. ويُتغير موضعها من شهر لآخر ، وتميّز هذه المنطقة بالانخفاض الضغط الجوي . ويؤدي هبوط الرياح القادمة من الشمال في الجزء الشمالي والرياح القادمة من الجنوب في الجزء الجنوبي إلى تجمع المياه في المنطقة الانتقالية .

ونظراً لأن منطقة البحث تقع في الجزء الشمالي من البحر الأحمر بين خطى عرض °٢١ °٣٣ ، °٢٣ °٢٧ شمالاً ، فإن الرياح السائدة عليها طوال أشهر السنة تهب من اتجاه واحد هو الشمال الشمالي الغربي ، كما أن متوسط سرعة الرياح يزيد كلما اتجهنا شمالاً .

بـ - ٤ - نظام التيارات البحريّة السائدة في البحر الأحمر :

يتصل البحر الأحمر في الجنوب بخليج عدن عن طريق مضيق باب المندب ، وبالقرب من هذا المضيق يقلّ عمق البحر الأحمر حتى يصبح حوالي ١٢٠ متراً مكوناً ما يسمى بالعتبة Sill وتعمل هذه العتبة على اعاقة حركة تبادل المياه العميقية بين خليج عدن والبحر الأحمر نظراً لأنّ عمق المياه عندها لا يتعدى ١٢٥ متراً . وبذلك يقتصر تبادل المياه بينهما على الطبقة السطحية .

بالنسبة لحركة دوران المياه في البحر الأحمر فهناك أسباب رئيسية لها وقد رجح طومسون عام ١٩٣٩ م (Tompson, 1939) وجود أربعة أسباب لحركة دوران المياه في البحر الأحمر هي : الرياح والبخار وتغير كثافة ماء البحر والمد والجزر ، ويرى طومسون أن الرياح هي العامل الفعال الأكثر أهمية من حيث تأثيره على حركة دوران المياه في البحر الأحمر . وتتبع الرياح التي تهب على البحر الأحمر نظاماً موسمياً بسيطاً يرتبط بنظام الرياح الموسمية التي تهب فوق الجزء الشمالي من المحيط الهندي .

ويمكن تلخيص التيارات السطحية في البحر الأحمر الناتجة من نظام الرياح الموجود فوق البحر الأحمر كالتالي :

خلال شهور الصيف (يونيه - أغسطس) حينما تسود البحر الأحمر كله رياح شمالية غربية يتواجد تيار سطحي على امتداد البحر الأحمر كله متوجهاً نحو الجنوب الشرقي موازياً للمحور الرئيسي للبحر الأحمر أي تتدفق المياه عند السطح متوجهة من الشمال إلى الجنوب حتى تخرج من

البحر الأحمر عبر مضيق باب المندب متوجهة إلى خليج عدن . وتزداد سرعة هذه التيارات السطحية في الجزء الشمالي الواقع شمال خط عرض ٥٢٦ شمالاً وذلك تحت تأثير الرياح الشمالية الشمالية الغربية القوية التي تهب في أواخر الصيف شكل (٣)

خلال بقية شهور السنة تؤدي الرياح السائدة التي تهب على شمال المحيط الهندي وعلى البحر العربي إلى تجمع المياه في خليج عدن حيث تدفعها الرياح الجنوبية الشرقية التي تهب بقوة على خليج عدن وتمر بها لتتدفق في البحر الأحمر عبر مضيق باب المندب متوجهة نحو الشمال تحت تأثير الرياح الجنوبية الشرقية التي تسود الجزء الجنوبي من البحر الأحمر في مثل هذا الوقت من السنة .

ويجب ملاحظة أن التيارات السطحية في الجزء الواقع جنوب خط عرض ٥١٩ شمالاً تسير في نفس اتجاه الرياح السائدة خلال هذه الفترة الزمنية . أما في الجزء المحصر بين خطى عرض ٥١٩ ، ٥٢٥ شمالاً وهو الجزء الذي تم فيه البحث فان التيار يكون متوجهاً نحو الشمال معاكساً لاتجاه الرياح التي تهب نحو الجنوب شكل (٣) وهذا يؤدي إلى اضعاف قوة التيار تدريجياً كلما اتجهنا شمالاً حتى يصل إلى أدنى قيمة له عند خط عرض ٥٢٥ شمالاً ثم ينعكس اتجاه التيار ويصبح متوجهاً نحو الجنوب متوافقاً مع اتجاه الرياح عند خط عرض ٥٢٦ شمالاً .

وقد وضع طومسون ١٩٣٩ م (Tompson, 1939) تصوراً لحركة دوران المياه في البحر الأحمر تتلخص في دخول المياه السطحية من خليج عدن إلى البحر الأحمر خلال الشتاء تحت تأثير الرياح الجنوبية الجنوبية الشرقية وفي مقابل ذلك تتدفق مياه تحت سطحية دافئة عالية الملوحة خارجة من البحر الأحمر إلى خليج عدن فوق عمق العتبة بالقرب من مضيق باب المندب . أما خلال الصيف فيختلف الوضع فتخرج مياه البحر الأحمر إلى خليج عدن عند السطح وقرب قاع العتبة ، وبين هذين العمقين تدخل مياه من خليج عدن إلى البحر الأحمر .

يرجع نيومان وماجل ١٩٦٢ (Neumann & Magill, 1962) من دراسة توزيع الحرارة والملوحة والكتافة في البحر الأحمر وخليج عدن في يونيو - أن البحر له تأثير أكثر فعالية من الرياح على حركة دوران المياه في البحر الأحمر ، وقد تأكّد نيومان من ذلك من ملاحظة أن تدفق المياه مضاد لاتجاه الرياح الشمالية الشمالية الغربية السائدة في أوائل الصيف وفي المقابل لوحظ تدفق مياه دافئة عالية الملوحة تحت سطحية خارجة من البحر الأحمر وتبقى مياه البحر الأحمر العميق ذات الحرارة والملوحة المتباينة معزولة عند أعمق أكبر من ١٢٥ متراً وهو عمق العتبة .. بحيث لا يمكن تبادل المياه بينها وبين المياه العميقية لخليج عدن .

ويوضح من دراسة نيومان وماجل أن حركة تبادل المياه السطحية بين مياه البحر الأحمر وخليج عدن خلال شهر يونيو إستمرت في نفس الاتجاه الذي كان موجود في الشتاء رغم انعكاس اتجاه الرياح واستنتاج نيومان من ذلك أن الرياح وحدها ليست العامل الأكثر فعالية في حركة المياه في البحر الأحمر وكذلك في حركة تبادل المياه بينه وبين خليج عدن ، ويرى نيومان وماجل أن البحر هو العامل الأهم المسئل لحركة المياه في البحر الأحمر . فالمنطقة المحيطة بالبحر الأحمر تتميز بالجفاف ، كما ينعدم وجود الأنهر التي تصب في البحر الأحمر ولذلك فإن كمية المياه التي يفقدتها البحر الأحمر عن طريق البحر تفوق كثيراً كمية المياه التي يكسبها من الأمطار الشحيحة التي تسقط عليه . وتقدر كمية المياه المتاخرة من البحر الأحمر بحوالى ٢٠٠ سم³ في العام (Neumann, 1952; Privett, 1959; Meshal, et al, 1983) ونظراً لأن البحر يصل إلى أعلى قيمة خلال الخريف وأوائل الشتاء ، فإن منسوب سطح البحر الأحمر ينخفض خلال الشتاء عن منسوب سطح الماء في خليج عدن مما يجعل المياه السطحية تتدفق من خليج عدن للبحر الأحمر خلال الشتاء والربيع حتى منتصف يونيو بالرغم من هبوب الرياح الشمالية الغربية ابتداء من شهر يونيو ، أي أن المياه السطحية تدخل للبحر الأحمر في اتجاه معاكس لاتجاه الرياح خلال شهر يونيو . وبقل مقدار البحر في شهر سبتمبر حيث يصل إلى أقل قيمة له . ولذلك يرتفع منسوب سطح البحر الأحمر عن منسوب المياه في خليج عدن ويؤدي ذلك إلى تدفق المياه خارجة من البحر الأحمر عبر باب المندب ويساعد في ذلك الرياح الشمالية الغربية .

وتزداد كثافة مياه البحر الأحمر كلما اتجهنا شمالا نتيجة للبحر المستمر ويبلغ الفرق في كثافة المياه عند المدخل الجنوبي للبحر الأحمر وبالقرب من خليج السويس حوالي ٥٤ من وحدات ٥٠ وتتوارد أعلى كثافة المياه البحر الأحمر في جزئه الشمالي عند خط عرض ٣٢° شمالا خلال الشتاء حينها يكون البحر عاليا . وحيينما تكون الملوحة عالية والحرارة منخفضة مما يؤدي إلى زيادة كثافة المياه السطحية .. فتفوض هذه المياه للأعماق التي تناسب كثافتها الجديدة مكونة مياه الأعمق . مياه البحر الأحمر الموجودة تحت عمق ٢٠٠ متر لها كثافة متجانسة لا تزيد عن ٥٣ ر طولا بمقدار ضئيل . ويدل توزيع الحرارة والملوحة التي قام بها نيومان وماجل أن مياه البحر الأحمر تحت عمق ٢٠٠ متر لها درجة حرارة وملوحة متجانسة تبيان ثابتان حتى القاع . ويقرر نيومان وماجل أن المياه التدفقةخارجة من البحر الأحمر مصدرها وأصلها المياه السطحية التي دخلت البحر الأحمر من خليج عدن .. فهذه المياه تعرضت للبحر ثم للبرودة على طول طريقها من الجنوب للشمال فازدادت كثافتها وغاصت وأخذت طريقها عائدة نحو الجنوب لتخرج من فوق العتبة إلى خليج عدن .

ب - ٥ - النتائج :

ب - ٥ - ١ - المرحلة الأولى :

سبق أن ذكرنا أن العمل الحقلى قد تم في رحلتنا ديسمبر ١٩٨١ م وفبراير ١٩٨٢ م في مجموعة من المحطات الضحلة التي تقع جميعها في المنطقة المخصورة بين خط الساحل وال حاجز المرجاني (جدول رقم ١) ولذلك فمياهها معزولة نسبيا عن البحر المفتوح (شكل ١) . ويلاحظ من توزيع هذه المحطات الساحلية أن بعض المحطات يحيط بها حاجز مرجاني يعزّلها ولو عزلا جزئياً عمّا حولها وكمثال لتلك المحطات ٣ ، ٤ ، ٥ تقع داخل حاجز مرجاني يحيط بها وكذلك المحطات ٦ ، ٧ ، ٨ ، ٩ . ونتيجة لذلك فقد تقارب خواص المياه الموجودة عند المحطات المجاورة التي يحيط بها الحاجز المرجاني . وانختلفت عن خواص المياه التي يحيط بها حاجز مرجاني آخر .

ب - ٥ - ١ - رحلة ديسمبر ١٩٨١ م :

يتضح من التوزيع الرأسي للملوحة والحرارة أن عمود الماء متجانس عند كل المحطات خلال رحلة ديسمبر ١٩٨١ م .. فلم تتوارد فروق ملموسة في خواص المياه الموجودة بين السطح وقرب القاع ، ونظرالضحلة العمق الذي لم يتتجاوز ٢٠ مترا خلال هذه الرحلة ، فإن قياساتنا قد أخذت كلها في طبقة المرج التي يمكن أن تؤثر فيها الرياح ، ولم يتعد التغير في الملوحة بين السطح والقاع ٦٪ وفي الحرارة ٢٠°C في معظم المحطات .. شكل (٤)

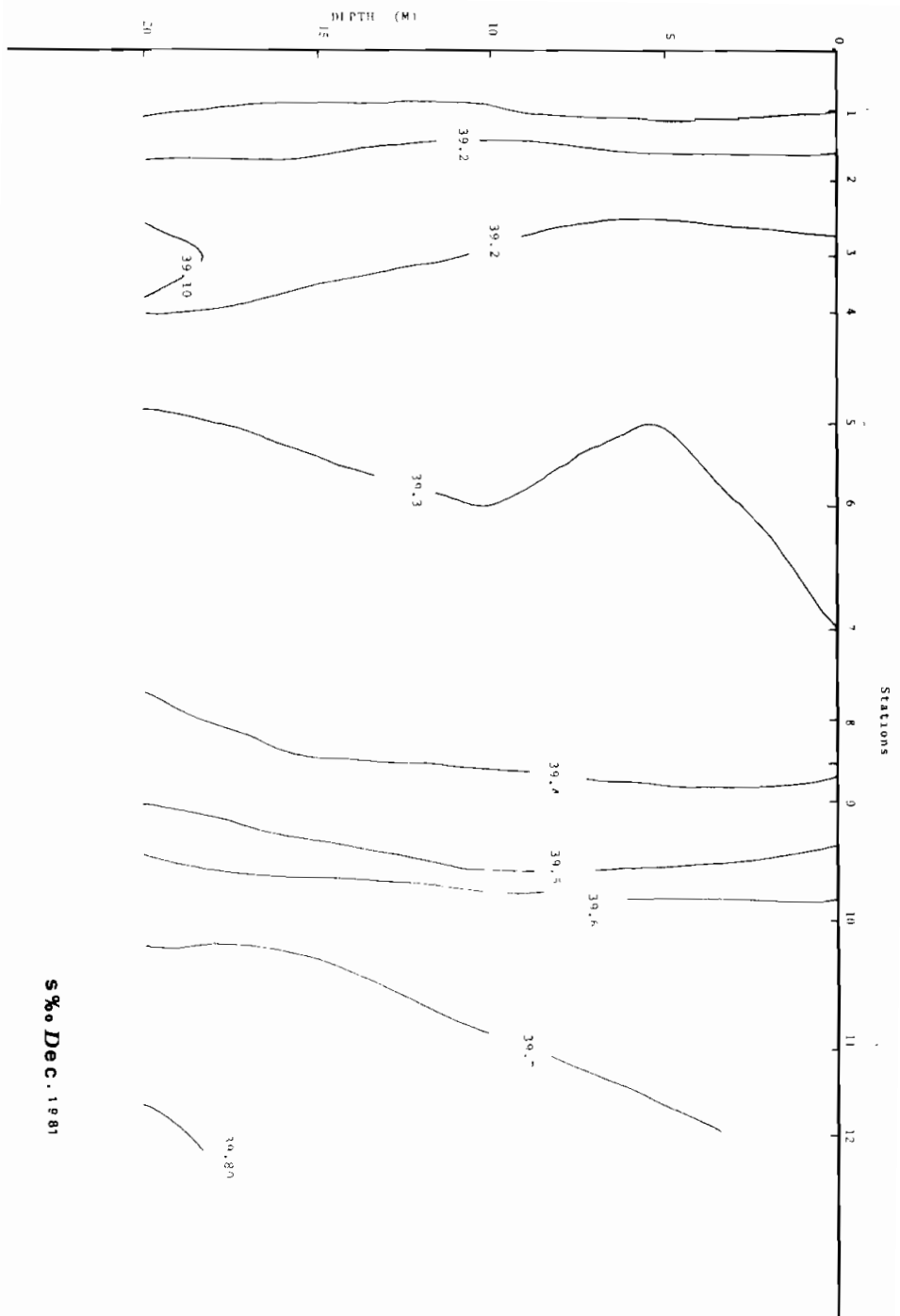


Fig 4

شكل (٤) : توزيع الملوحة خلال ديسمبر ١٩٨١

وقد وجد أن التغير الأفقي في خواص المياه أكبر من التغير الرأسى عند كل محطة .. فقد ازدادت الملوحة ونقصت الحرارة من الجنوب إلى الشمال فبلغت الملوحة عند السطح عند المحطة (١) ٣٩٪ ووصلت إلى ٤٠٪ عند المحطة (٢) .. وهذا التغير الأفقي في الملوحة والحرارة متوقع بالطبع نظرا لأن المياه السطحية للبحر الأحمر تفقد جزءاً من مياهها الندية عن طريق البحر مما يؤدي إلى زيادة تركيز الأملاح أى ارتفاع الملوحة . كما أن الحرارة تقل كلما زاد خط العرض أى كلما اتجهنا شمالاً متبعين عن خط الاستواء .

ب - ١ - ٢ - رحلة فبراير ١٩٨٢ م :

يلاحظ من توزيع الحرارة والملوحة والكثافة والأكسجين أن درجة امتراج عمود الماء قد قلت عن رحلة ديسمبر ١٩٨١ م فأصبحت الفروق في الحرارة والملوحة أكثر وضوحاً عند الأعماق المختلفة . وربما يعود السبب في ذلك إلى هدوء الرياح خلال فترة القيام بهذه الرحلة مما أضعف من قدرتها على تقليل عمود الماء . وعموماً فقد كان مقدار التغير الرأسى في الملوحة والحرارة عند كل محطة أقل بكثير من مقدار التغير الأفقي بين المحطات . ويلاحظ أن الملوحة تحت سطحية عند المحطة (٩) وعند كل أعماق المحطة (١٠) - تزيد عن ملوحة المياه التي تقع شمالاً أو جنوباً . ولعل السبب في زيادة ملوحة المحطة (١٠) أن موقع هذه المحطة قريب من الساحل حيث تحصر بين الساحل والجزر ، المرجاني في حين كانت المحطات الواقعة شمالاً أو جنوباً تقع على مسافات أبعد نسبياً من الساحل ولذلك فإن المحطة (١٠) كانت أكثر إنعزالاً عن بقية المحطات فازدادت ملوحة مياهها نظراً لازدياد البحر في المياه القرية من الساحل عنها في المياه الطليفة . كما يقل اختلاط المياه الساحلية المعزولة بمحياه البحر الطليفة الأقل ملوحة .

ويلاحظ نقص درجة الحرارة كلما اتجهنا شمالاً وذلك عند كل الأعماق شكل (٥) وتركيز الأوكسجين الذائب خلال هذه الرحلة أقل من تركيزه خلال رحلة ديسمبر ١٩٨١ م ولعل السبب في ذلك يعود إلى هدوء الرياح خلال هذه الرحلة بحيث لم يكن التقليل بمثابة القوة التي لوحظت في رحلة ديسمبر ١٩٨١ م .

ب - ٢ - المرحلة الثانية :

البيانات التي استخدمت في هذه الدراسة تم جمعها من خلال ثلاث رحلات بحرية لمنطقة البحث في شهر مارس ١٩٨٢ ، وديسمبر ١٩٨٢ ، مارس ١٩٨٣ م - عند المحطات المبينة في الجدول (٢) . ويمكن اعتبار هذه الدراسة ممثلة لفصل الشتاء .

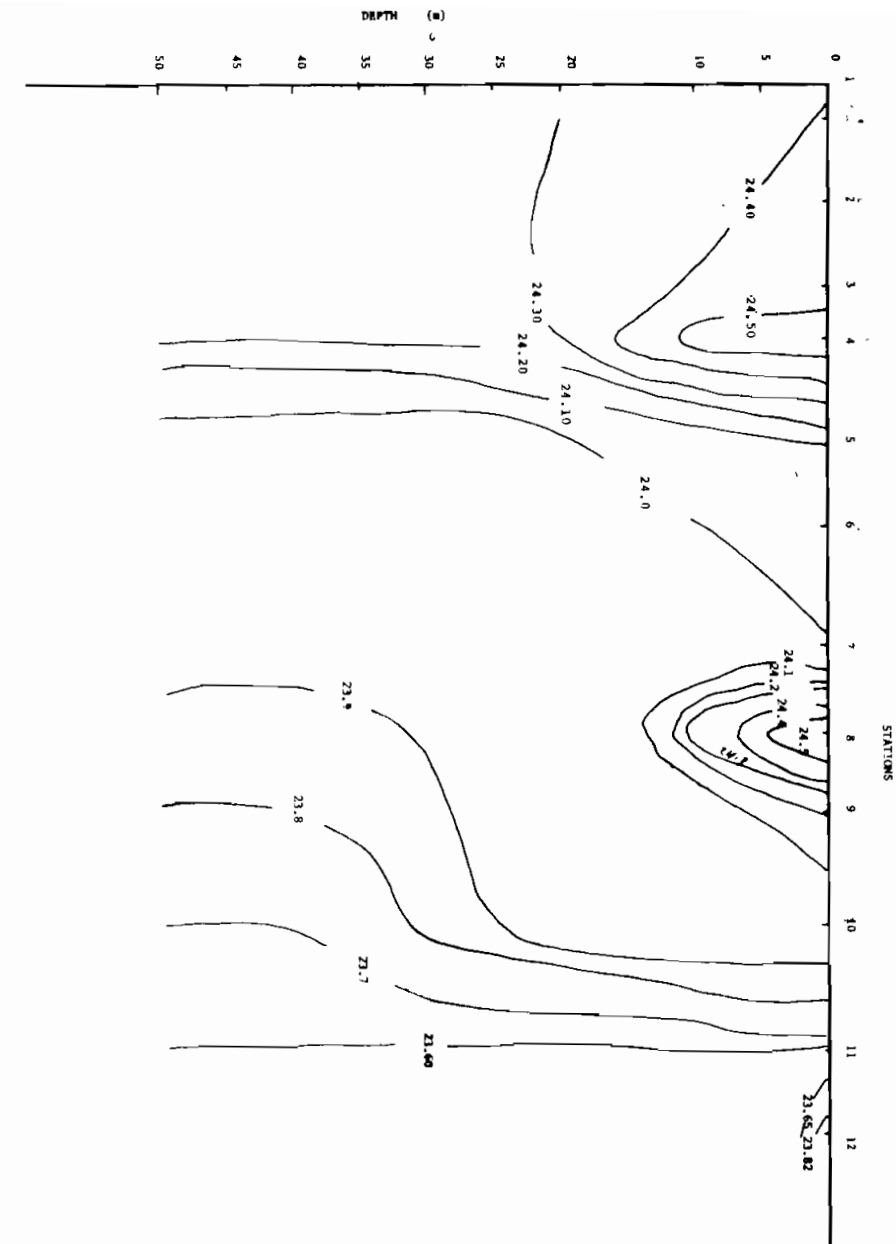


Fig 5

شكل (٥) : توزيع الملوحة والحرارة خلال فبراير ١٩٨٢

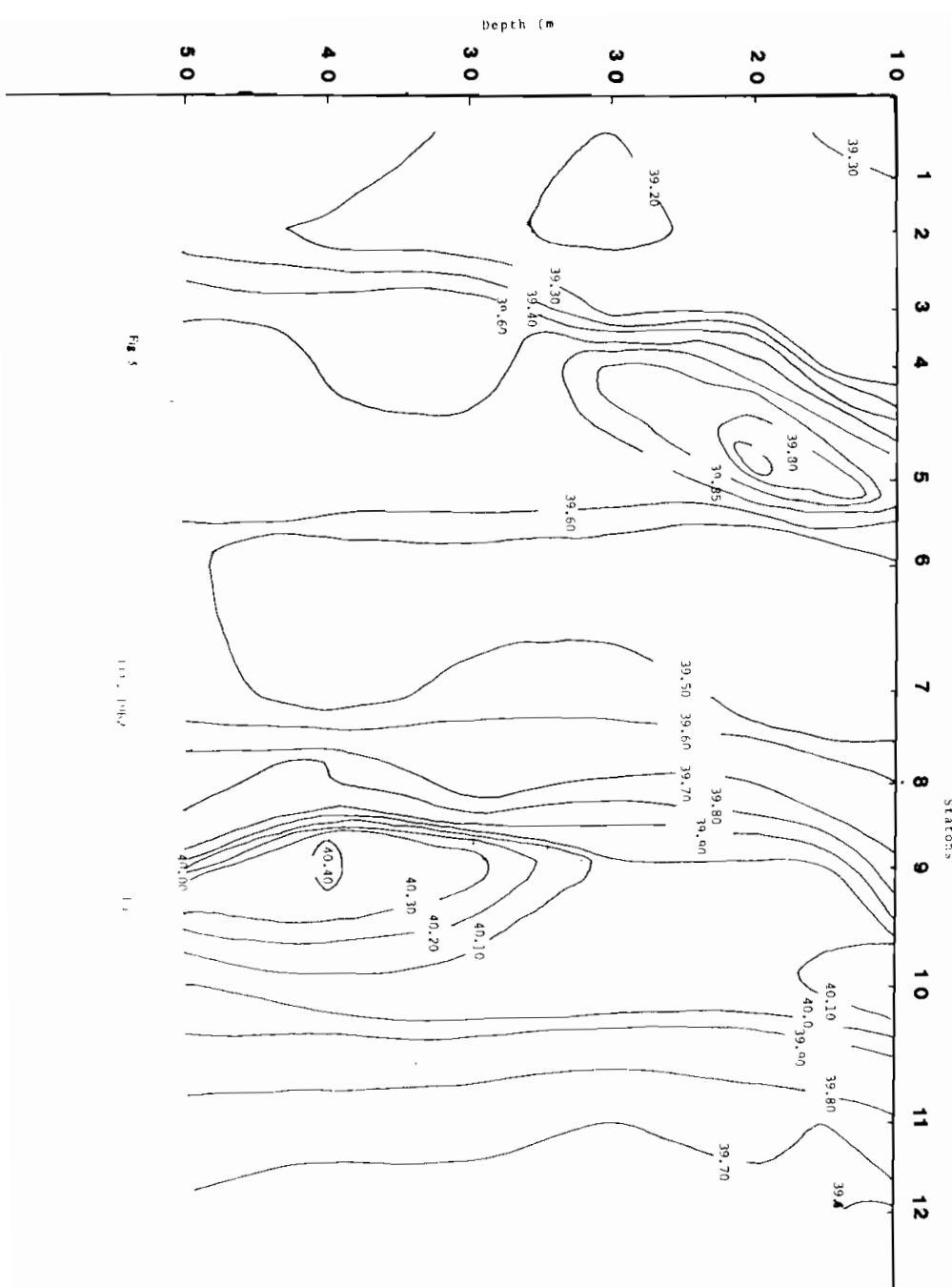


Fig. 5

متلت البيانات على هيئة قطاعات رأسية تمثل الملوحة والحرارة والكتافة والأكسجين في القطاعات J, R, Q المتدة عموديا على خط الساحل وكذلك في القطاعات الموازية لخط الساحل وهي : ١، ٢، ٣، ٤ . ورسم التغير الرئيسي للحرارة والملوحة للمحطات المختلفة .

ب - ٥ - ٢ - ١ - رحلة مارس ١٩٨٢ م :

فإذا بدأنا بالتغيير الرئيسي للخواص الفيزيائية للمياه في القطاعات J, R, Q خلال شهر مارس ١٩٨٢ م شكل (٦) فنلاحظ وجود طبقة متتجانسة من المياه تمتد من السطح وحتى عمق يتراوح بين ٦٠ ، ١٠٠ متر ، وفي هذه الطبقة نلاحظ ازديادا طفيفا في درجة الحرارة كلما زاد العمق مما يؤدي إلى زيادة طفيفة وتدرجية في الكثافة مع العمق ، أما تركيز الأكسجين فقد كان ينقص بصفة عامة مع العمق بمعدل منخفض . وإذا أهملنا التأرجح المتوقع في تركيز الأكسجين بين الريادة والنقصان عند بعض الأعمق نتيجة اختلاف معدل الانتاجة واستهلاكه – فيمكن أن نستخلص وجود طبقة ممتدة من المياه تمتد من السطح وحتى عمق يتراوح بين ٦٠ ، ١٠٠ متر تتتجانس فيها درجة الحرارة والملوحة ، ويمكن ملاحظة هذه الطبقة بسهولة من تغيرات درجة الحرارة مع العمق ، وأسفل هذه الطبقة الممتدة المتتجانسة تتواجد طبقة المنحدر الحراري التي تمتد من عمق ١٠٠ إلى عمق ١٥٠ مترا . وفي هذه الطبقة يزيد معدلات انخفاض درجة الحرارة وازدياد الملوحة والكتافة مع العمق عن الطبقات التي تعلوها .. وعن الطبقات الأسفلي منها .. ولذلك فإن المياه المتدة من عمق ١٠٠ إلى ١٥٠ مترا وهي طبقة المنحدر الحراري تعتبر أشد طبقات عمود الماء استقرارا ، ووجود هذه الطبقة يمنع امتصاص المياه الموجودة تحت عمق ١٥٠ مترا فلا تغير فيها درجة الحرارة أو الملوحة أو

الكتافة تغيرا كبيرا بحيث يمكن اعتبارها جميا ثابتة تقريبا .. أما الأكسجين فنلاحظ أنه يقل مع العمق بدرجة ملحوظة خاصة في القطاعين : J, R .

ويلاحظ أن خواص الطبقة العليا تختلف عن خواص الطبقة السفلية إذ تعمل طبقة المنحدر الحراري على منع اختلاط الطبقتين العليا والسفلى .

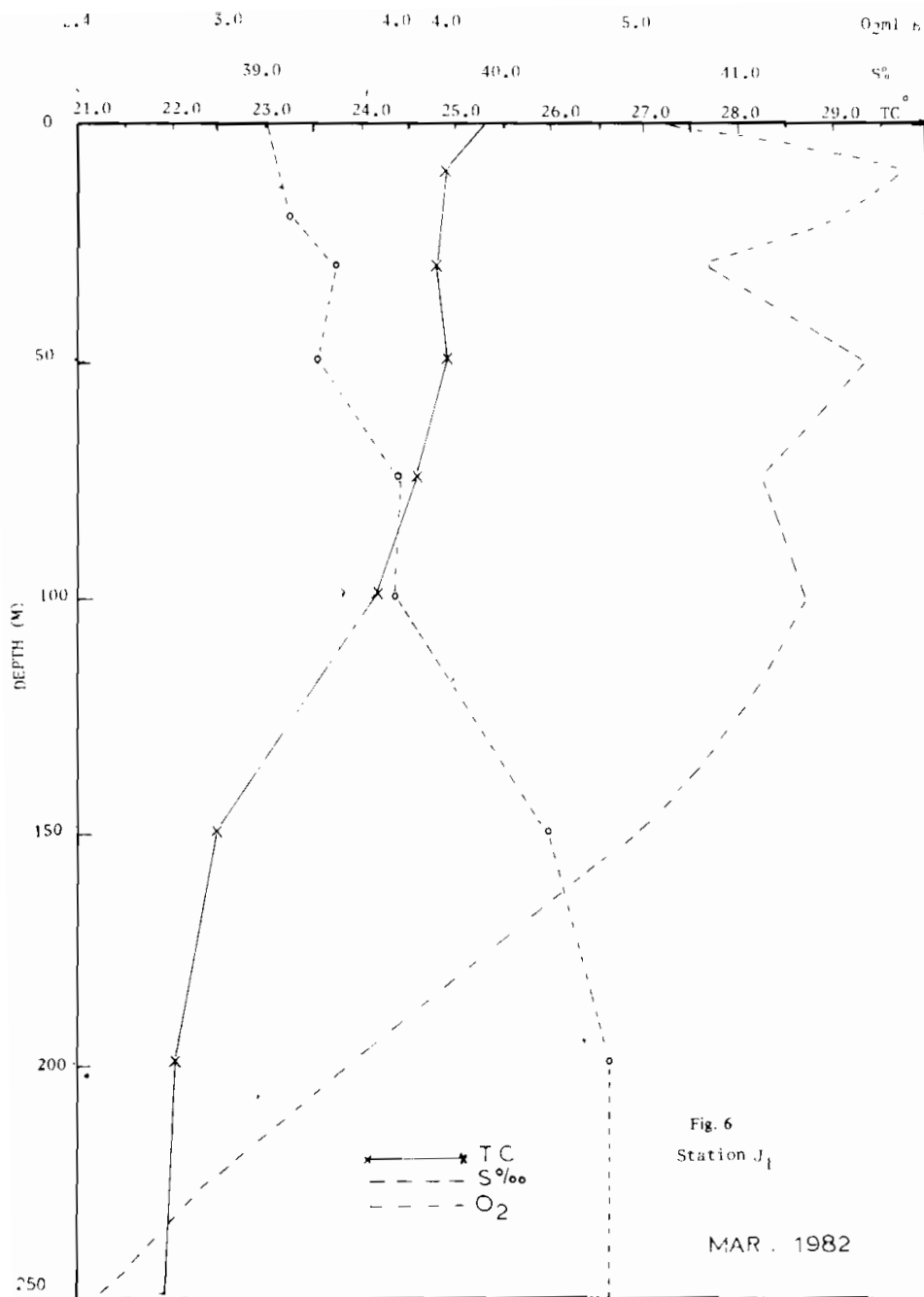


Fig 6

شكل (٦) : التغير الرأسي للملوحة والحرارة والكتافة والاكسجين خلال مارس ١٩٨٢

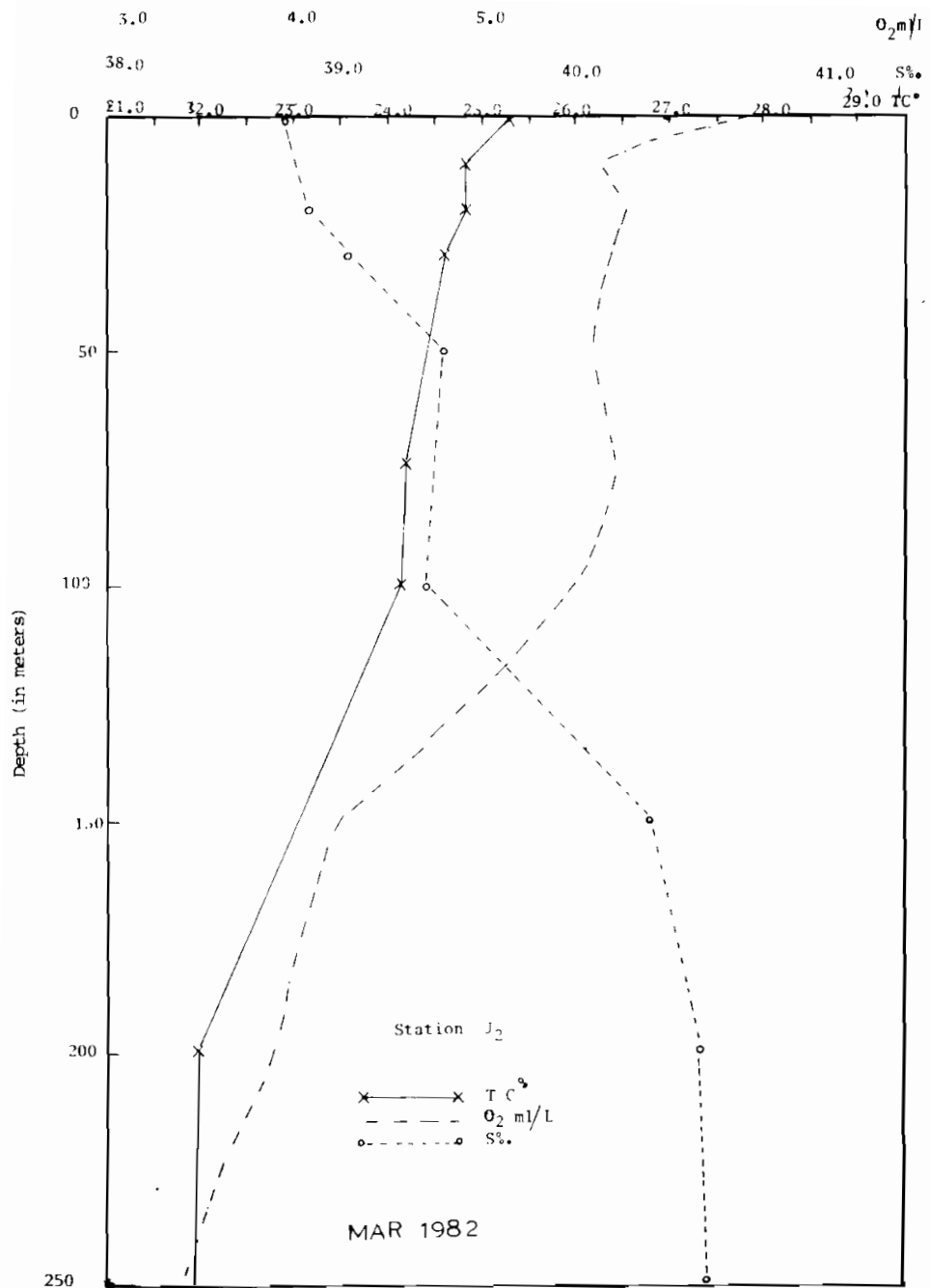


Fig 6

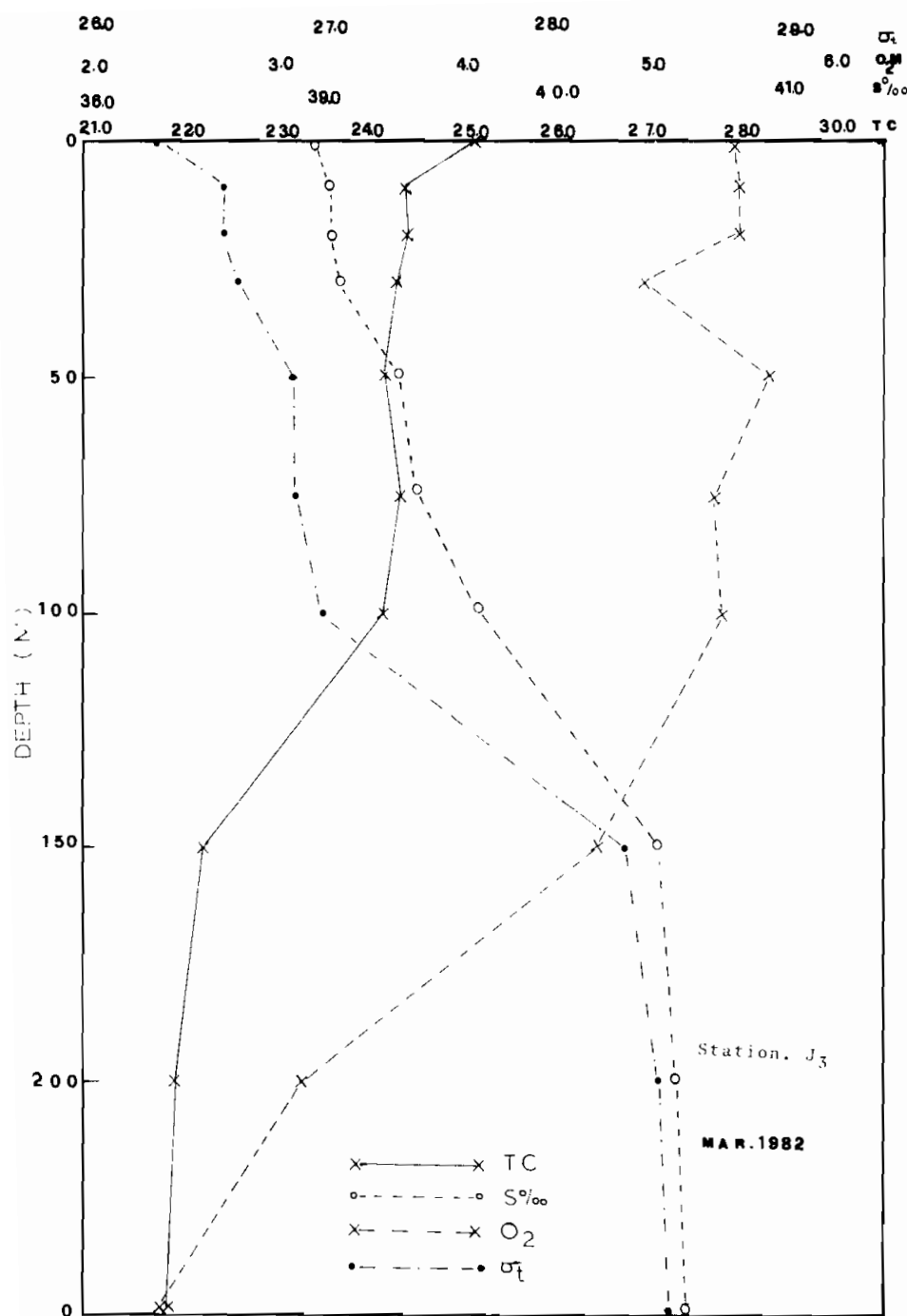


Fig. 6

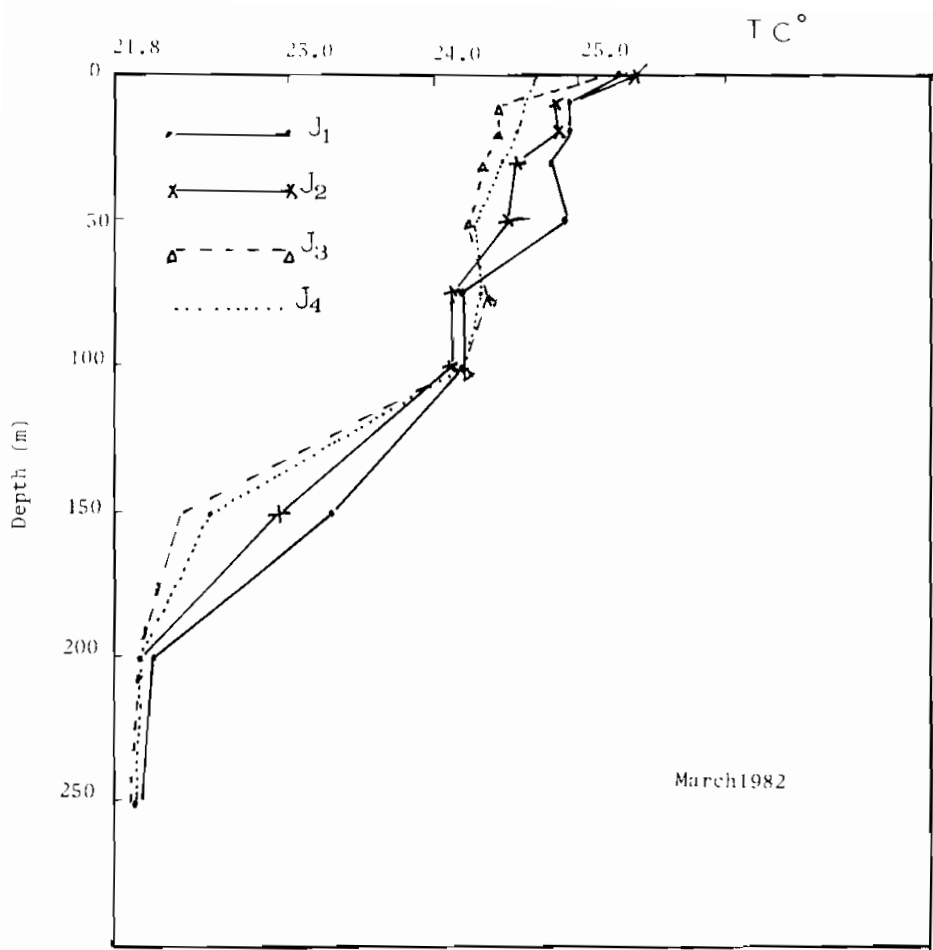


Fig. 6

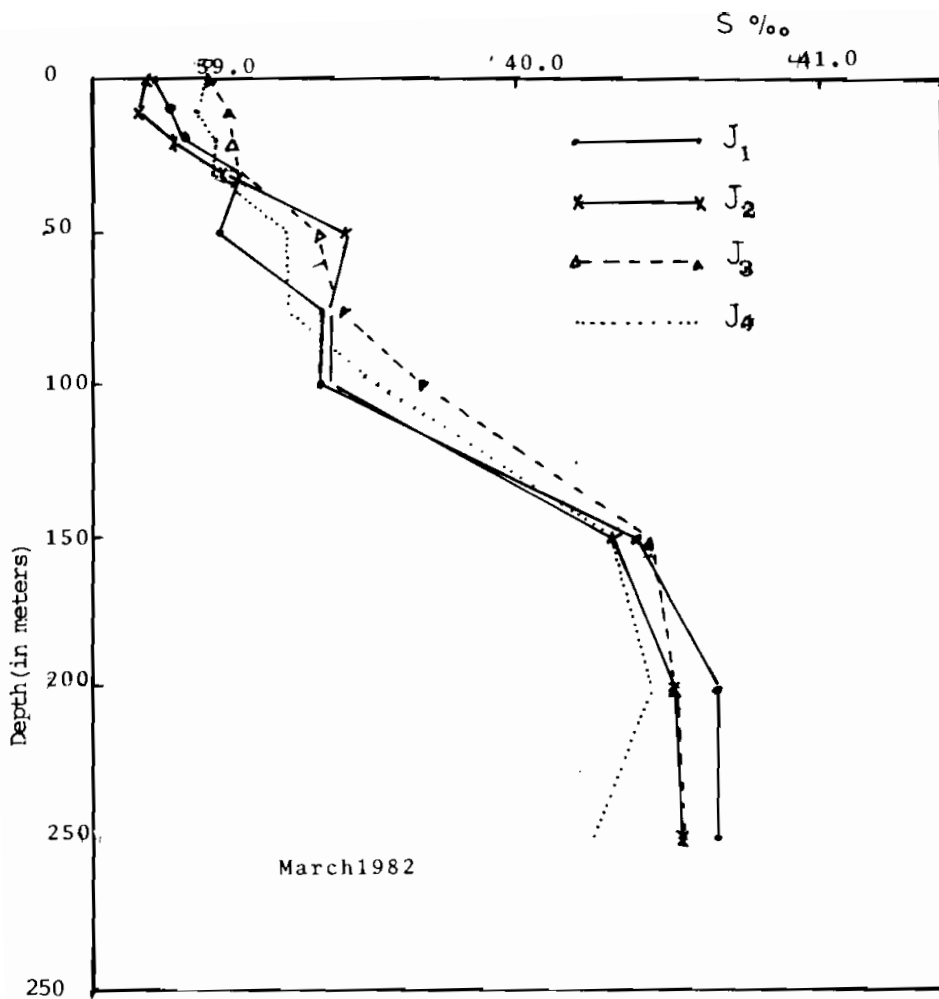


Fig 6

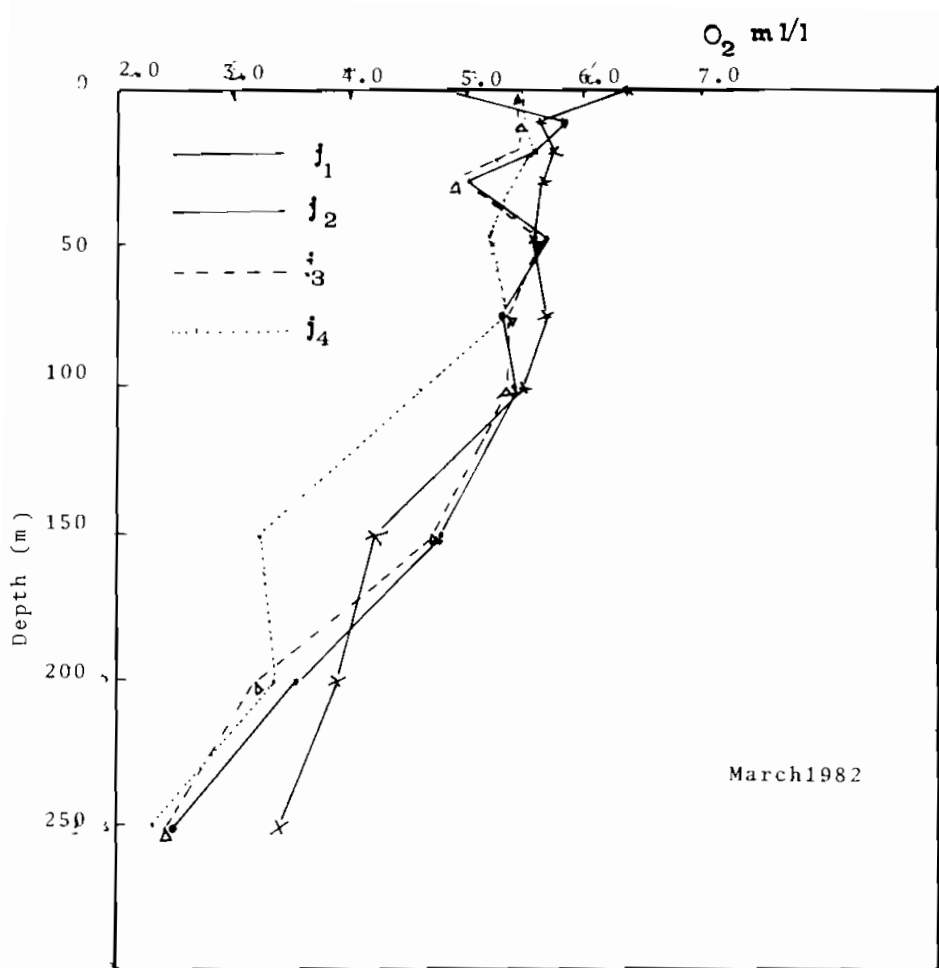


Fig 6

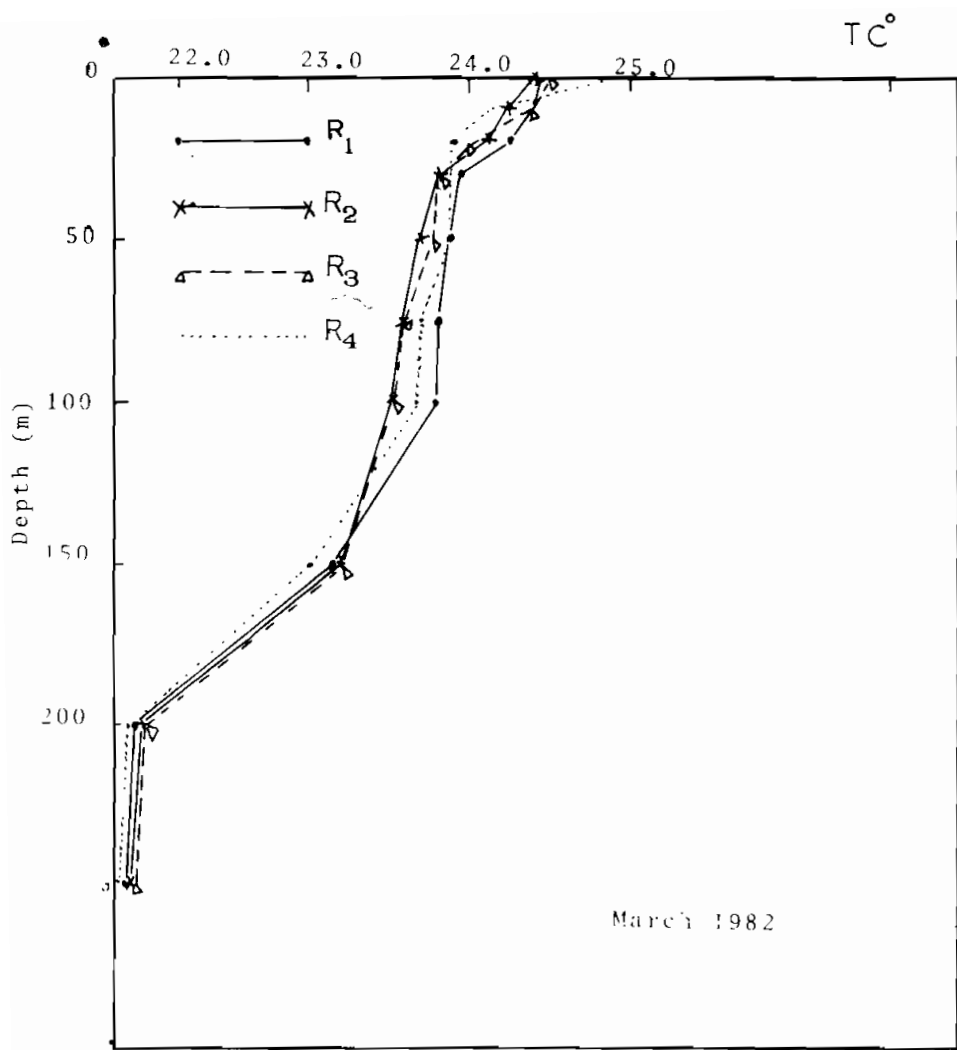


Fig 6

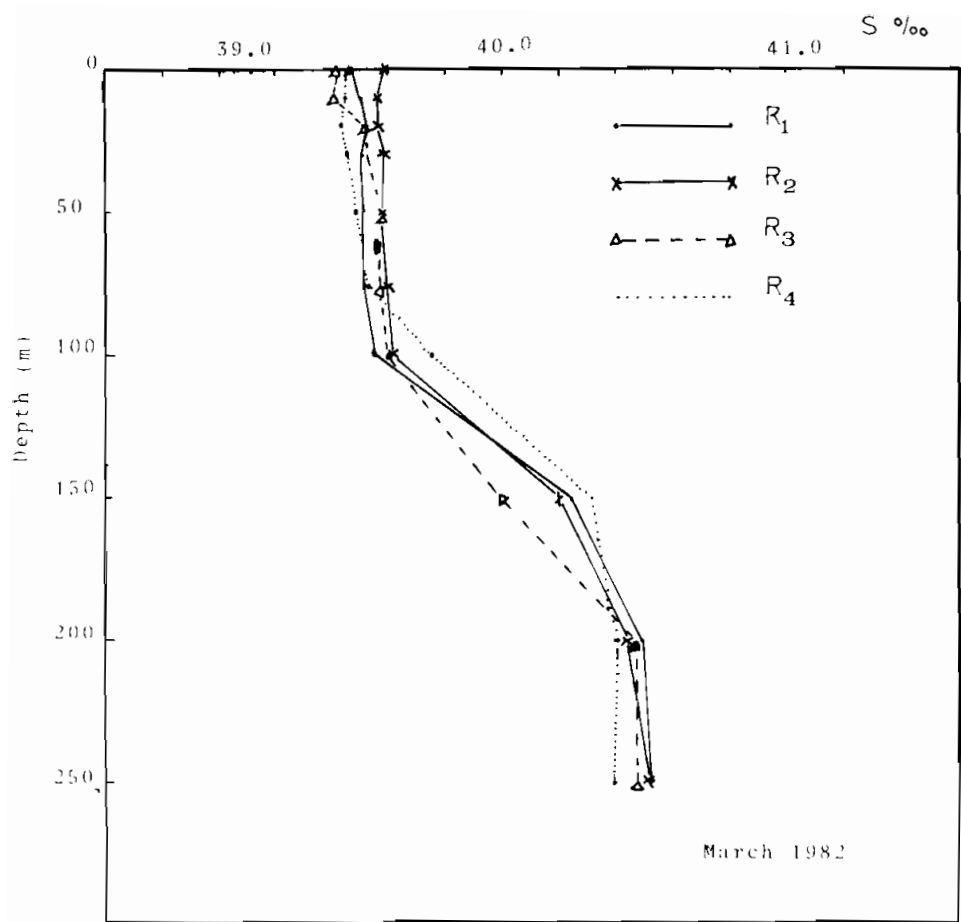


Fig 6

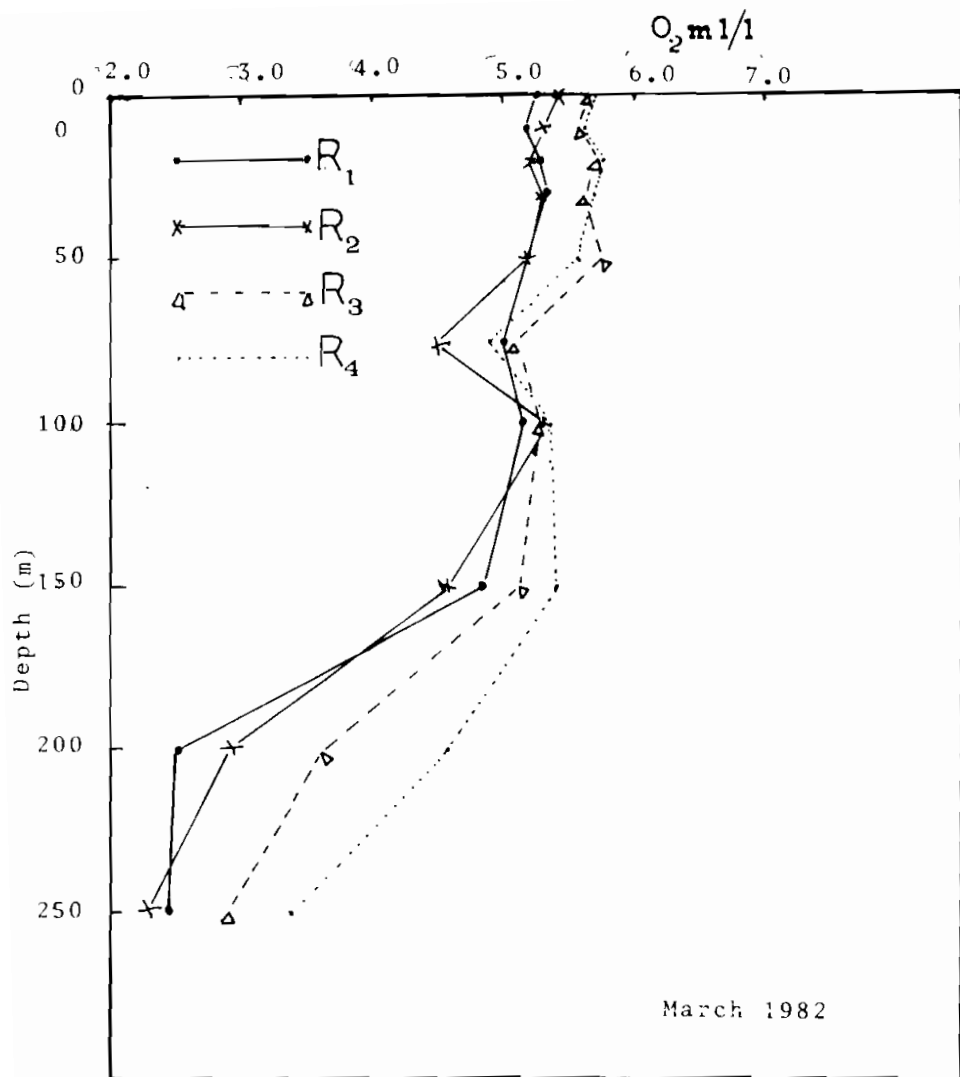


Fig. 6

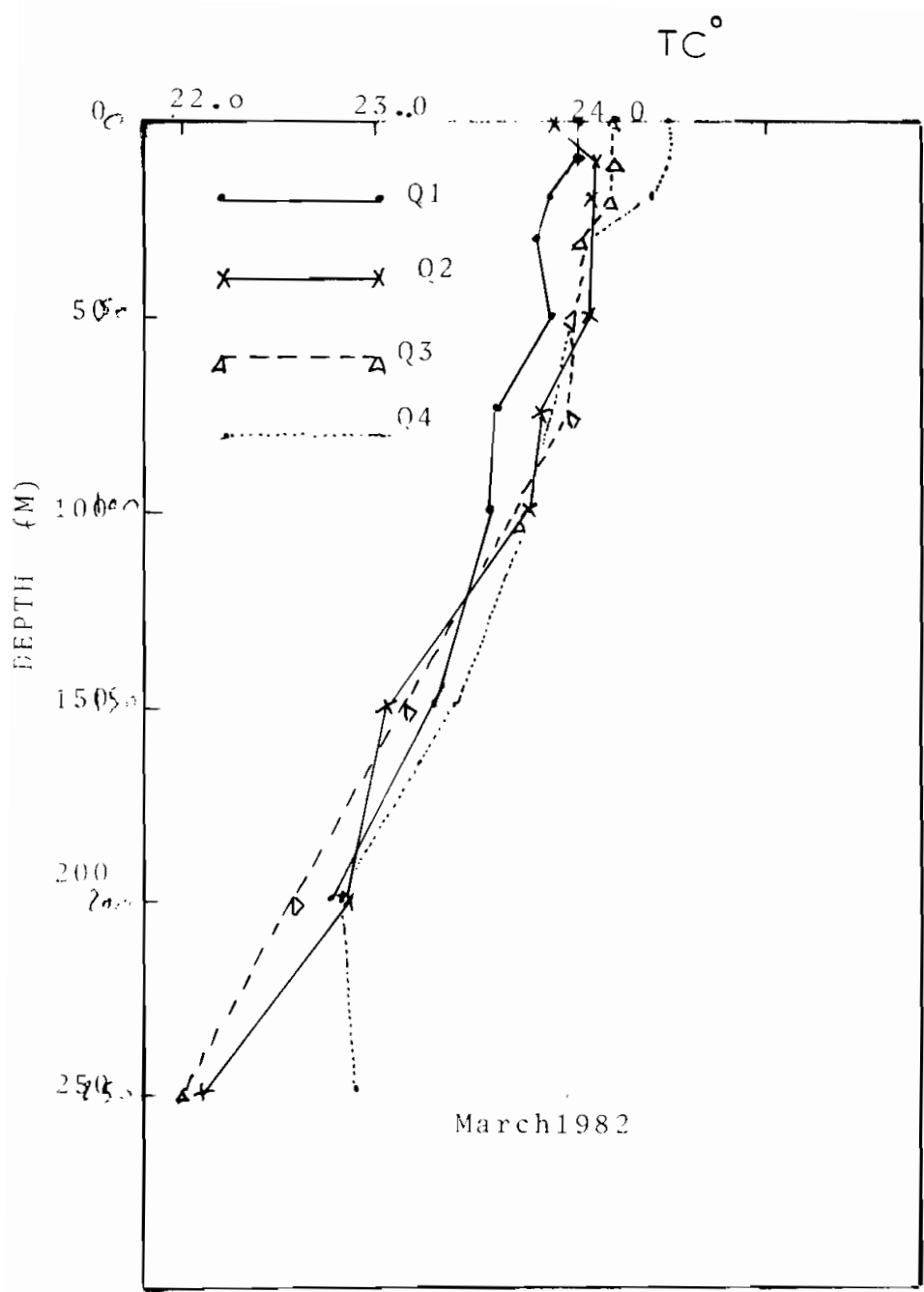


Fig 6

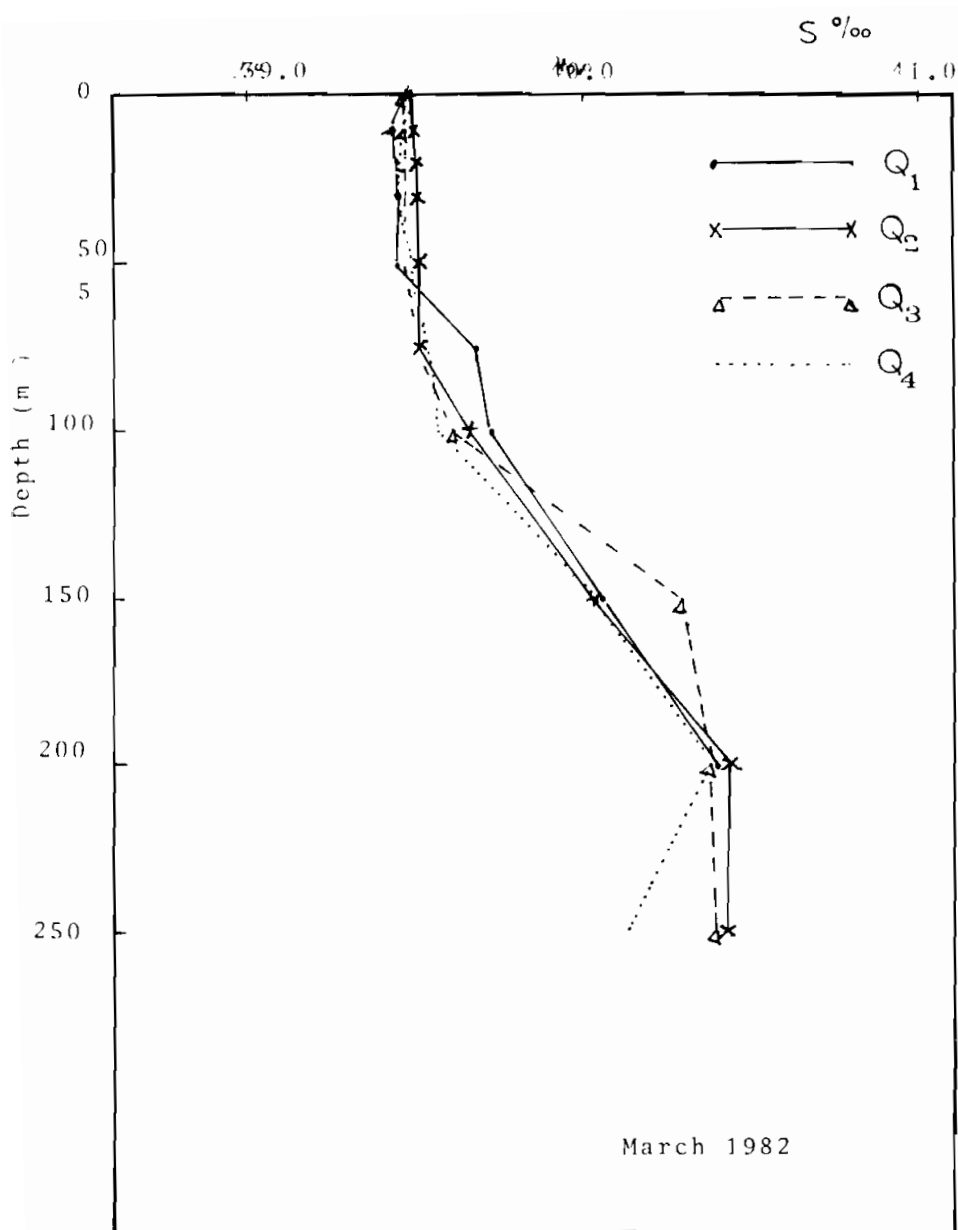


Fig 6

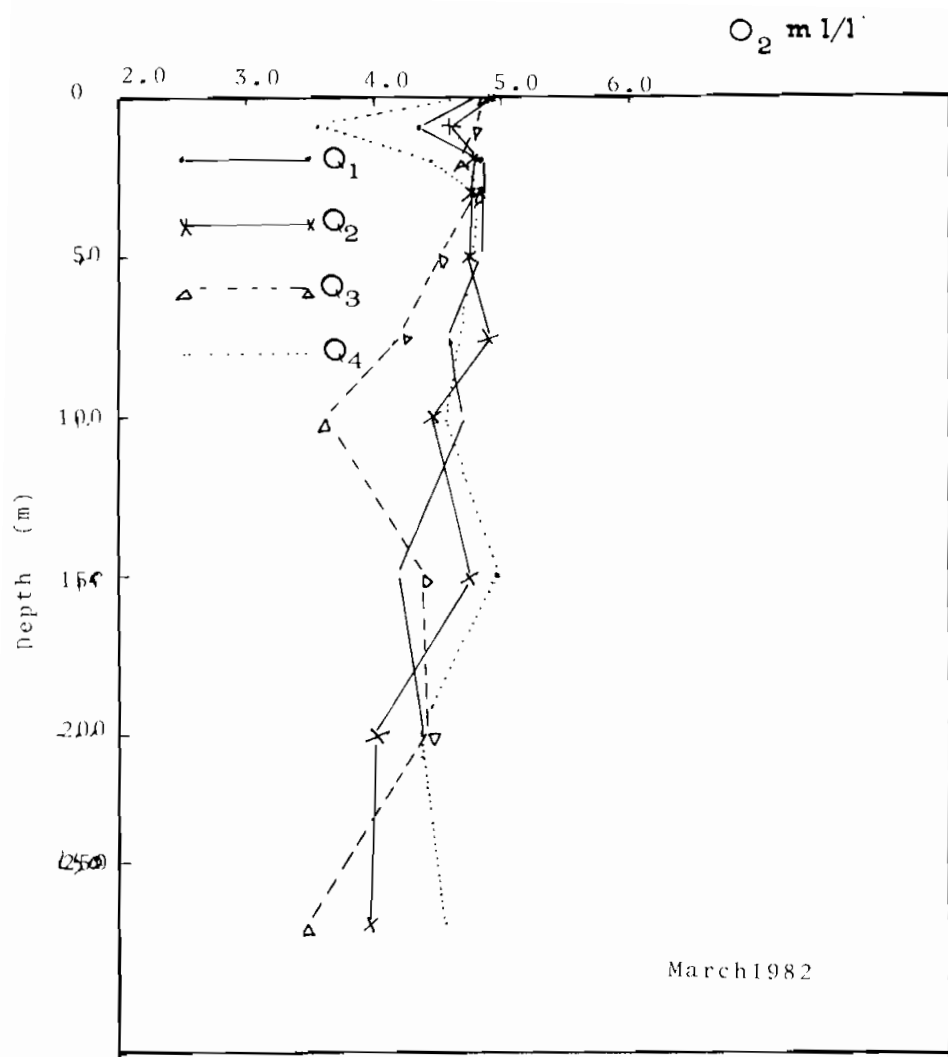


Fig 6

ويتضح من التوزيع الأفقي للملوحة والحرارة والكثافة على امتداد القطاع J (شكل ٧) وجود امتراج أفقى بين المياه المتواجدة قرب الساحل عند J ، وتلك الموجودة على مسافة ٦٠ كم من الساحل داخل البحر الطليق عند J ، ويزداد هذا الامتراج في الطبقة التحت سطحية للمياه تحت عمق ١٠٠ متر مما أدى إلى وجود مياه ذات ملوحة وحرارة وكثافة متقاربة عند نفس الأعمق ، ويظهر ذلك في الشكل حيث تظهر خطوط تساوى كل من الملوحة والحرارة والكثافة متزوجة تقريبا على طول المسافة من J إلى I ، ومن ذلك يمكن استنتاج وجود حركة انتقال للمياه بين J ، I يرجح توزيع الملوحة انتقال المياه التحت سطحية وتحت عمق ١٥٠ مترا من الساحل متوجهة نحوية البحر المفتوح ، اذ يتضح من الرسم وجود مياه متحركة على هيئة لسان له ملوحة عالية متوجهها من الساحل نحو البحر المفتوح وتقل ملوحة هذه المياه كلما بعذنا عن الساحل وهذا اللسان يمكن أن تتحدد ملامحه بوضوح أكثر لو أخذنا محطات أخرى غرب J في البحر المفتوح .

وإذا تأملنا توزيعات الحرارة والملوحة والكثافة والأكسجين على امتداد القطاع R ابتداء من الحطة R ، قرب الساحل إلى الحطة R في البحر المفتوح وكذلك القطاع Q نجد أنهما يشبهان توزيعات القطاع J ويدل التوزيع على امتراج أفقى وحركة للمياه التحت سطحية متوجهة من قرب الساحل نحو البحر المفتوح .

وفي المقابل لابد من وجود حركة للمياه السطحية من J إلى J ، ومن R إلى R ، ومن Q إلى Q .

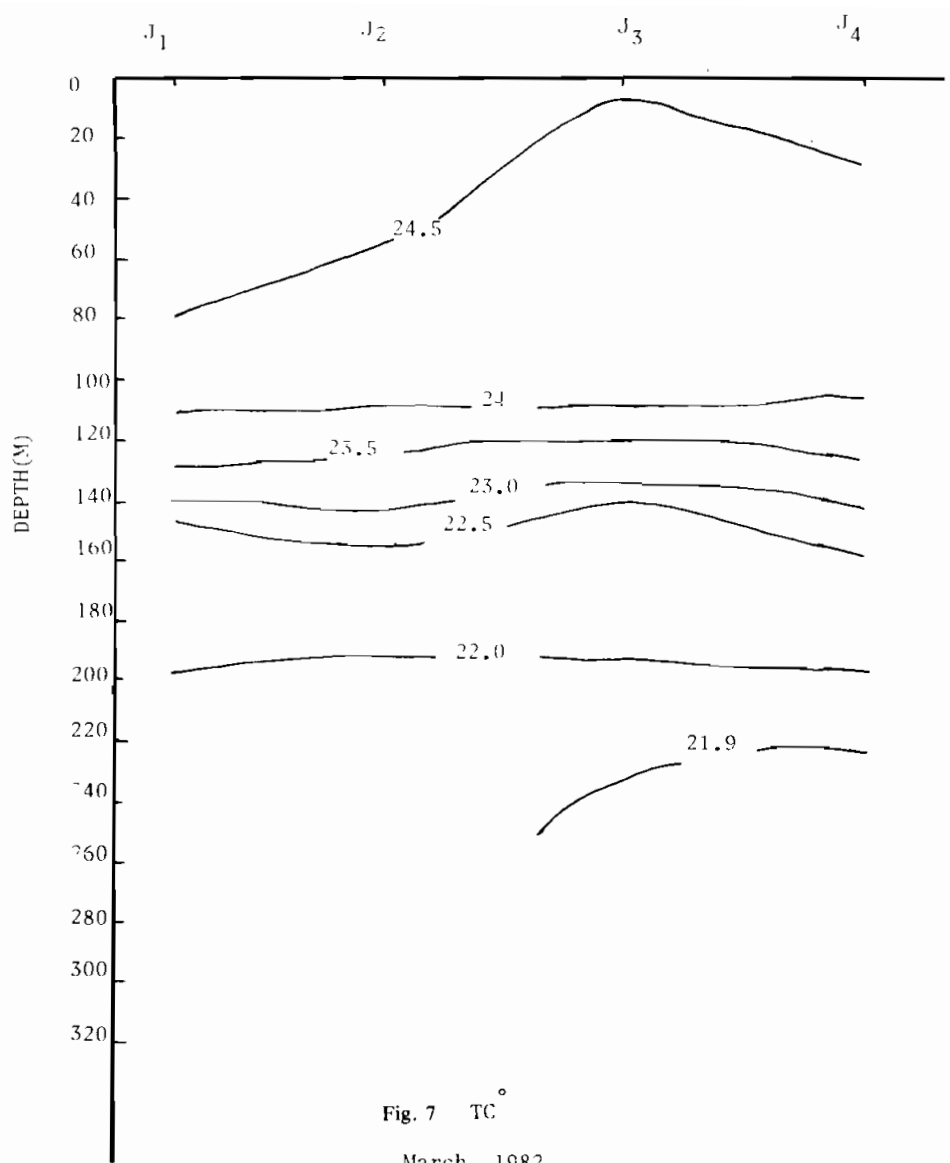
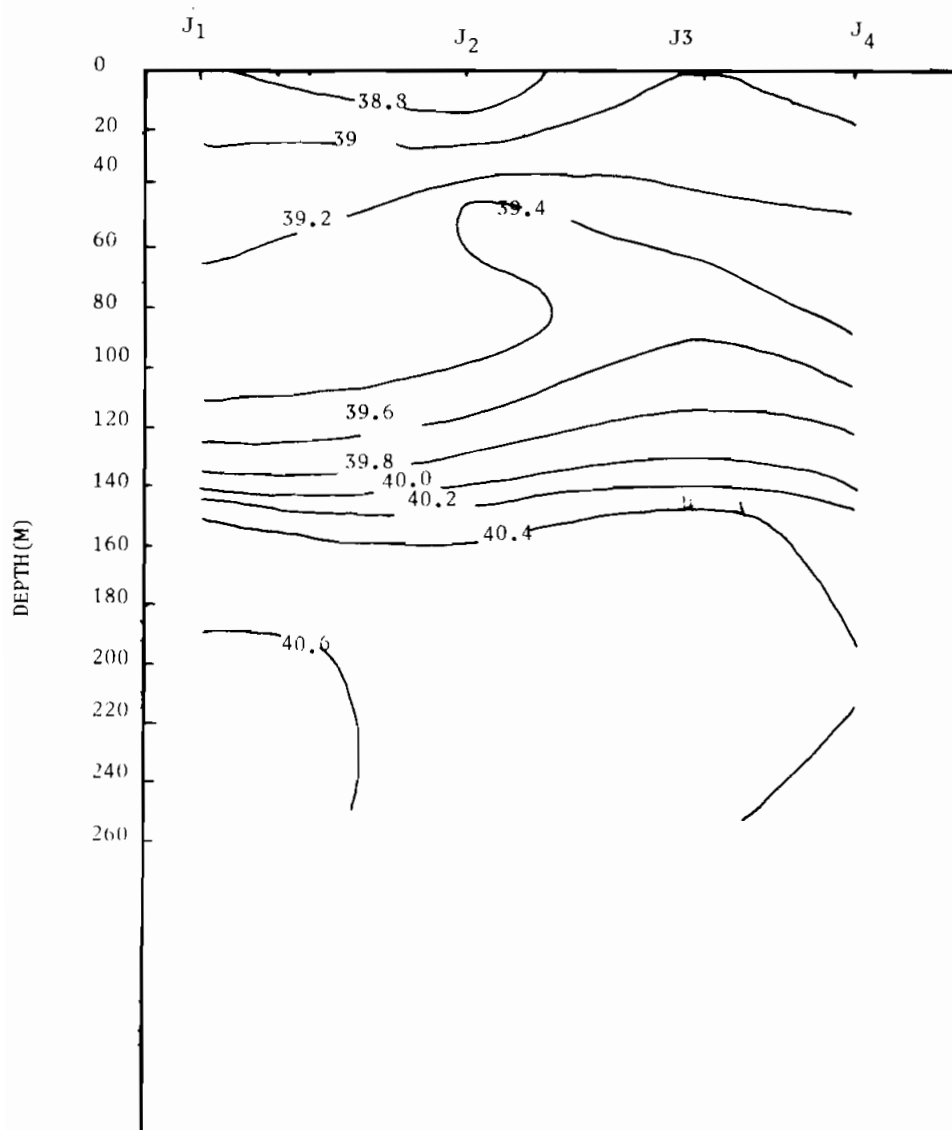


Fig 7

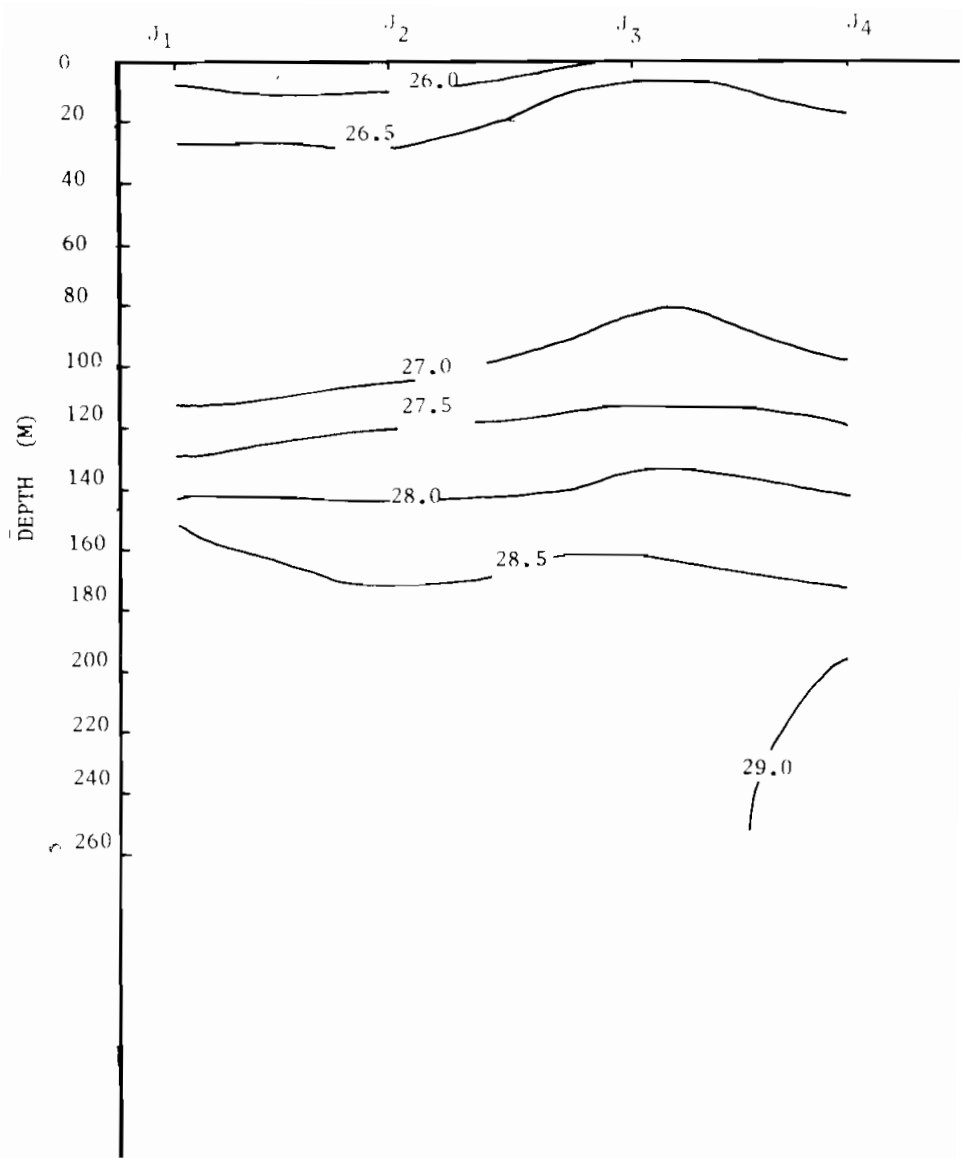
شكل (٧) : توزيع الملوحة والحرارة والكتافة على امتداد القطاع J ، R ، Q خلال مارس ١٩٨٢



S₈₀

March 1982

Fig 7



σ_t

March 1982

SV

Fig 7

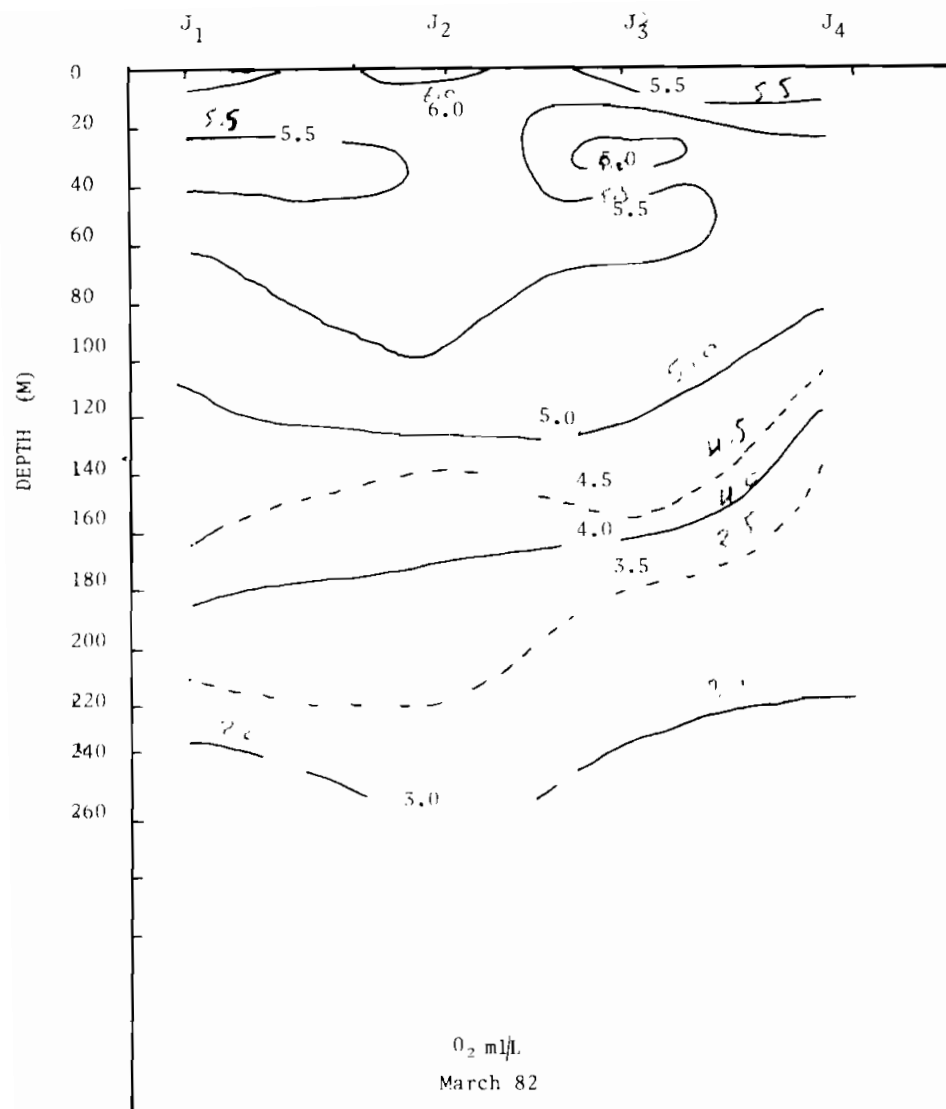
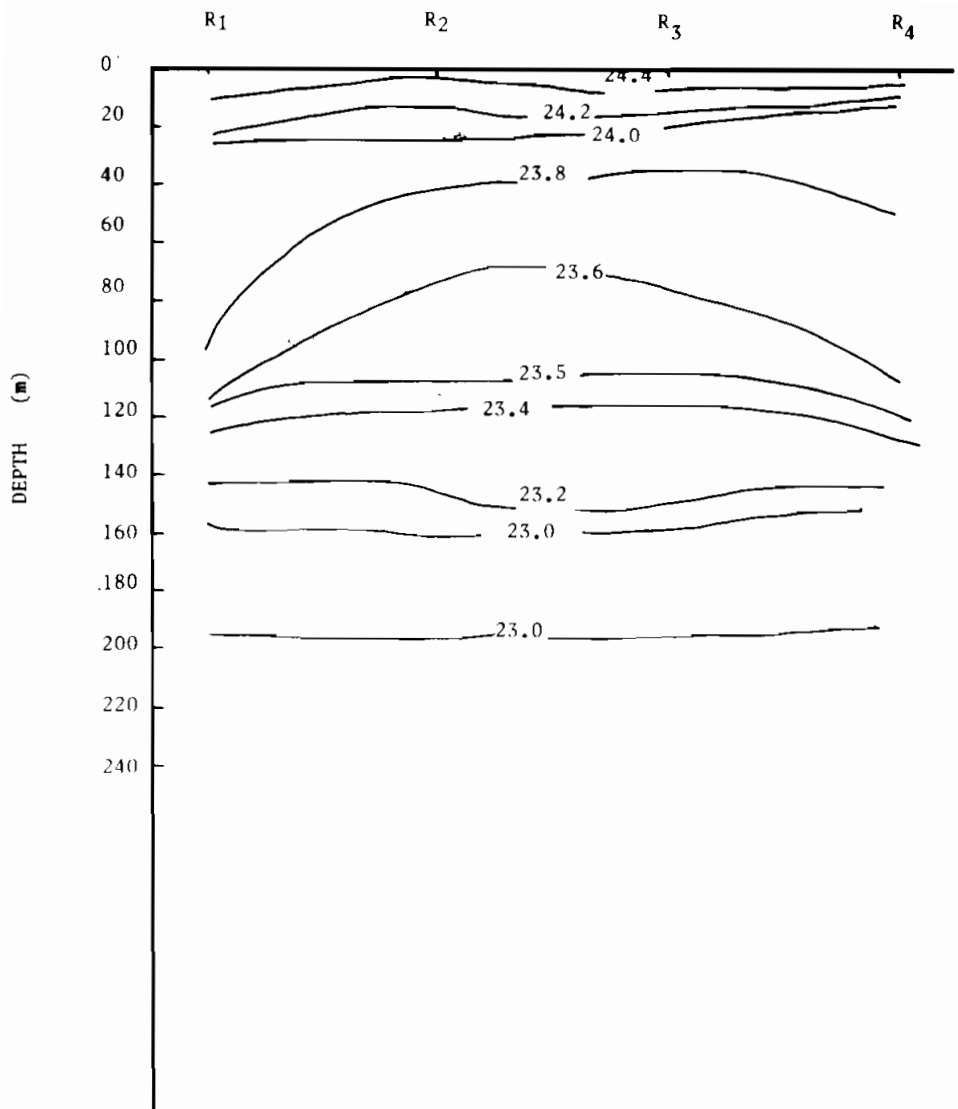
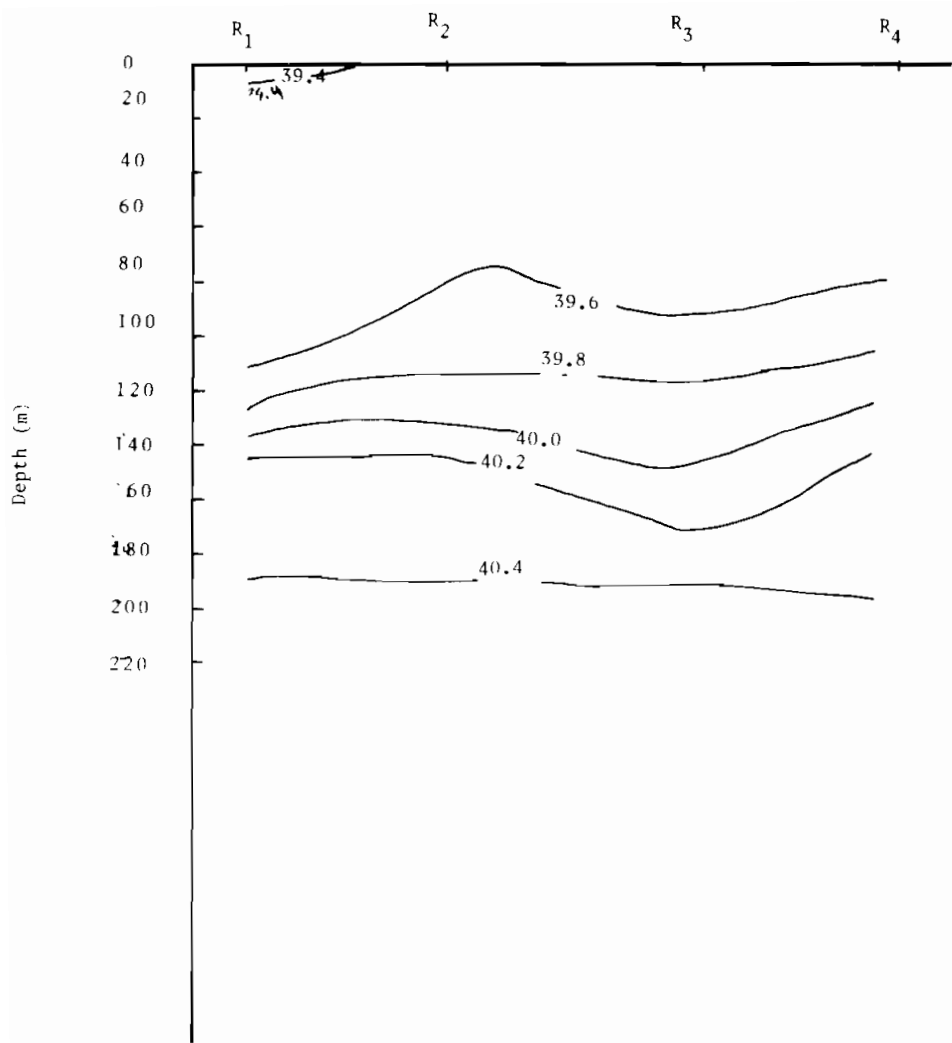


Fig 7



T°C
March 1982 (T°C)

Fig 7



March 1982 (Salinity)

Fig 7

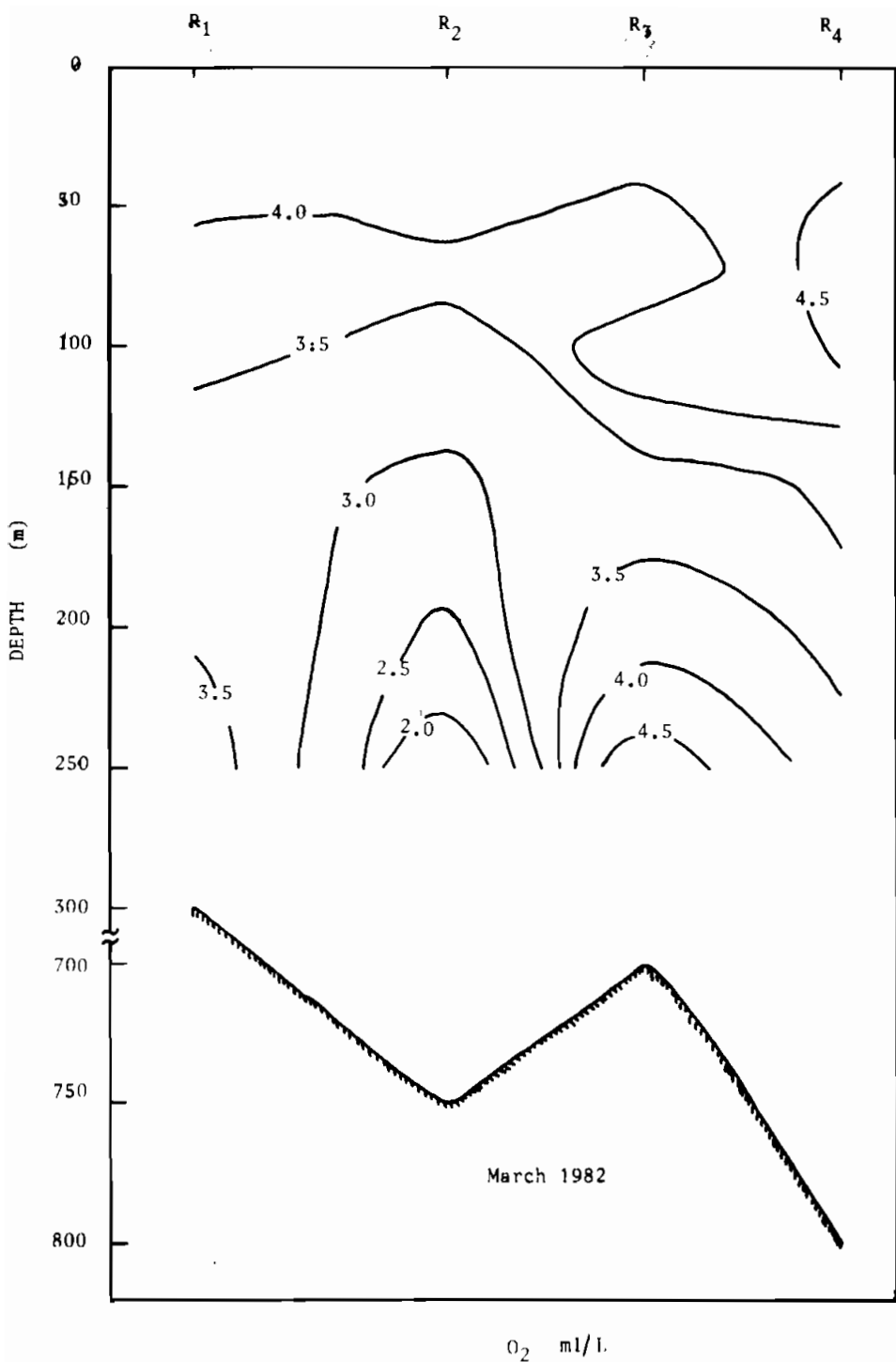


Fig 7

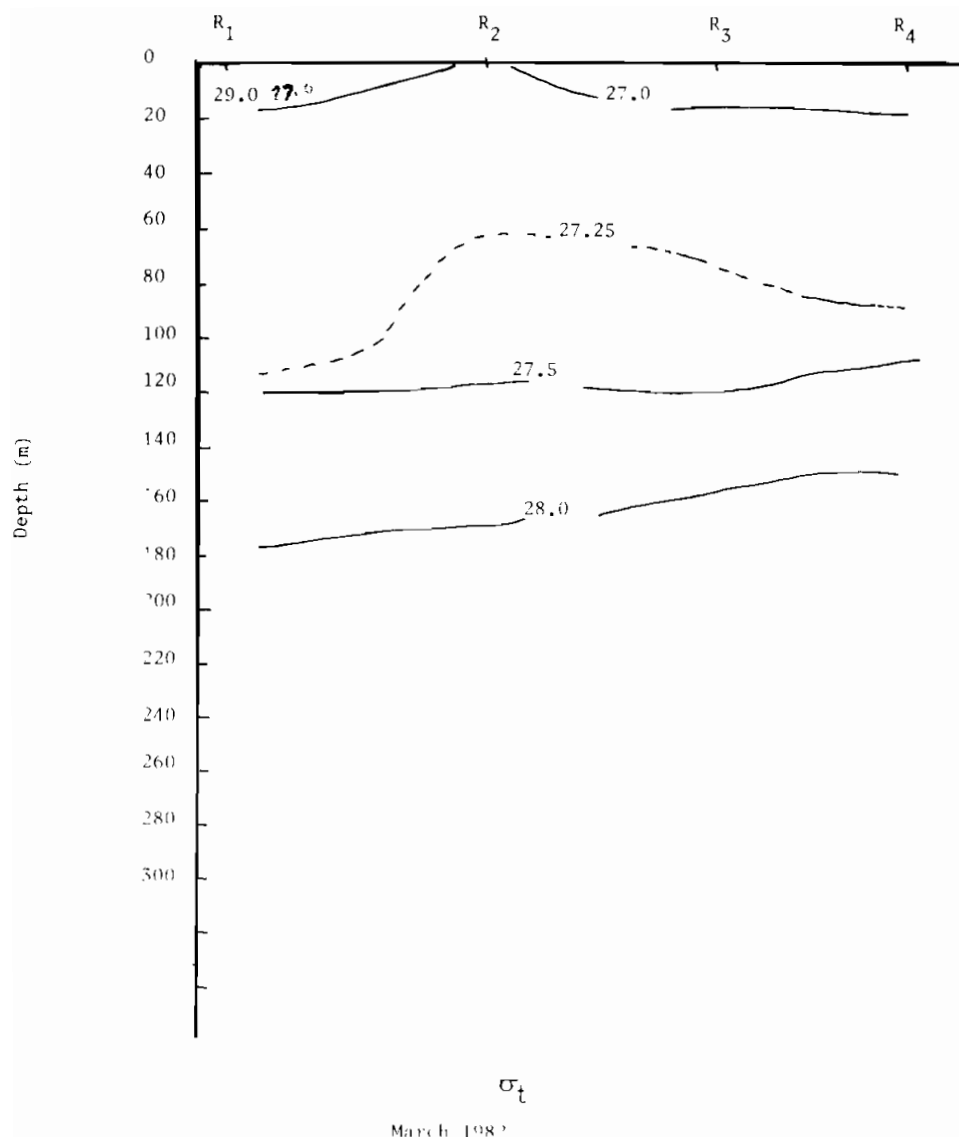
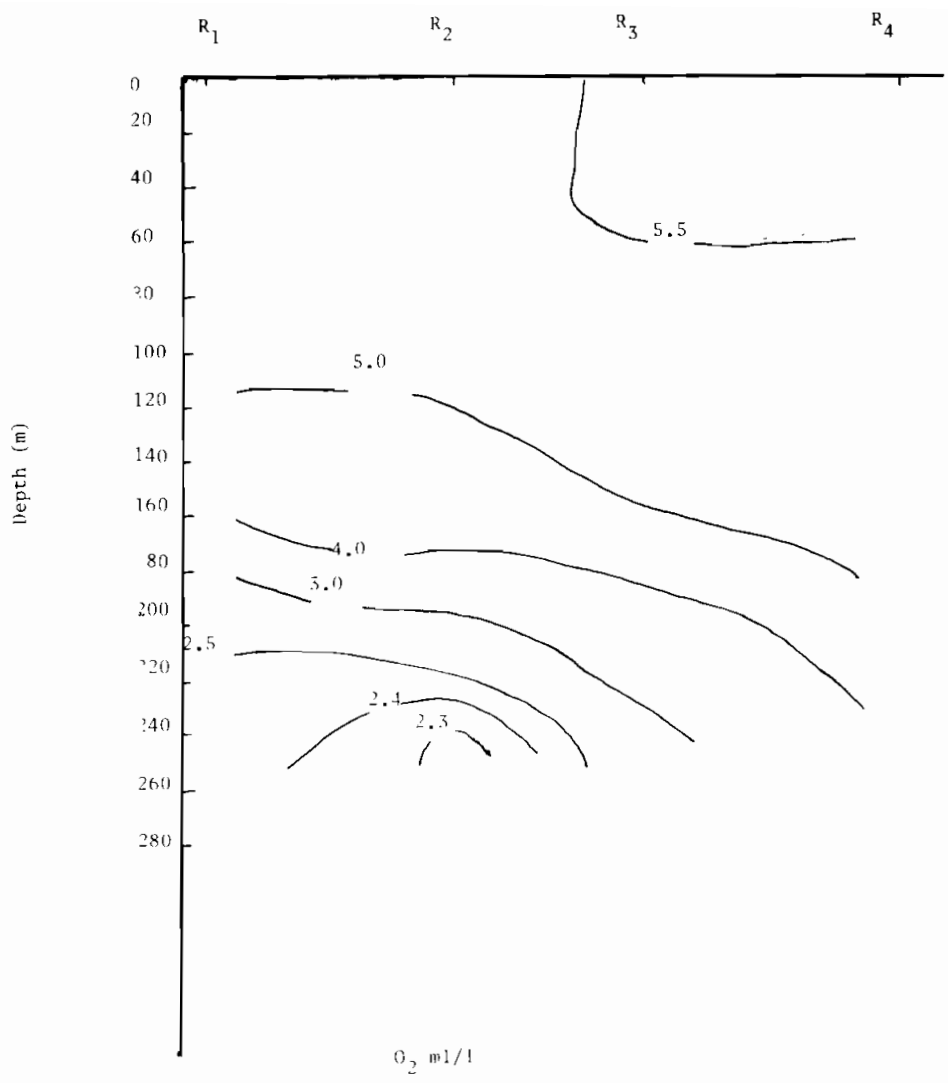


Fig 7



O_2 ml/l

March 1982

Fig 7

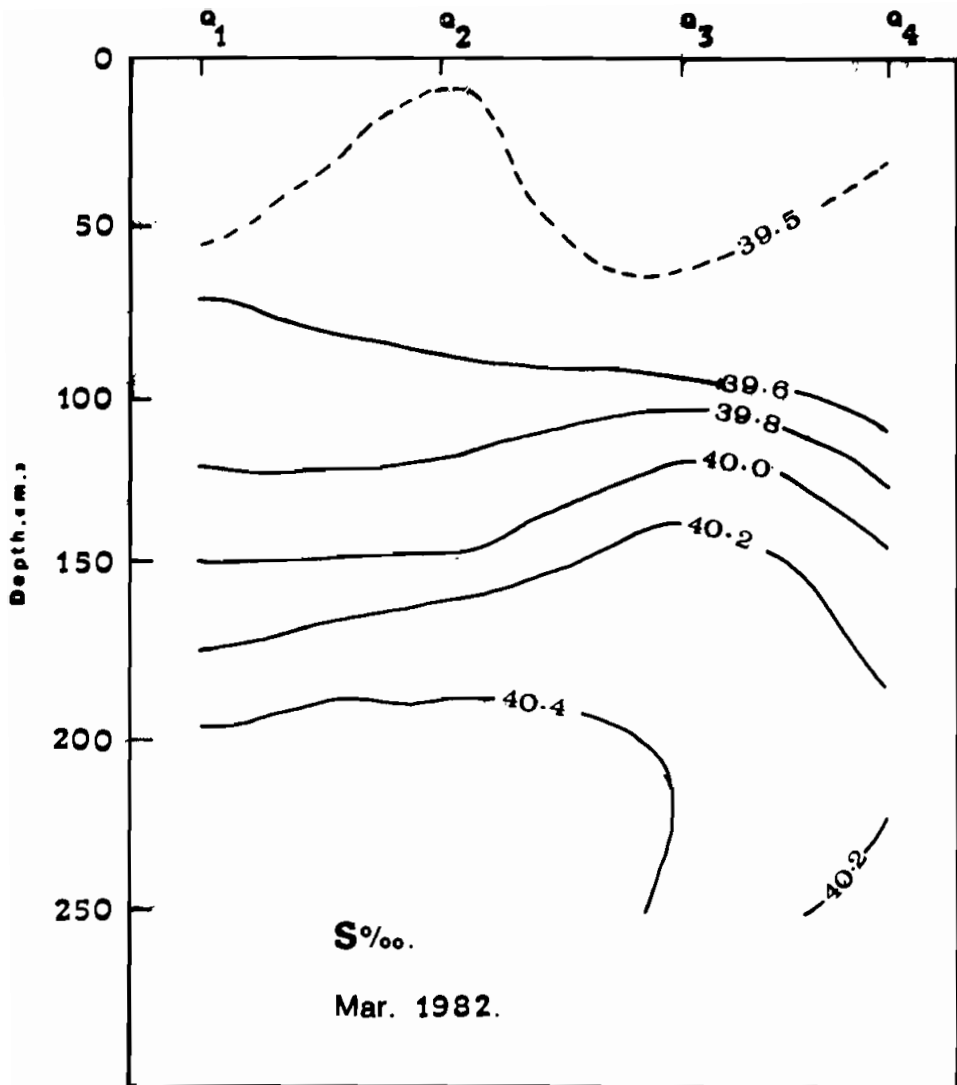


Fig. 7

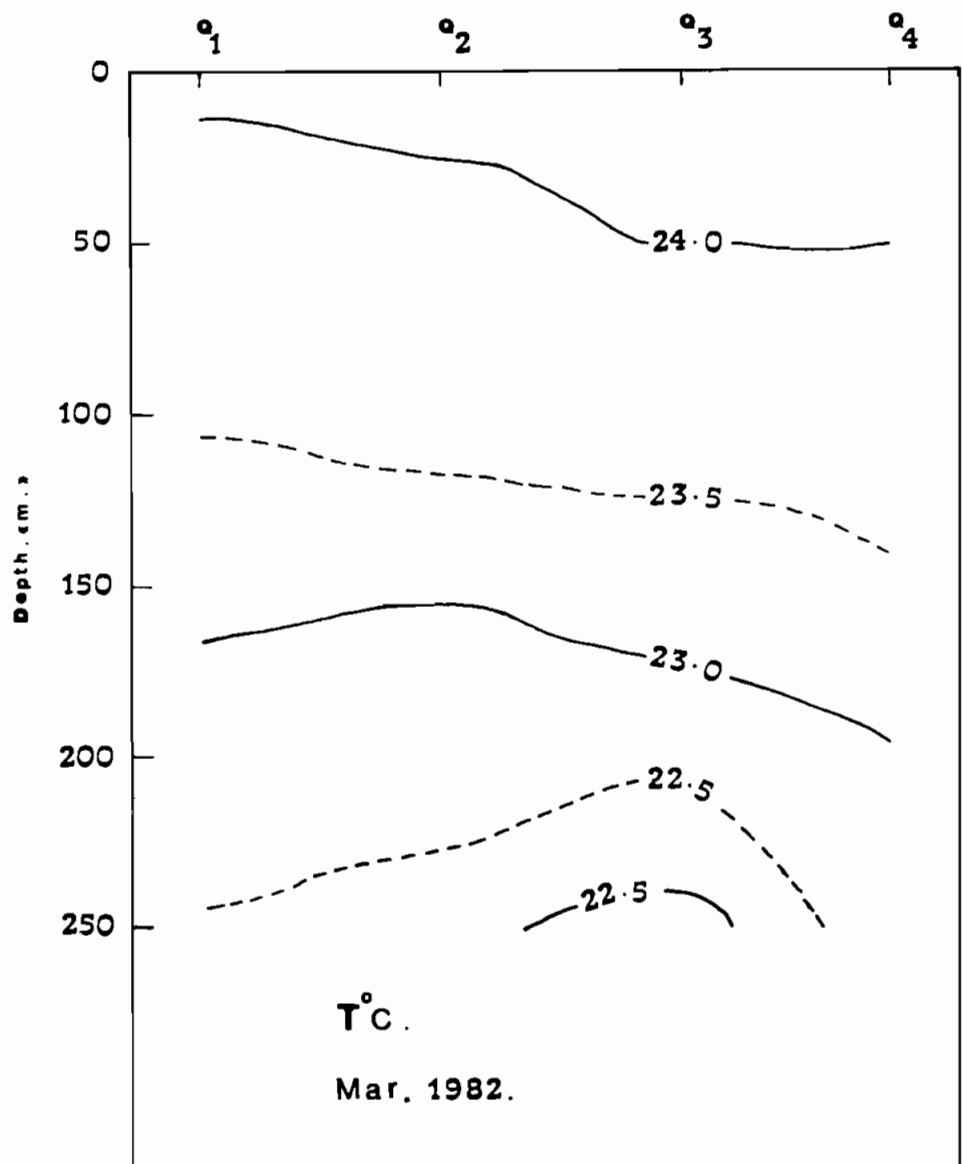
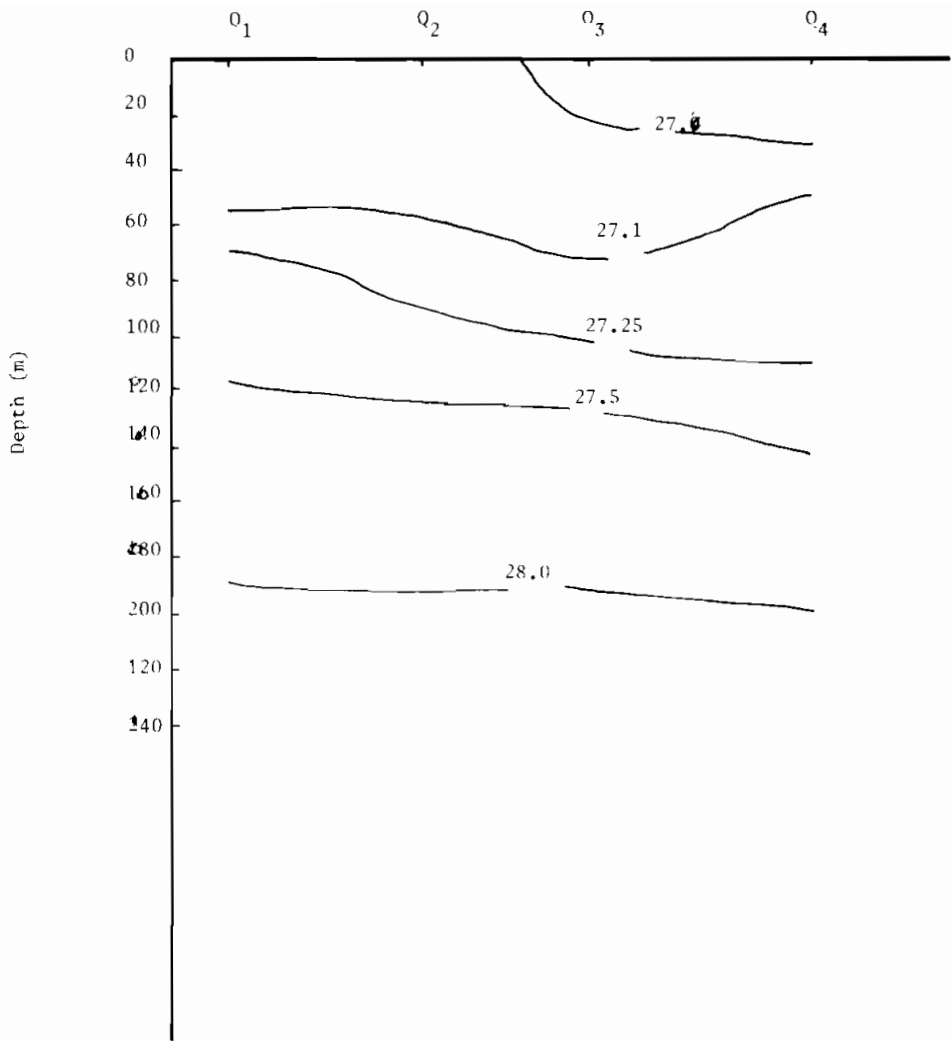
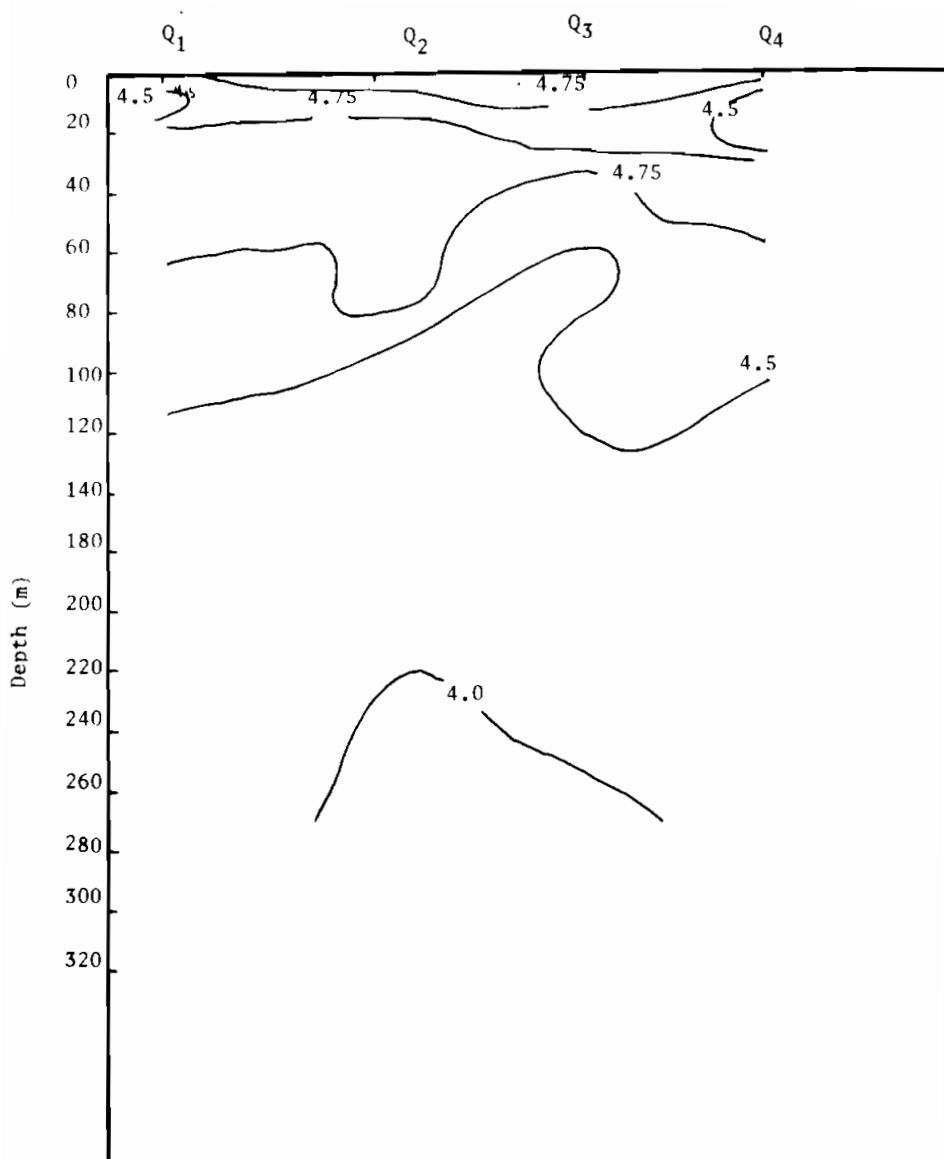


Fig. 7



σ_t
March 1982

Fig 7



March 1982 O₂ ml/l

Fig 7

©V

ومن دراسة التوزيع الأفقي للملوحة والحرارة والكثافة والأوكسجين للمياه الممتدة موازية للساحل السعودي من الجنوب للشمال على امتداد القطاع ١ شكل (٨) نجد أنه في الطبقة السطحية الممتدة حتى عمق ١٠٠ متر أن الملوحة عند السطح منخفضة نسبياً عند J، (٠.٣٨٨١٪) ثم ترداد زيادة ملحوظة كلما اتجهنا شمالاً فتصبح ٤٧٪ عند الحطة R، على مسافة حوالي ١٣٠ كم إلى الشمال . ولكن الزيادة في ملوحة المياه لا تستمر كلما اتجهنا شمالاً . فيلاحظ أن ملوحة المياه السطحية عن الحطة Q، تساوى تقريباً مع ملوحة المياه السطحية عند الحطة R، . أما ملوحة المياه تحت سطحية حتى عمق ١٠٠ متر فنجد أنها أيضاً تزيد - كلما اتجهنا شمالاً من J إلى R، ولكنها تنقص إذا اتجهنا من R إلى Q، . وان كان الفرق بين الملوحة عند J، R، كبيراً بينما يصغر الفرق بين الملوحة عند R، Q، . ويلاحظ أيضاً أن التغير الرئيسي في الملوحة في هذه الطبقة عند الحطة J، أكبر بكثير من التغير الرئيسي عند الحطة R، والحطة Q، إذ يبلغ في الأولى ٤٪ في المائة متراً الأولى ، بينما لا يتعدى ٠.٨٪ عند R، تفوق مثيلتها عند الحطتين J، Q، ، وهذا المرجح هو المسئول عن ازدياد الملوحة في المائة متراً الأولى عند R، عندهما عند Q، .

ومن هذا التوزيع يمكن أن نستنتج أن المياه السطحية والتحت سطحية حتى عمق حوالي ١٠٠ متر تتحرك بالقرب من الساحل في القطاع . متوجهة من الجنوب إلى الشمال حيث تتعرض للبحر طوال طريقها . ويلاحظ وجود امتداج المياه في المسافة الواقعية بين R، Q، حيث تقارب ملوحة المياه عند الأعمق الواحدة مما يدل على وجود حركة أفقية للمياه بين R، Q، ولكن مثل هذه الحركة لا تتضح بين R، Q، وفي الطبقة المنحدر الحراري يمكن استنتاج وجود حركة امتداج أفقى للمياه على امتداد القطاع ١ وأن المياه عالية الملوحة (أكبر من ٤٪) تتجه من الشمال إلى الجنوب عند هذه الأعمق .

ويلاحظ أن تأثير طبقة المنحدر الحراري واضحأ نظراً لأن ملوحة المياه الموجودة أعلىها تقل كثيراً عن ملوحة المياه الموجودة أسفلها ، وكذلك يلاحظ وجود فروق واضحة في درجة الحرارة .. وتتضاعف هذه الفروق بالقرب من الساحل في القطاع ١ .. وتقل هذه الفروق كلما بعذنا عنه في القطاعات ٢ ، ٣ ، ٤ .

ب- ٥ - ٢ - ٢ - رحلة ديسمبر ١٩٨٢ م :

تدل النتائج التي حصلنا عليها في شهر ديسمبر ١٩٨٢ م على زيادة ملحوظة في الملوحة وزيادة طفيفة في الحرارة عند كل الحطات بالمقارنة بشهر مارس ١٩٨٢ م ، فقد تراوحت الملوحة في شهر ديسمبر بين ٢٪ و ٣٪ ، ٤٪ في حين كانت تتراوح في شهر مارس بين ٧٪ و ١٠٪ .

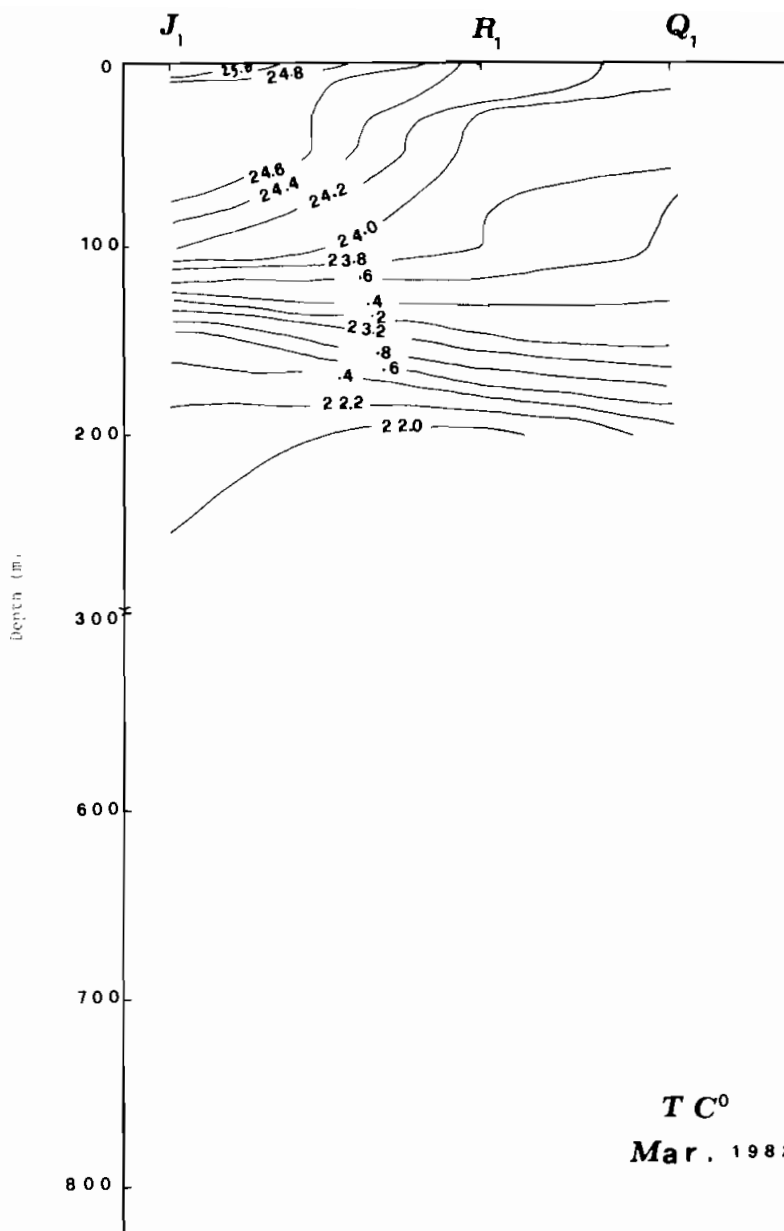


Fig 8

شكل (٨) : توزيع الحرارة والملوحة والكتافة والاكسجين على امتداد القطاعات (١) ، (٢) ، (٣) ، (٤) ، خلال مارس ١٩٨٢

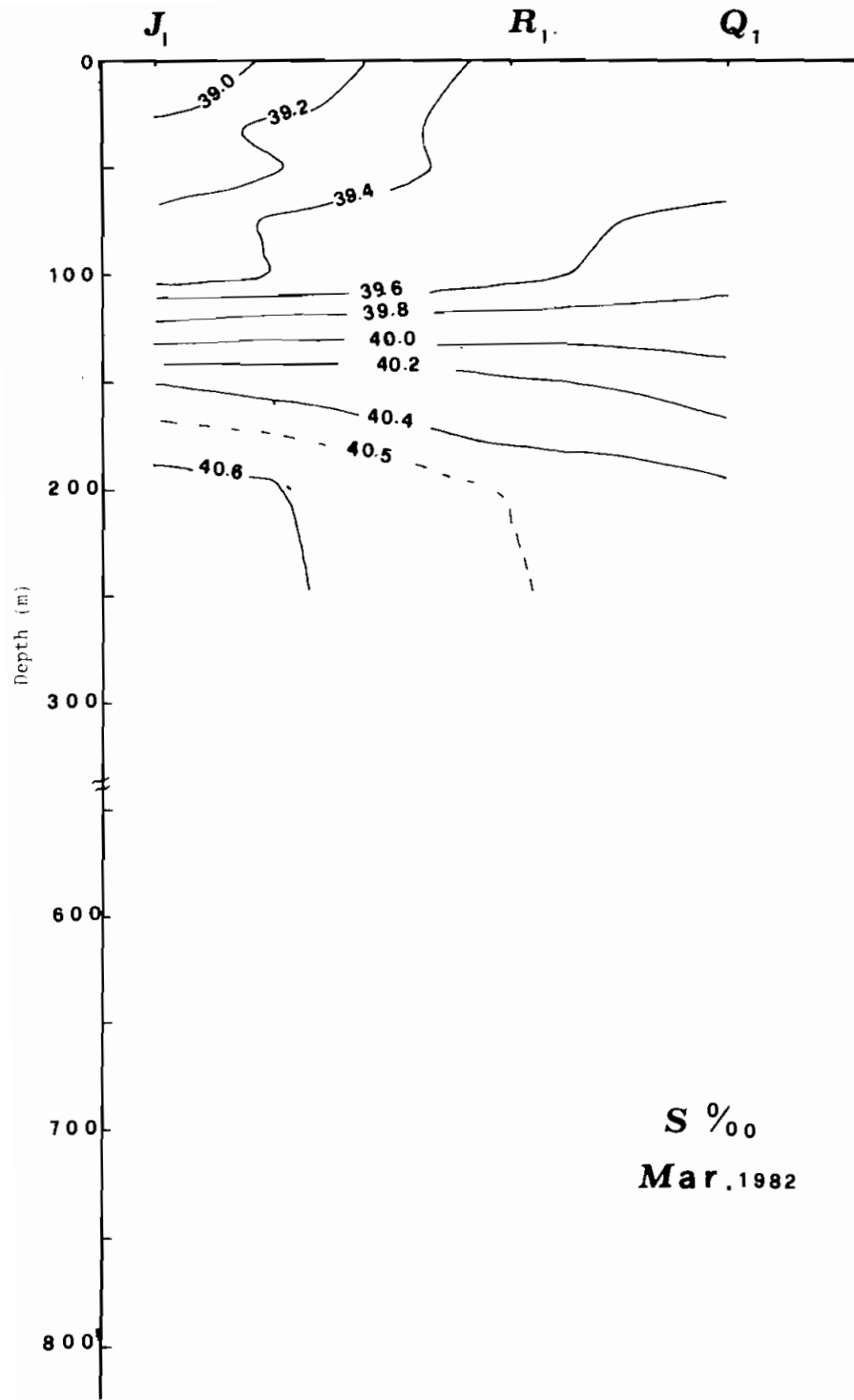


Fig. 8

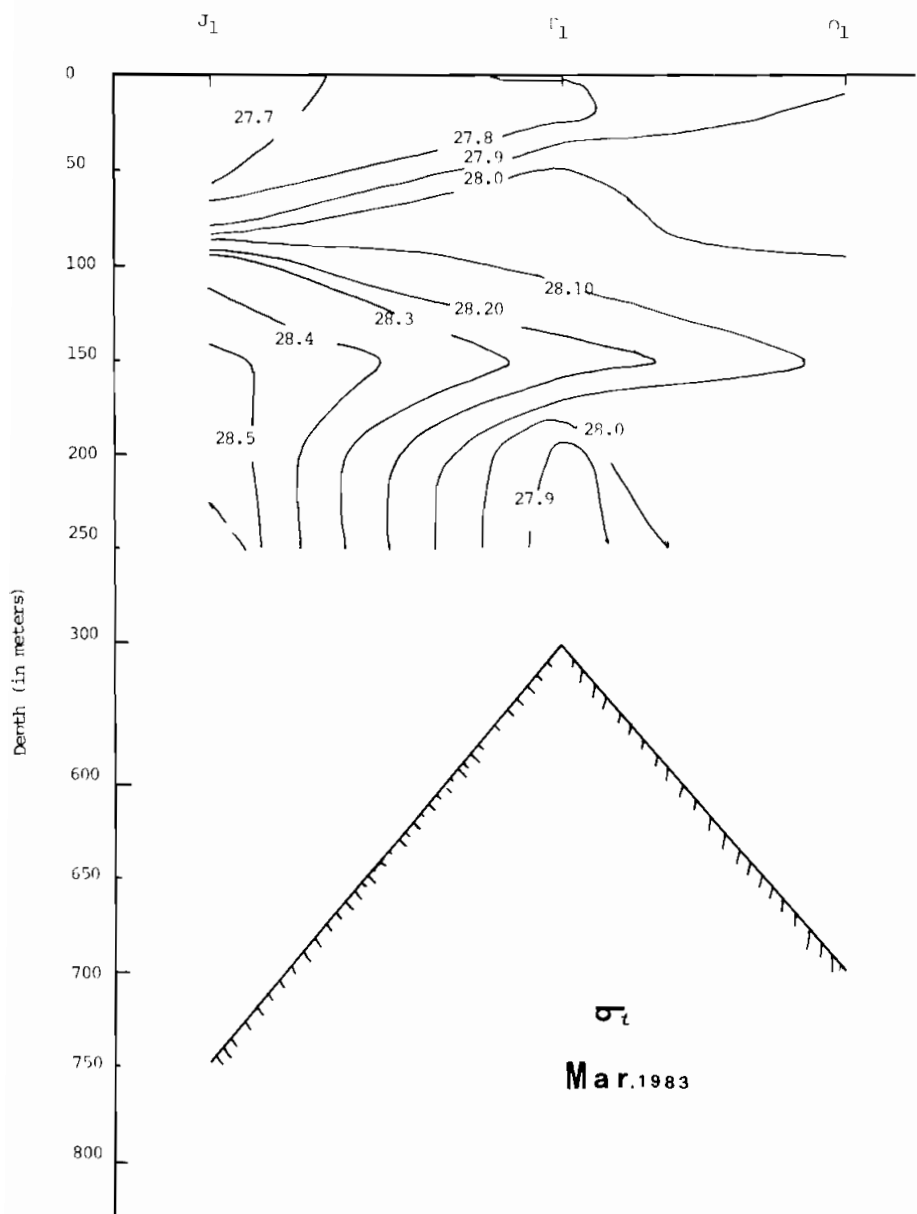


Fig 8

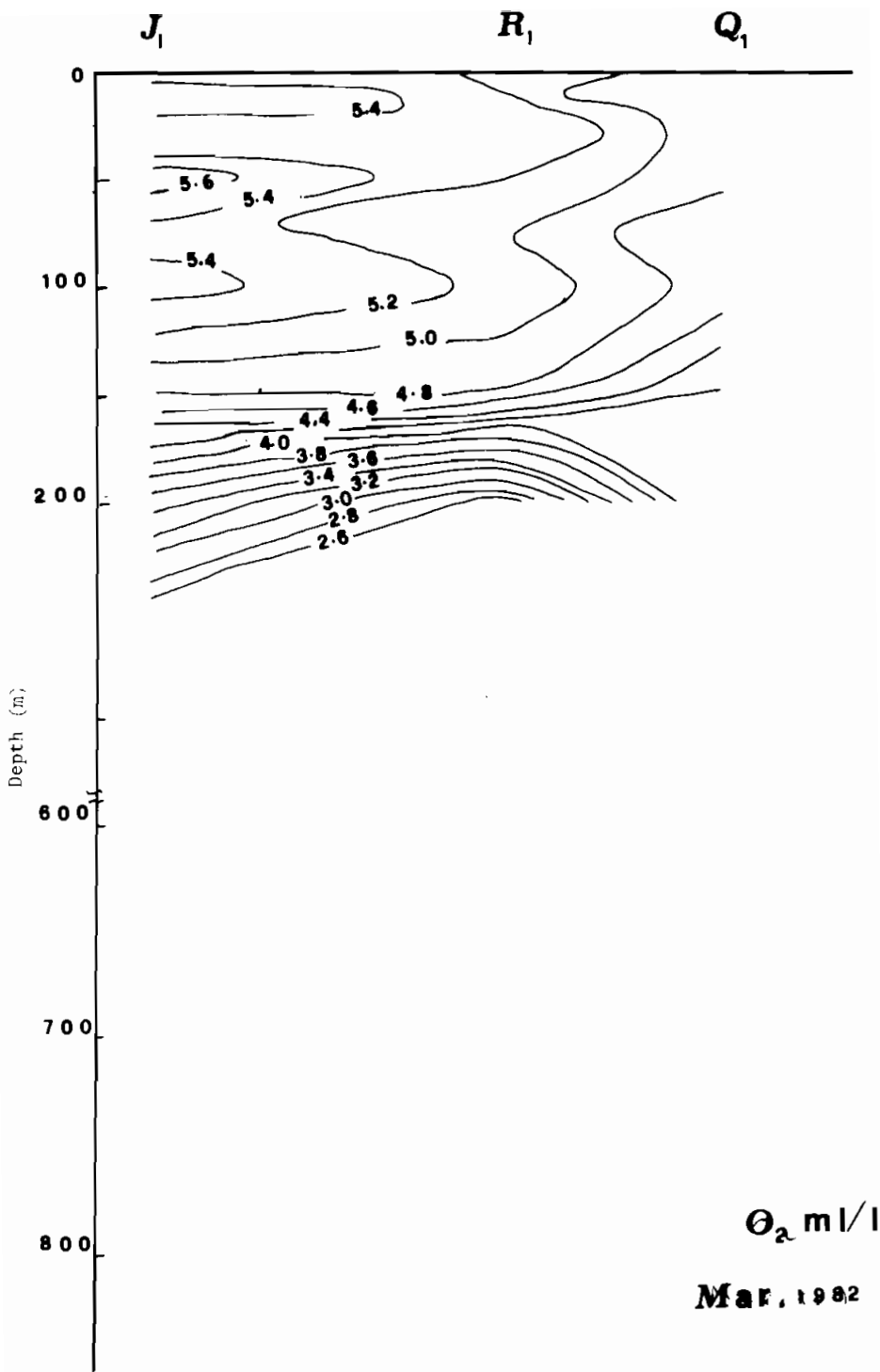


Fig. 8

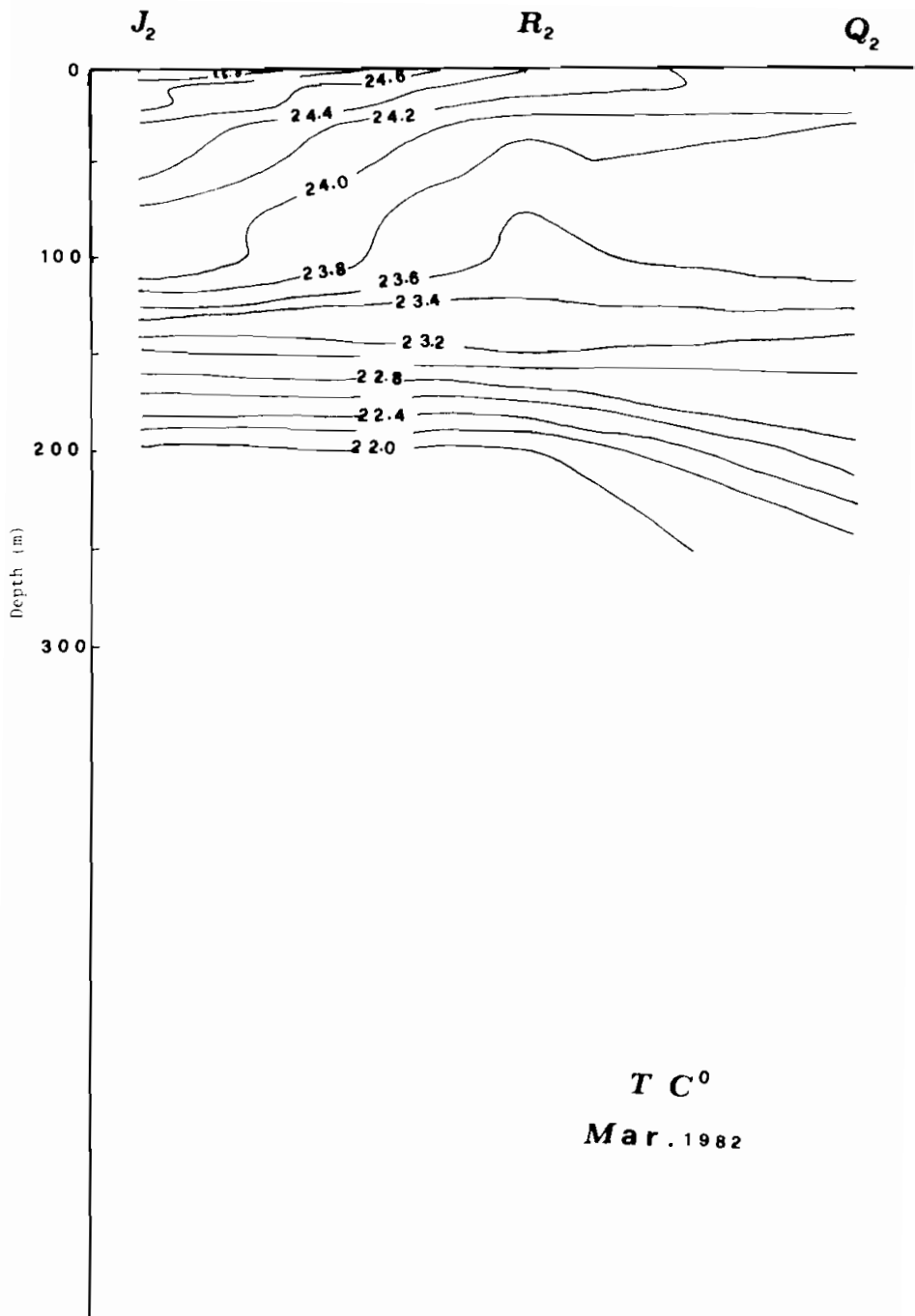


Fig. 8

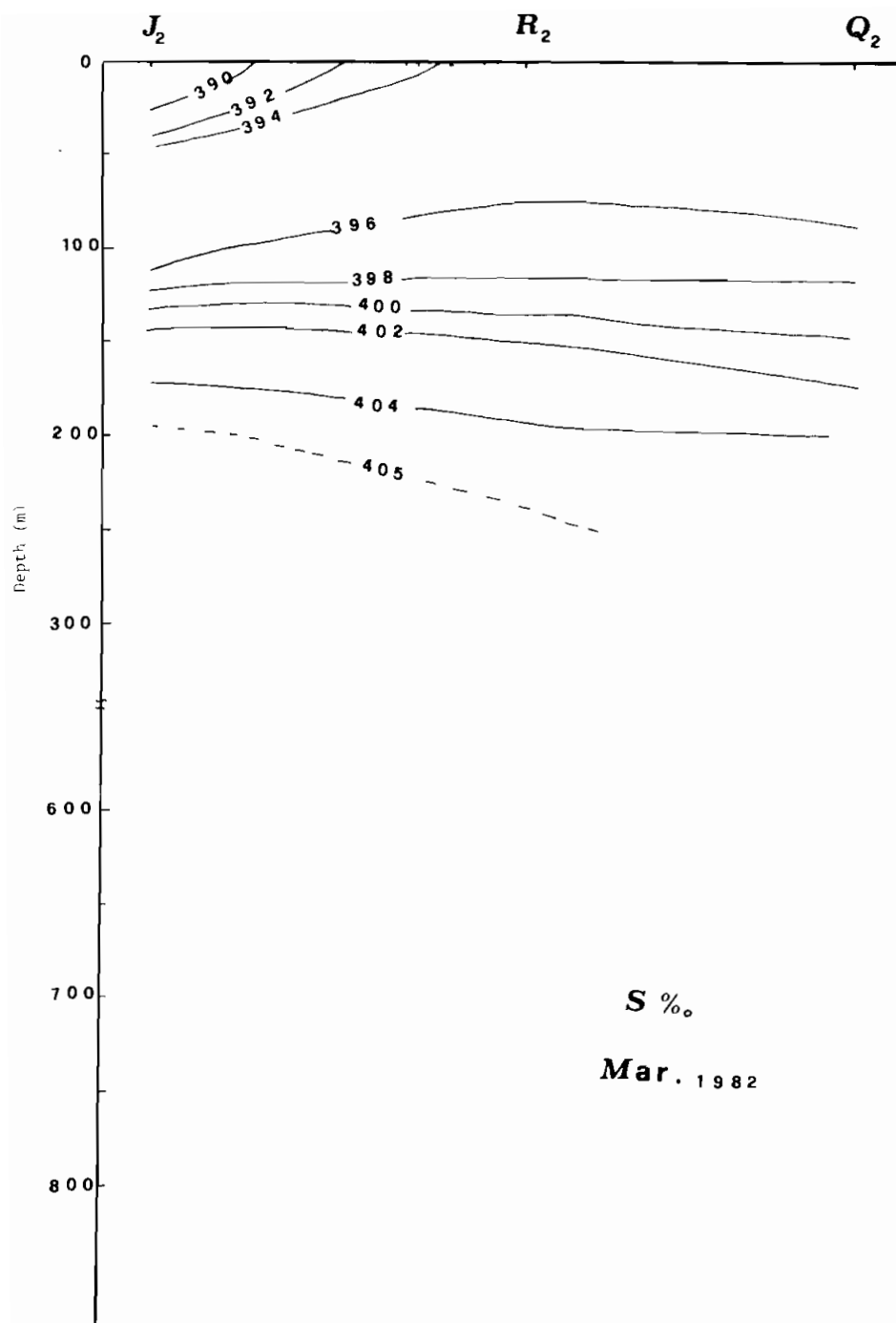
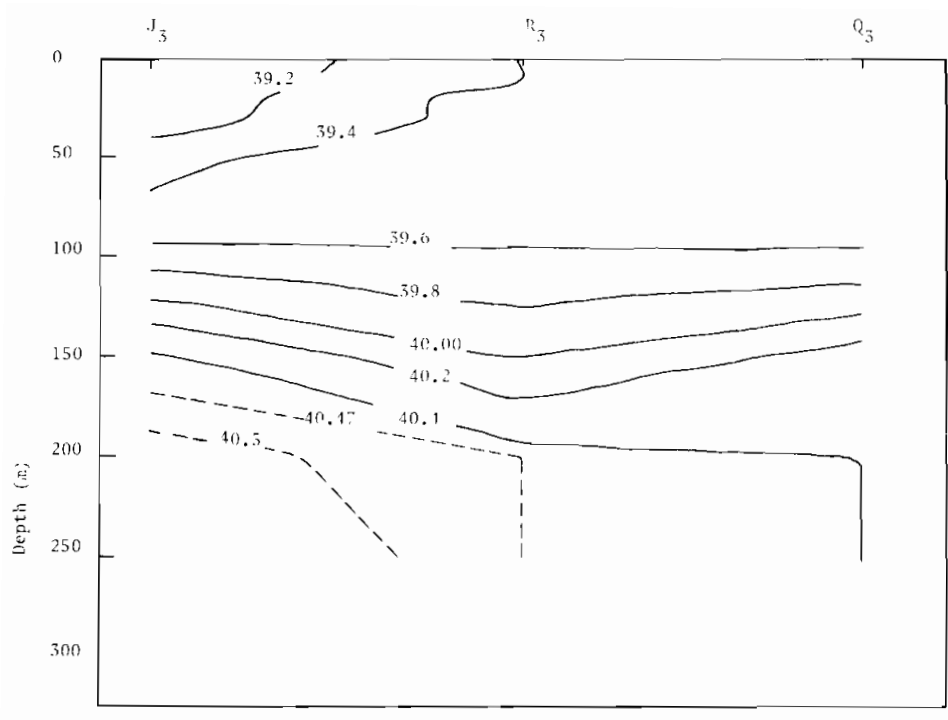


Fig 8



550 Fig. 8

March 1982

S'g

600

Fig 8

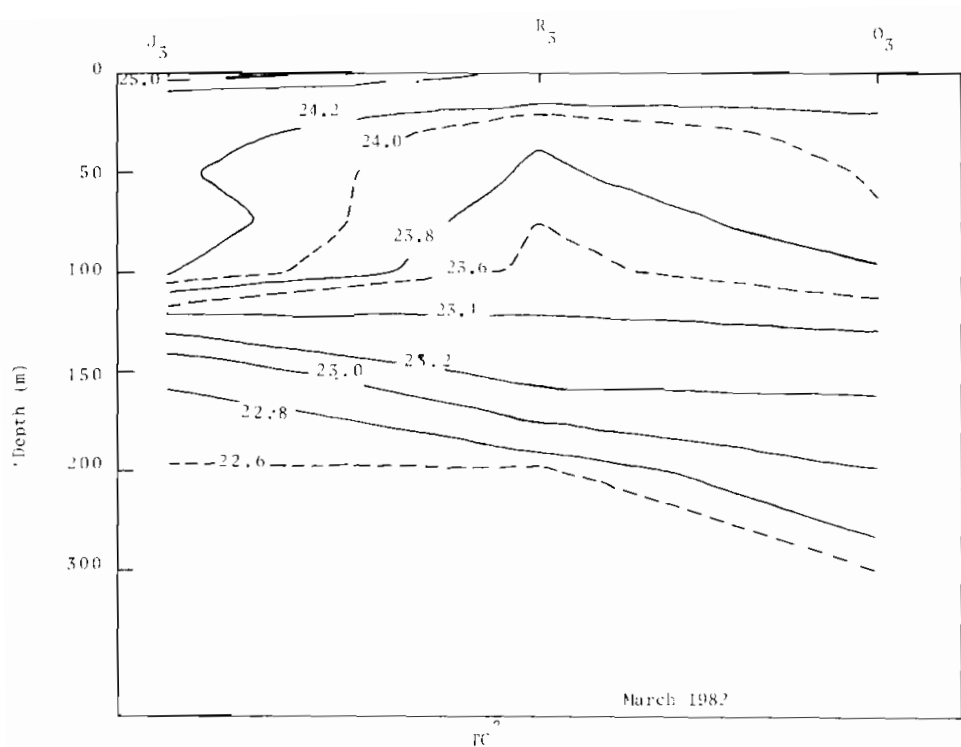
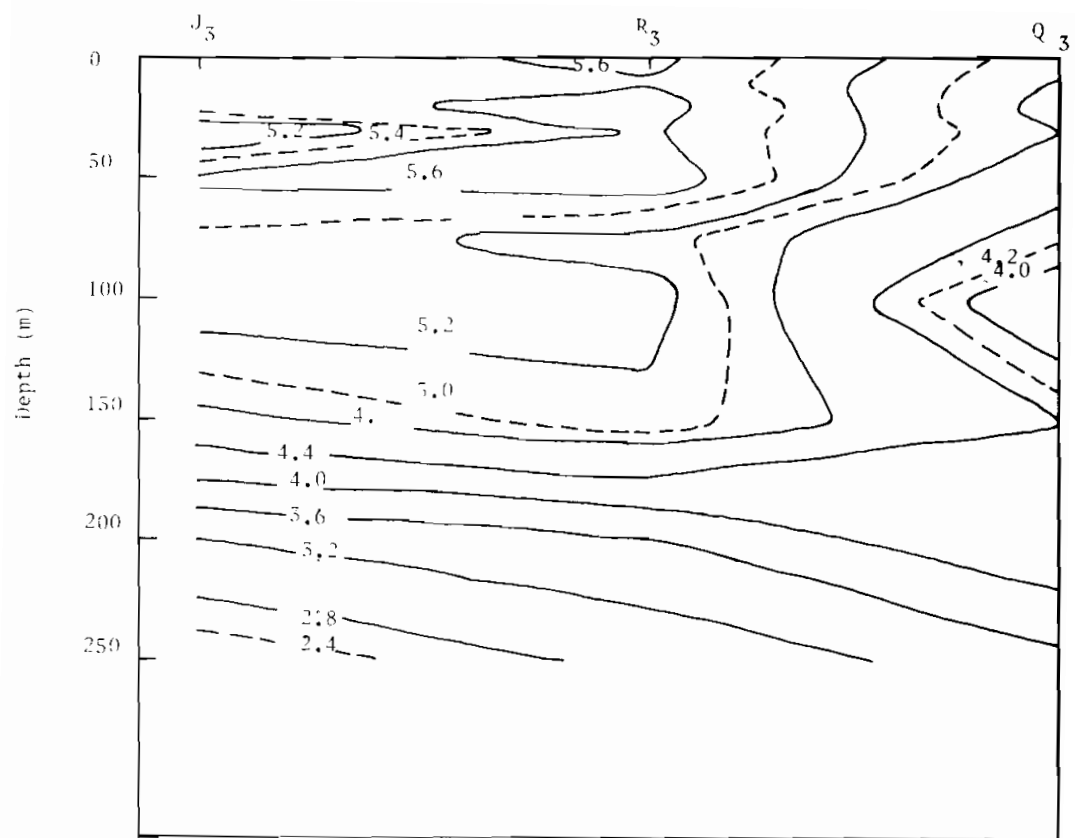


Fig 8



March 1982

Oxygen

Fig 8

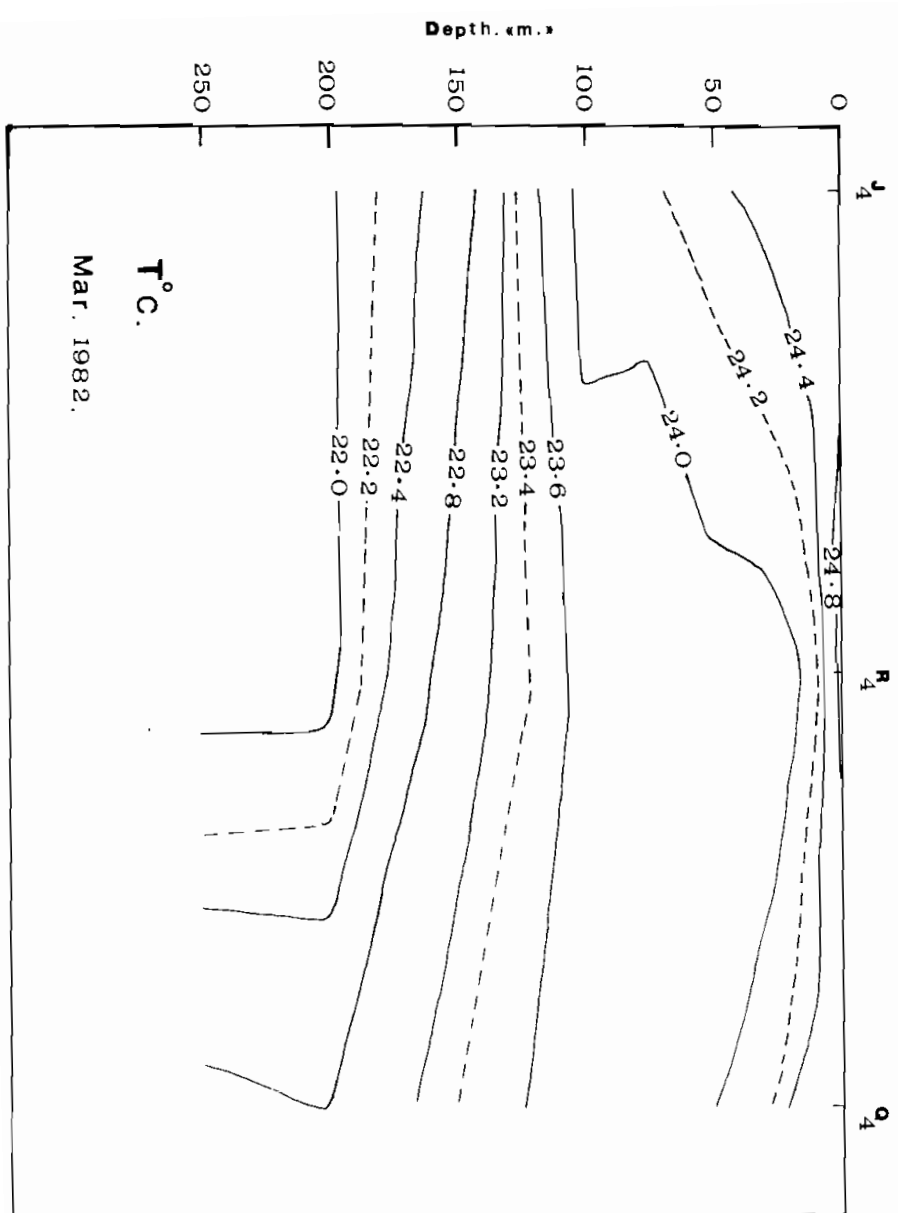
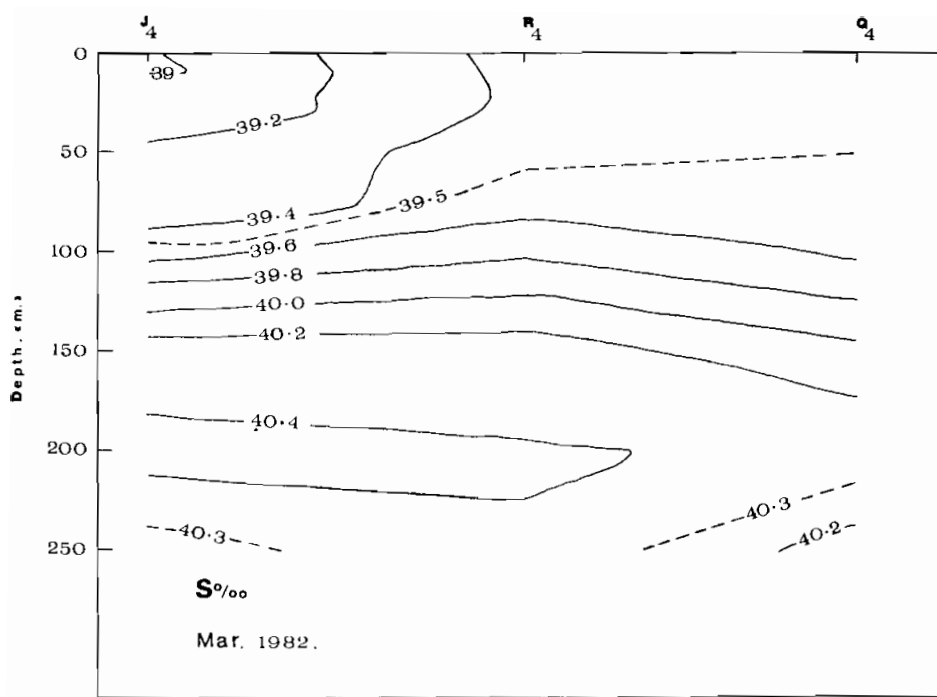


Fig. 8



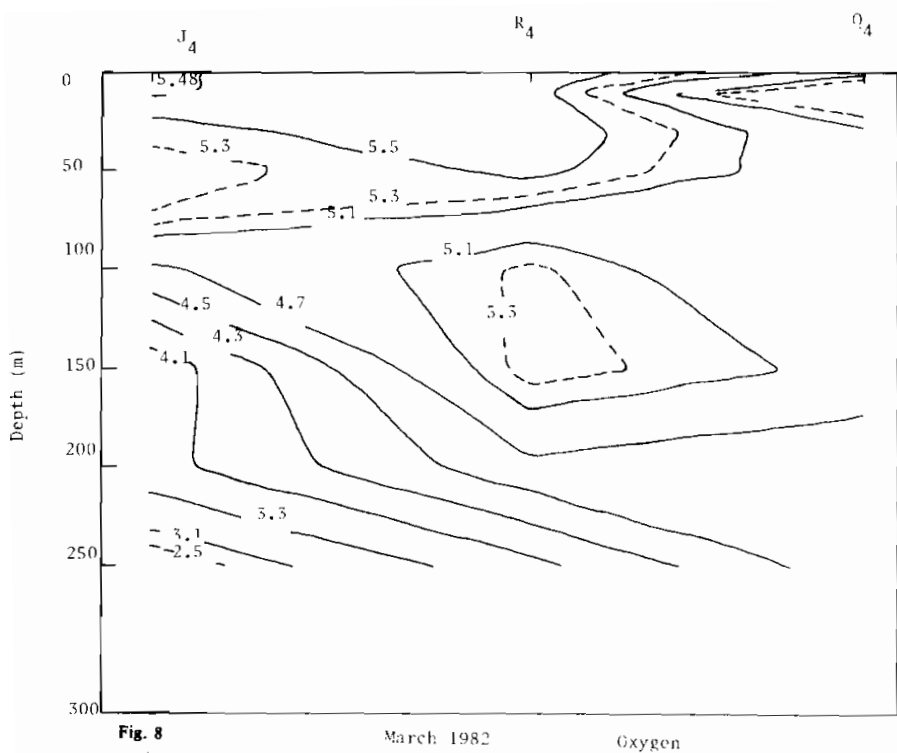


Fig. 8

ويبين التوزيع الرأسي للملوحة والحرارة والكتافة والأكسجين في محطات القطاع J شكل (٩) أن التغير الرأسي لهذه العوامل غير منتظم في الخمسين مترا العليا من المياه . ولكن الملوحة تتزايد بوجه عام تدريجيا مع العمق في هذه الطبقة .. أما الحرارة السطحية فيلاحظ أنها كانت أقل من الحرارة تحت سطحية عند الأعمق الآتية : ١٠٠ متر في المحطة J ، ٥٠ متر في المحطة J ، ٢٥ متر في المحطة J وسنشرح سبب ذلك فيما بعد .

وتتمثل كثافة المياه إلى الزيادة التدريجية مع العمق . وهذا يعني أن عمود الماء مستقر فيما عدا بعض الأعمق القليلة عند J ، J التي تتوارد فيها مياه خفيفة فوقها مياه أثقل منها . وتتوارد هذه المياه عند الأعمق التي تميز بحرارة عالية نسبيا أو ملوحة منخفضة .

ويلاحظ أن التغير الرأسي في الأكسجين هو أكثر اختلافا في الطبقة السطحية العليا اذ قد يزيد أو ينقص مع العمق . ويرجع السبب في ذلك إلى أن تركيز الأوكسجين يخضع لعوامل كثيرة أهمها معدل انتاجه ومعدل استهلاكه فإذا زاد الانتاج عن الاستهلاك زاد تركيز الأوكسجين والعكس صحيح .

طبقة المياه المتعدة من عمق ٥٠ مترا إلى ١٠٠ مترا تزيد فيها الملوحة زيادة ملحوظة مع العمق .. وتقل فيها درجة الحرارة .. وتزداد الكثافة .. أما تركيز الأوكسجين فإنه يقل في بعض المحطات ويزيد في الأخرى .

وتتضح طبقة المنحدر الحراري والملوحي خلال هذا الشهر أعمق مختلفة شكل (٩) فعند J تظهر طبقة المنحدرة الحراري على عمقى ١٠٠ ، ٢٠٠ مترا حيث تنقص الحرارة بمعدل سريع مع العمق .. أما منحدر الملوحة فيظهر من عمق ٥٠ مترا إلى ١٠٠ مترا . ثم يظهر منحدر آخر من ١٥٠ إلى ٢٠٠ مترا ويظهر منحدر الكثافة عند عمق يمتد من ١٠٠ إلى ٢٠٠ مترا . أما في J فيظهر المنحدر عند عمق يمتد من ١٠٠ إلى ٢٠٠ مترا ومنحدر الملوحة من ٥٠ إلى ١٥٠ مترا ومنحدر الكثافة من ١٠٠ إلى ٢٠٠ مترا . وكذلك الحال في J ، J حيث تظهر منحدرات الحرارة والملوحة والكتافة عند أعمق مختلفة .

طبقة المياه الموجودة أسفل طبقة منحدر الملوحة قد تزيد فيها الملوحة زيادة طفيفة مع العمق كما في J ، J وقد تقل فيها الملوحة مع العمق بصورة واضحة كما في J ، J بحيث تقارب ملوحة المياه عند ٢٥٠ مترا مع ملوحة المياه في الطبقة السطحية وبالنسبة لدرجة حرارة المياه الموجودة أسفل طبقة المنحدر الحراري فقد تنقص الحرارة نقصا تدريجيا طفيفا مع العمق كما في J ، J أو قد تزيد زيادة كبيرة ملفتة للنظر بحيث تقارب درجات حرارة المياه الموجودة عند ٢٥٠ مترا مع درجة حرارة المياه في الخمسين مترا العليا كما في J ، J .

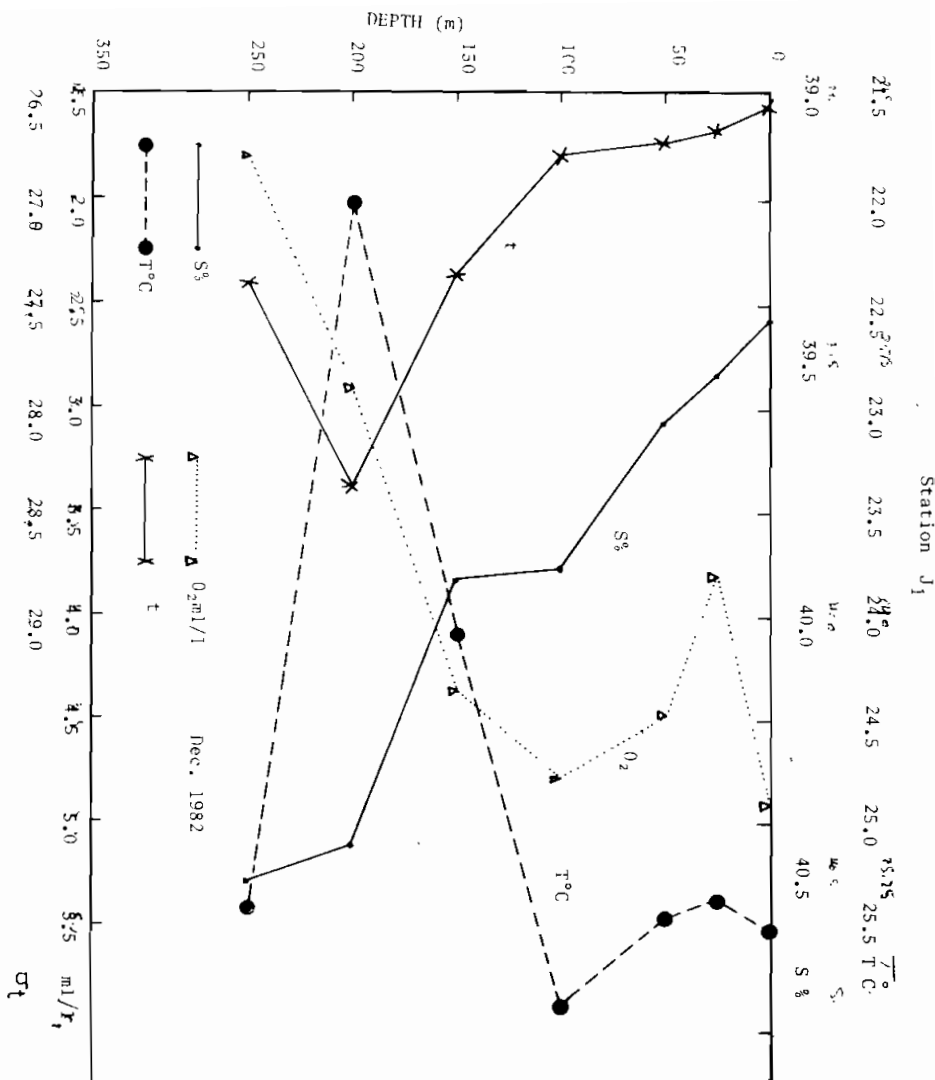


Fig 9

شكل (٩) : التغير الرأسي للحرارة والملوحة والكتافة والاكسجين مع العمق خلال ديسمبر ١٩٨٢

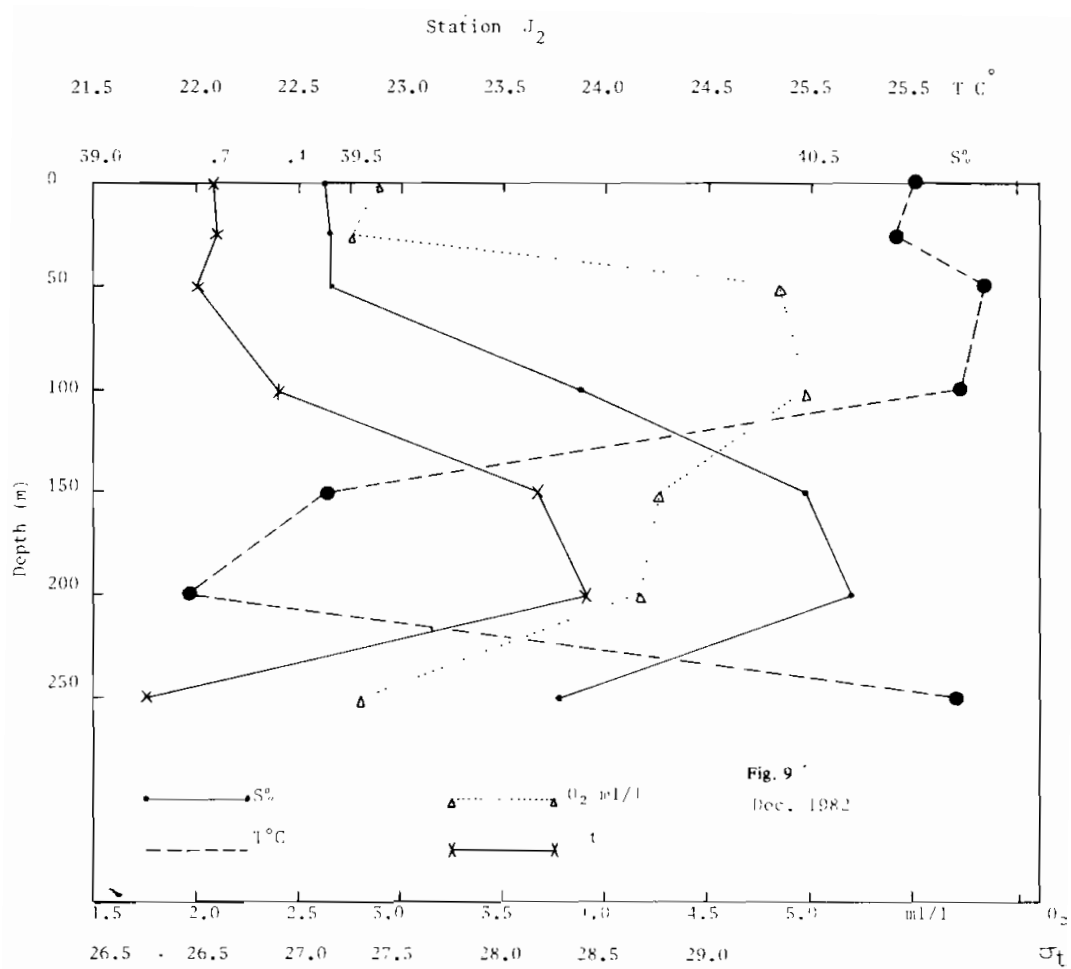


Fig 9

VR

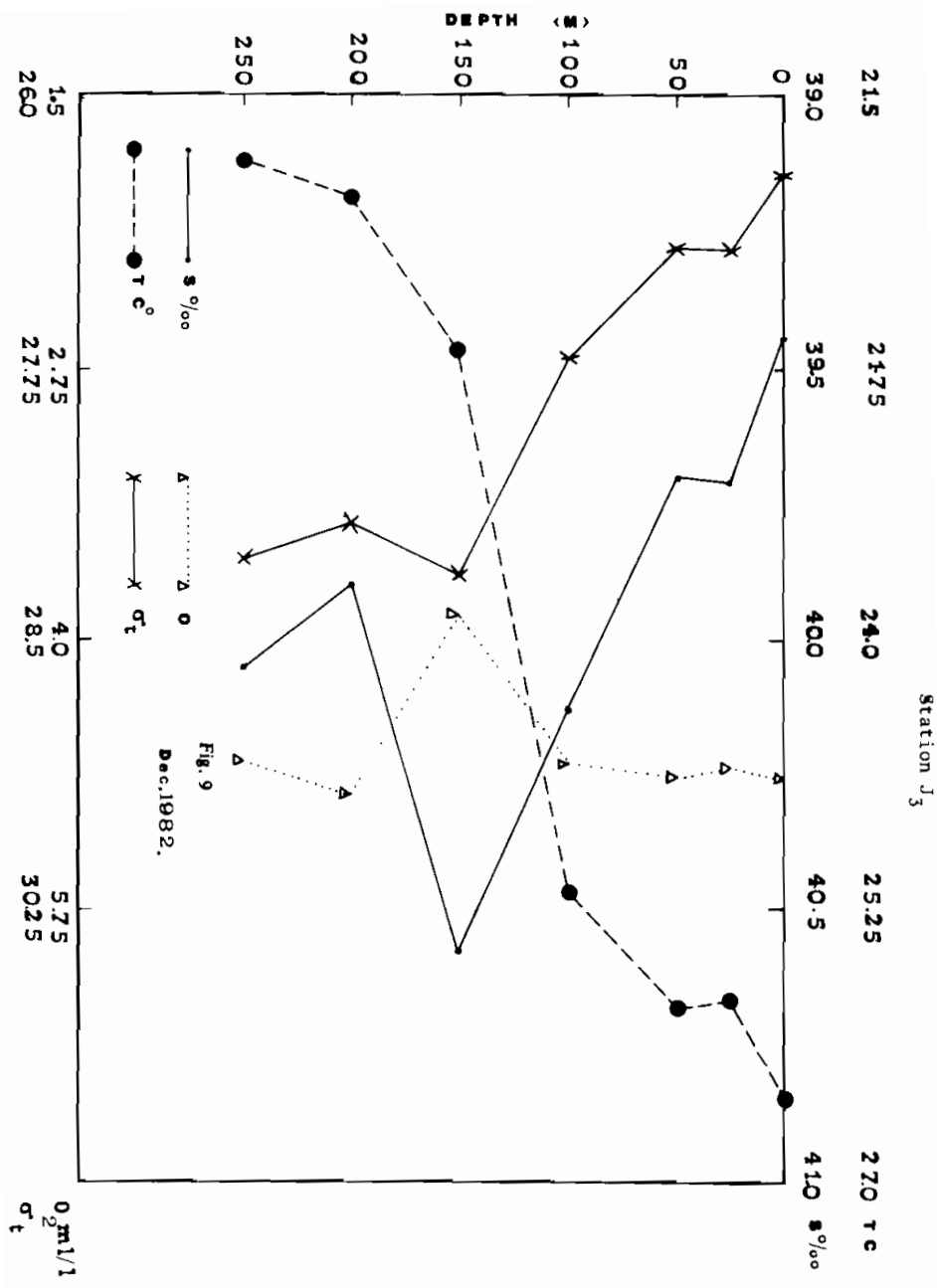


Fig. 9

Station J₄

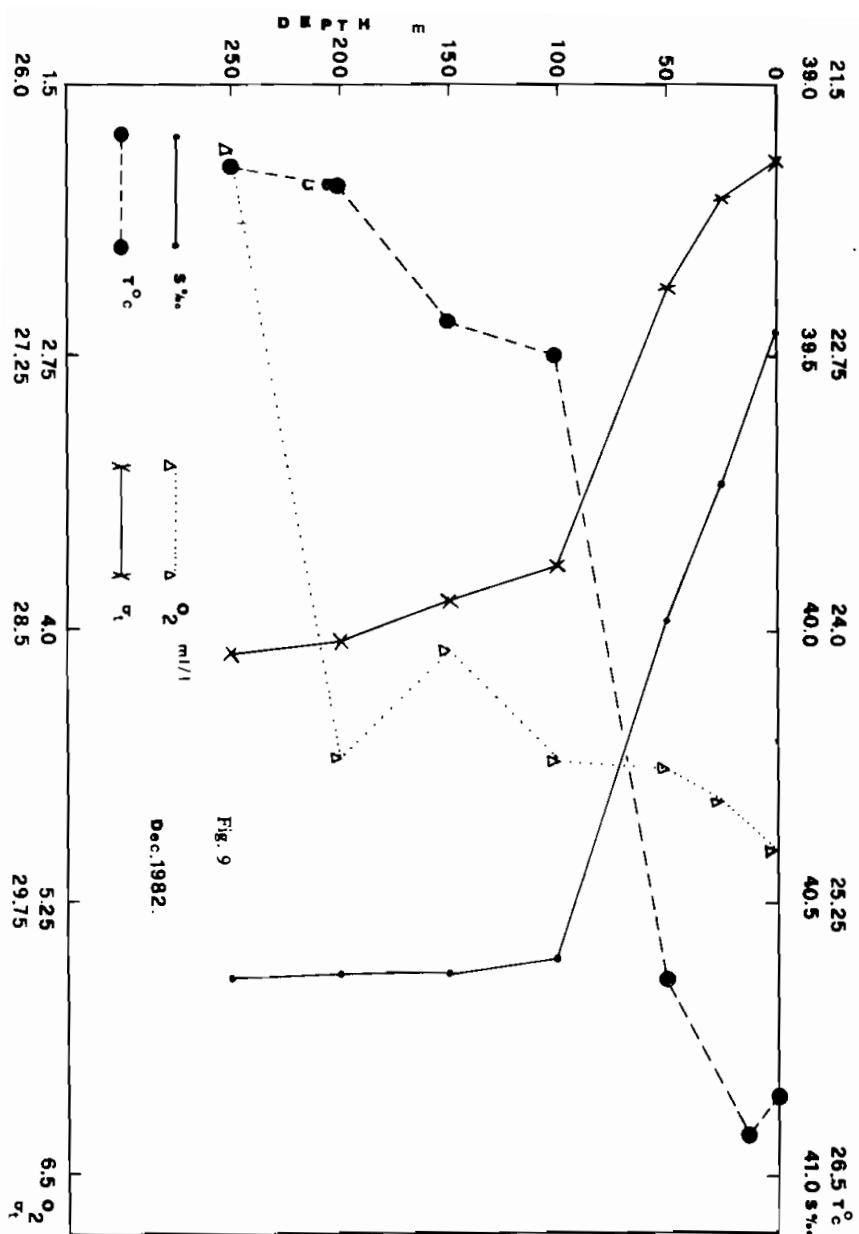


Fig. 9

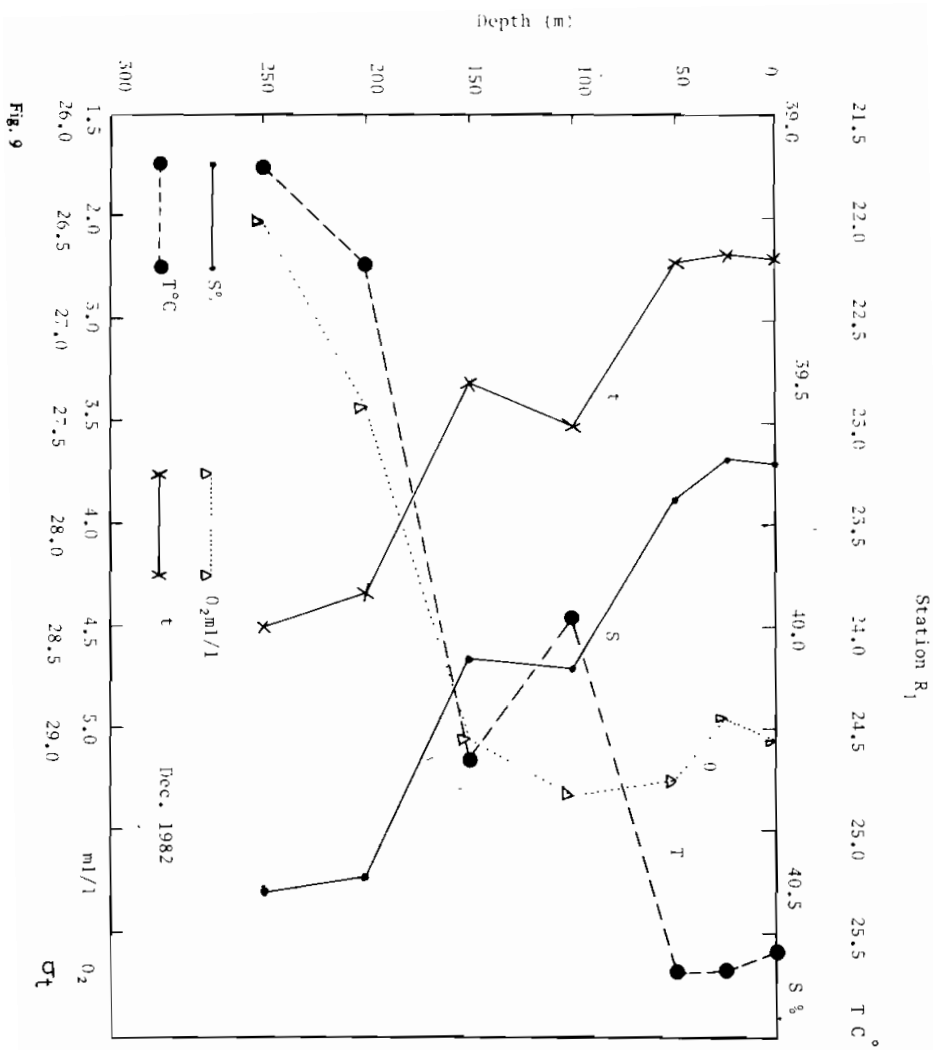


Fig. 9

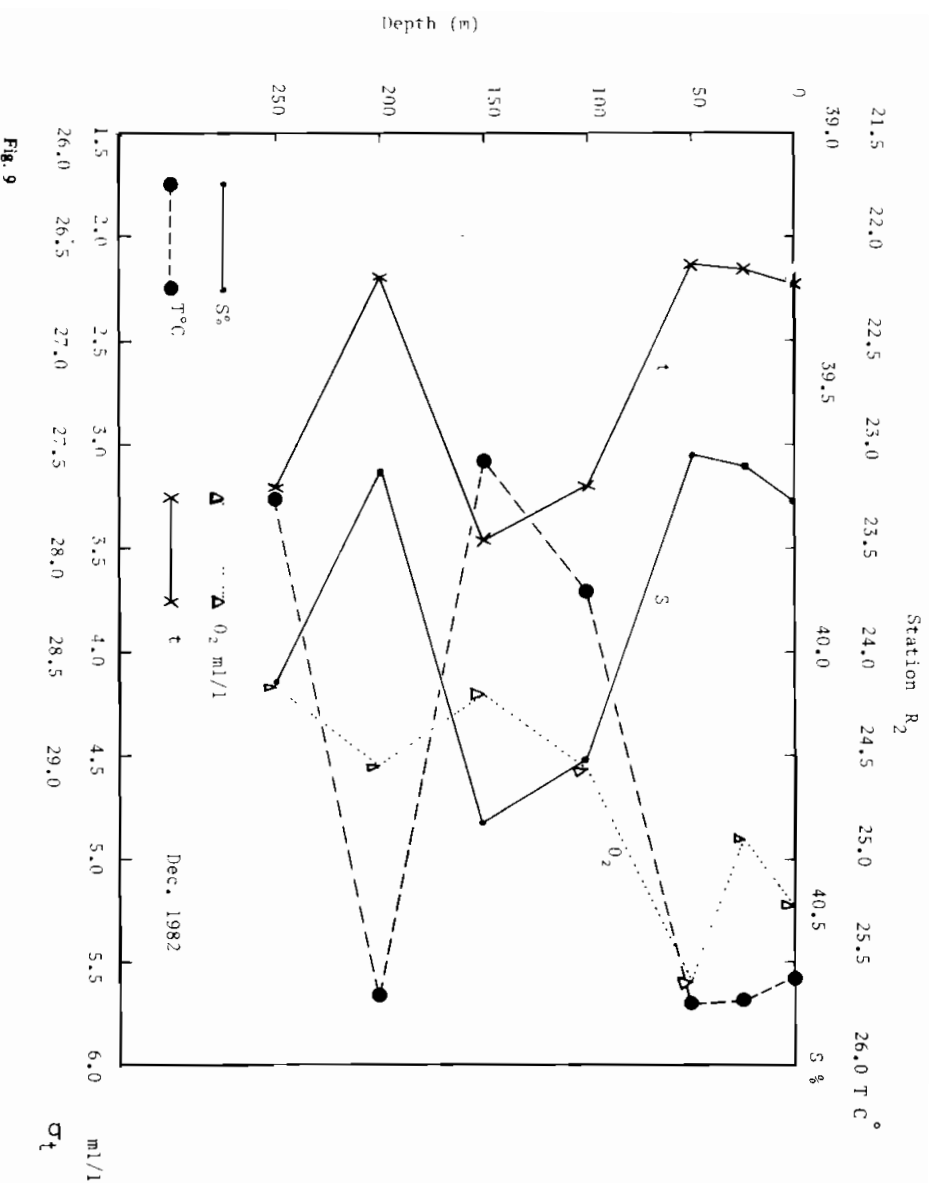


Fig. 9

VV

Fig. 9

Station R₃

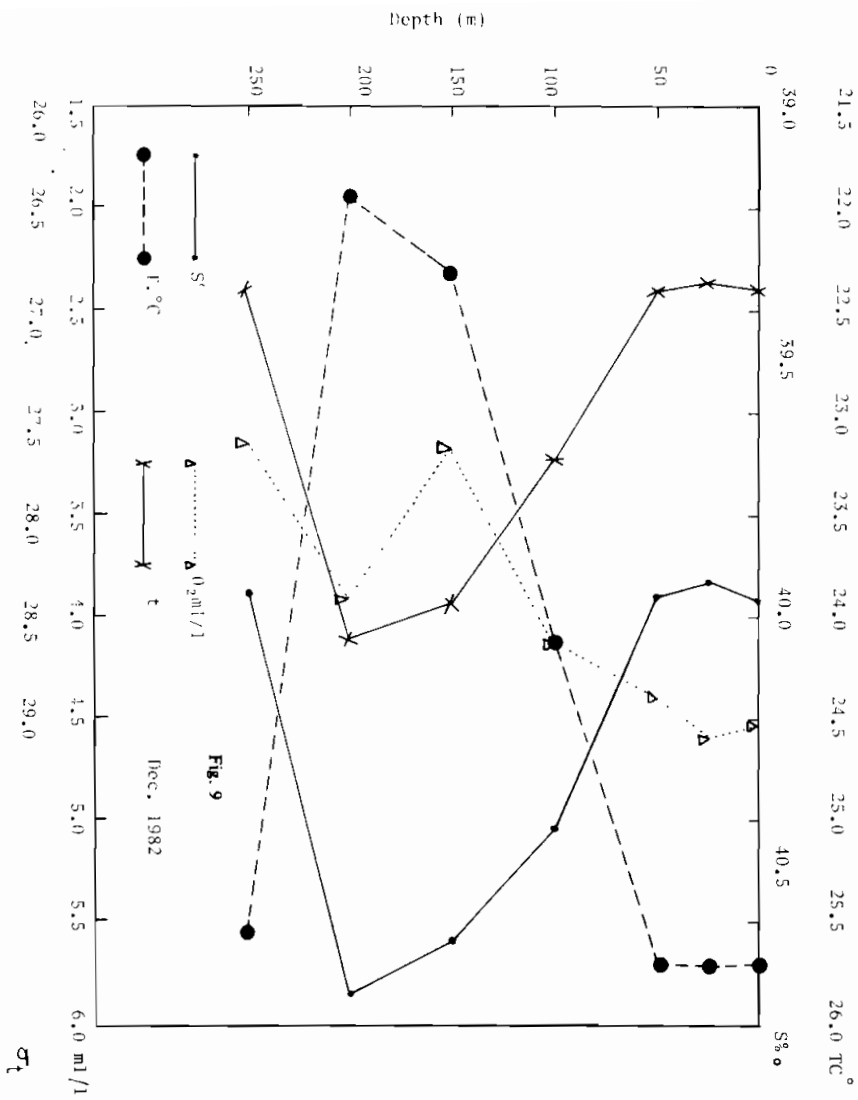


Fig. 9

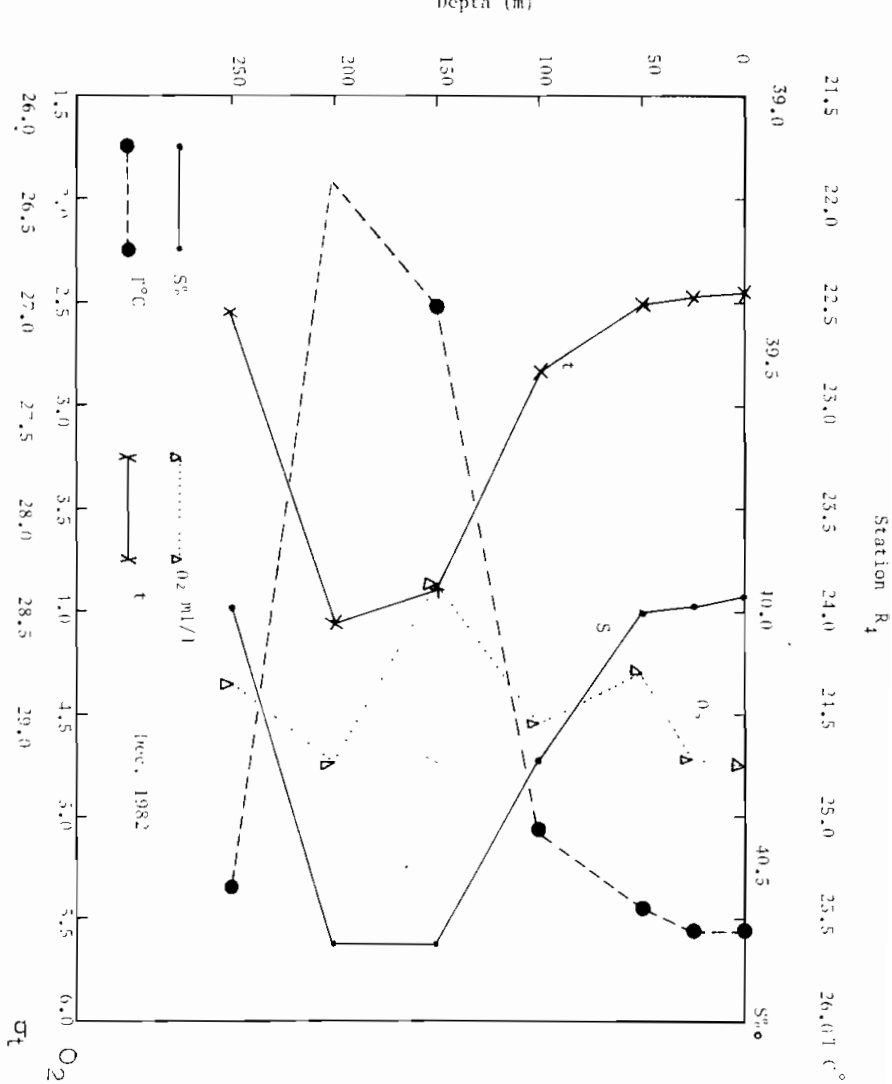


Fig. 9

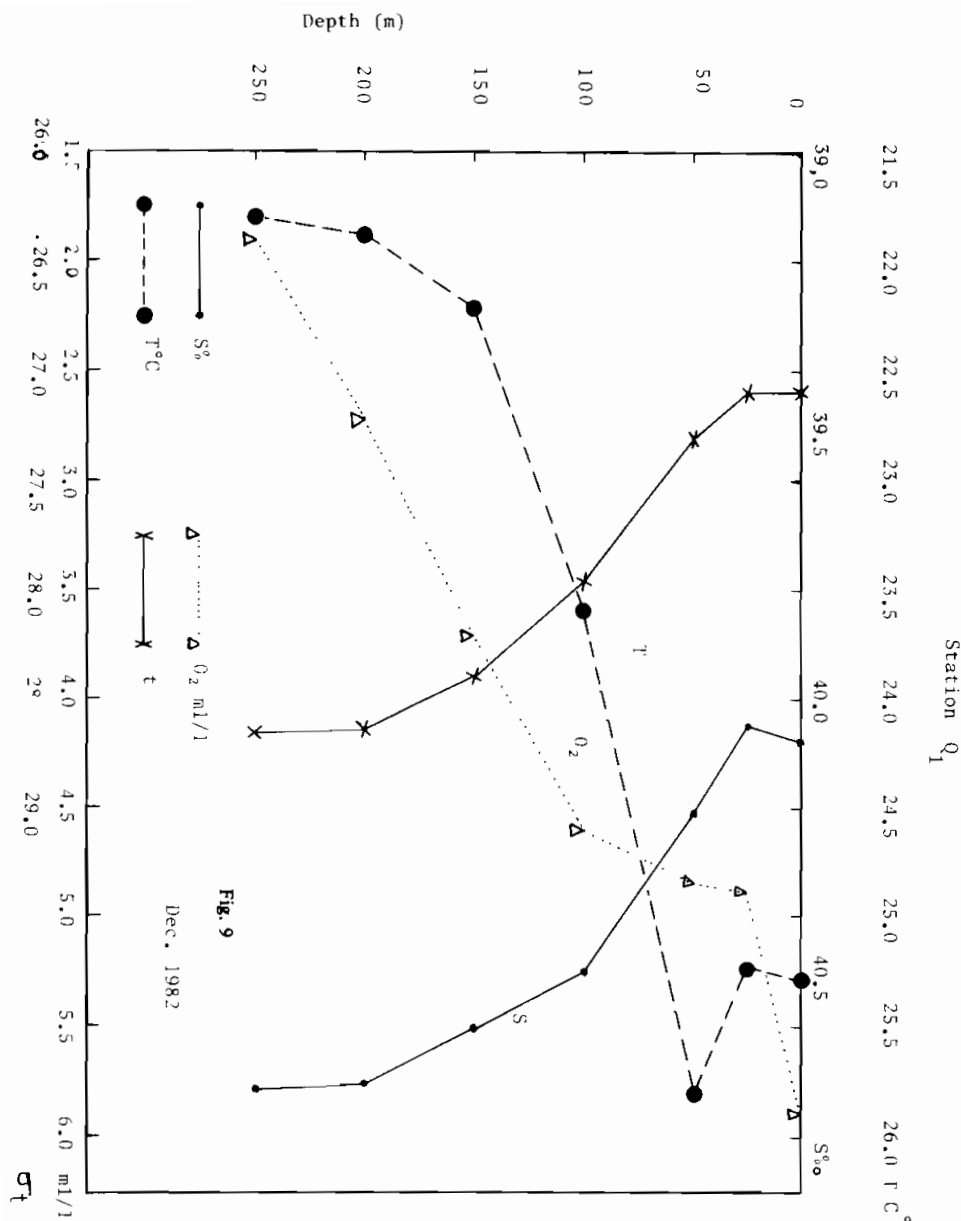


Fig. 9

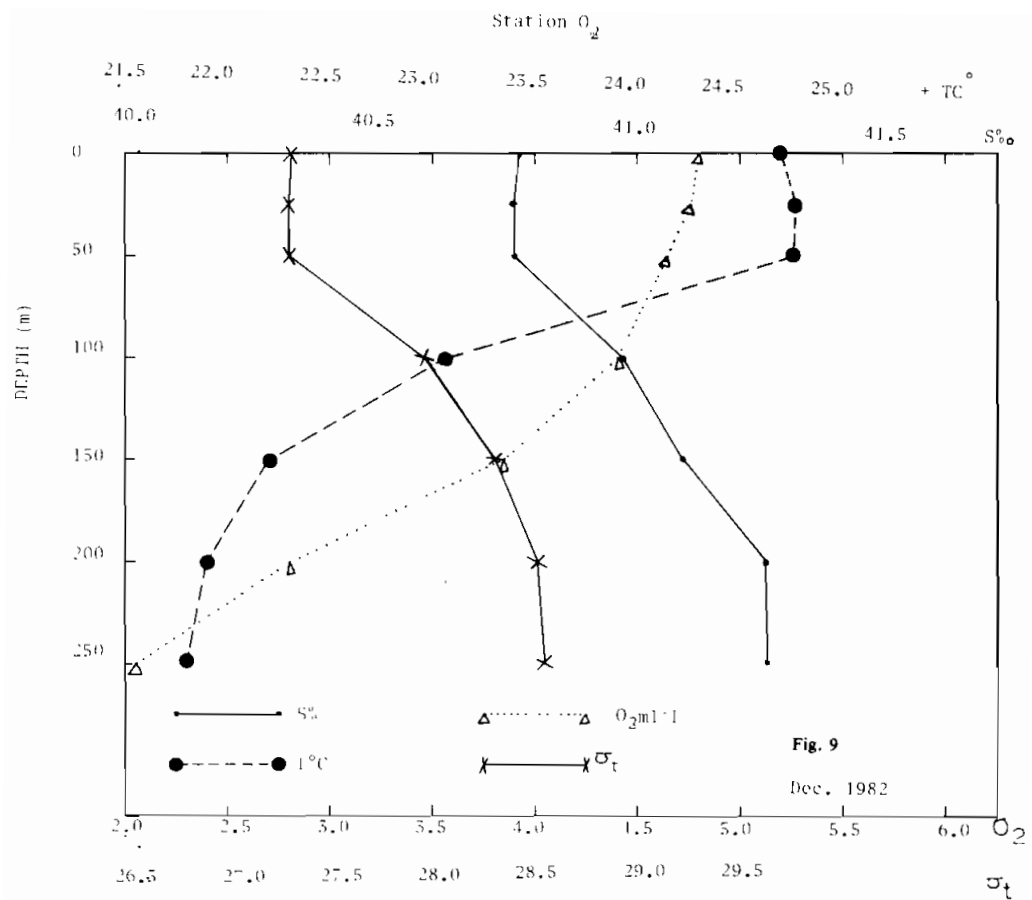


Fig. 9

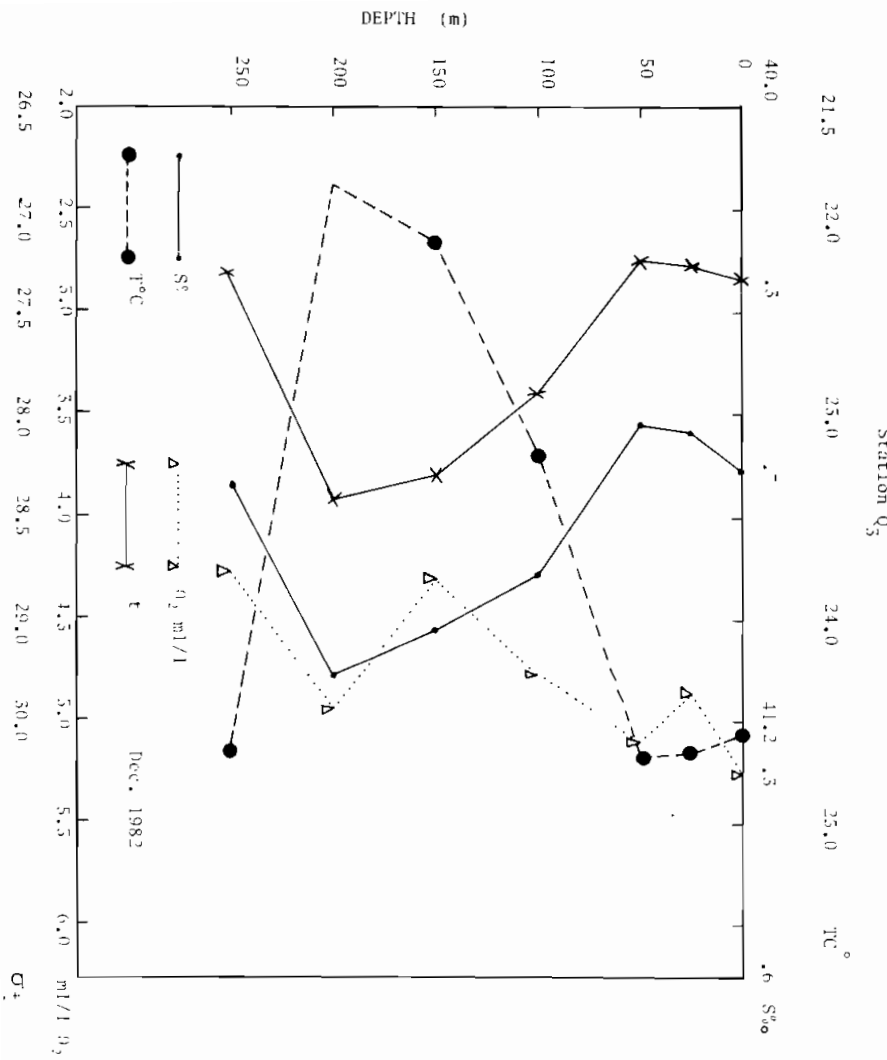


Fig. 9

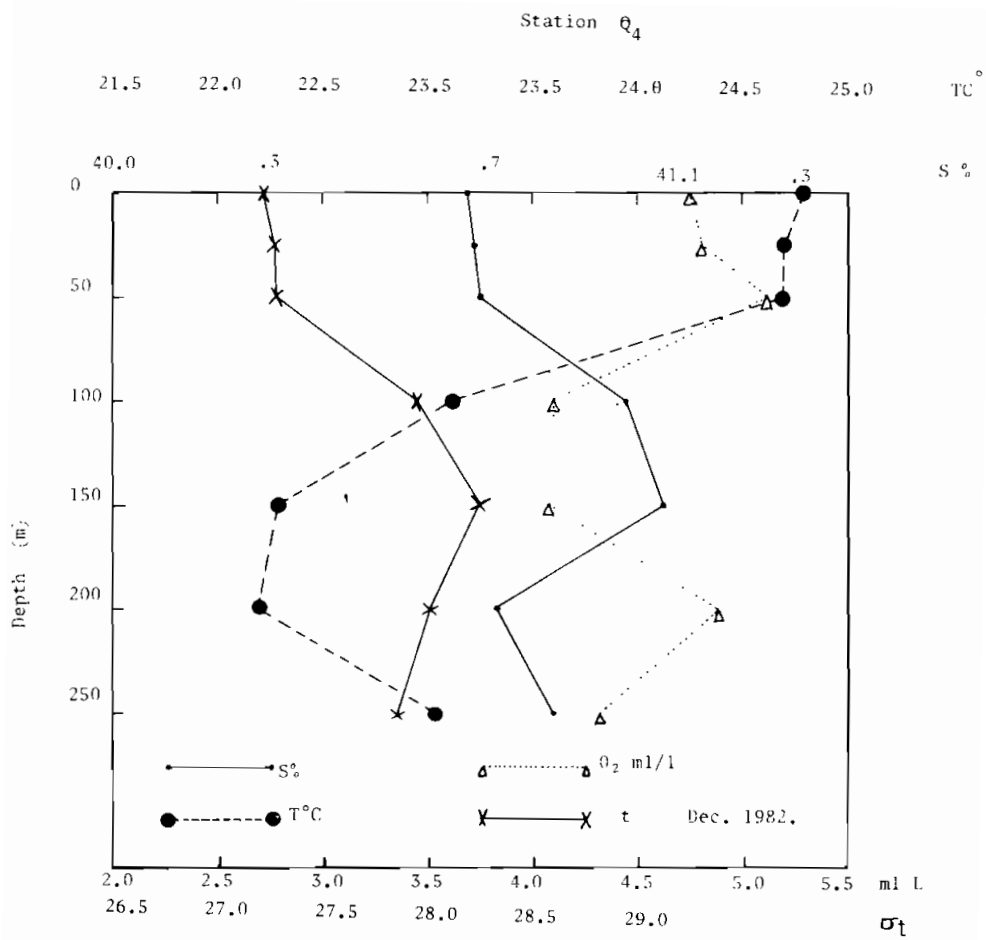


Fig 9

▲

على امتداد القطاع R نلاحظ تغيرات الملوحة والحرارة والكتافة مع العمق شكل (٩) وجود طبقة شبه متجلسة تتدن من السطح وحتى عمق ٥٠ م يظهر فيها تغير طفيف لهذه العوامل مع العمق ، على أن ما يحدى الانتباه اليه هو الزيادة الطفيفة في حرارة المياه التحت سطحية عند عمق ٢٥ ، ٥٠ مترا عن حرارة مياه السطح ، وقد سبق ملاحظة هذه الظاهرة في القطاع J . طبقة المياه الموجودة أسفل ٥٠ مترا إلى ٢٠٠ مترا تقل فيها درجة الحرارة بمعدل سريع مع العمق .. أى يظهر فيها منحدر حرارى .. وقد يكون هذا المنحدر الحرارى متصلًا فيبدأ من عمق ٥٠ متر ويصل إلى ٢٠٠ مترا كما في R ، R، أو يكون متقطعا فيبدأ من ٥٠ مترا إلى ١٠٠ أو ١٠٠ مترا ثم تزداد درجة الحرارة فجأة وبسرعة .. وتقل مرة أخرى من عمق ١٥٠ إلى ٢٠٠ مترا كما في محطة R ، R .. وهذه التغيرات في الحرارة تدل على وجود أكثر من كتلة مائية كل منها تميز بصفات معينة وتدل كذلك على تحرك هذه الكتل المائية وتدخلها . المياه الموجودة على أعماق تتدن من ٢٠٠ إلى ٢٥٠ مترا قد تزيد ملوحتها مع العمق كما في R ، R، أو قد تنقص الملوحة نقصا شديدا بحيث تتقرب قيم الملوحة عند عمق ٢٥٠ مترا مع قيمتها عند السطح كما في R ، R، أما درجة حرارة هذه المياه فقد تنقص ببطء كلما زاد العمق كما في R، أو قد تزيد زيادة شديدة مع العمق كما في R ، R ، R، بحيث تقارب قيم الحرارة عند ١٥٠ أو ٢٥٠ مترا مع درجة حرارة المياه السطحية .

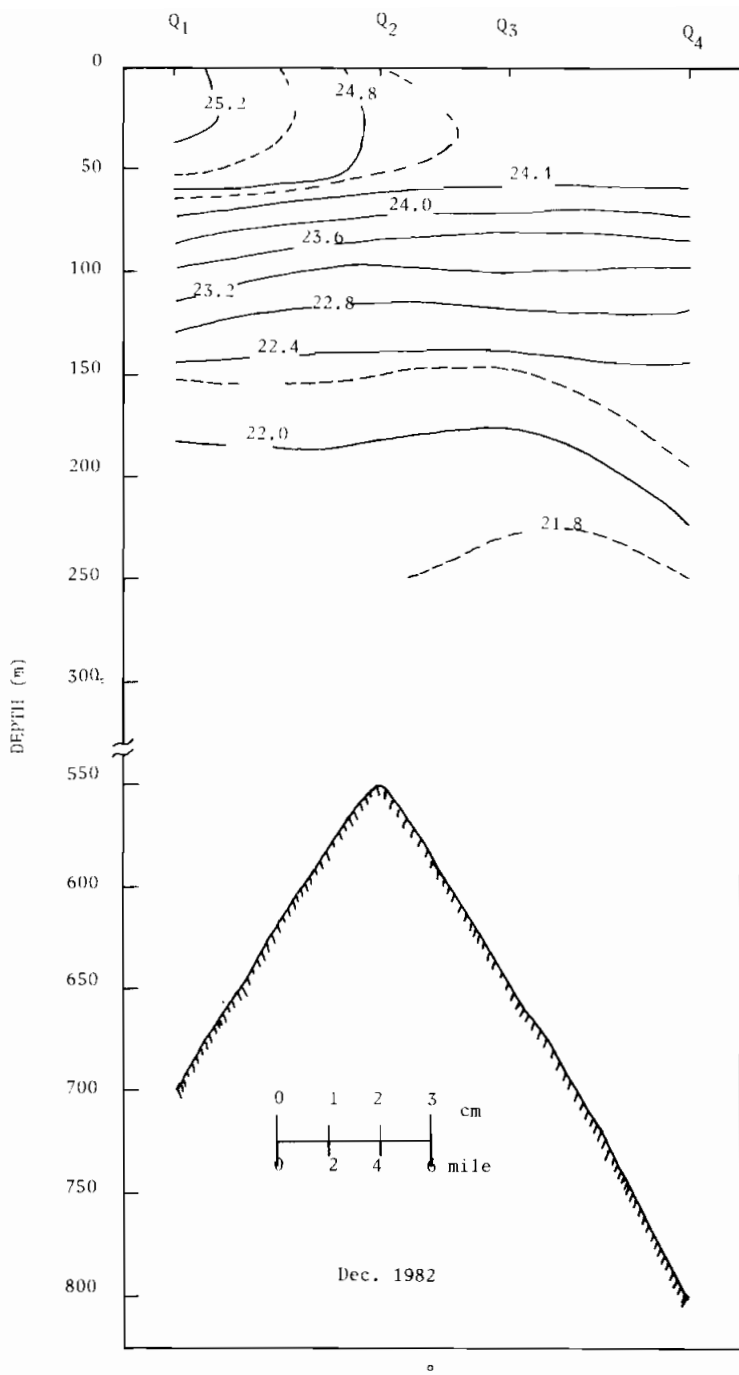
ومن ذلك نرى أن المياه الموجودة على عمق يتراوح بين ١٥٠ ، ٢٥٠ مترا عند بعض المحطات خاصة R ، R لها نفس خصائص المياه السطحية مما يدل على أنها كتلة مائية واحدة قسمتها كتلة مائية أخرى لها درجة حرارة أقل وملوحة أعلى .

ملامح التوزيع الرئيسي للملوحة والحرارة والكتافة والأكسجين في القطاع Q تتشابه كثيرا مع القطاعين الآخرين J ، R من وجود طبقة مزج عليها وطبقة منحدر للملوحة والحرارة والكتافة كما يلاحظ أن درجة حرارة المياه التحت سطحية عند بعض المحطات تزيد عن درجة حرارة المياه التي فوقها .

ولعل السبب في ذلك يعود إلى تعرض المياه عند السطح إلى تأثير الجو فخلال هذا الشهر تقل درجة حرارة الهواء عن درجة حرارة الماء خاصة أثناء الليل فيؤدي ذلك إلى زيادة تبادل الحرارة بين الماء

والهواء فتقل درجة حرارة المياه عند السطح فتزداد كثافتها ولكن يبدو أن زيادة الكثافة يتم بمقدار ضئيل لا يسمع للإذاعات عند السطح بأن يهبط لأسفل .. بل تبقى كثافته أقل من كثافة الماء تحتها . فضل عمود الماء في حالة استقرار فلا تنشأ تيارات الحمل التي تعمل على نقل الحرارة بين طبقات الماء ، فيتوارد عنده مياه باردة خفيفة عند السطح وأسفلها مياه أدفأ منها ولكنها أنقل عند الأعماق .. فتنعزل طبقة المياه التحت سطحية الدافئة عن طبقة المياه السطحية الباردة .. ويقى هذا الوضع المؤقت إلى أن تتغير درجة الحرارة بفعل عوامل أخرى .

يستدل من توزيع الملوحة والحرارة والكتافة في القطاع J شكل (١٠) على أن ملوحة مياه الطبقة العليا التي يصل عمقها إلى حوالي ٥٠ متر عند J تقل عن ملوحة مياه بقية المخطات . ويلاحظ أن مياه هذه الطبقة تتدفق متعددة عن السواحل ومتوجهة نحو البحر المفتوح (أي متوجهة من الشرق للغرب) .. ويظهر هذا التدفق على هيئة لسان في توزيع الحرارة ، كما يمكن الاستدلال عليه من توزيع الملوحة إذ يلاحظ تجانس ملوحة مياه السطح وانتشار خطوط تساوى الملوحة في اتجاه مواز للسطح مما يدل على وجود نوع من الخلط الأفقي على امتداد المسافة من J، إلى J_٢ ، كما أن درجة حرارة مياه السطح عند J_١ ، J_٢ كانت أقل من مياه السطح عند J_٣ ، J_٤ وقد يعزى ذلك إلى أن المياه السطحية تحركت من المخطات J_١ ، J_٢ متوجهة من الشرق إلى الغرب نحو المخطتين J_٣ ، J_٤ وحل محل هذه المياه السطحية مياه تحت سطحية أبرد منها صعدت إلى السطح .



شكل (١٠) : التوزيع الرأسي للحرارة والملوحة والكتافة والاكسجين على امتداد القطاعات J ، R ، Q خلال ديسمبر ١٩٨٢

Fig 10

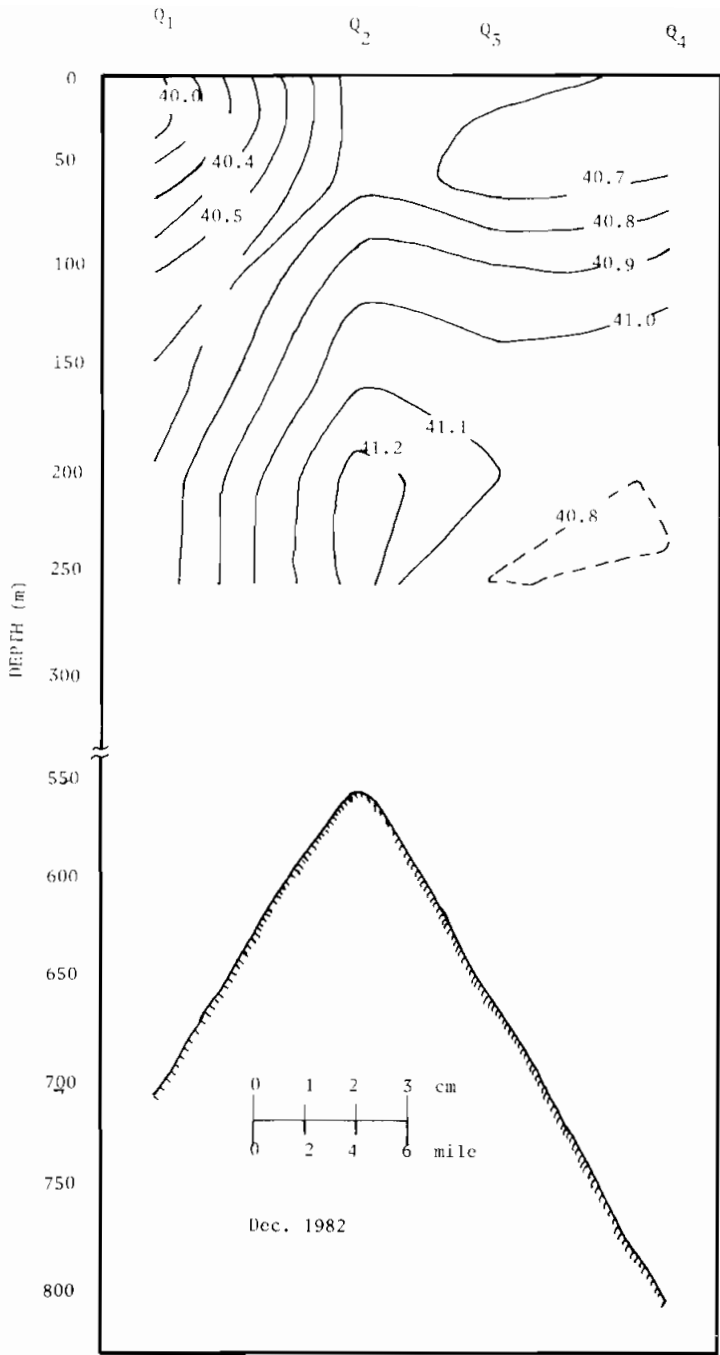


Fig. 10 S %

ΔV

Fig. 10

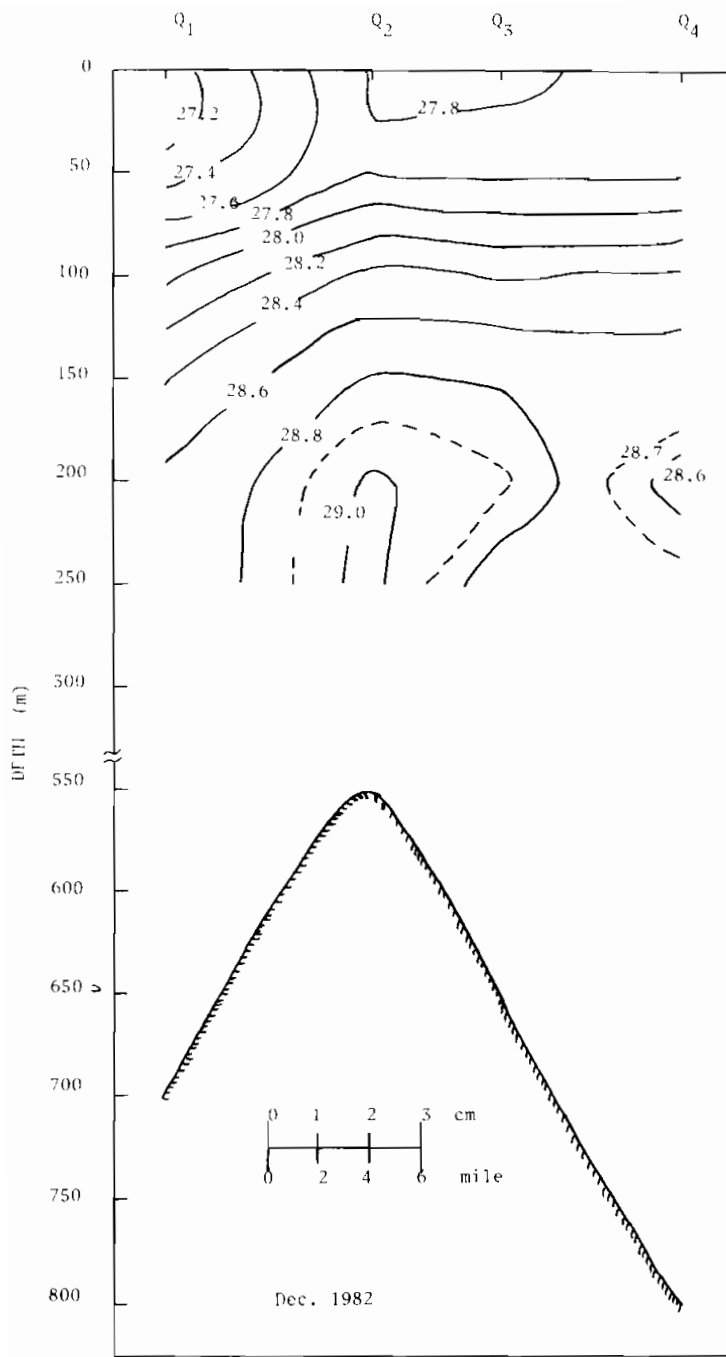


Fig. 10 σ_t

Fig 10

ΛΛ

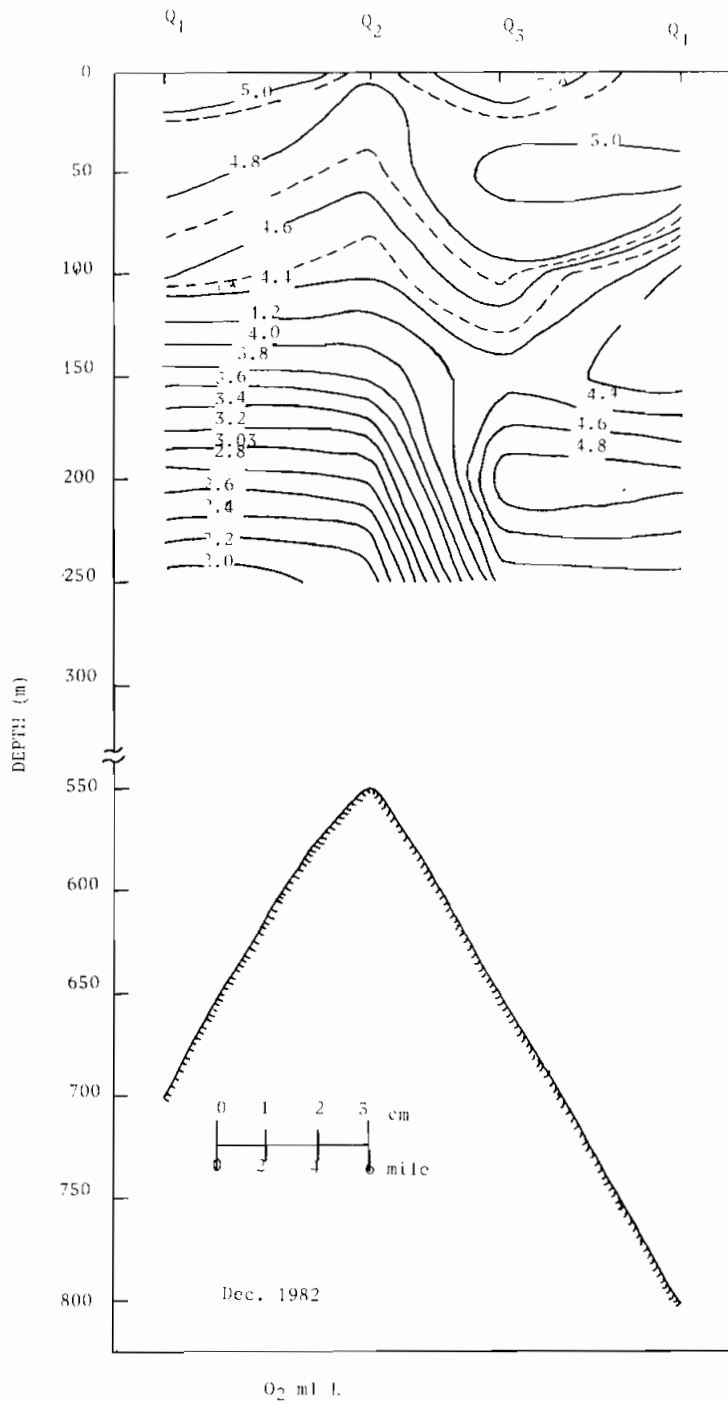


Fig 10.

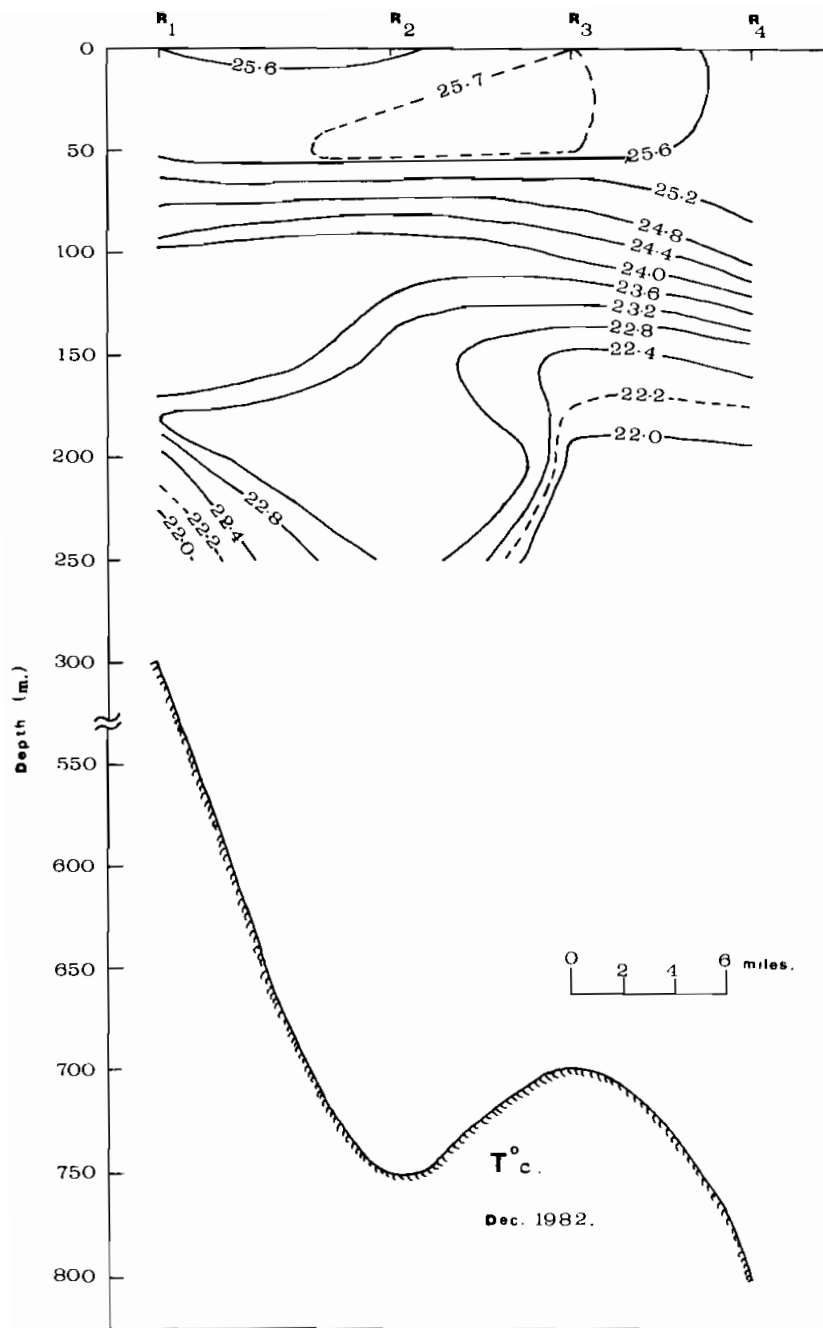


Fig 10

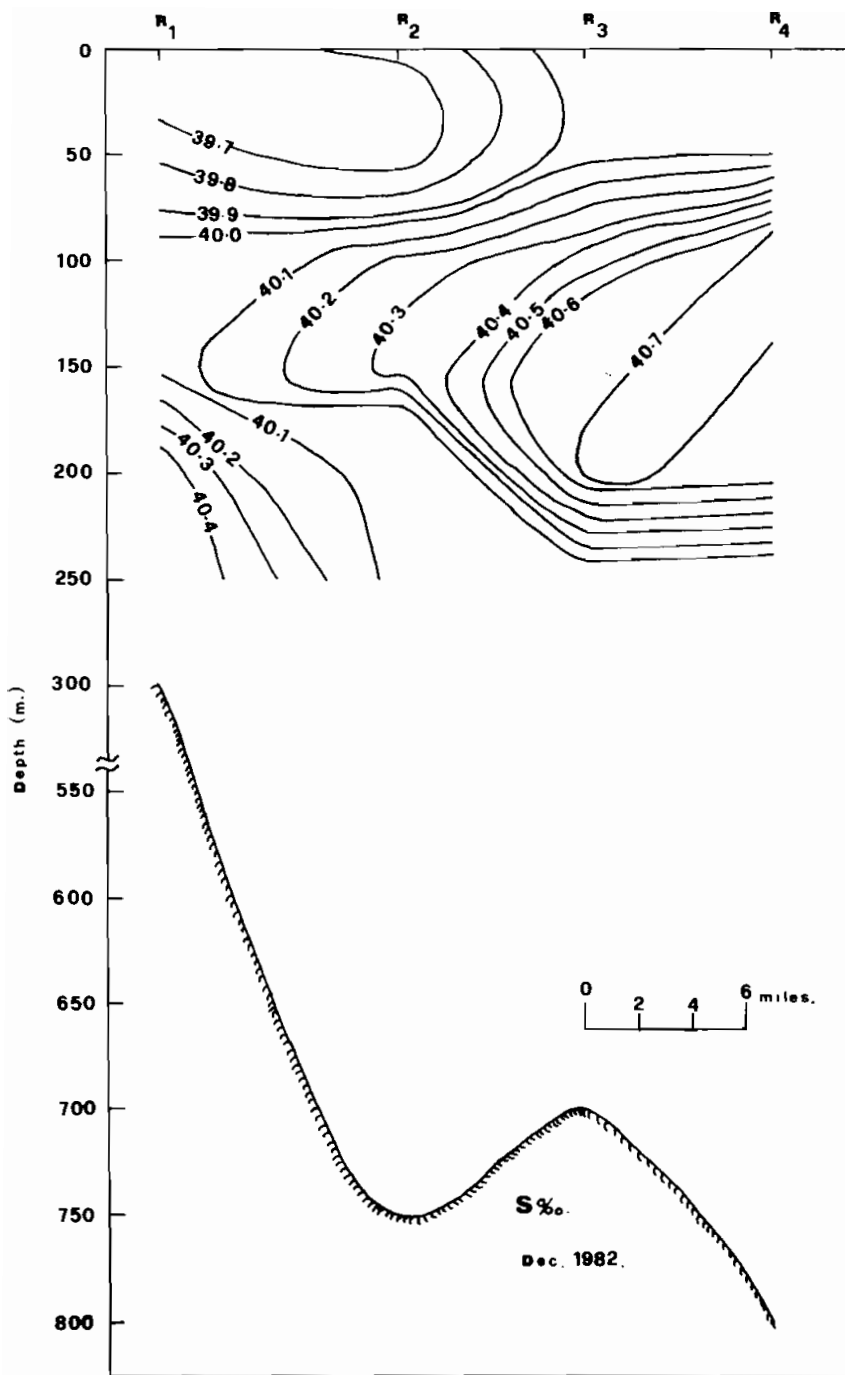


Fig 10

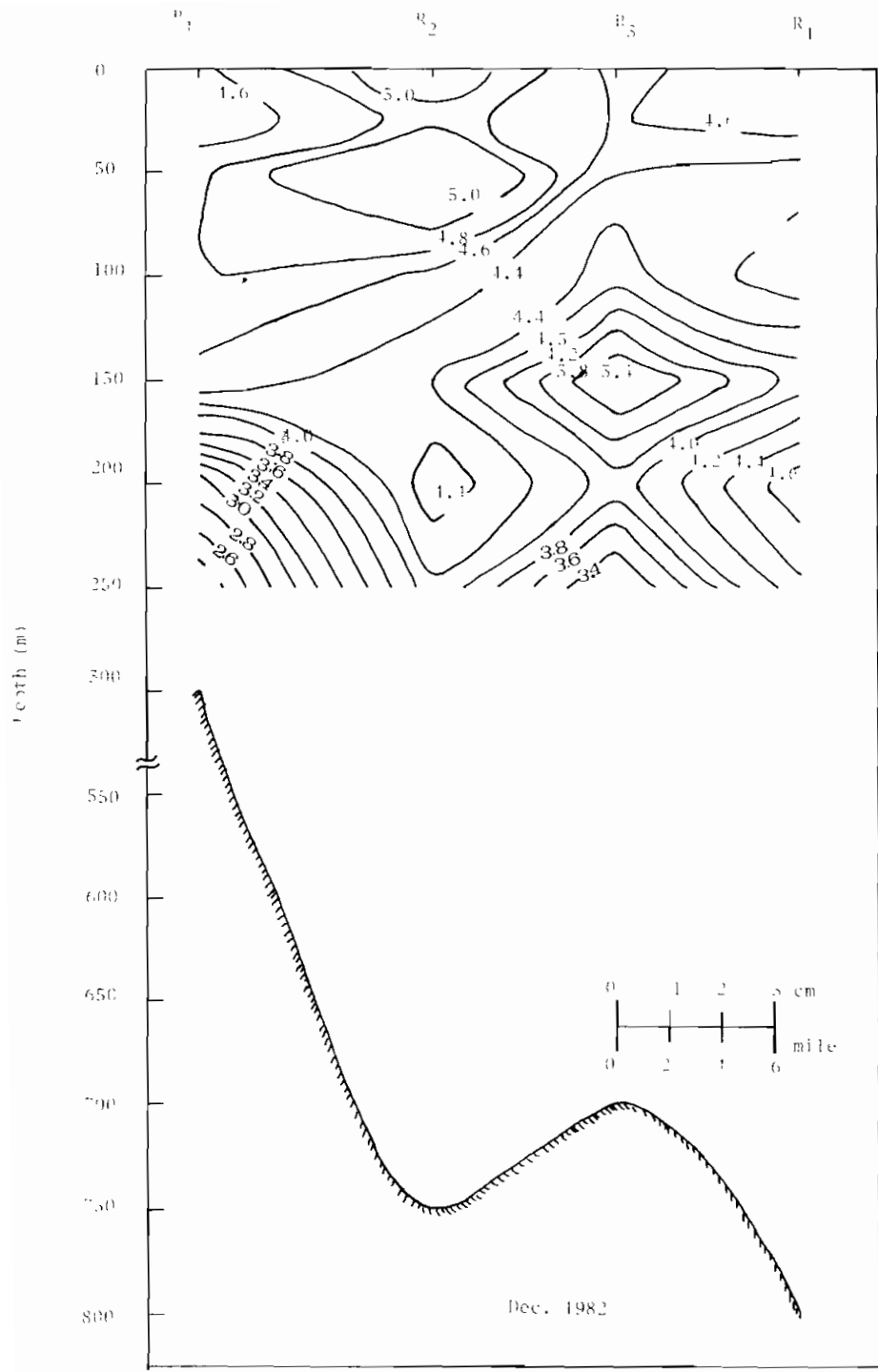


Fig. 10

O_2 ml/l

Fig. 10

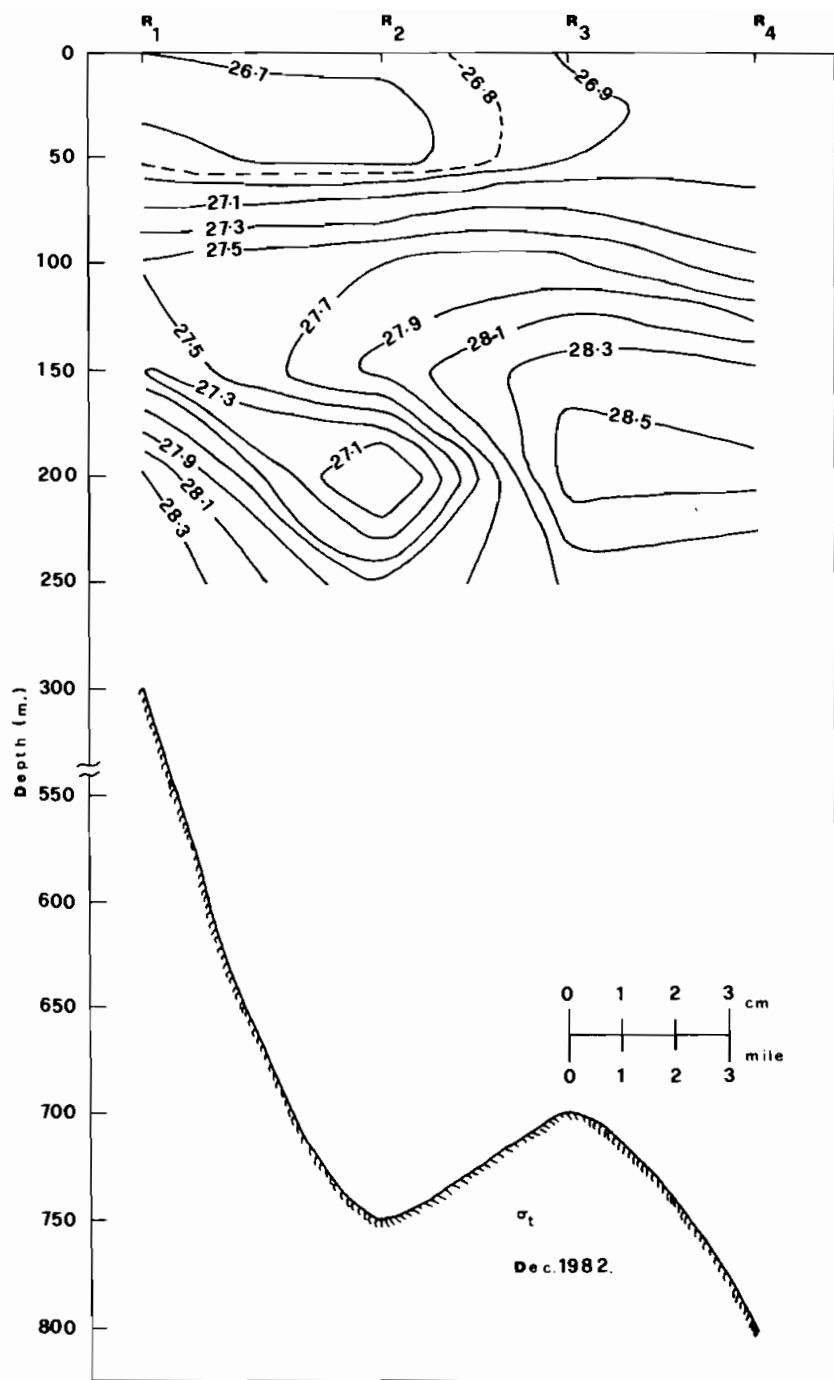
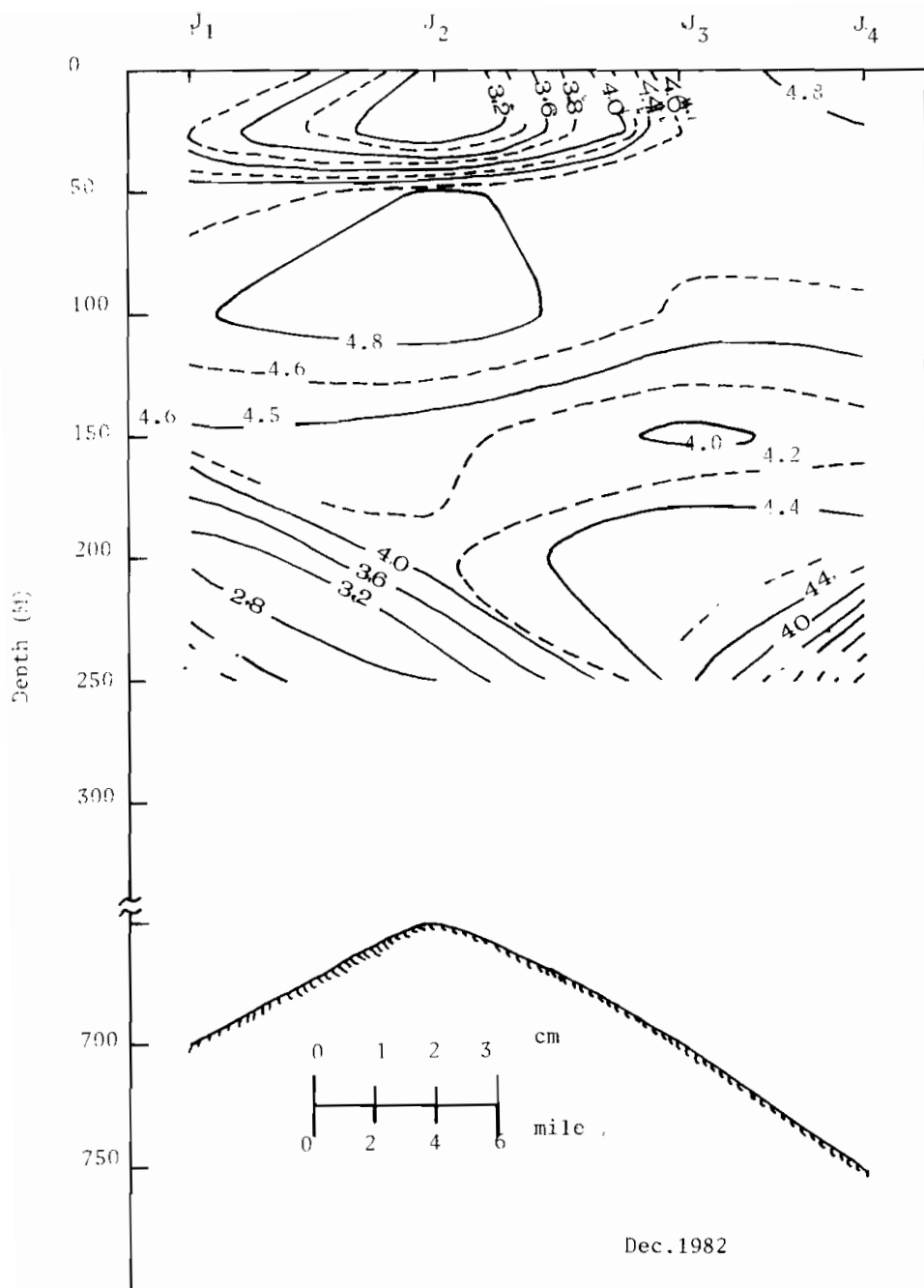


Fig 10



$\text{O}_2 \text{ ml/L}$

Fig 10

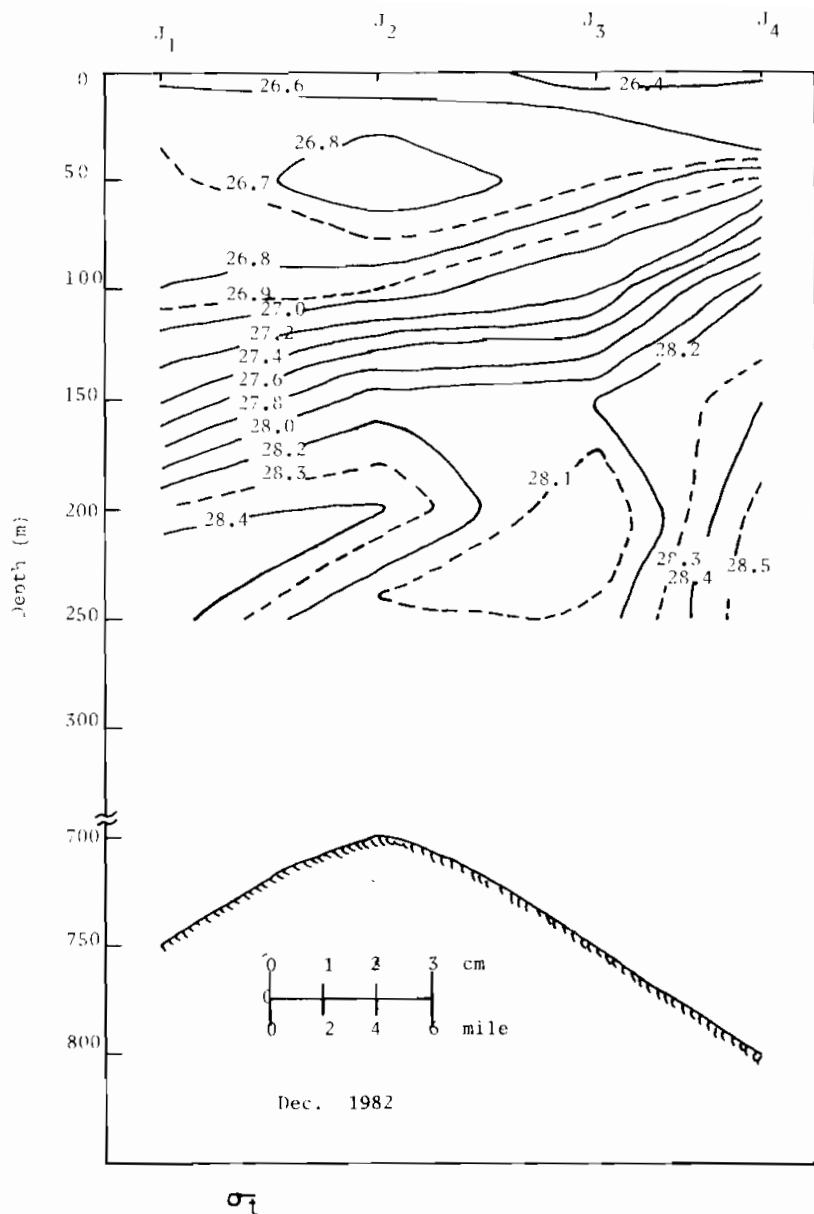


Fig 10

ومن شكل (١١) يمكن استنتاج تحرك المياه التحت سطحية تحت عمق ١٠٠ متر من الغرب الى الشرق على امتداد القطاع J فيتضح من توزيع الملوحة والأوكسجين وجود تدفق للمياه على هيئة لسان يمتد بين ١٥٠ ، ٢٠٠ متر وتميز مياهه بارتفاع ملوحتها وقلة تركيز الأوكسجين بها ، ويتقدم هذا اللسان المائي متوجهها من الغرب الى الشرق أى من J الى L، قاطعا عمود الماء عند L ، L، ومبينا انقسامه الى جزئين : الجزء العلوي متوسط الملوحة مياهه ٣٩٪ والجزء السفلي متوسط ملوحة مياهه ٣٩٪ وتفصل بينهما مياه اللسان التي لها ملوحة عالية نسبا تبلغ في المتوسط ٤٠٪ . ويلاحظ أن تركيز الأوكسجين في مياه اللسان المائي أقل من تركيزه في المياه الموجودة أعلى أو اسفله .

ونخلص من ذلك أنه في القطاع J توجد حركة أفقية لطبقة المياه الممتدة من السطح وحتى عمق ١٠٠ متر متوجهة من قرب الساحل الى البحر الطليق ويقابلها حركة معاكسة للمياه الأعمق متوجهة من البحر المفتوح نحو الساحل أى من الغرب الى الشرق على امتداد القطاع J . وبمعنى آخر تتحرك المياه السطحية الدافعة القليلة الملوحة مبتعدة عن خط الساحل وفي المقابل تتدفق مياه أعمق وأبرد ذات ملوحة أعلى متوجهة نحو خط الساحل .

اذا درستنا توزيع الملوحة والحرارة والكتافة والأوكسجين في القطاع R الذي يمتد أمام مدينة رابع عموديا على خط الساحل الى مسافة ٦٠ كم في البحر شكل (١٠) فيمكن استنتاج أن الطبقة السطحية التي يصل عمقها الى ٥٠ مترا تتحرك من الشرق الى الغرب .. أى مبتعدة عن خط الساحل ومتوجهة نحو البحر المفتوح . كما يمكن استنتاج حركة المياه التحت سطحية الموجودة عند أعماق تحت ١٠٠ متر متوجهة في الاتجاه العكسي أى من الغرب الى الشرق ويمكن تمييز هذه المياه بملوحتها العالية نسبا وبحرارتها الأقل من حرارة المياه القريبة من الساحل وكذلك بالانخفاض تركيز الأوكسجين في مياهها بالمقارنة باليه الموجودة عند أعماق أكبر أو أقل . ونتيجة لحركة هذه المياه التحت سطحية ترتفع ملوحة المياه الواقعة في مسار تدفق المياه التحت سطحية في حين تبقى ملوحة المياه الموجودة عند عمق ٢٥٠ مترا منخفضة ومناظرة في قيمتها لملوحة المياه السطحية فوقها في المخطتين R_٢ ، R_٣ ومعنى ذلك أن المياه التحت سطحية القادمة من الغرب من R_٣ تقسم الكتلة المائية الموجودة عند R_٣ وعند R_٢ الى جزئين أحدهما علوي والآخر سفلي .. ويتبين ذلك أن المياه في كل من الجزئين العلوي والسفلي لها ملوحة متقاربة منخفضة القيمة وتركيز الأوكسجين فيها متقارب وعال نسبيا . كما أن كثافتها منخفضة ويفصل بين الجزئين العلوي والسفلي مياه ذات ملوحة أعلى وحرارة أقل وكتافة أعلى وتركيز الأوكسجين بها أقل .

وبالمثل يدل توزيع الملوحة والحرارة والكثافة والأوكسجين على امتداد القطاع Q على شكل ١٠ وجود حركة للمياه السطحية متوجهة أيضاً من قرب الساحل إلى البحر المفتوح.. وكذلك وجود حركة للمياه التحت سطحية تحت عمق ٥٠ مترًا متوجهة في الاتجاه المضاد . أى من البحر المفتوح إلى الساحل . وهذه المياه لها نفس الخصائص عند نفس الأعمق عند المحطات Q ، R ، S ، ما يرجع وجود خلط وامتزاج بينها . وكذلك نلاحظ أن خطوط تساوى الحرارة تسير متوازية وكذلك خطوط تساوى الكثافة مما يدل على وجود نوع من الاختلاط الأفقى على امتداد القطاع .

ومن الجدير بالذكر أن حركة المياه التحت سطحية في هذا القطاع Q غير واضحة .. كما كانت في القطاعين الآخرين J ، R .

اذا فحصنا توزيع الحرارة والملوحة والكثافة والأوكسجين في القطاعات ١ ، ٢ ، ٣ ، ٤
شكل (١١) فاننا نجد الآتى :

في القطاع ١ الممتدة من J ، في الجنوب إلى Q ، في الشمال شكل (١١) يمكن أن نستدل من توزيع الملوحة والحرارة ، والكثافة على وجود حركة للمياه السطحية الممتدة حتى عمق ٥٠ مترًا متوجهة من الجنوب إلى الشمال ، ونجد أن الملوحة تزداد كلما اتجهنا شمالاً عند كل الأعمق ، وهذا متوقع نظراً لأن المياه السطحية المتحركة من الجنوب إلى الشمال تتعرض للبحر طوال طريقها وبؤدي ذلك إلى زيادة ملوحتها كلما اتجهنا شمالاً .

كما يمكن أن نستنتج وجود حركة انتقال للمياه الموجودة عند أعمق ١٠٠ متر متوجهة من الشمال إلى Q ، إلى J ، وتتميز هذه المياه بملوحة وكثافة عالية وحرارة متخصصة عند Q ، عنها عند R ، وعند J ، ولذلك فإن هذه المياه لاتسير عند نفس العمق أثناء انتقالها من R ، ثم إلى J ، ولكن يتغير عمقها حسب كثافتها وكثافة المياه الحبيطة بها .. فتفوضع عند أعمق أكبر كلما اتجهت جنوباً حتى تبقى عند العمق الذي تتساوى فيه كثافتها مع كثافة المياه الحبيطة بها . وتمتد هذه المياه على هيئة لسان مائي ذي ملوحة أعلى وحرارة أقل وأوكسجين أعلى من ملوحة وحرارة وأوكسجين المياه الموجودة أعلى أو أسفله ، ويتبعها هذا اللسان المائي نحو الجنوب فيختلف عمود الماء عند R ، على عمق أكبر من ١٠٠ متر مؤدياً إلى انقسامه إلى جزئين أحدهما على الآخر سفل تتميز مياههما بملوحة أقل وحرارة أعلى وكثافة أقل بالمقارنة بمية اللسان المائي الذي يفصل بينهما .

ويدل توزيع الكثافة على أن المياه السطحية الممتدة إلى عمق ٥٠ متر كانت ممتزجة امتزاجاً أفقياً فعلاً .. بين J ، R ، وكانت أقل امتزاجاً . وبالنسبة للمياه المحصرة بين

عمقى ١٥٠ ، ٢٠٠ متر نلاحظ أن خطوط تساوى الكثافة تسير أفقية متوازية . مما يدل على تساوى كثافة المياه الموجودة عند نفس الأعماق وعلى وجود امتداج أفقى أكثر فعالية من الامتداج الرأسى ، ويدل تراحم خطوط تساوى الكثافة على وجود طبقة منحدرة كثافة علوية بين عميقى ١٥٠ ، ٢٠٠ متر ، ومنحدر أشد للكثافة بين عميقى ١٥٠ ، ٢٠٠ متر .

على امتداد القطاع ٢ من J_٢ الى Q_٢ نلاحظ أن توزيع الملوحة والحرارة والكثافة والأوكسجين يدل على وجود حركة سطحية للمياه فى الخمسين مترا العليا متوجهة من الجنوب الى الشمال حيث تزداد الملوحة على امتداد المسافة بين J_٢ ، Q_٢ . وفي المقابل توجد حركة تدفق للمياه متوجهة من الشمال الى الجنوب على أعماق أكبر من ١٠٠ متر . وهذه المياه ذات ملوحة وكثافة عالية ودرجة حرارة منخفضة نسبيا . ويظهر تدفق هذه المياه على هيئة لسان واضح في توزيع الملوحة والحرارة والكثافة متوجهة من Q_٢ الى R_٢ حيث يعمل على انقسام عمود المياه عند R_٢ الى جزئين أحدهما علوي ملوحته ٦٢٪٠٣٩ وحرارته ٢٥.٧°C وكتافته ٥١ وتركيز الأوكسجين ٦٥ مل/ل والآخر سفل ملوحته ٦٥٪٣٩ وحرارته ٢٥.٦°C وكتافته ٥٢ وحرارته ٤٠.٤٪٠ وتركيز الأوكسجين ٥٤ مل/ل بينما ملوحة اللسان المائى ٥٤.٥٪٠ وحرارته ٢٣°C وكتافته ٥١ وتركيز الأوكسجين ٤٢٪٢٤ مل/ل . ويتبين ذلك أن المياه العليا والمياه السفلية عند R_٢ لها نفس الخصائص مما يرجع أنها كتلة مائية واحدة قسمتها كتلة مائية أخرى لها خصائص مختلفة عنها من علو الملوحة والانخفاض الحرارة والأوكسجين . وهذا أدى الى وجود مياه خفيفة معزولة عند R_٢ ، J_٢ فوقها مياه أقل منها أى وجود حالة عدم استقرار في عمود الماء عند بعض الأعماق .

ويتشابه توزيع الحرارة والملوحة والكثافة على امتداد القطاع ٣ من J_٣ الى Q_٣ مع توزيعها في القطاع السابق مما يدل على تماثل حركة المياه فيما .

ويتبين من توزيع الملوحة امتداد القطاع ٤ من J_٤ الى Q_٤ أن المياه السطحية حتى عمق ٥٠ مترا تتحرك من الجنوب الى الشمال أى من J_٤ الى Q_٤ ، وتزايد ملوحتها على طول الطريق نتيجة للبخار . وتقل درجة حرارتها وبالتالي تزداد كثافتها فتبطىء الى أعماق تناسب مع كثافتها الجديدة . ولذلك فإذا تأملنا شكل (١١) نلاحظ لسان من المياه قليلة الملوحة منخفض الكثافة له حرارة أعلى نسبيا يتجه من الجنوب الى الشمال . كما نلاحظ أن خطوط تساوى الملوحة isohalines والحرارة isothermals والكثافة isopycnals تند من السطح الى أعماق مختلفة في المسافة بين R_٤ ، Q_٤ مما يرجع هبوط المياه المتوجهة شمالا نتيجة لزيادة كثافتها .

كما يتضح من شكل (١١) وجود تدفق مياه عالية الملوحة باردة ذات تركيز منخفض في الأوكسجينقادمة من الشمال ومتوجهة نحو الجنوب علىأعماق تحت ١٠٠ متر .. وتخترق كتلة المياه هذه عمود الماء عند Q ، R ، J، فتفصل المياه السطحية عن المياه الموجودة عند عمق ٢٥٠ مترا . ولذلك يلاحظ أن المياه السطحية والمياه الموجودة عند عمق ٢٥٠ مترا لها ملوحة متقاربة .. كما يلاحظ ارتفاع درجة حرارة المياه عند ٢٥٠ مترا عن المياه الموجودة أعلىها مما يدل على أن المياه السطحية والمياه عند ٢٥٠ مترا هي أصلا من كتلة مائية واحدة .. وأن المياه القادمة من الشمال تتبع كتلة مائية أخرى ولذلك فلها خصائص مختلفة .

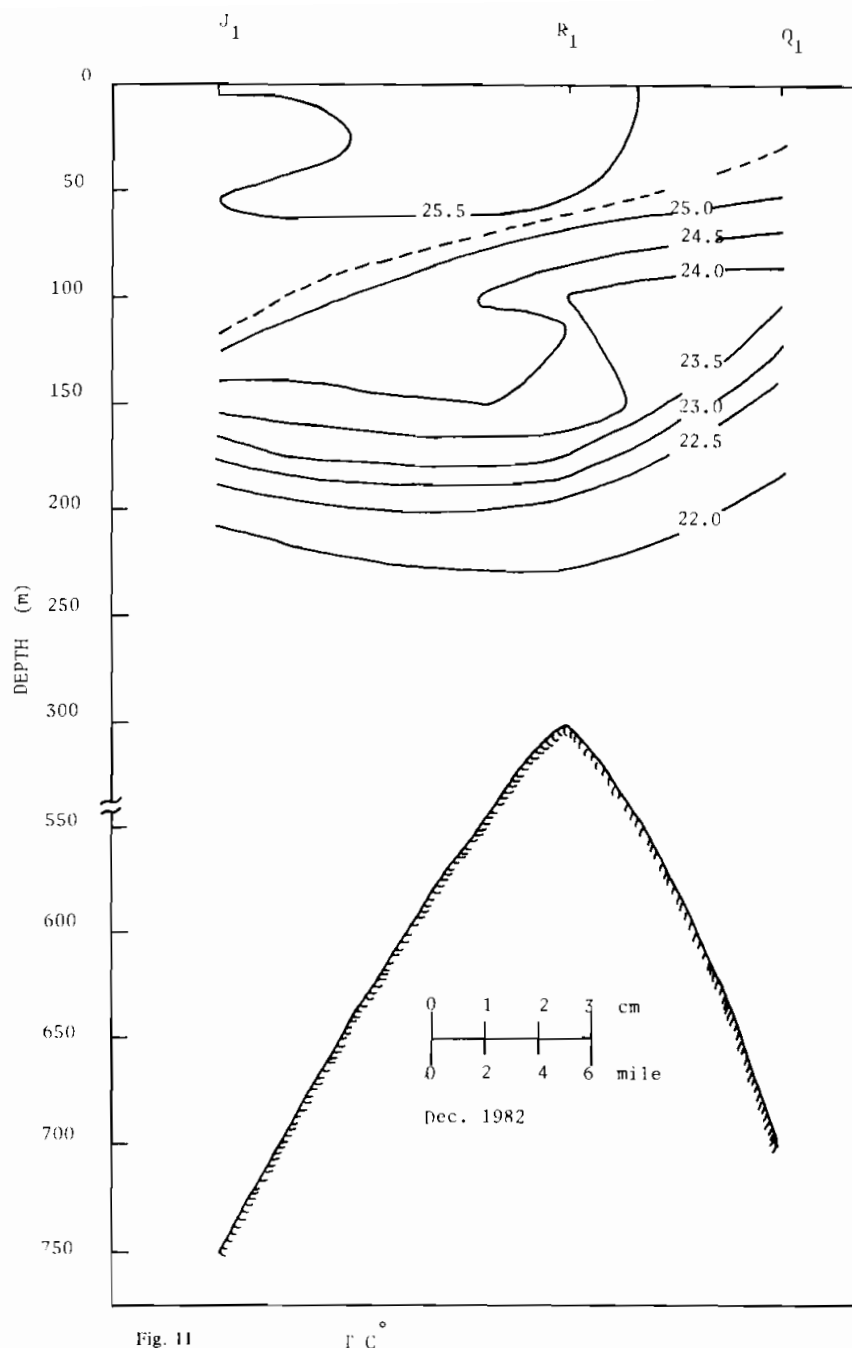


Fig. 11

$^{\circ}\text{C}$

Fig 11

شكل (١١) : التوزيع الرأسي للملوحة والحرارة والكتافة والاكسجين على امتداد القطاعات I ، II ، III ، IV ، خلال ديسمبر ١٩٨٢

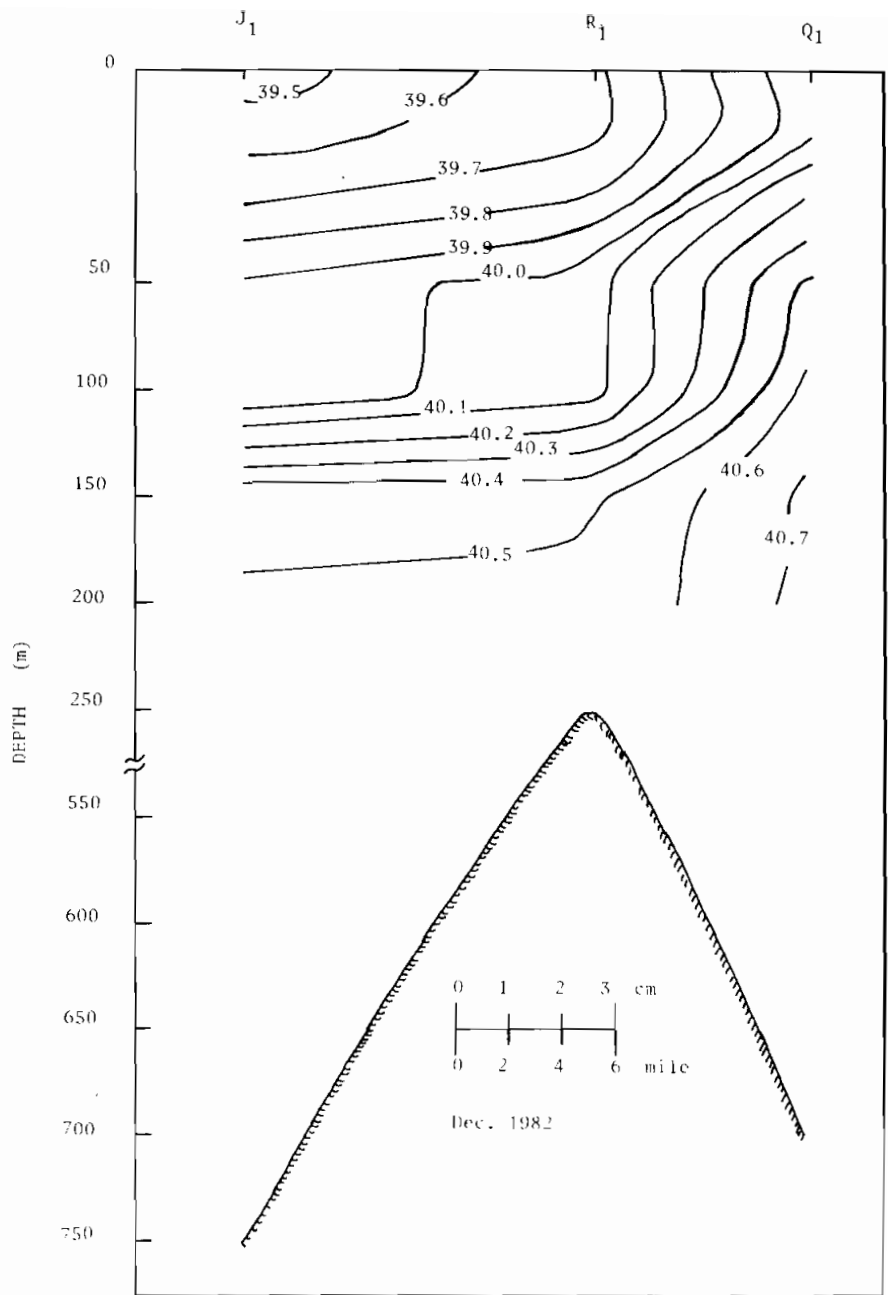


Fig. 11

S %

Fig. 11

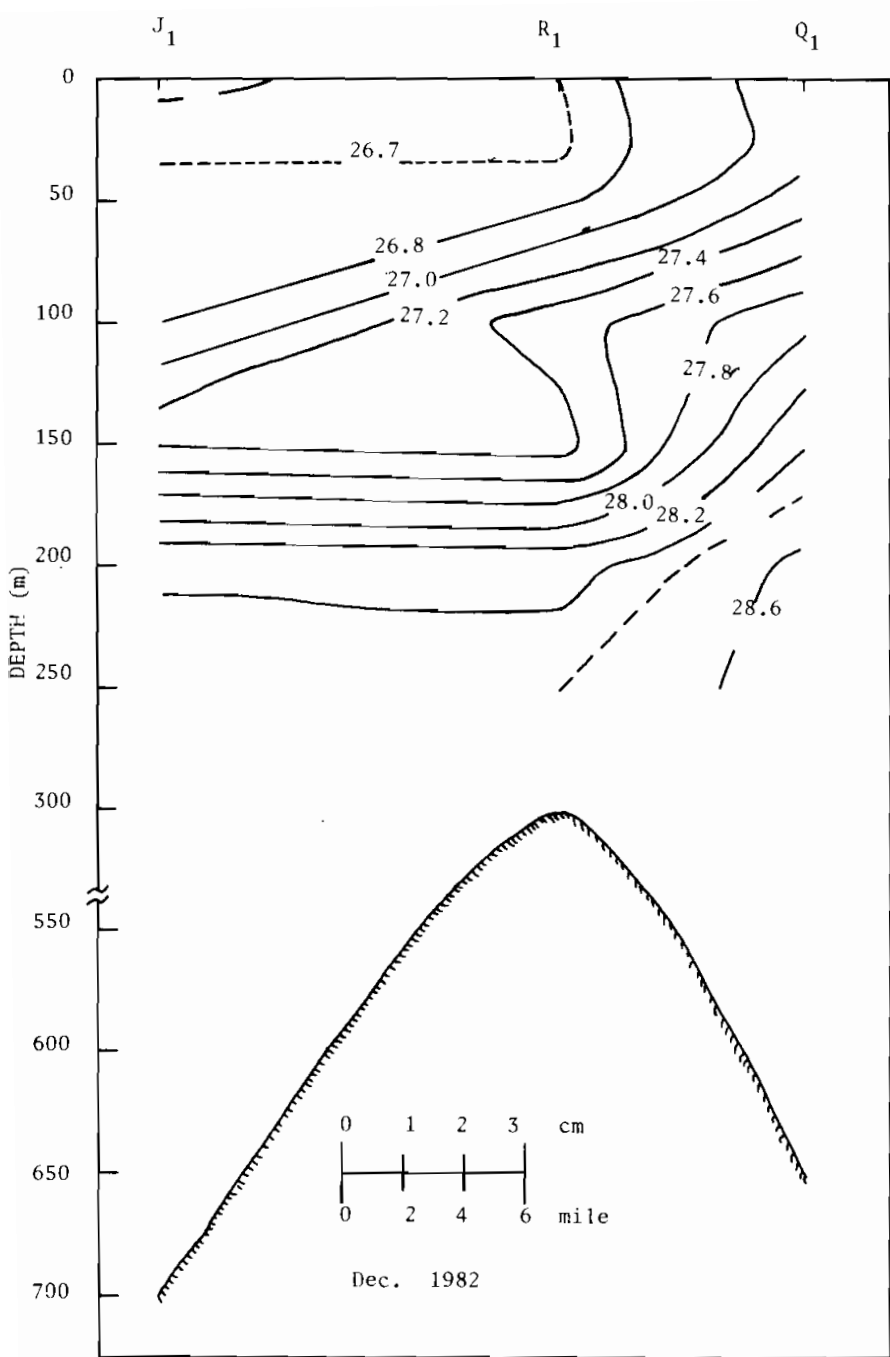


Fig. 11

σ_t

Fig. 11

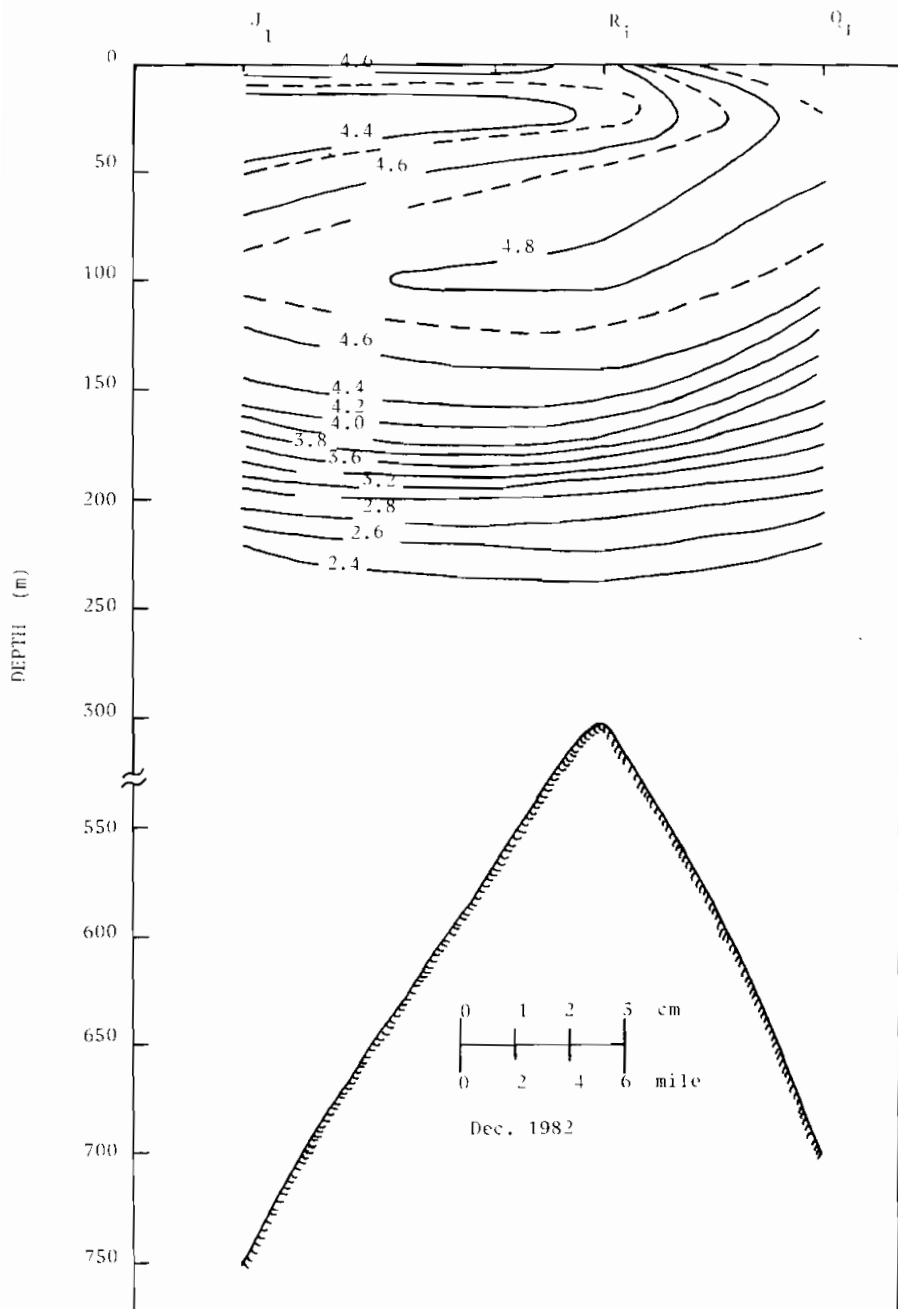


Fig. 11

Fig 11

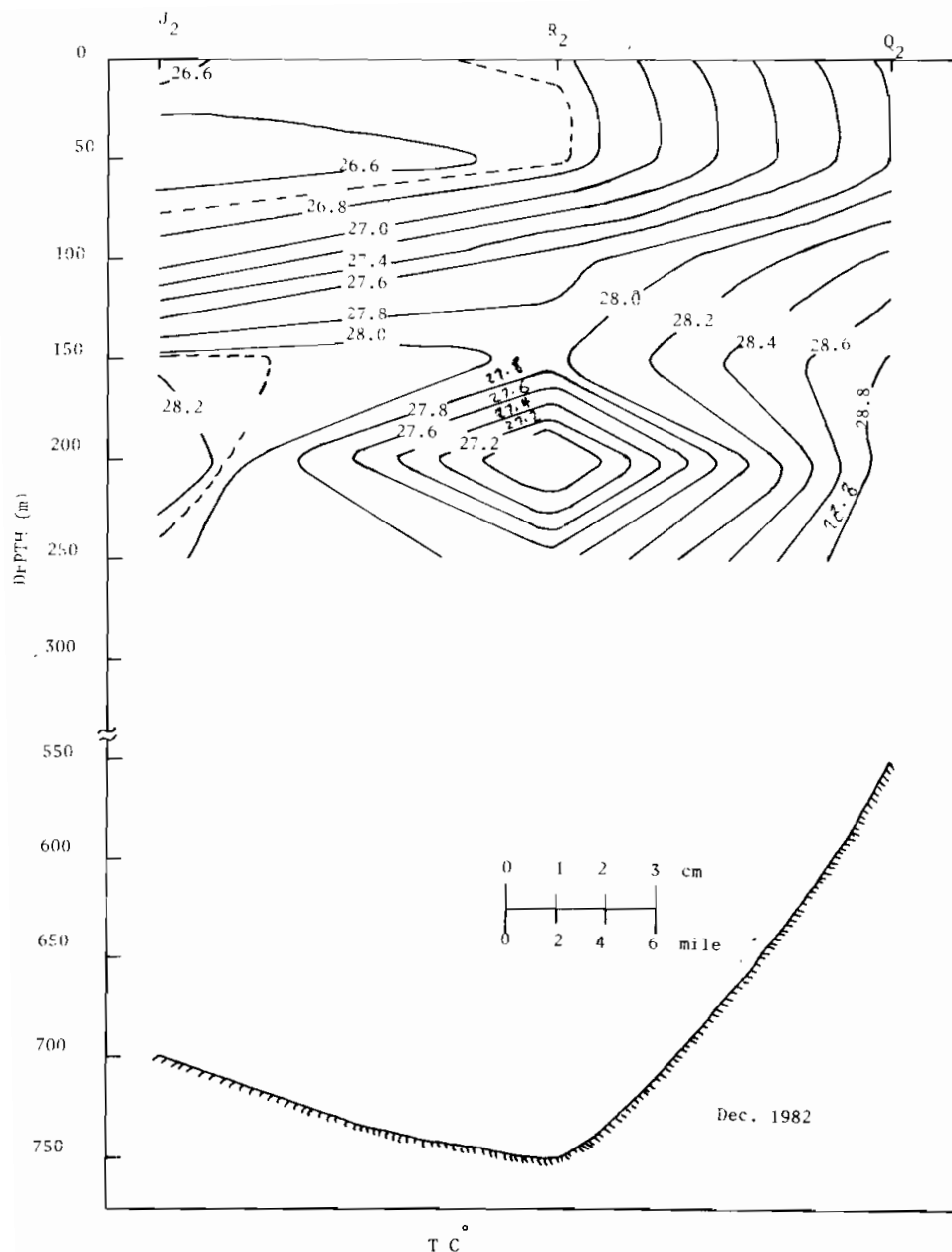


Fig 11

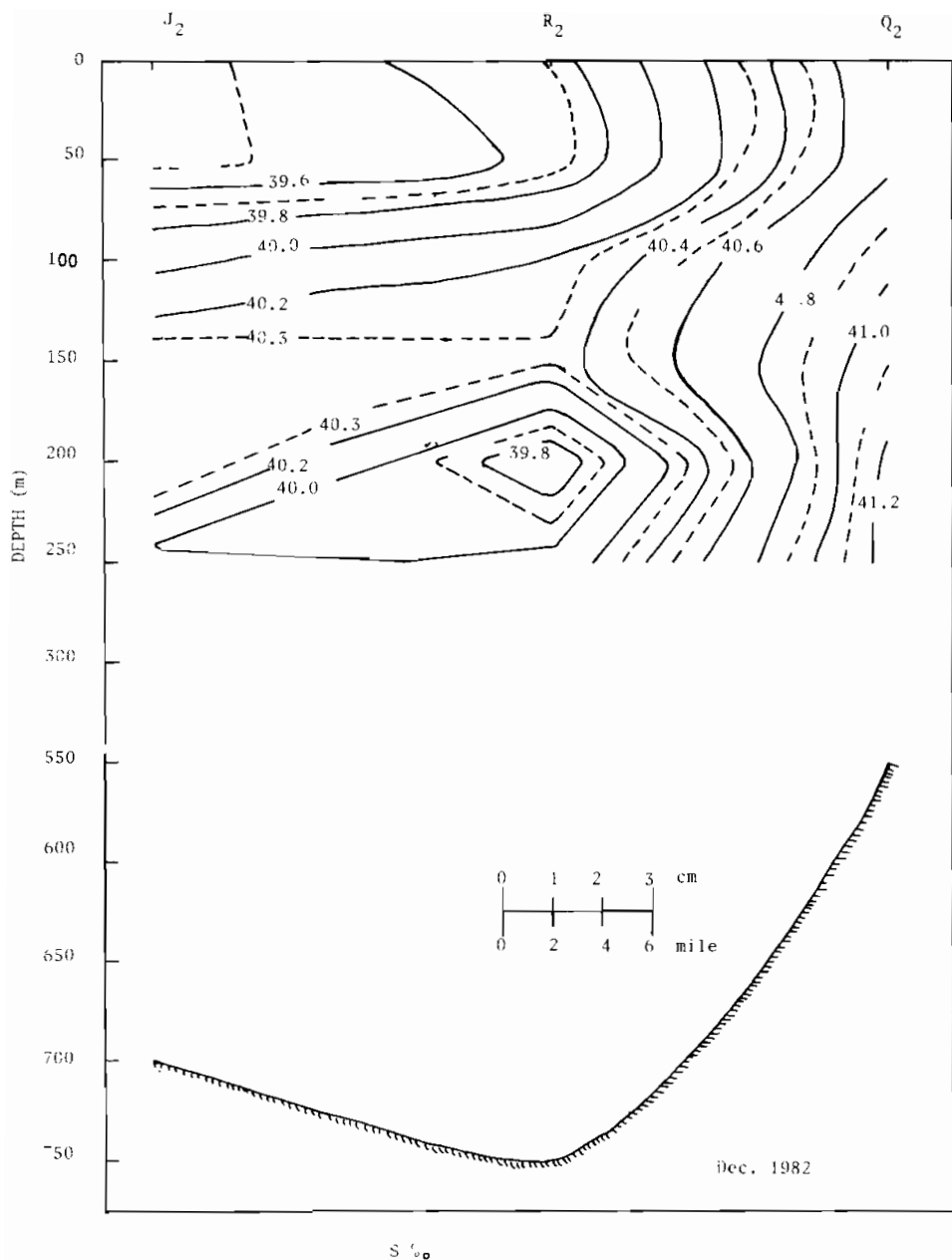


Fig. 11

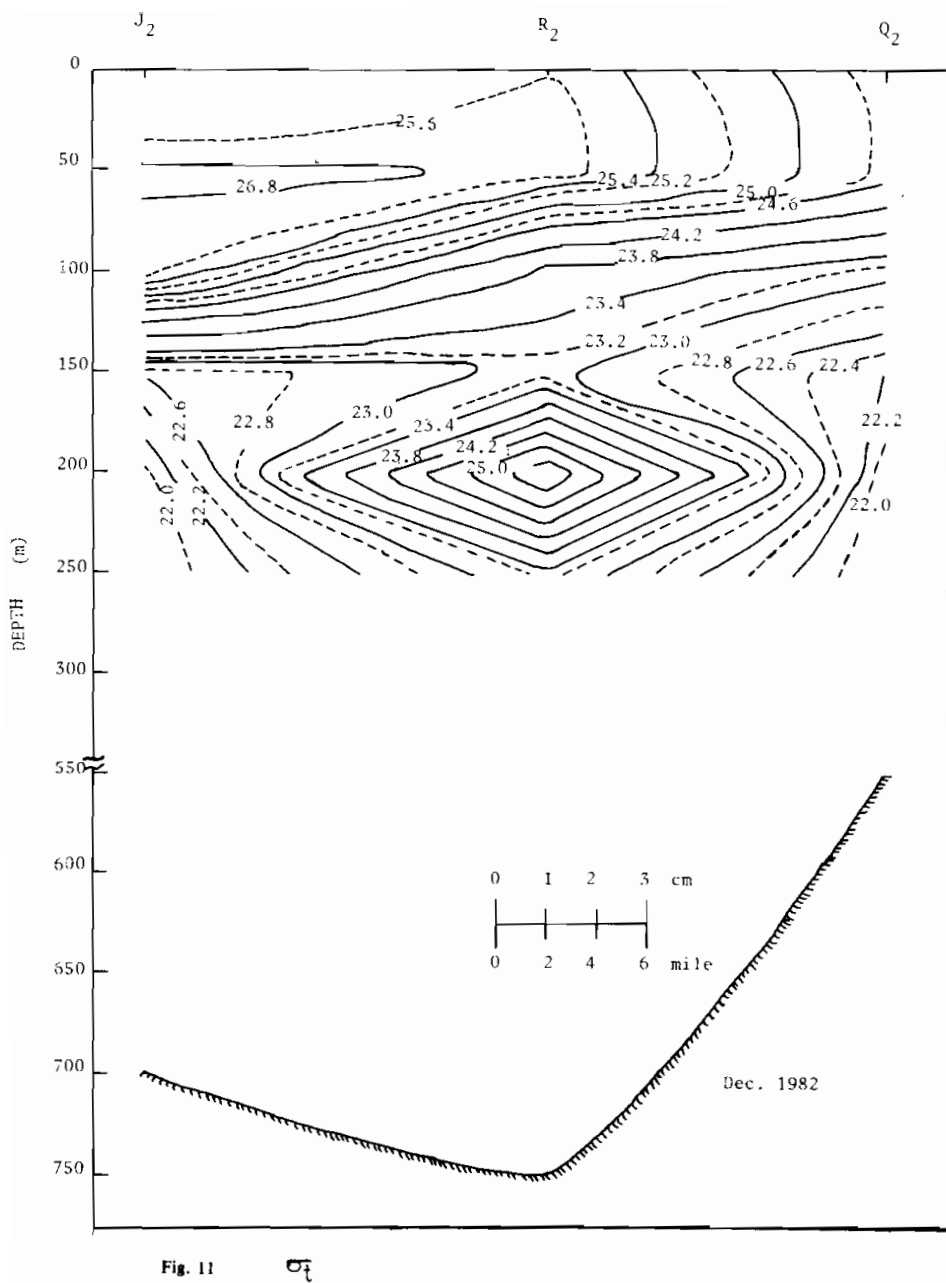


Fig. 11 σ_t

Fig 11

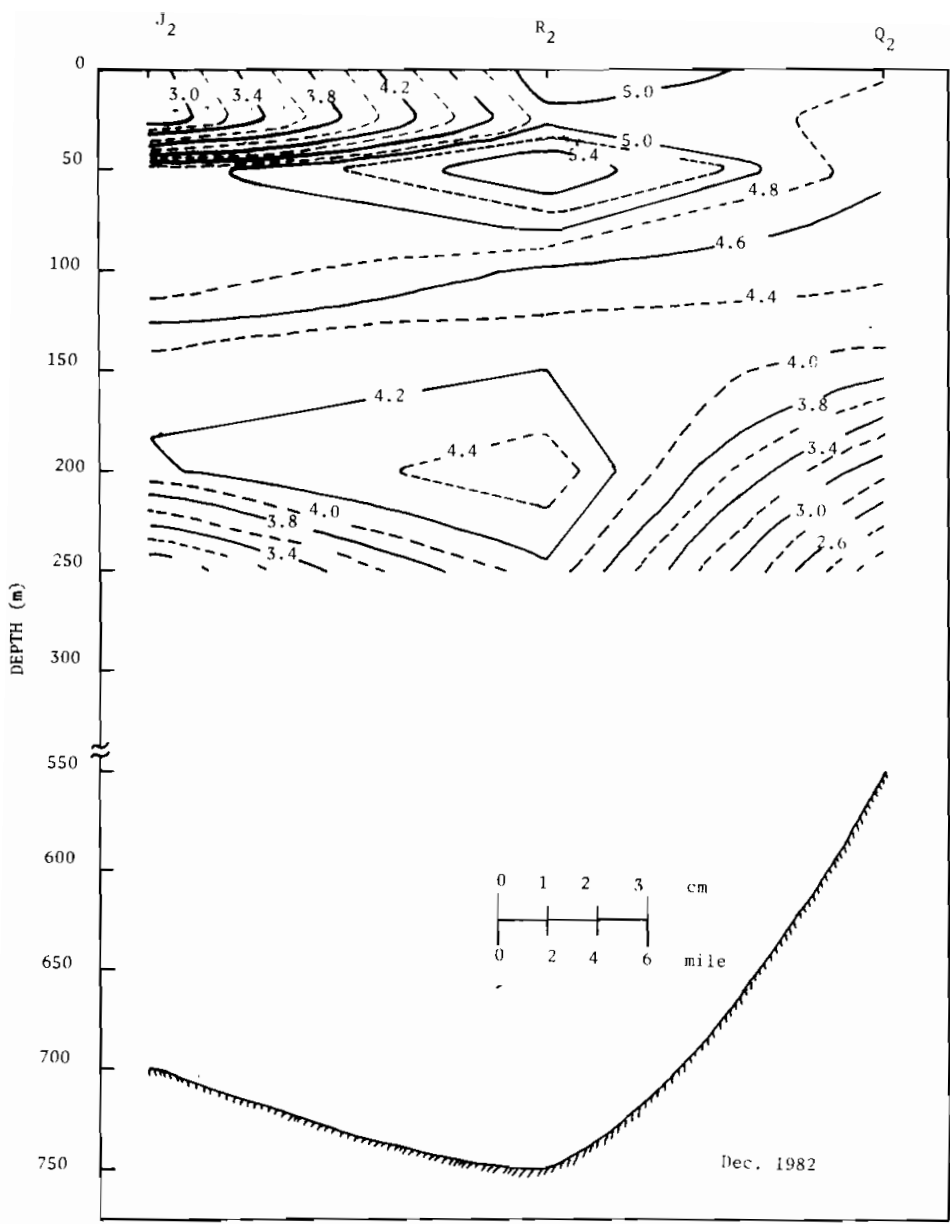


Fig.

O₂ ml l⁻¹

Dec. 1982

Fig 11

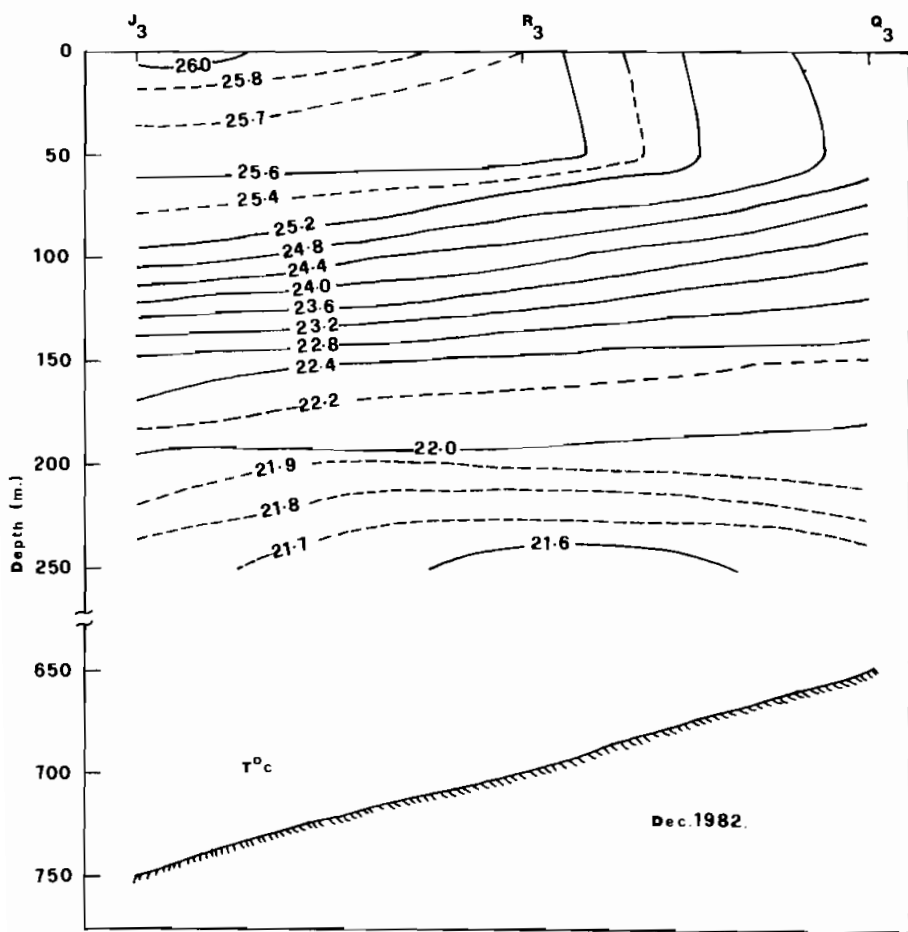


Fig. 11

Fig. 11

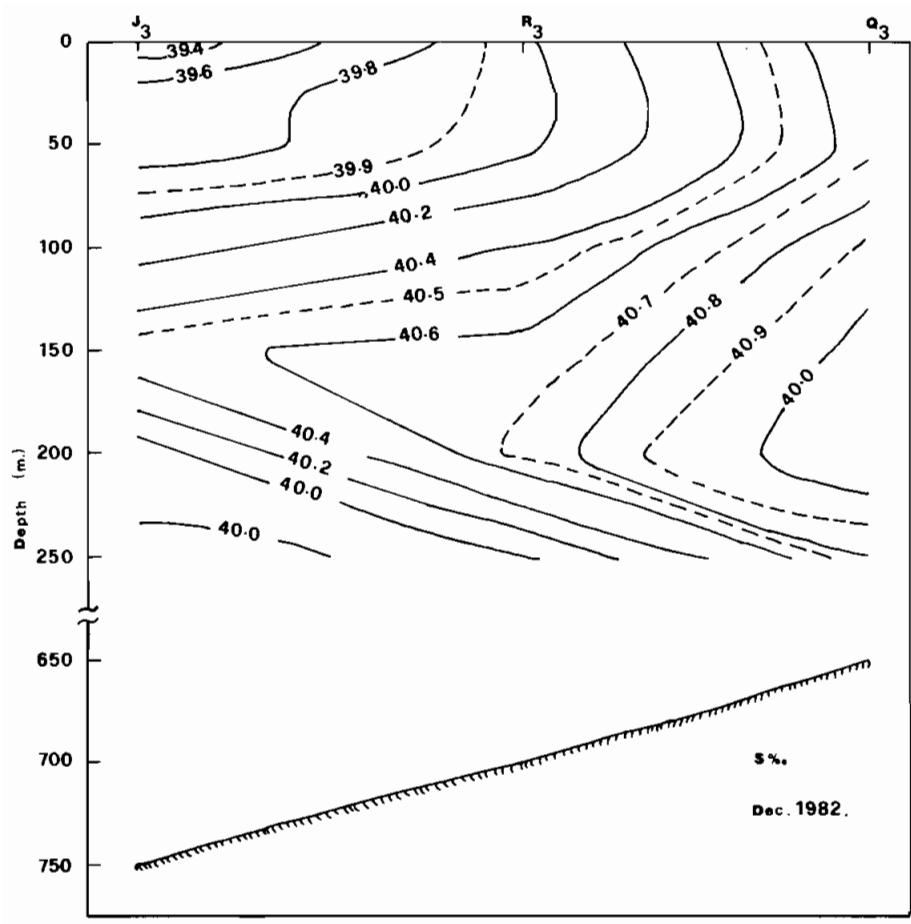


Fig. 11

Fig. 11

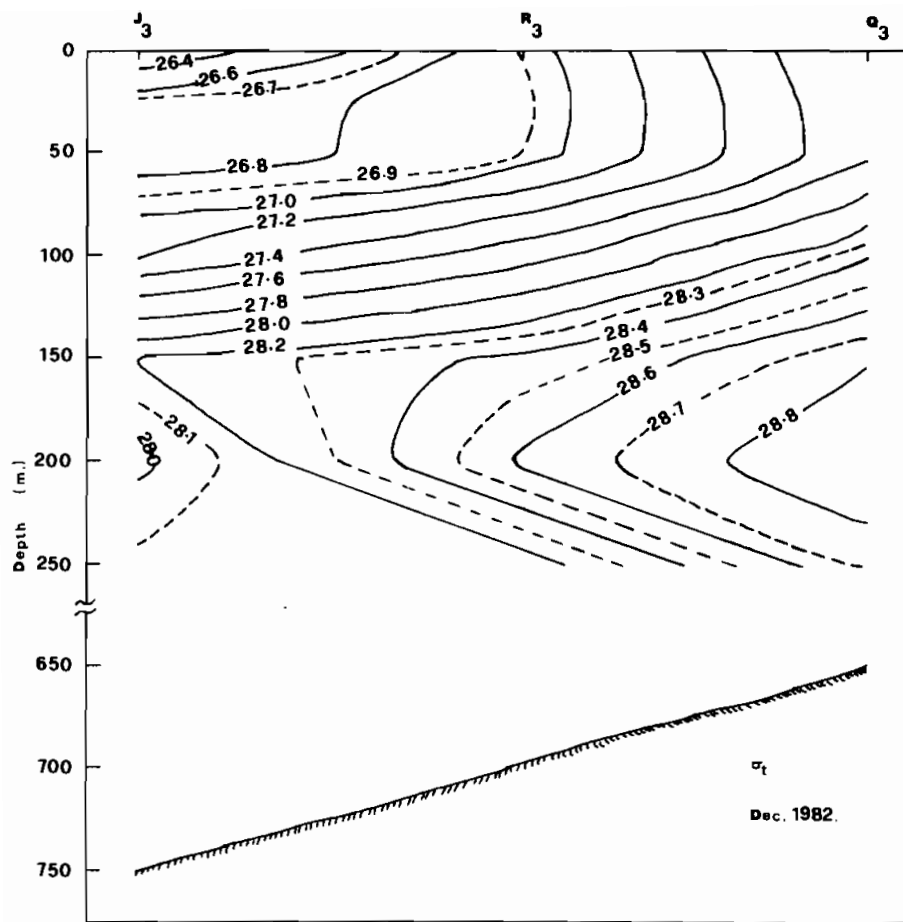


Fig. 11

Fig. 11

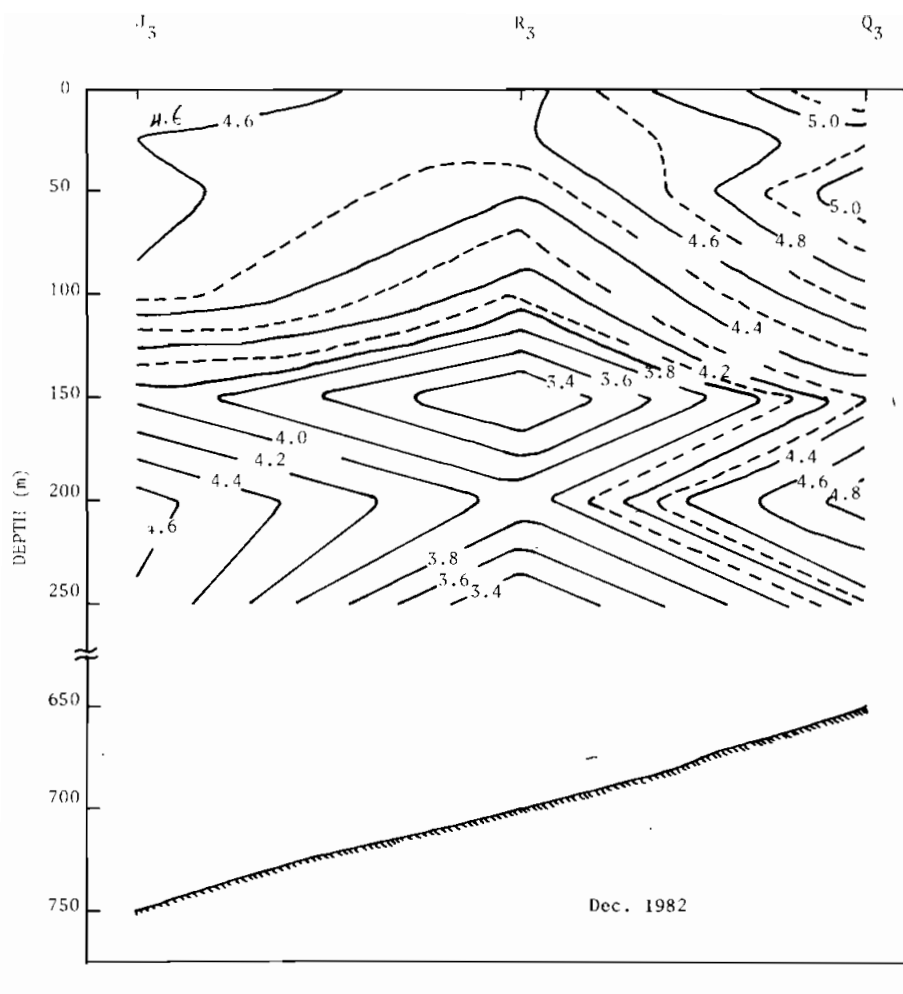


Fig. 11

O₂ ml l

Fig 11

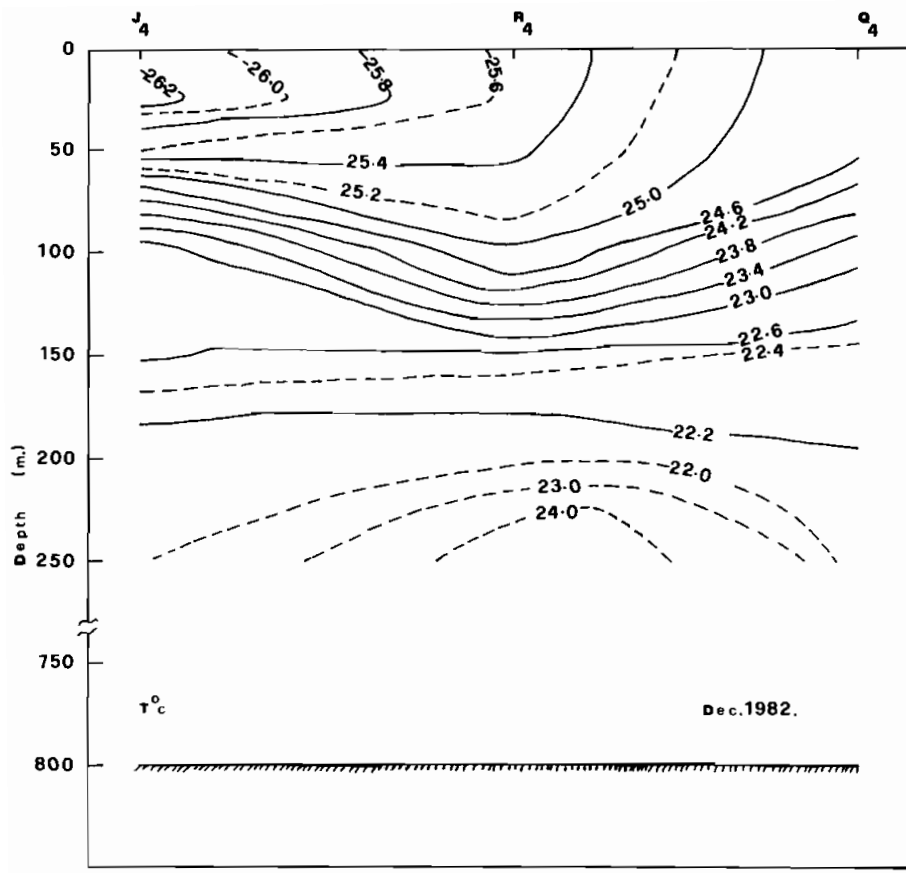


Fig 11

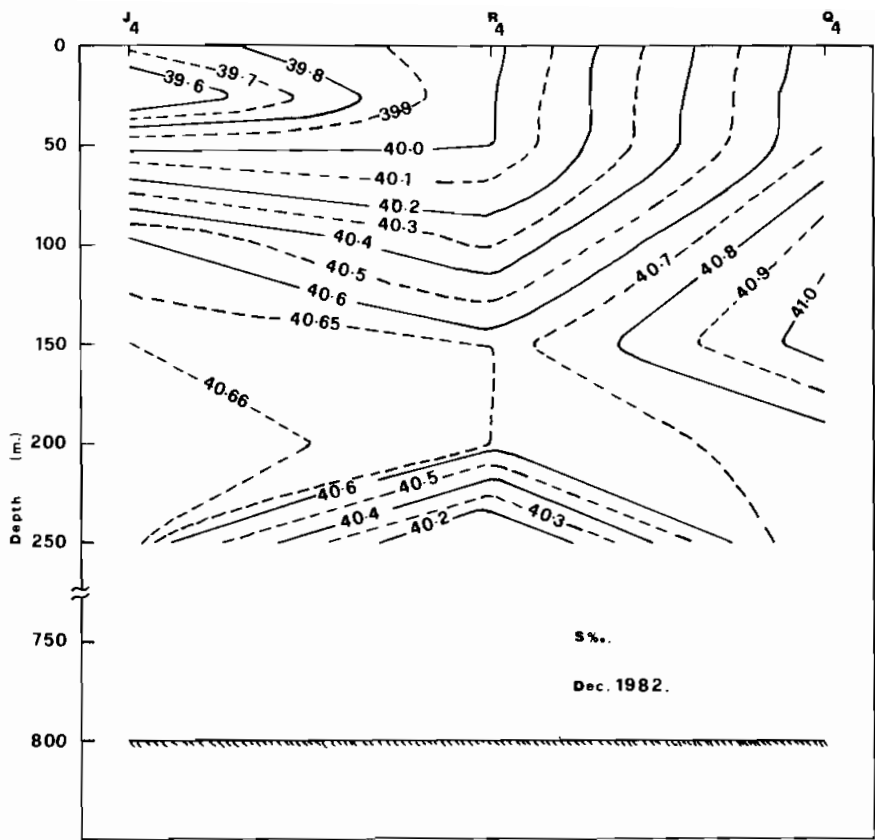


Fig. 11

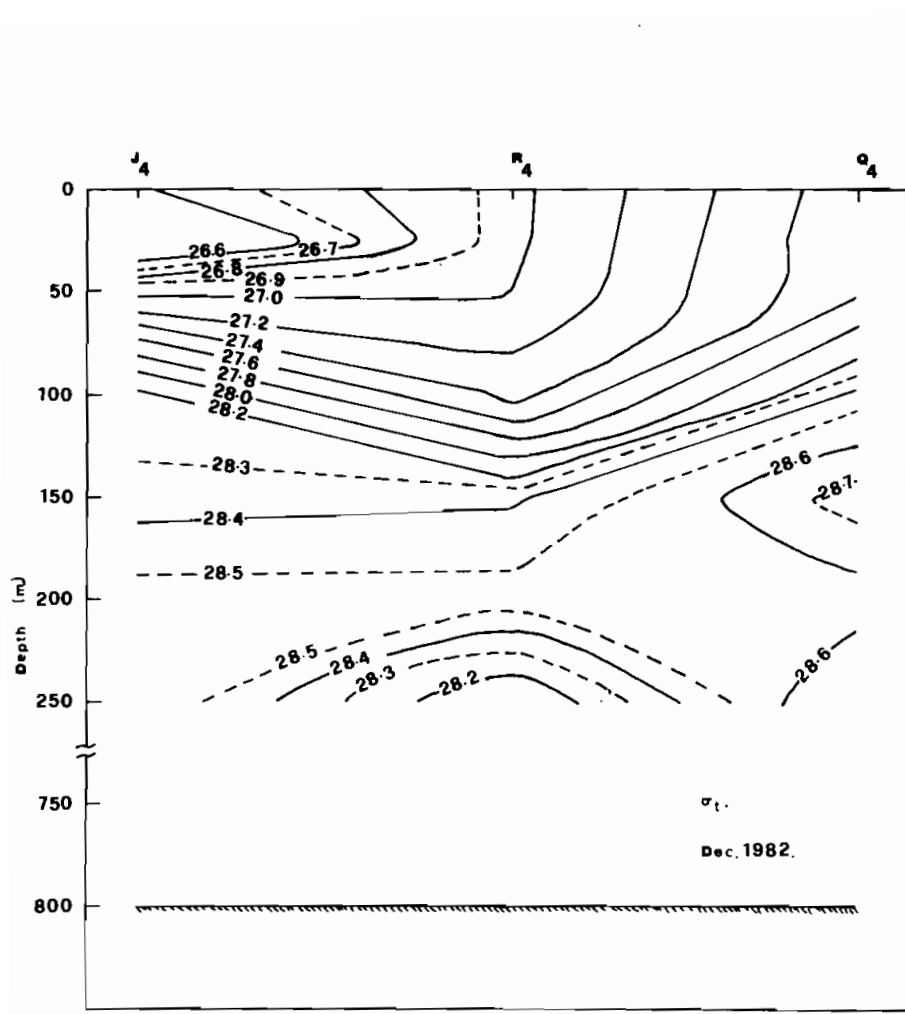


Fig. 11

Fig. 11

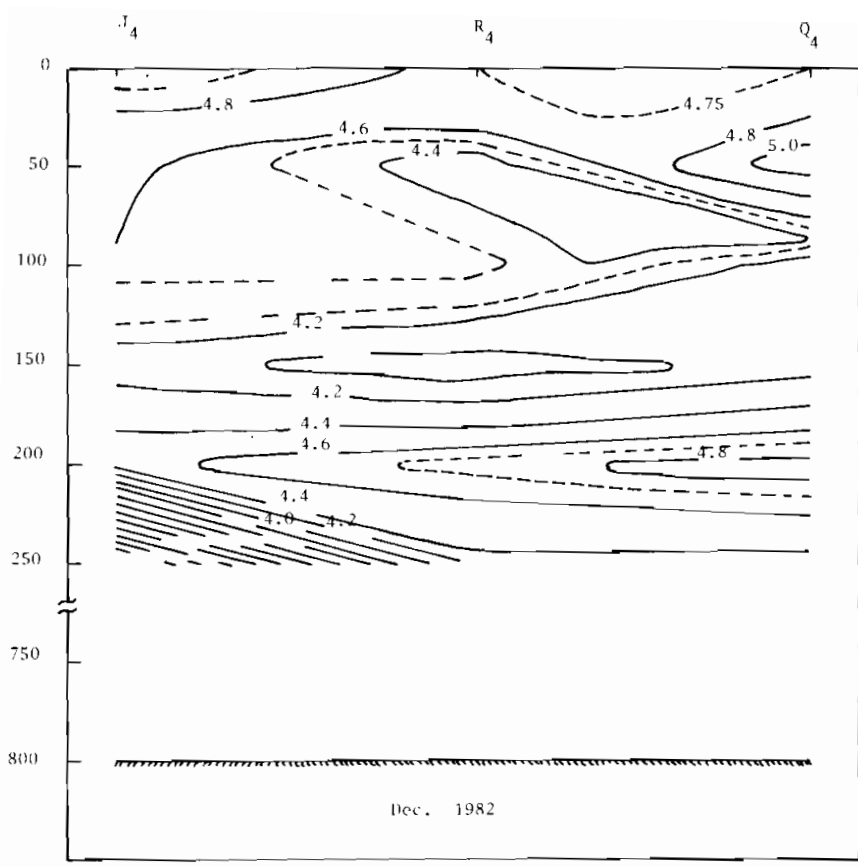


Fig. 11

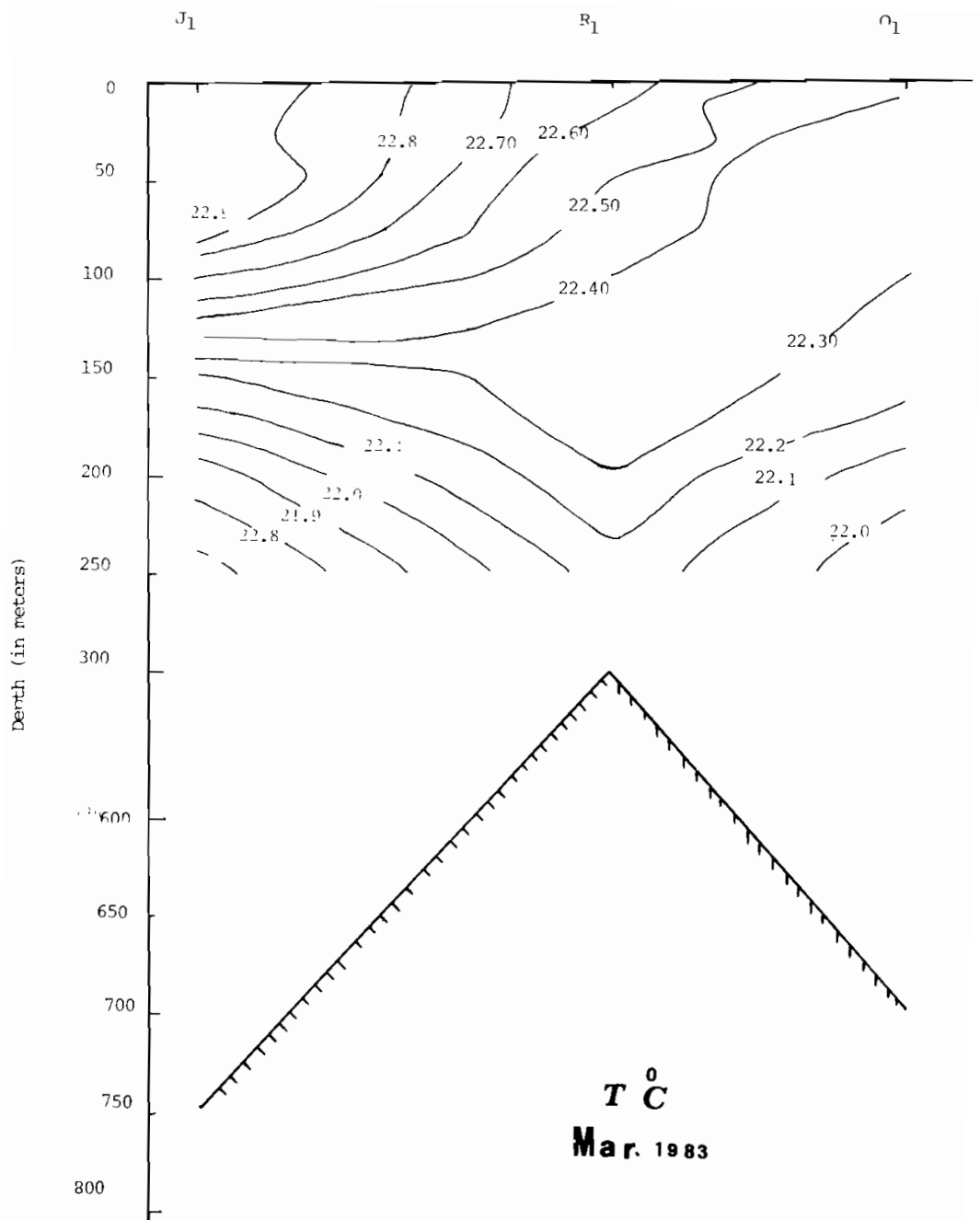
O_2 ml/l

Fig. 11

ب - ٥ - ٣ - رحلة مارس ١٩٨٣ م :

يبين التوزيع الرأسي للحرارة والملوحة خلال هذه الرحلة شكل (١٢) اختفاء الفروق الكبيرة في درجة الحرارة والملوحة عند الأعمق المختلفة وهذا خلاف الوضع الذي لوحظ في رحلة مارس ١٩٨٢ م . فقد كانت هناك فروقاً واضحة بين درجات حرارة المياه السطحية والمياه عند ٢٥٠ متراً تعادل تقريراً ضعف الفروق التي لوحظت خلال رحلة مارس ١٩٨٣ م ، ولذلك فقد اختفت طبقة المنحدر الحراري والملوحي خلال هذه الرحلة مع أنها كانت واضحة في رحلة مارس ١٩٨٢ م ولعل السبب في ذلك يرجع إلى أن رحلة ٨٢ قد أخذت في نهاية شهر مارس بينما أخذت رحلة ٨٣ في بداية شهر مارس ، ومن المعروف أنه في نهاية شهر مارس يكون التسخين الشمسي أقوى منه في بداية هذا الشهر ولذلك فقد كان متوسط حرارة المياه السطحية في رحلة ٨٢ يتراوح بين ٢٤ ، ٢٥ م°س في حين تراوح بين ٢٢ ، ٢٣ م°س في رحلة مارس ٨٣ مما جعل الفرق واضحاً بين حرارة المياه السطحية والمياه الأعمق في الحالة الأولى ، وجعله أقل وضوحاً في الحالة الثانية .

وبالاخطذ من التغير الرأسي نقص الملوحة وزيادة تركيز الأوكسجين ونقص الكثافة عند الأعمق في المخطة L_٢ بالمقارنة بالمخططات الثلاث الأخرى المجاورة لها وهي L_١ ، L_٣ ، L_٤ . ويمكن أن نرى أن عمود الماء مستقر عند جميع المخططات فيما عدا الثلاثين متراً العليا من L_٢ حيث أدى ارتفاع الحرارة إلى عدم استقرار عمود الماء . تركيز الأوكسجين له قيم مترابطة في الامتداد العلوي من الماء ويقل مع العمق ب معدل سريع عند L_٢ وبمعدل أبطأ عند بقية المخططات . أما تحت ٥٠ متراً فان تركيز الأوكسجين في المخطة L_٢ يزيد عن تركيزه في بقية المخططات .



شكل (١٢) : التوزيع الرأسي للملوحة والحرارة والاكسجين عند المحطات كلها خلال مارس ١٩٨٣

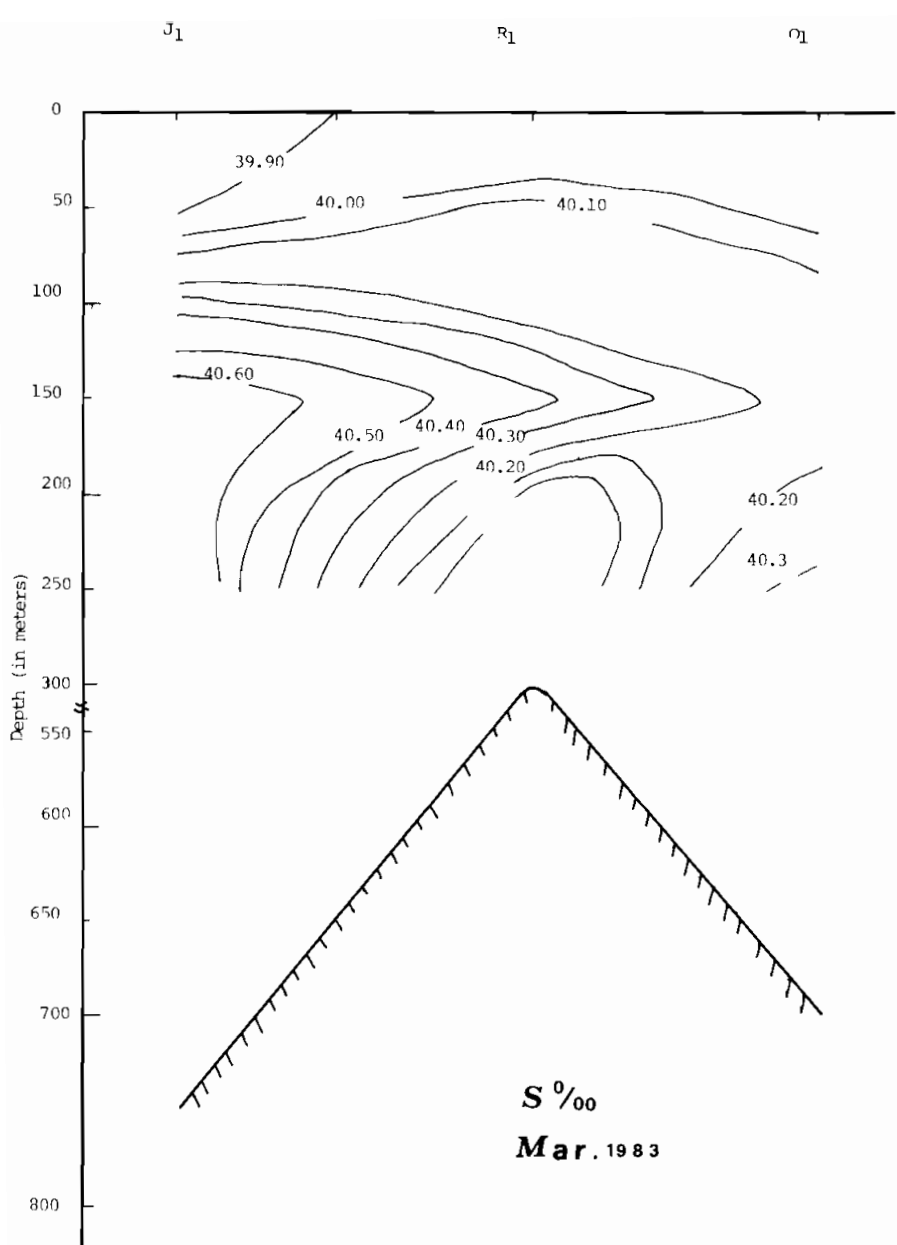


Fig. 12

Fig. 12

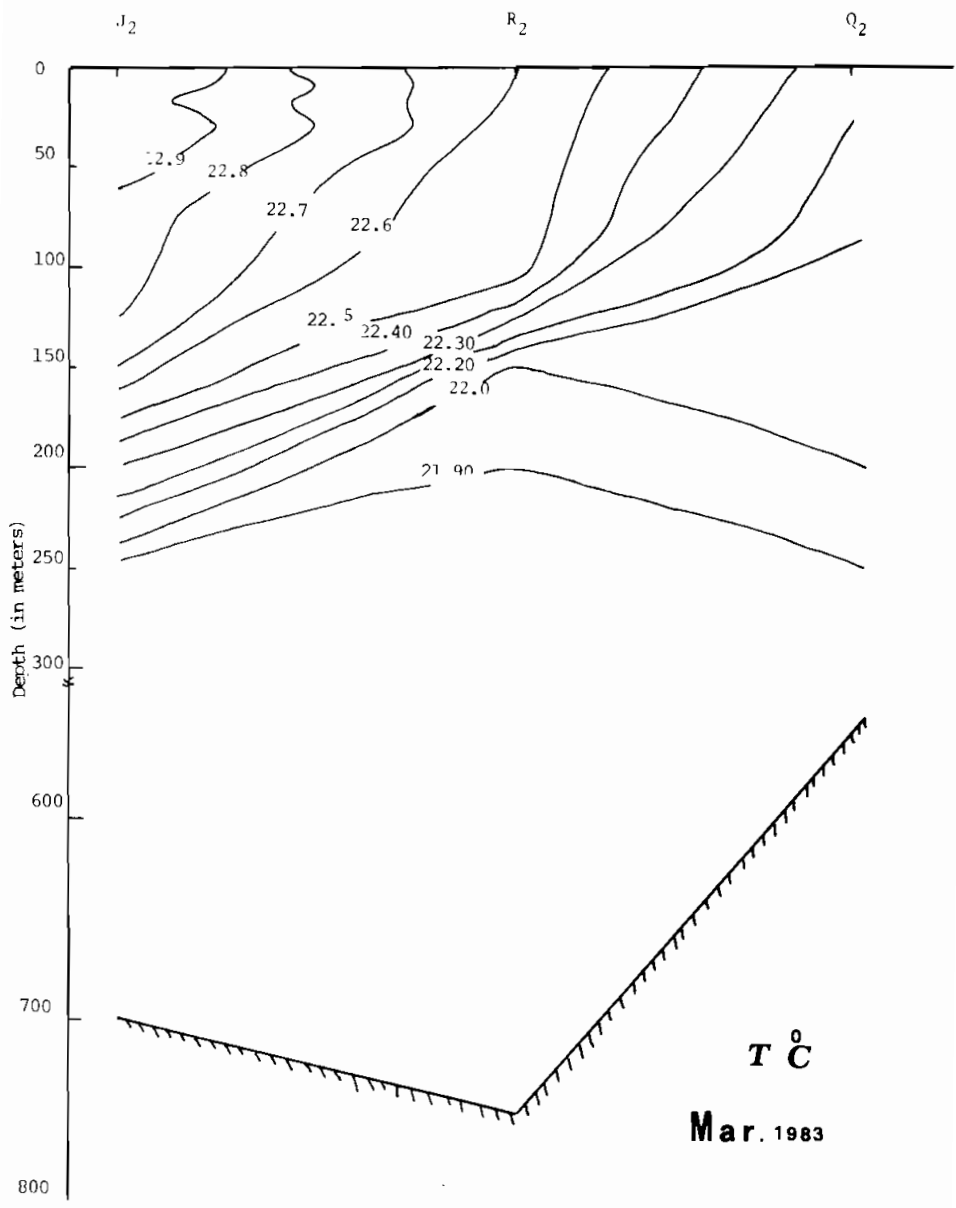


Fig. 12

Fig. 12

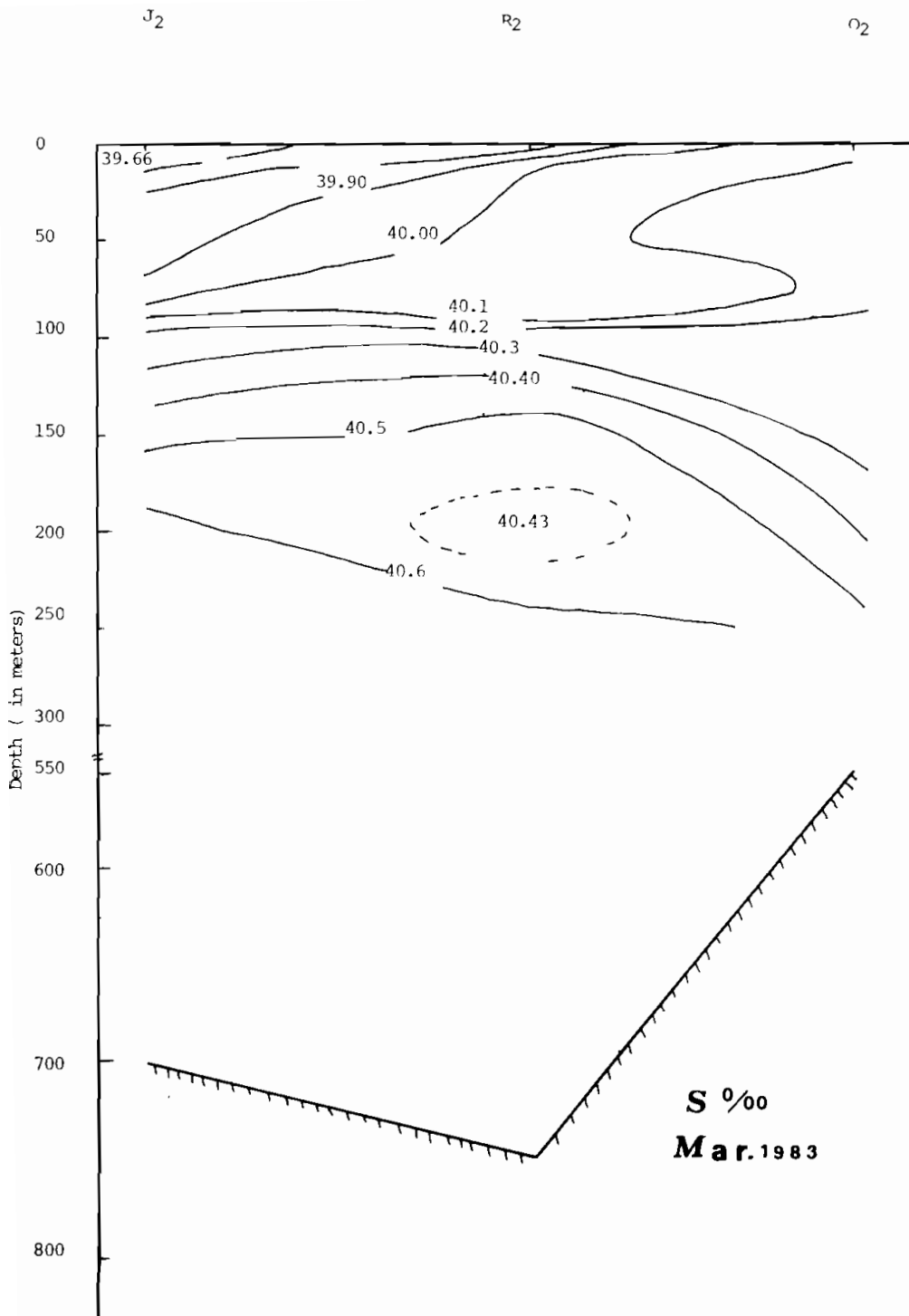


Fig. 12

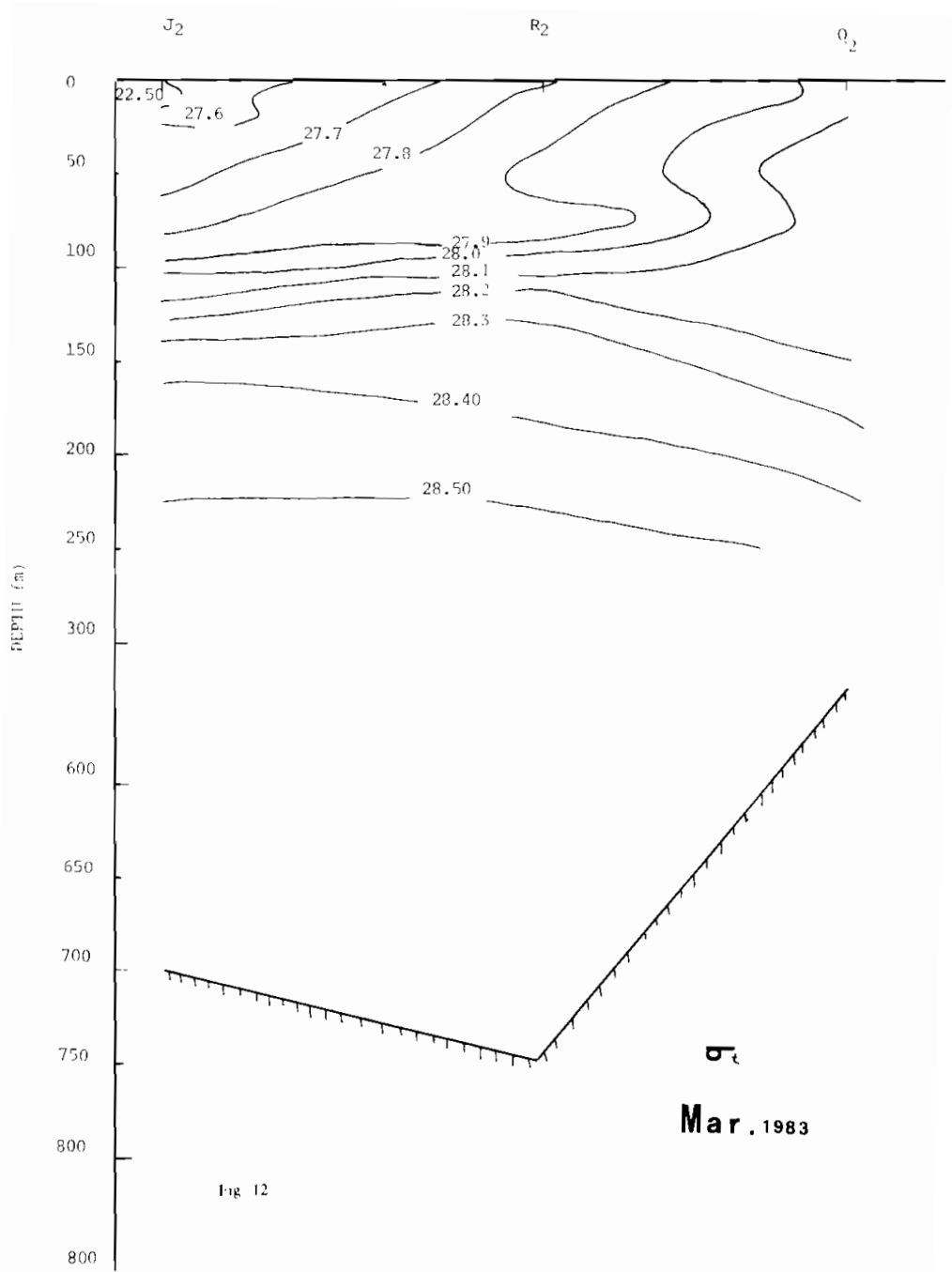


Fig. 12

Fig. 12

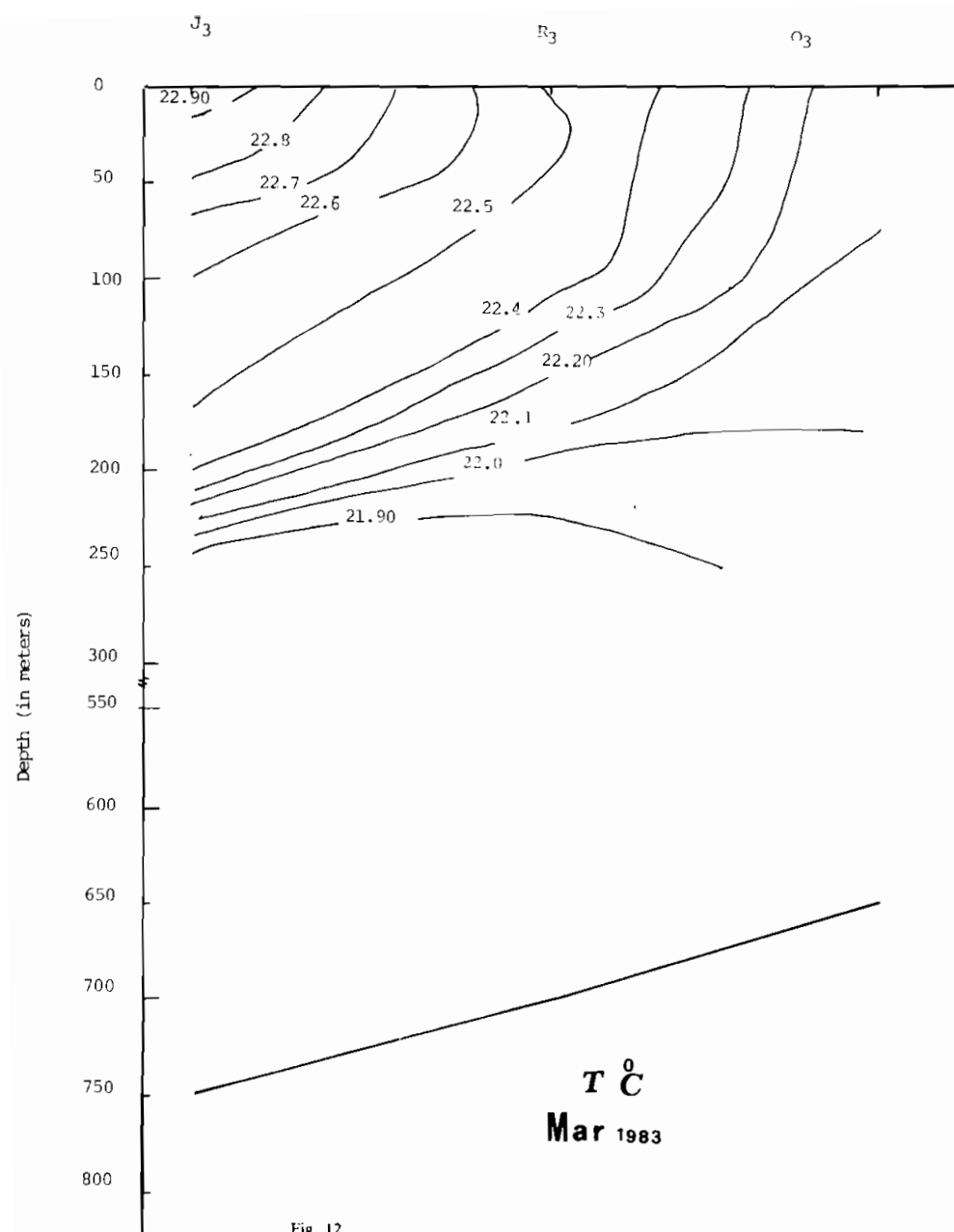


Fig. 12

Fig. 12

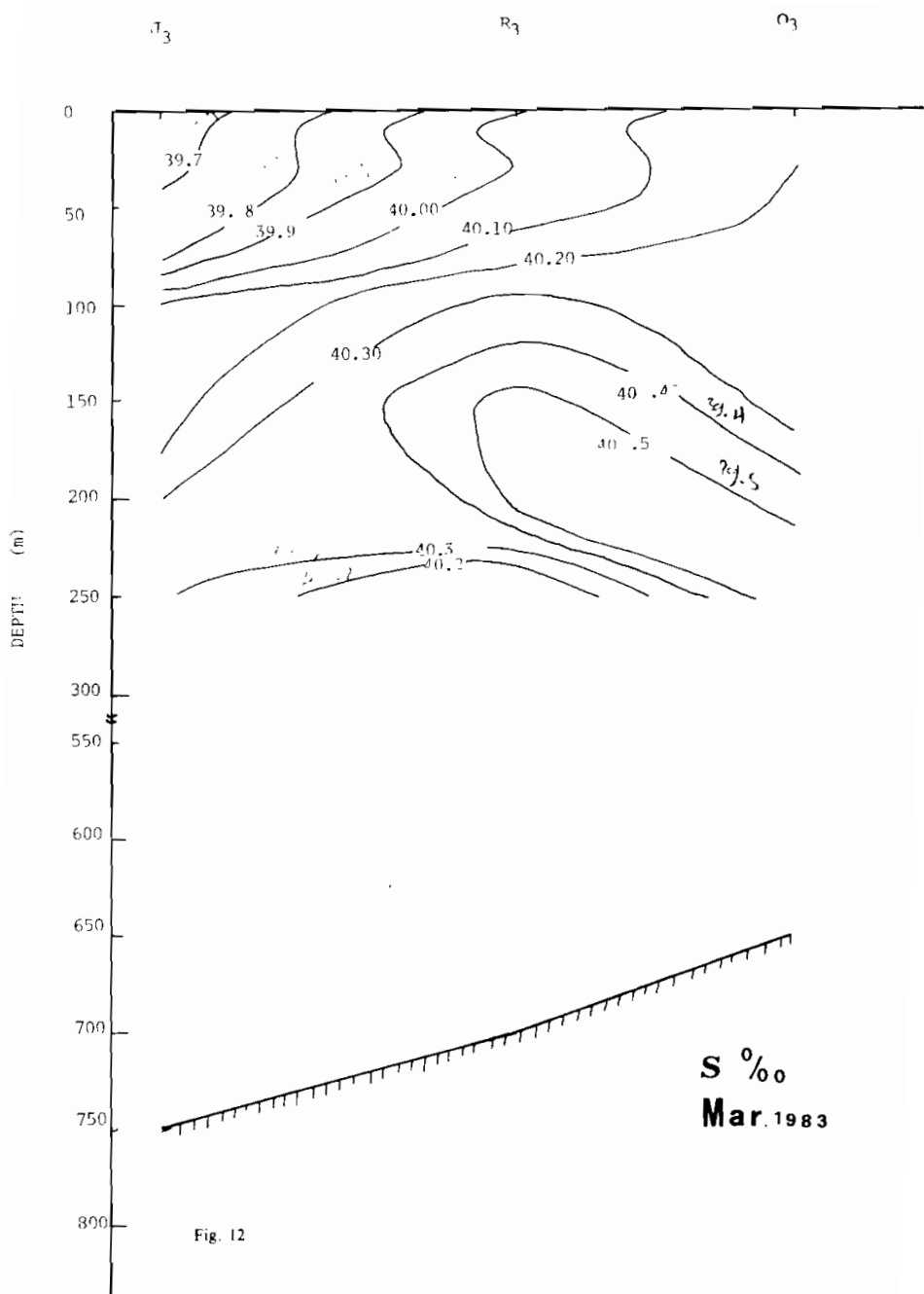


Fig. 12

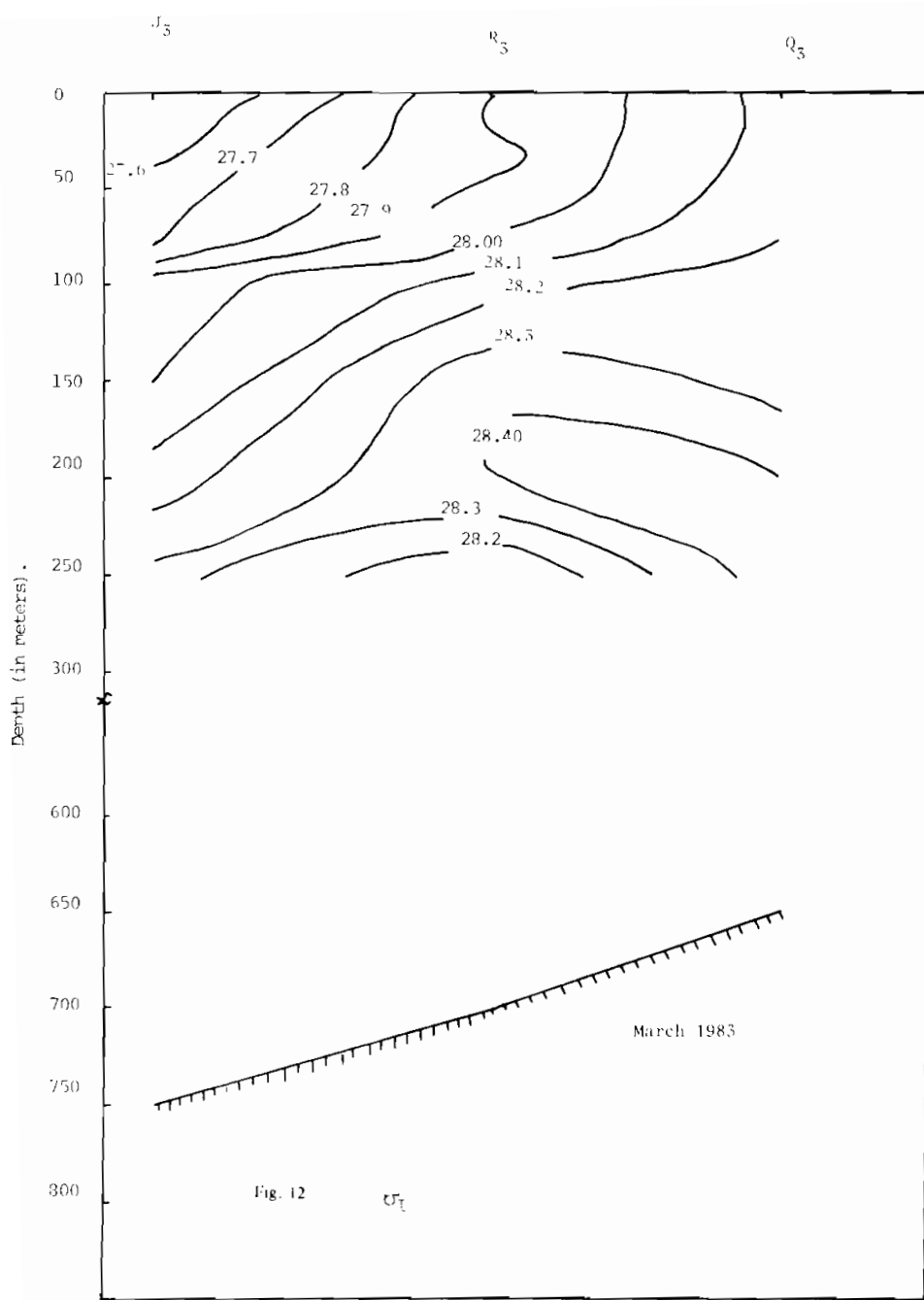


Fig. 12

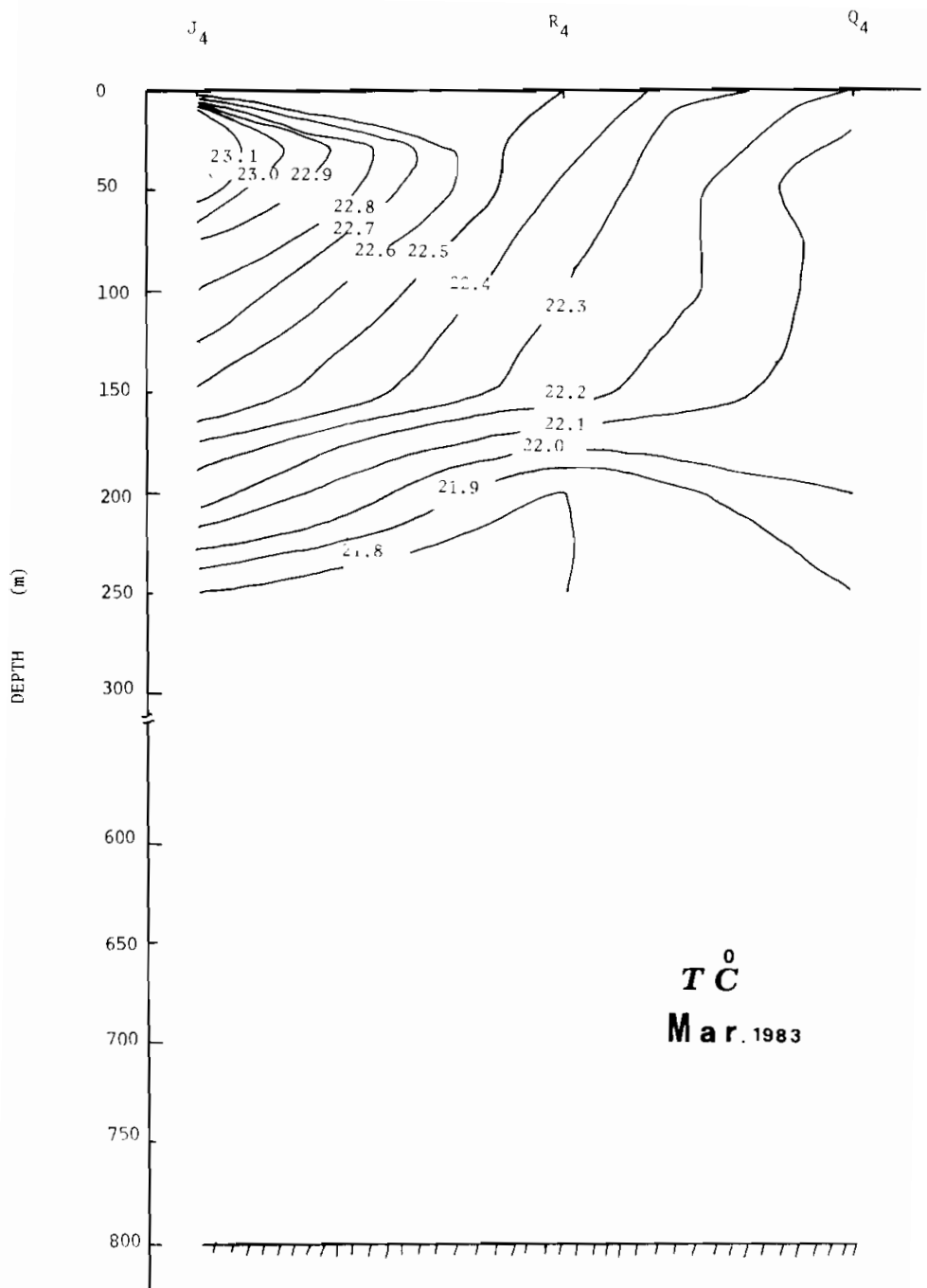


Fig. 12

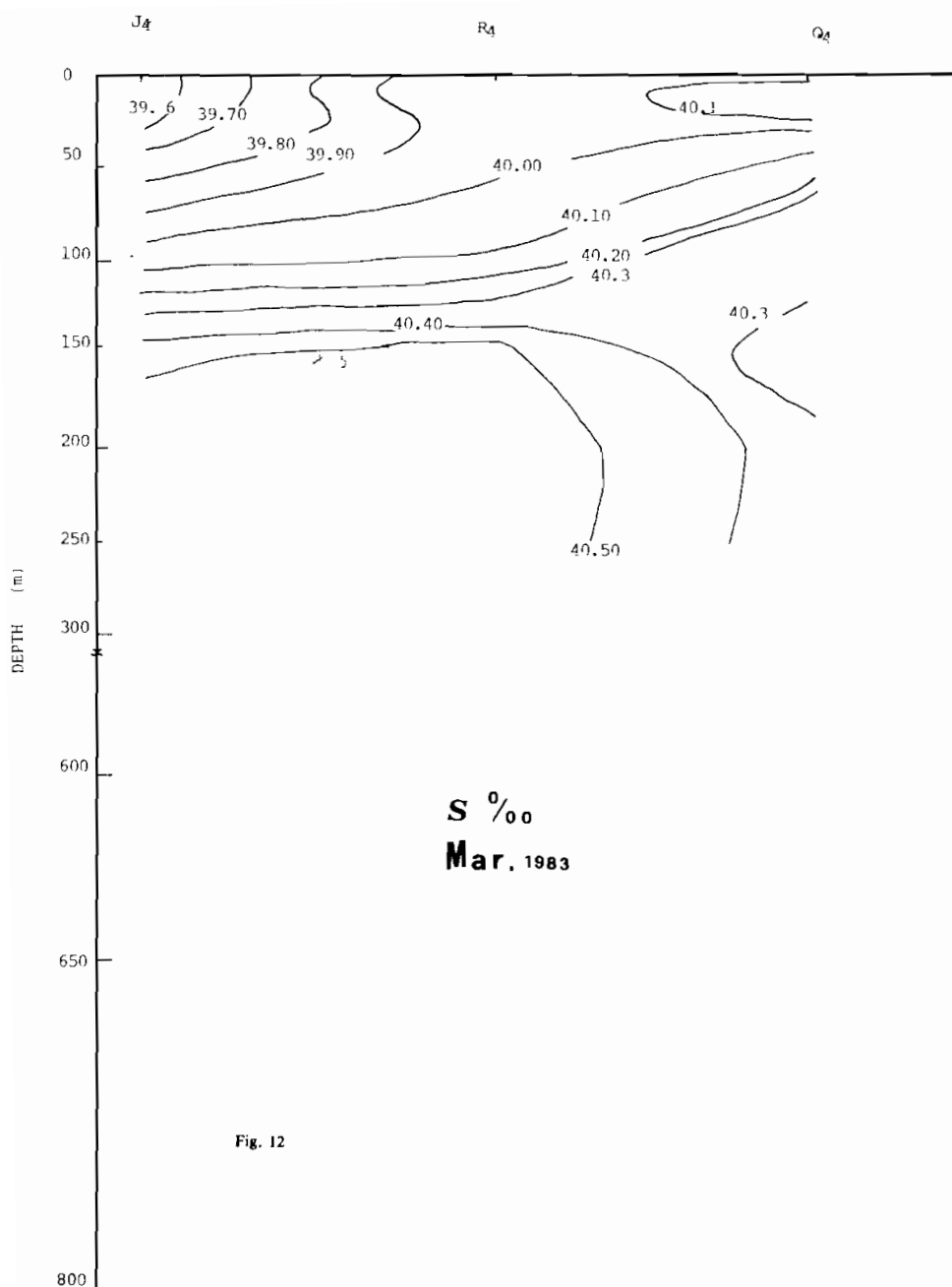


Fig. 12

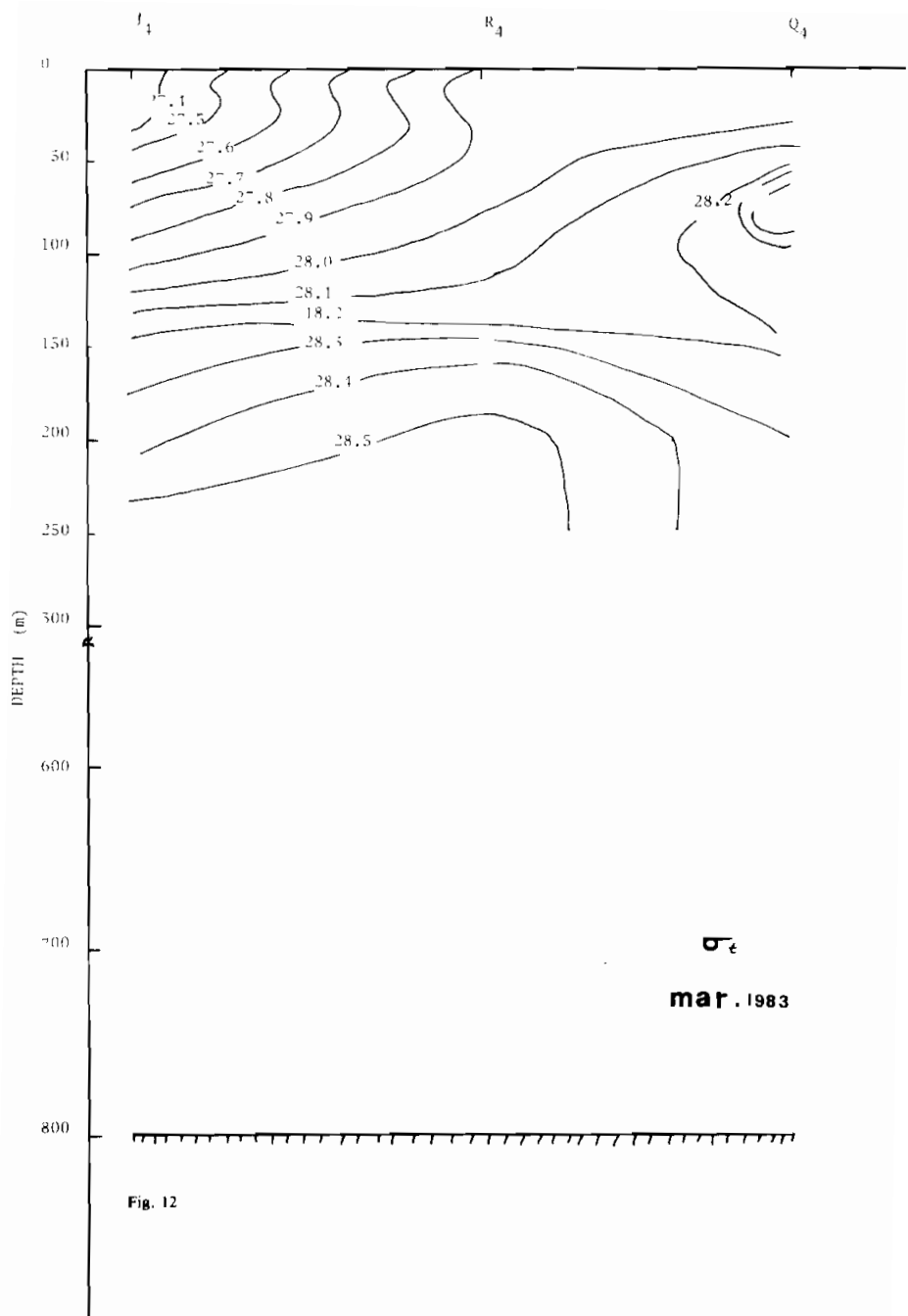


Fig. 12

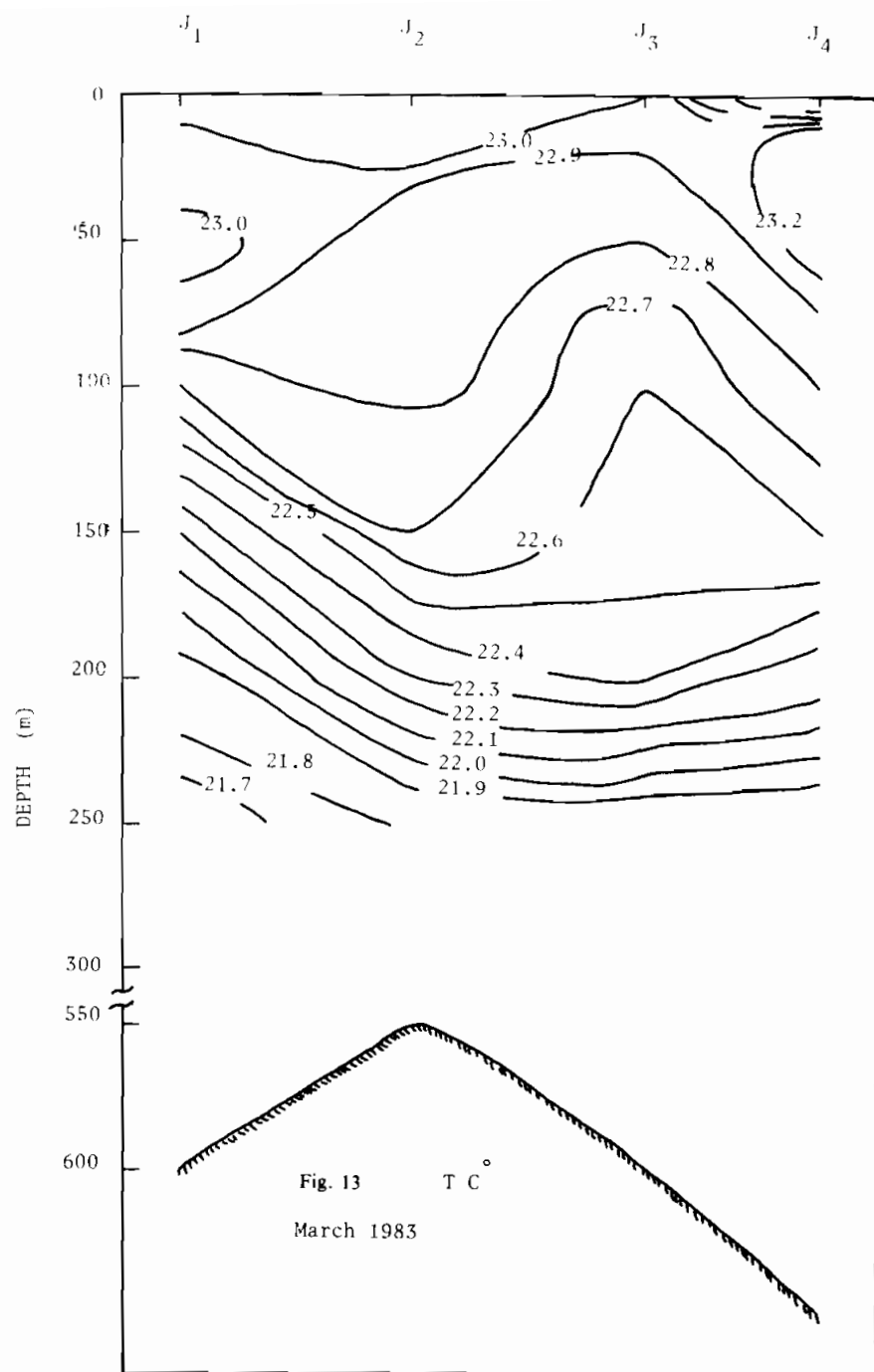
يتضح من شكل (١٣) ضعف الامتراد الأفقي للمياه على امتداد القطاع J فيلاحظ من توزيع الملوحة والحرارة والكثافة والأوكسجين أن الملوحة تزيد كلما اتجهنا نحو خط الساحل من J إلى R ، في الطبقة السطحية العليا التي تصل إلى عمق ٢٥ متراً . وتحت هذا العمق نلاحظ أن ملوحة المياه عند J منخفضة عما حولها .

و عموماً يمكن تمييز حركة ضعيفة للمياه السطحية متوجهة نحو الساحل (أى من الغرب إلى الشرق) .. وتقابليها حركة للمياه التحت سطحية عند عمق حوالي ١٠٠ متر متوجهة من الساحل نحو البحر المفتوح . وهذه المياه تغوص إلى أعماق أكبر كلما بعديت عن خط الساحل كما يتضح من توزيع الكثافة .

على امتداد القطاع R يتضح من توزيع الملوحة شكل (١٣) - R وجود امتراد في مياه الطبقة السطحية حتى عمق ٥٠ متراً مما يرجع وجود حركة للمياه بين R ، R' . أما في المياه التي يزيد عمقها عن ٥٠ م فيلاحظ وجود لسان من المياه ذات الملوحة العالية نسبياً يتدقق من الغرب للشرق أى من J إلى R ، ولذلك تقارب ملوحة المياه الموجودة عند أعماق ١٠٠ ، ١٥٠ متراً ويؤثر هذا اللسان المائي في عمود الماء عند المحطة R ، فيقسمه إلى جزئين أحدهما علوي يمتد من السطح وحتى عمق أقل من ٥٠ متراً والأخر سفل عند عمق يقترب من ٢٥٠ متراً . وتساوي تقريباً ملوحة وكثافة مياه الجزئين وكذلك تقارب قيم تركيز الأوكسجين فيما في حين تواجد بينهما مياه ذات ملوحة أعلى وكثافة أعلى وأوكسجين أقل وتند هذه المياه على هيئة لسان يصل تأثيره إلى المحطة R ، حيث يؤدي إلى زيادة ملوحة المياه الموجودة عند الأعمق ١٠٠ ، ١٥٠ متراً بينما تبقى المياه عند ٢٠٠ ، ٢٥٠ متراً لها نفس ملوحة المياه الموجودة عند أعماق أقل من ٣٠ متراً . ويلاحظ من توزيع درجة الحرارة شكل (١٣) - R تقارب قيمتها عند نفس الأعمق في المحطات الثلاث R ، R' ، R'' . ويلاحظ ارتفاع طفيف في درجة الحرارة عند المحطة R . كما يلاحظ صغر الفرق بين حرارة المياه السطحية والمياه التحت سطحية حتى عمق ٢٥٠ متراً مما يدل على وجود امتراد رأسى قوى يعزى لوجود تيارات الحمل الناتجة من الحركة الأفقية للمياه المبتعدة عن الشاطئ وصعود المياه تحت سطحية نحو السطح . كما أن توزيع الكثافة ٥١ يدل على وجود حركة انتقال للمياه السطحية من الساحل في اتجاه البحر المفتوح (أى من R إلى R') وعدم استقرار عمود الماء في المحطة R ، في الطبقة السطحية وفي R' عند عمق ٢٥٠ متراً .

فـ القطاع Q شـكل (١٣ - Q) يلاحظ أن درجة حرارة المياه متـجانسة أفقـيا ورأـسيا عـلـى امتداد القطاع Q اذ لا يـتـعدـى الفـرق بـين درـجـة الحرـارـة عـنـد السـطـح وعـنـد ٢٥٠ مـتر 5°C سـعـنـد جـمـيع المـحطـات . وـلم يـتـعدـى الفـرق فـي المـلوـحة ٥٪ . وـفـي الأـكـسـجـسـن ٩٪ . مـل / ل . وـهـذا يـدل عـلـى فـعـالـيـة الـامـتـرـاج الأـفـقـي وـالـرأـسـي عـلـى امـتـدـاد هـذـا القـطـاع .

ويـتـضـعـ من تـوزـيعـ الكـثـافـةـ فـي هـذـا القـطـاعـ وـجـودـ حـرـكـةـ لـلـمـيـاهـ حـتـىـ عـمـقـ ١٠٠ـ مـتـرـ مـتـجـهـةـ نـحـوـ السـاحـلـ .



شكل (١٣) : التوزيع الرأسي للحرارة والملوحة والكتافة والاكسجين على امتداد القطاعات
J ، R ، Q خلال مارس ١٩٨٣

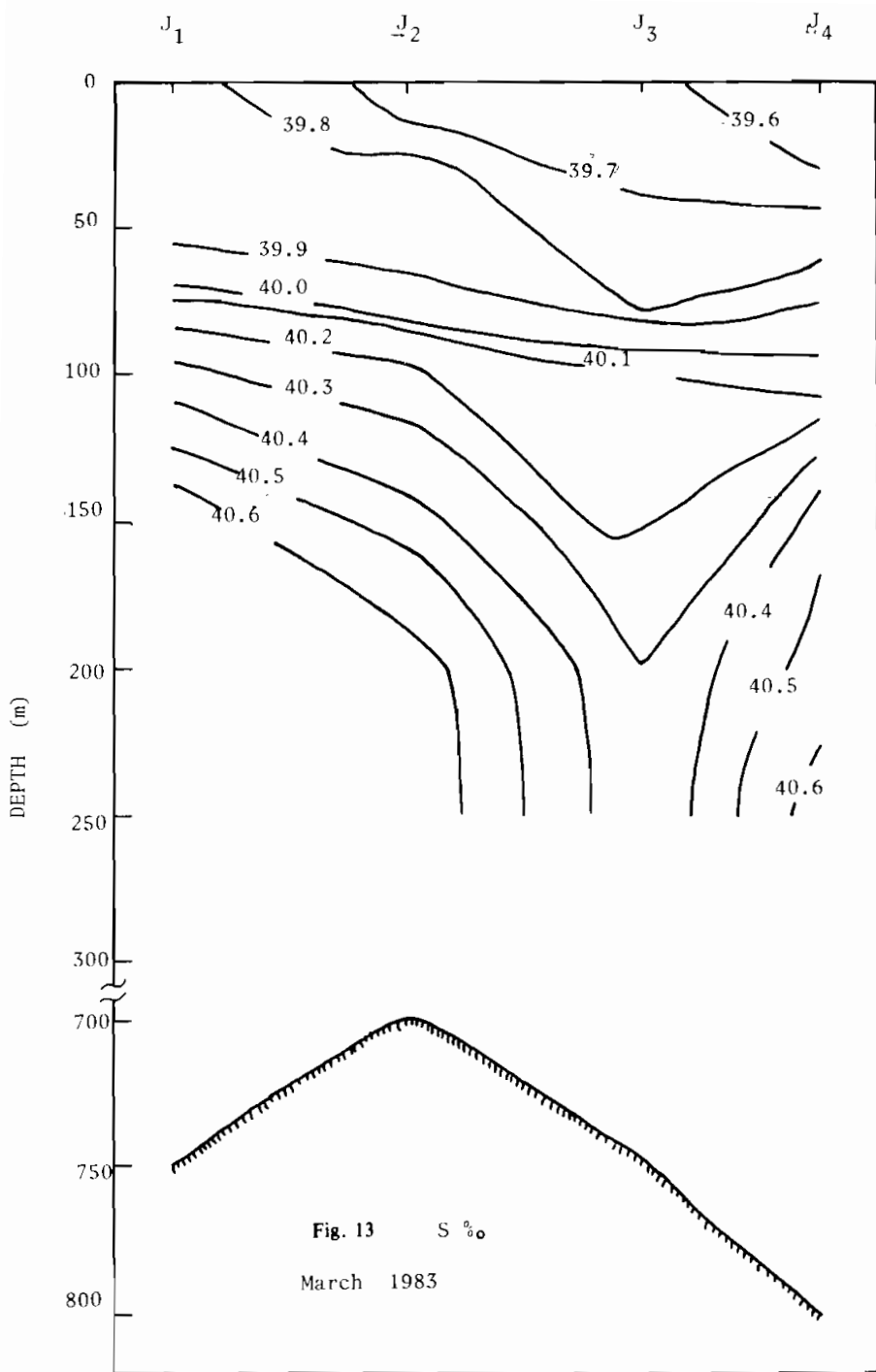


Fig. 13

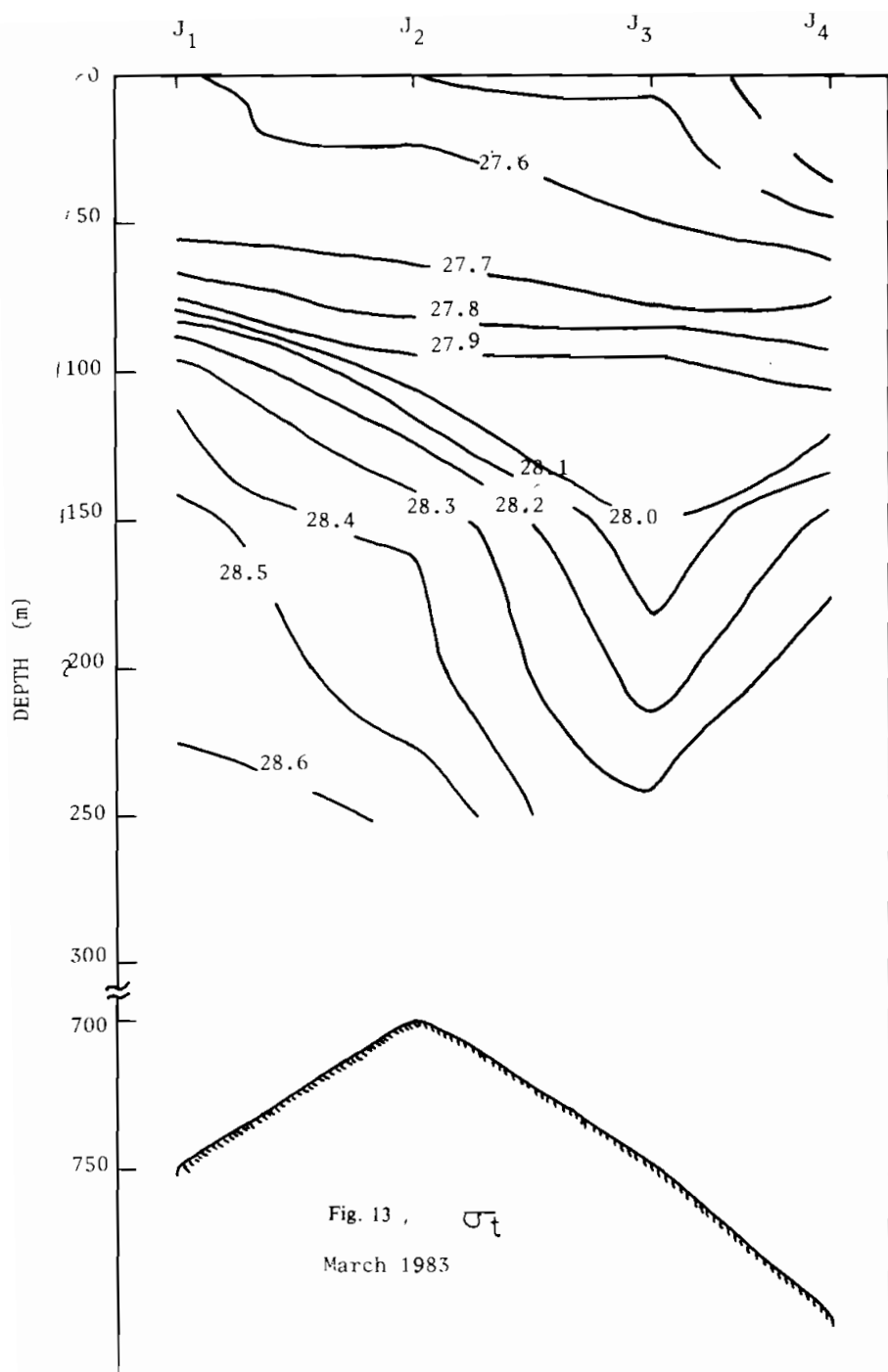


Fig. 13

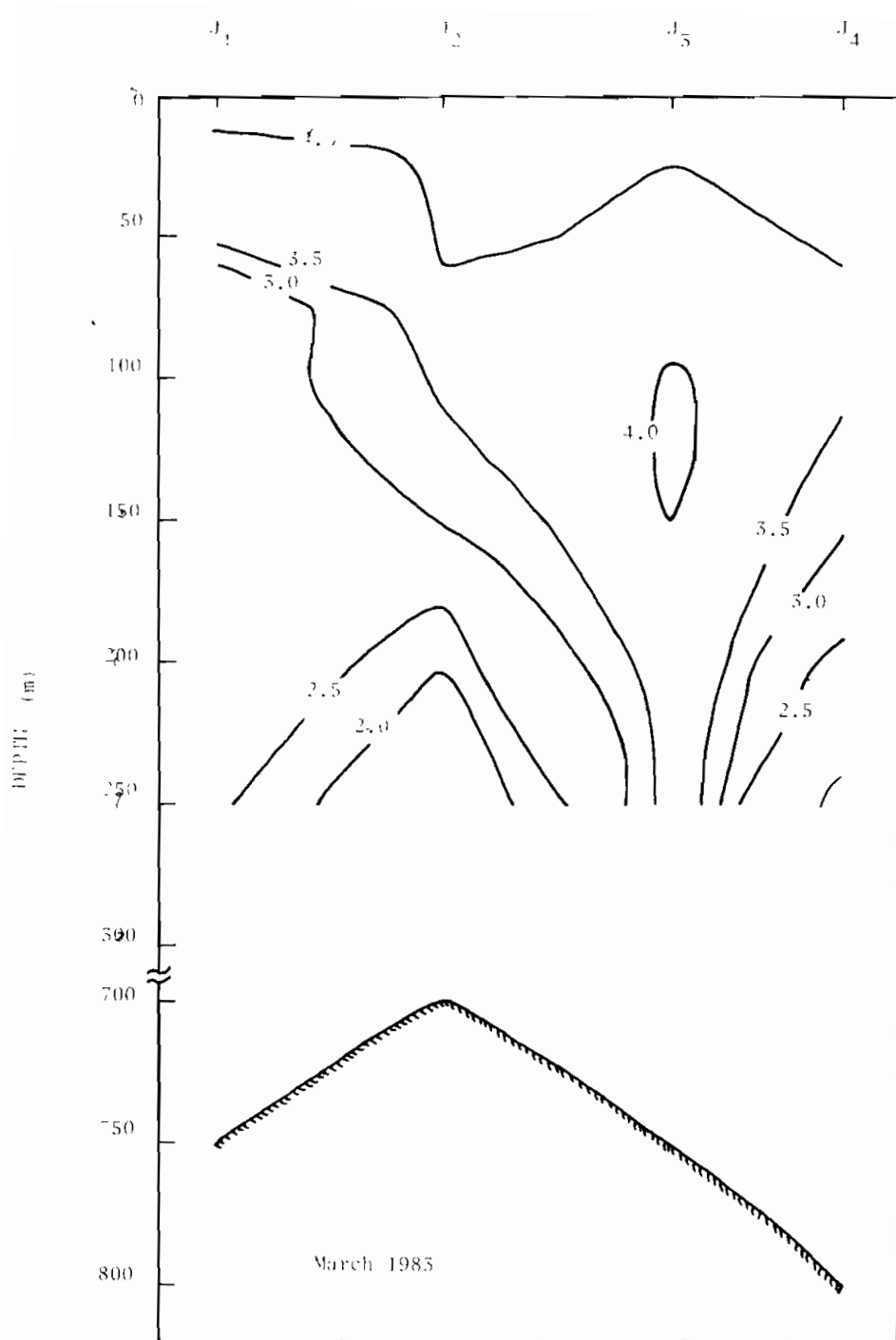


Fig. 13 O_2 ml/l

Fig. 13

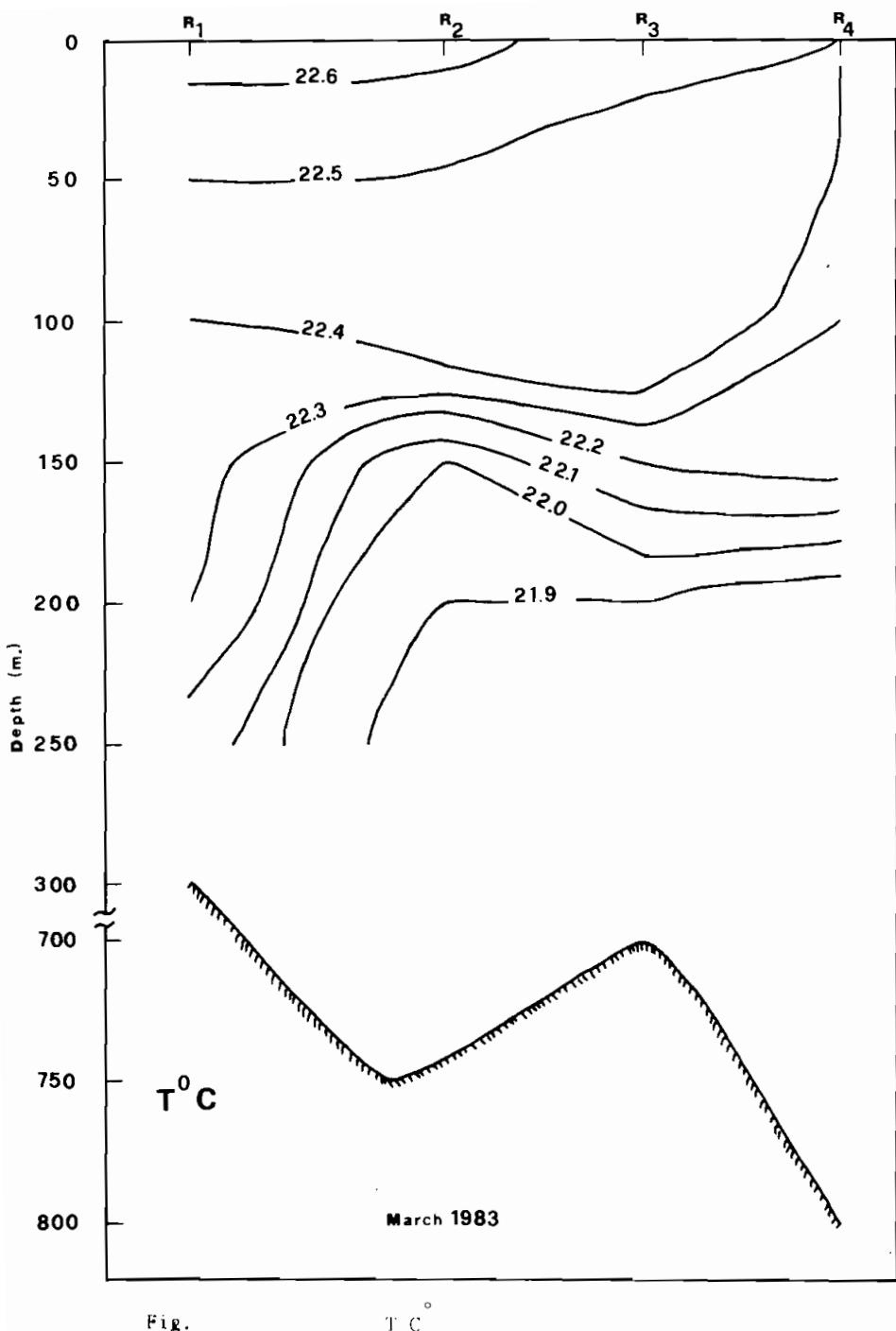


Fig.

T °C

Fig 13

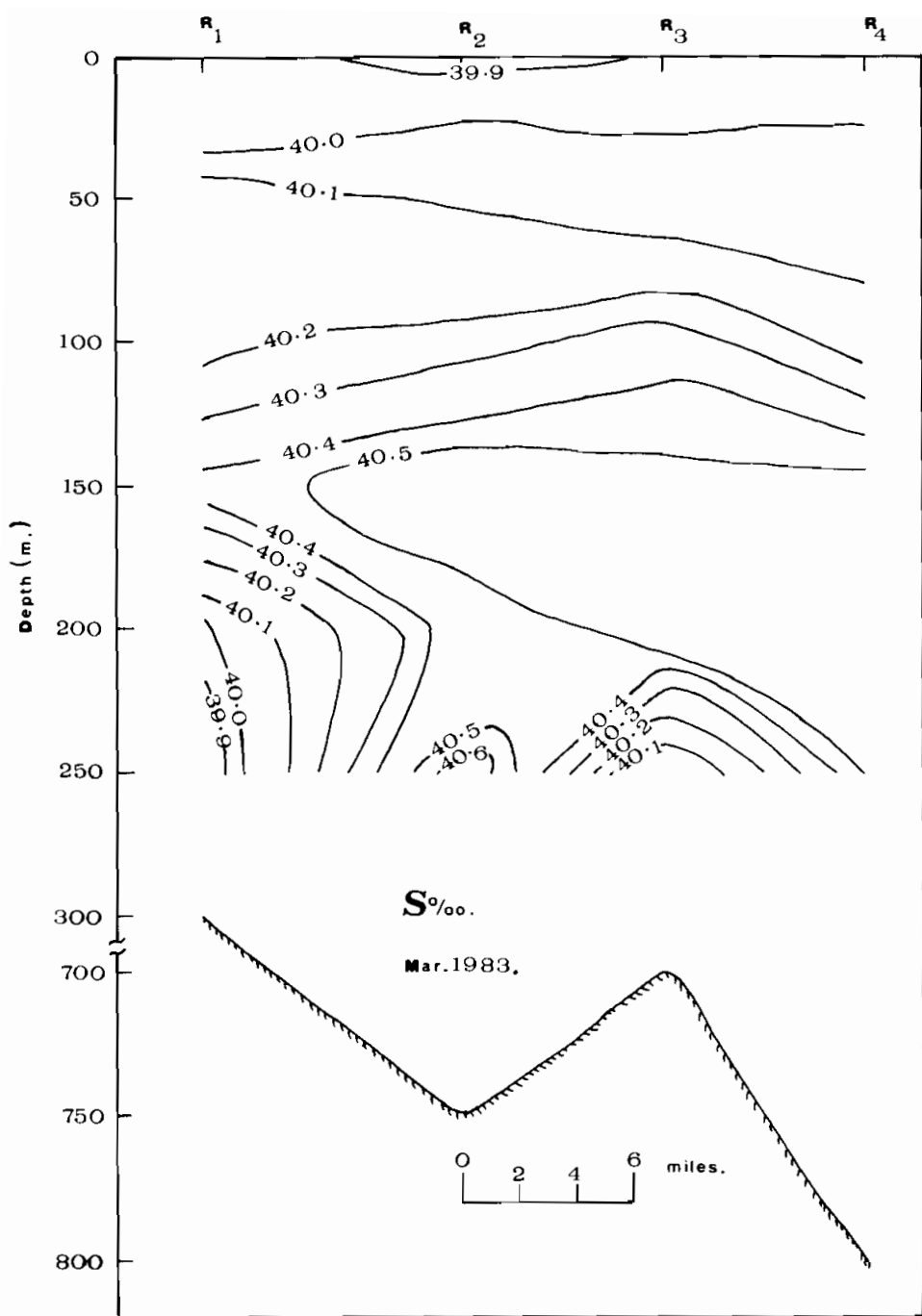


Fig 13

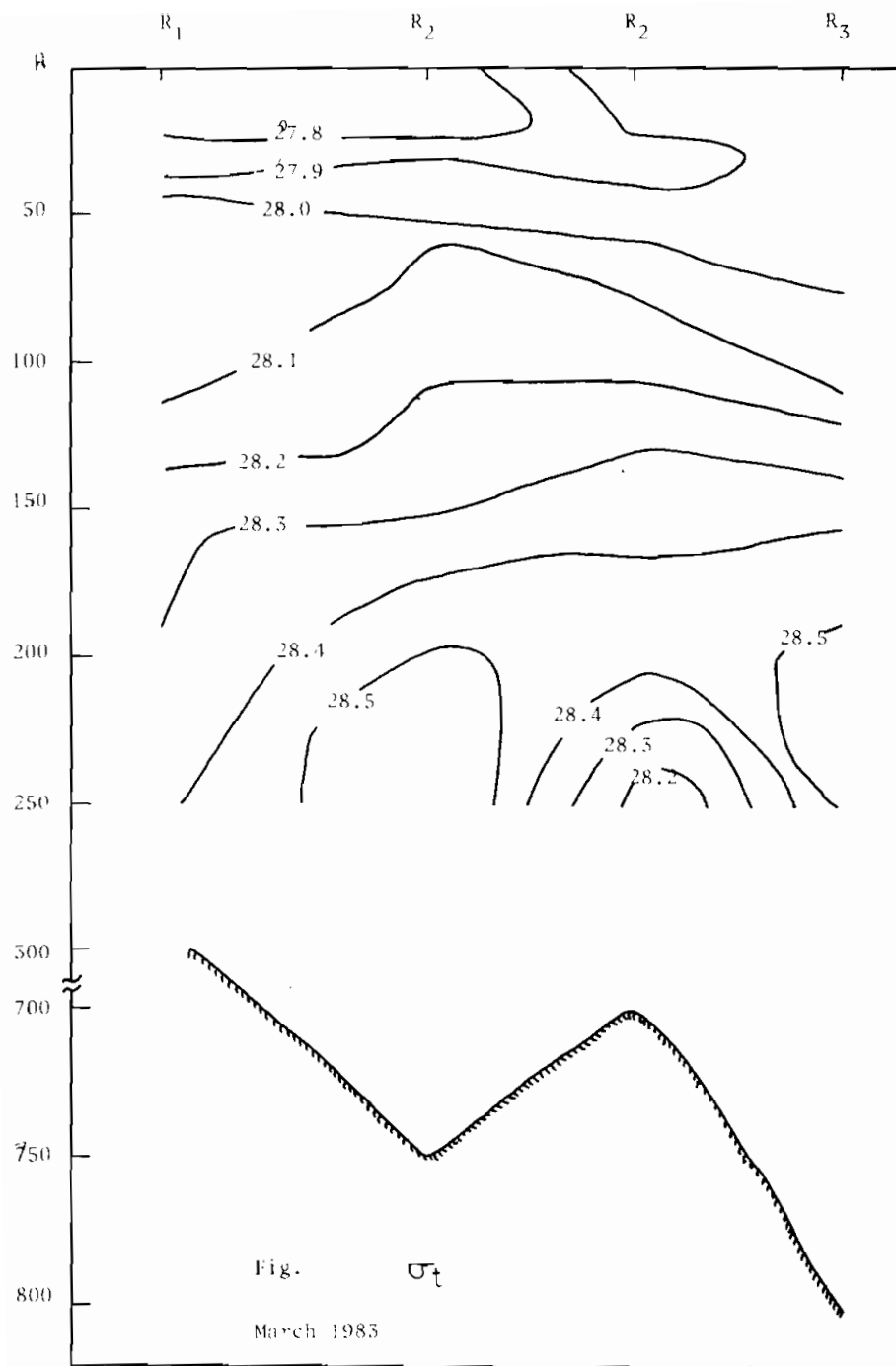


Fig. 13

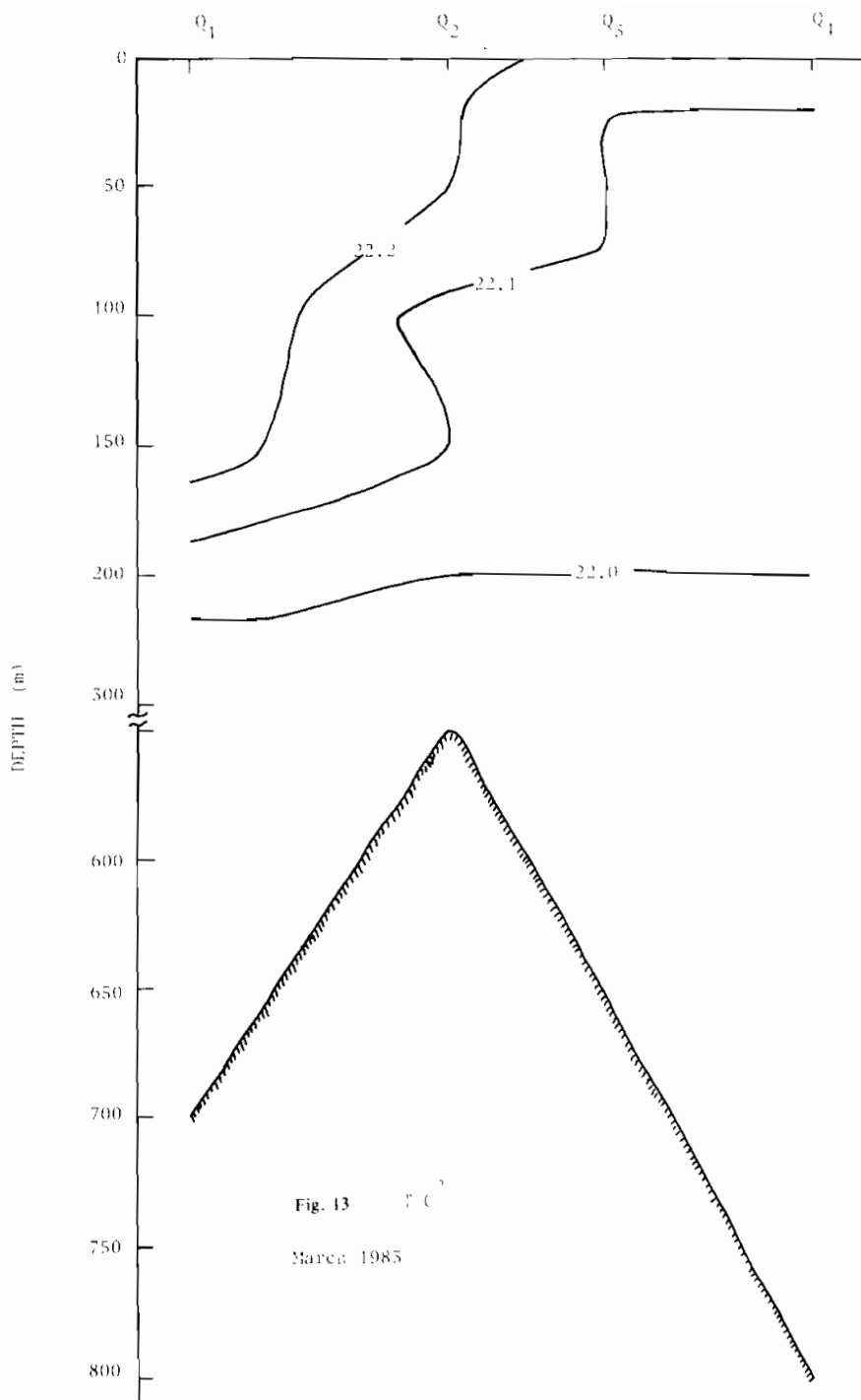


Fig. 13

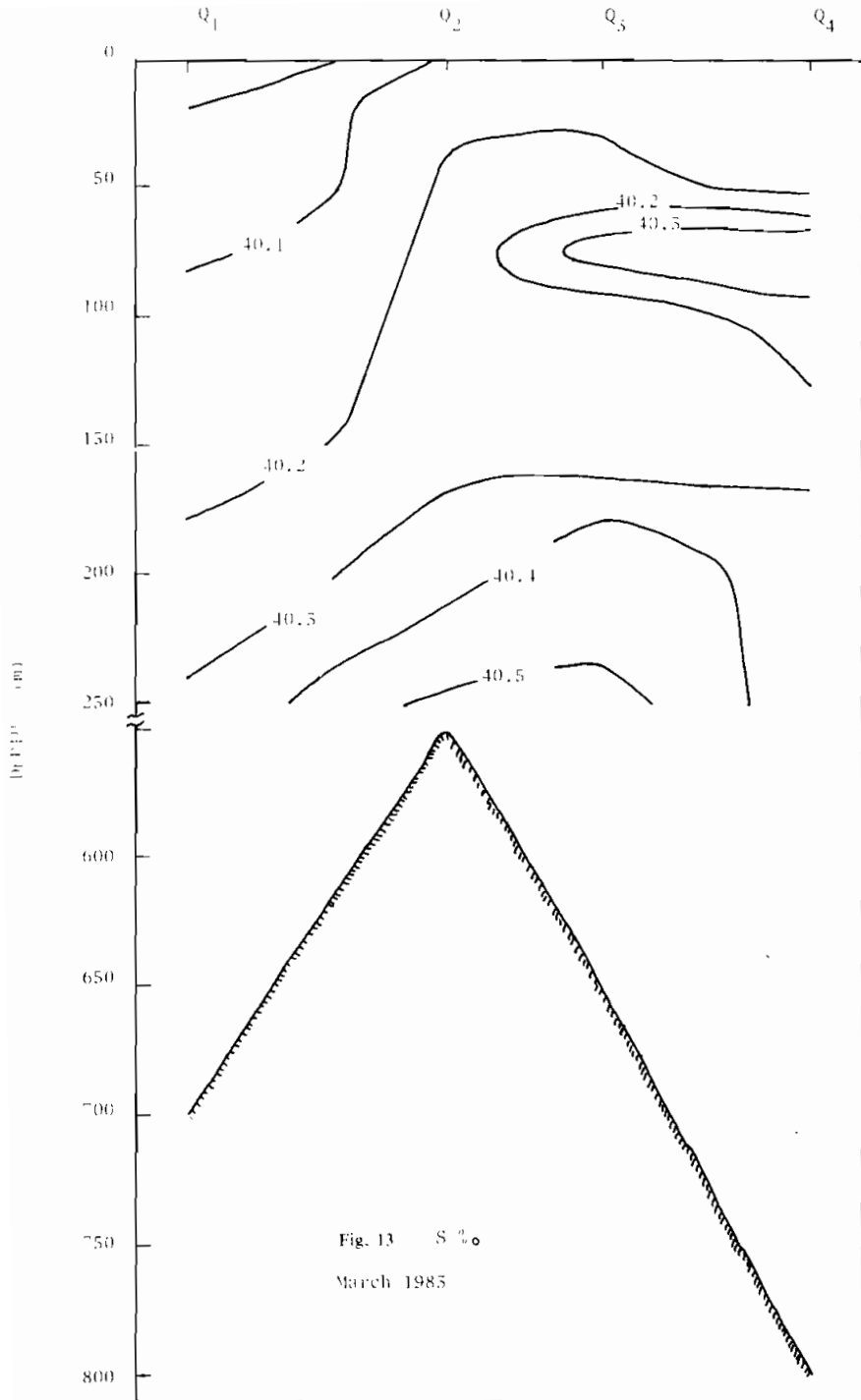
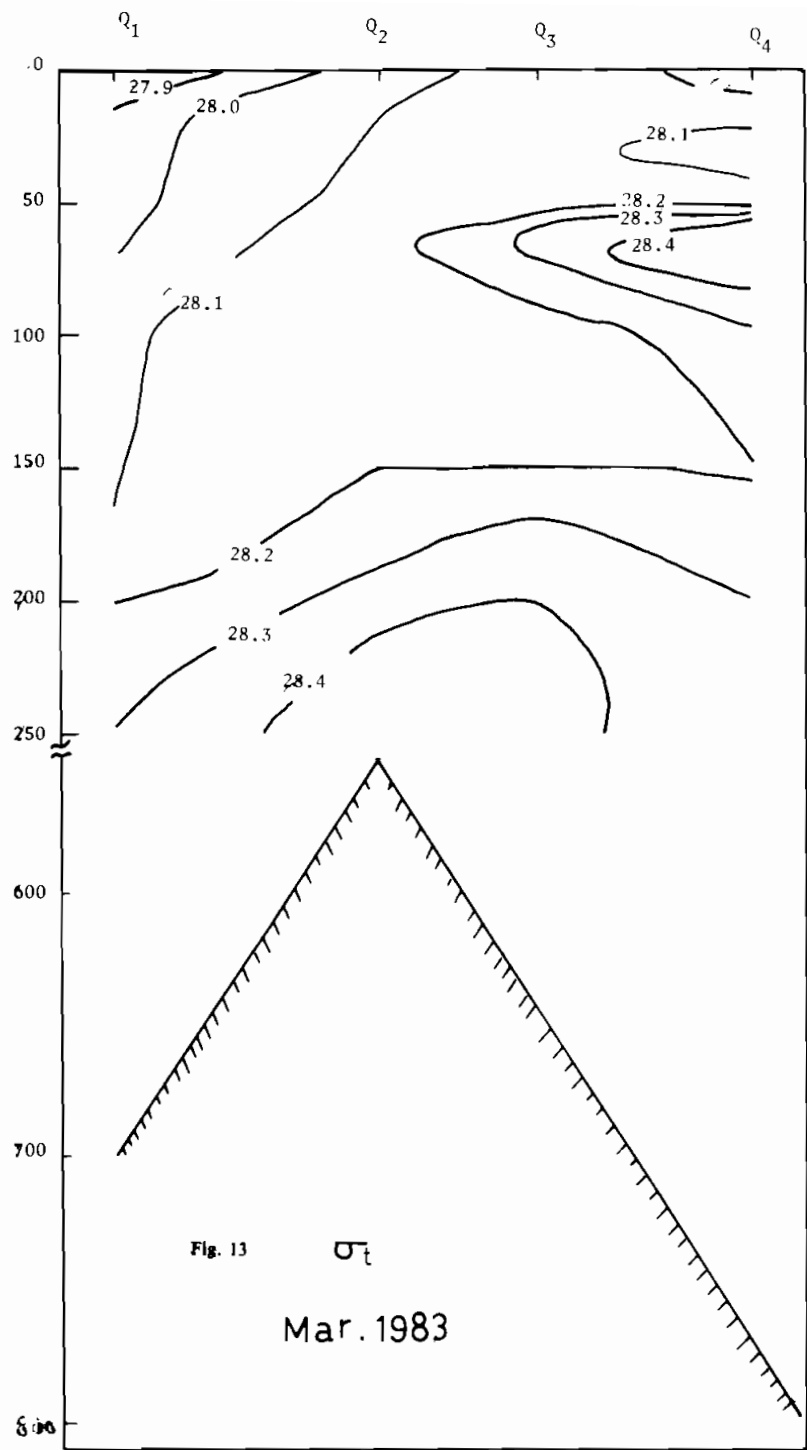


Fig. 13 S-70

March 1985



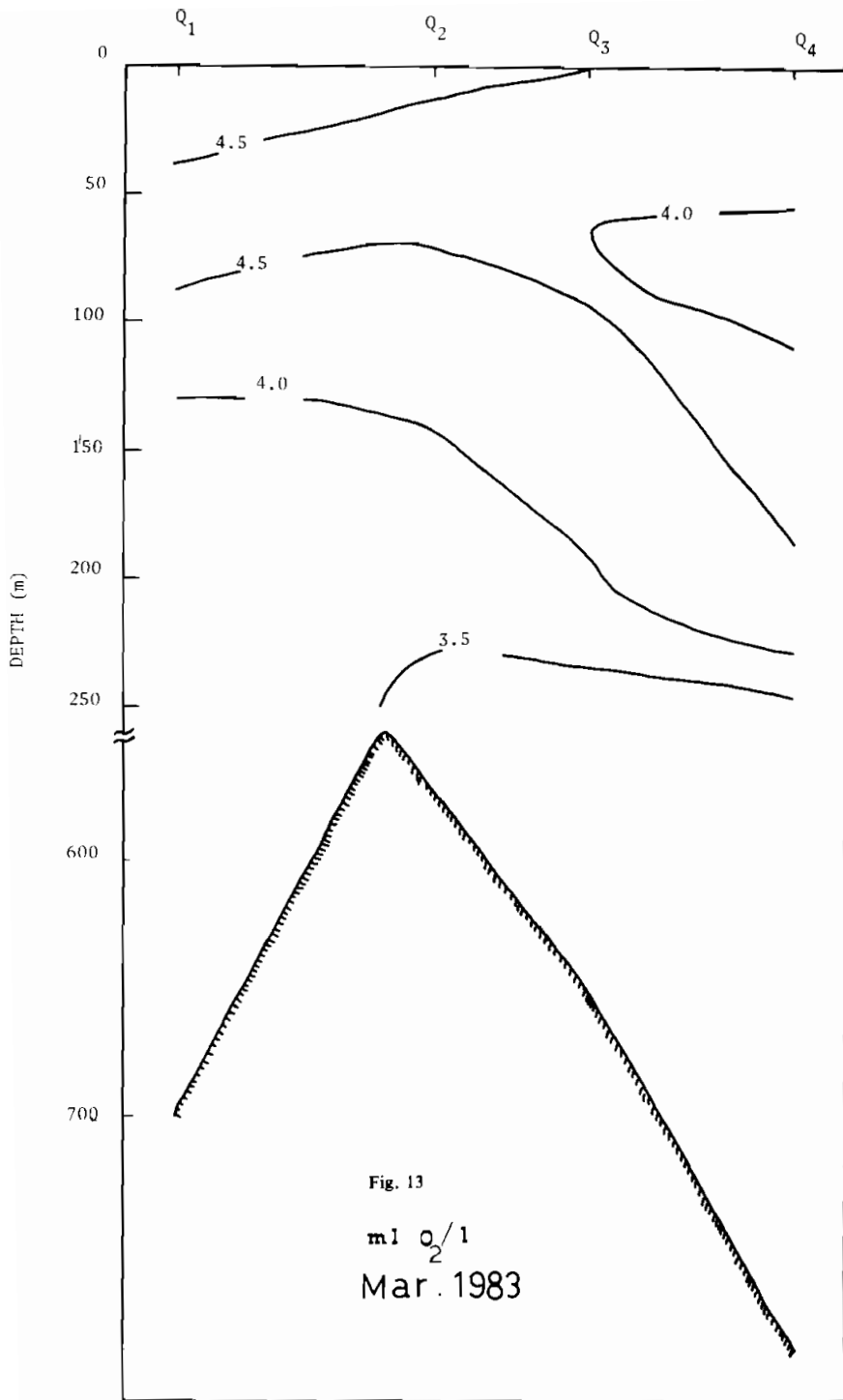


Fig. 13

ml $\text{O}_2/1$
Mar. 1983

Fig 13

شكل (١٤) توزيع الملوحة والحرارة والكتافة والأوكسجين - عند القطاعات الأربع ، ٢ ، ٣ ، ٤ . الممتدة موازية لخط الساحل من جدة حتى قرب بنغ في القطاع ١ شكل (١٤-١) يلاحظ أن ملوحة الماء عند عمق ١٠٠ متر فأكثر تصل إلى أعلى قيمتها عند المحطة J . ولعل السبب في ذلك يعود إلى تأثير مصنع تحلية المياه بجدة الذي يلقى المياه عالية الملوحة نسبيا بالقرب من المحطة J .. وربما يؤدى ذلك في ظروف جوية معينة إلى ارتفاع ملوحة المياه عند هذه المحطة .

ويدل توزيع الملوحة والحرارة والكتافة على وجود حركة للمياه السطحية متوجهة من الجنوب نحو الشمال .. وتمتد هذه الحركة حتى عمق ١٥٠ مترًا في القطاع ١ ، وحتى عمق ٧٥ مترًا في القطاع ٣ ويصل إلى ٢٠٠ مترًا في القطاع ٤ . أما في القطاع ٢ فيمكن استنتاج وجود مزج أفقي ولكنه غير واضح الاتجاه .

كما يمكن ملاحظة حركة تحت سطحية للمياه متوجهة من الشمال إلى الجنوب على عمق ١٠٠ متر فأكثر في القطاع ٣ وتميز مياهها بملوحة وكثافة أعلى من المياه التي حولها ويؤدي اختراق هذه المياه لعمود الماء عند R_٣ إلى وجود مياه ذات ملوحة وكثافة منخفضة على أعماق أقل من ٥٠ مترًا وعلى أعماق أكبر من ٢٠٠ مترًا في حين توجد مياه بين هذين العمقين تميز بملوحة وكثافة أعلى . ولم تصبح حركة المياه تحت سطحية المتوجهة من الشمال للجنوب عند القطاع ١ ، ٢ ، ٤ .. ويجترأ أن تكون حركة هذه المياه تم عند أعماق أكبر من ٢٥٠ مترًا ولذلك لم تظهر في النتائج التي حصلنا عليها .

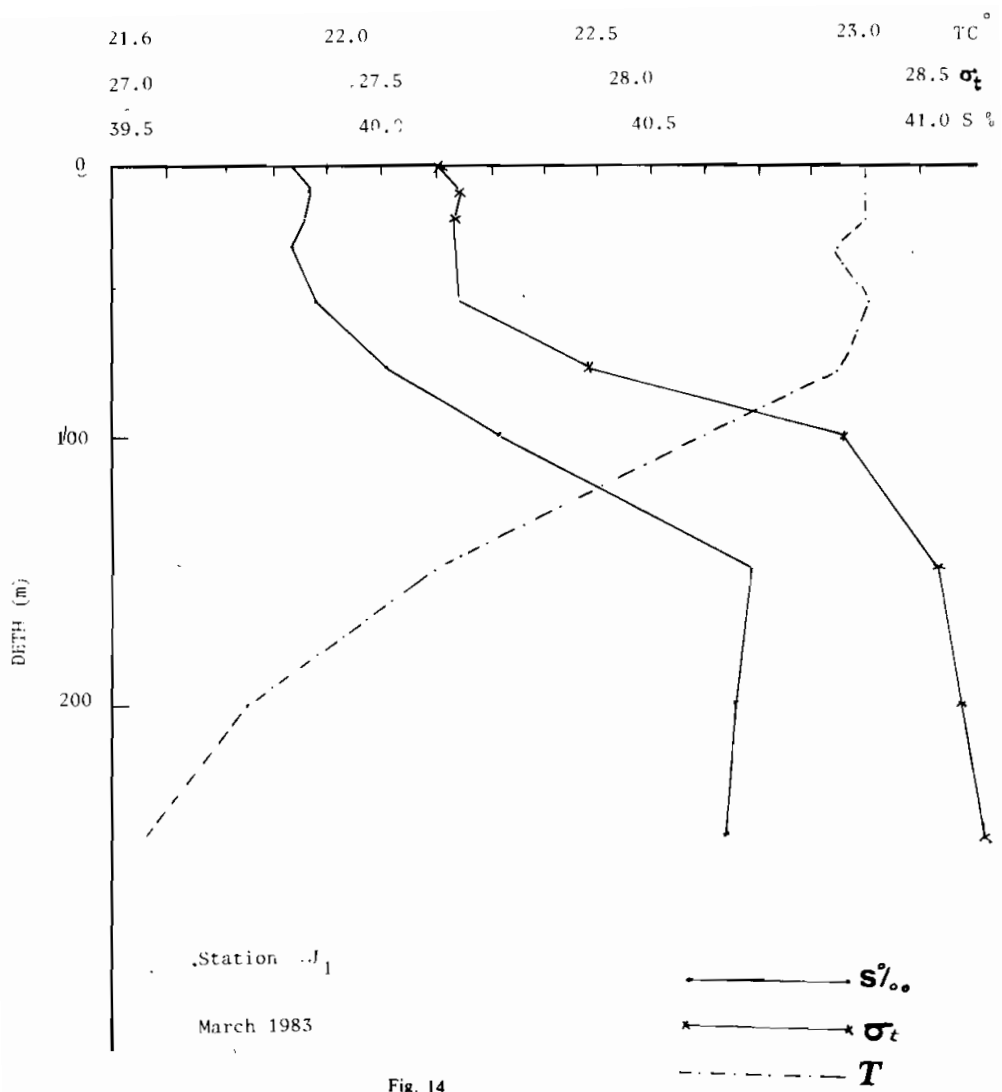


Fig. 14

شكل (١٤) : التوزيع الرأسي للحرارة والملوحة والكثافة على امتداد القطاعات (١) ، (٢) ، (٣) ، (٤) ، خلال مارس ١٩٨٣

Fig 14

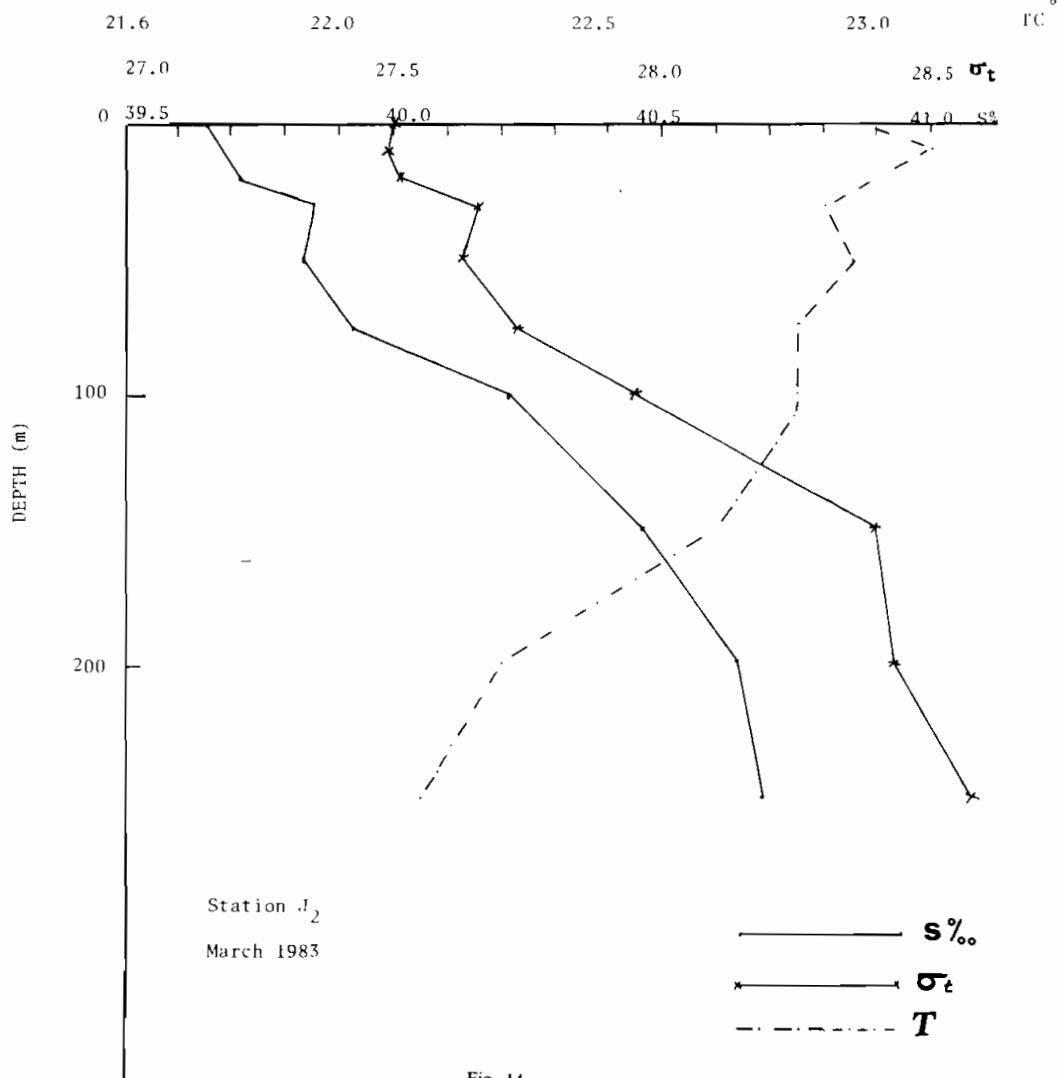


Fig. 14

Fig 14

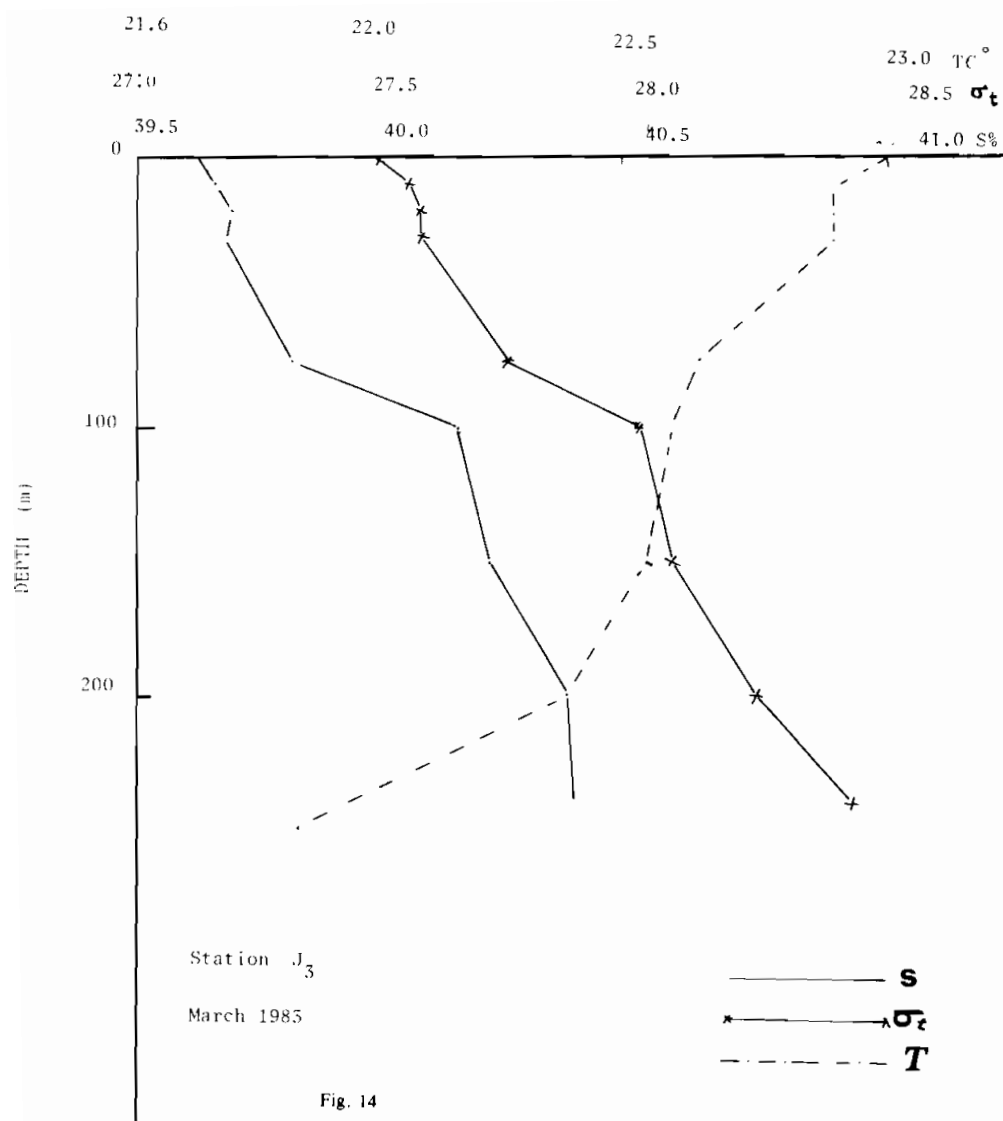


Fig 14

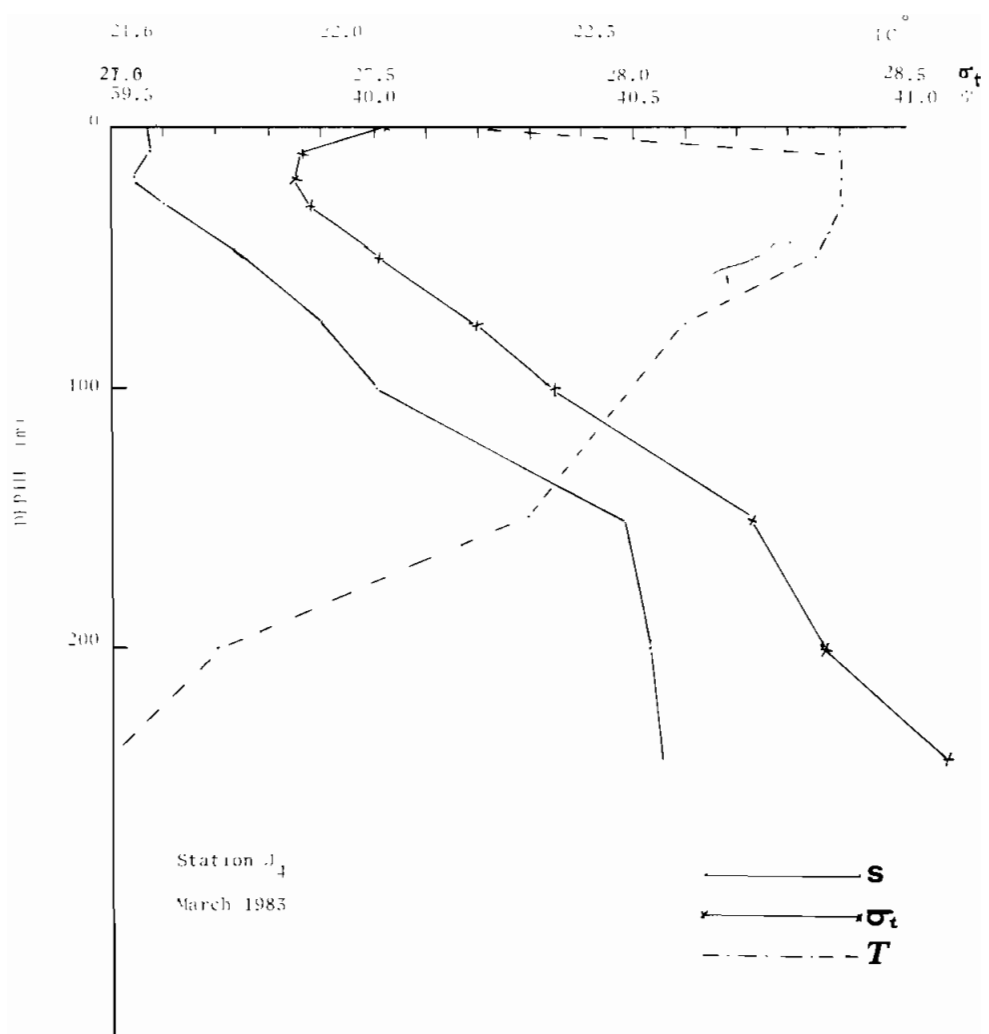


Fig.

Fig 14

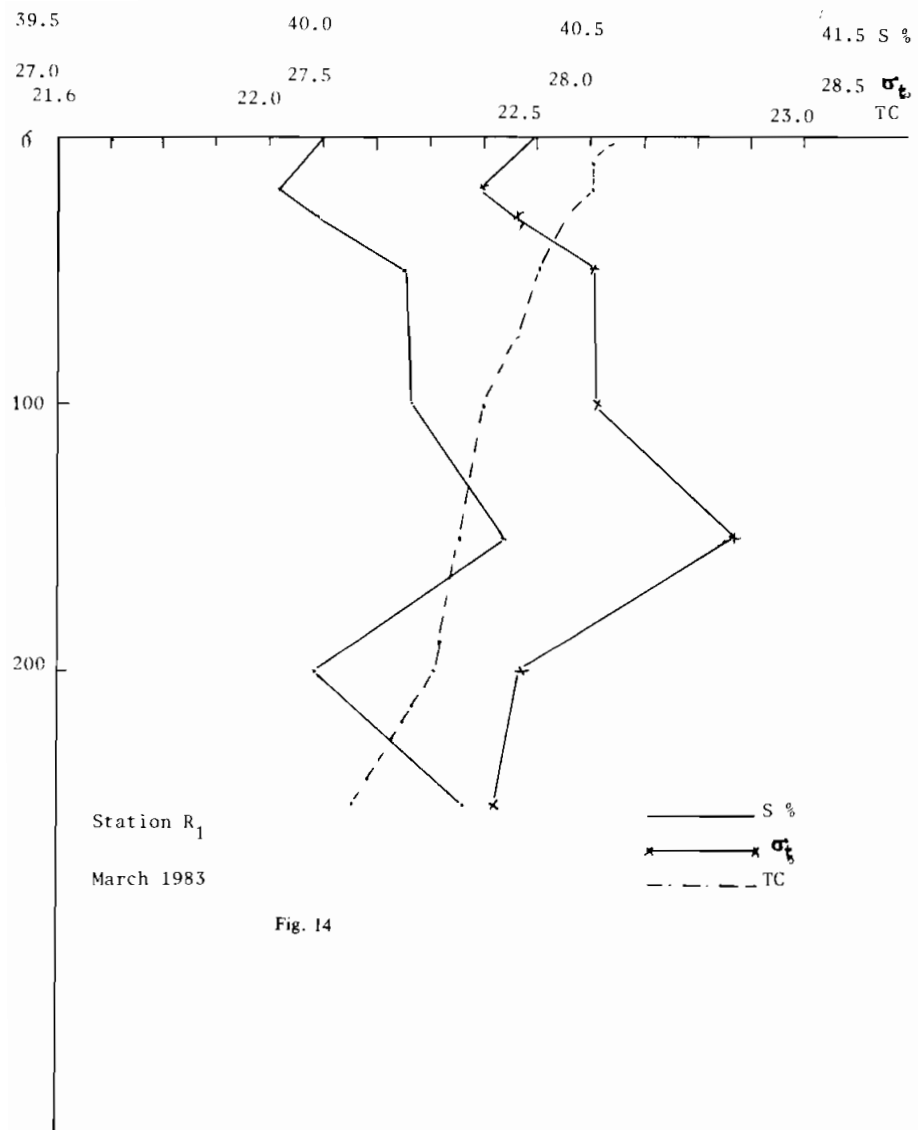


Fig. 14

Fig. 14

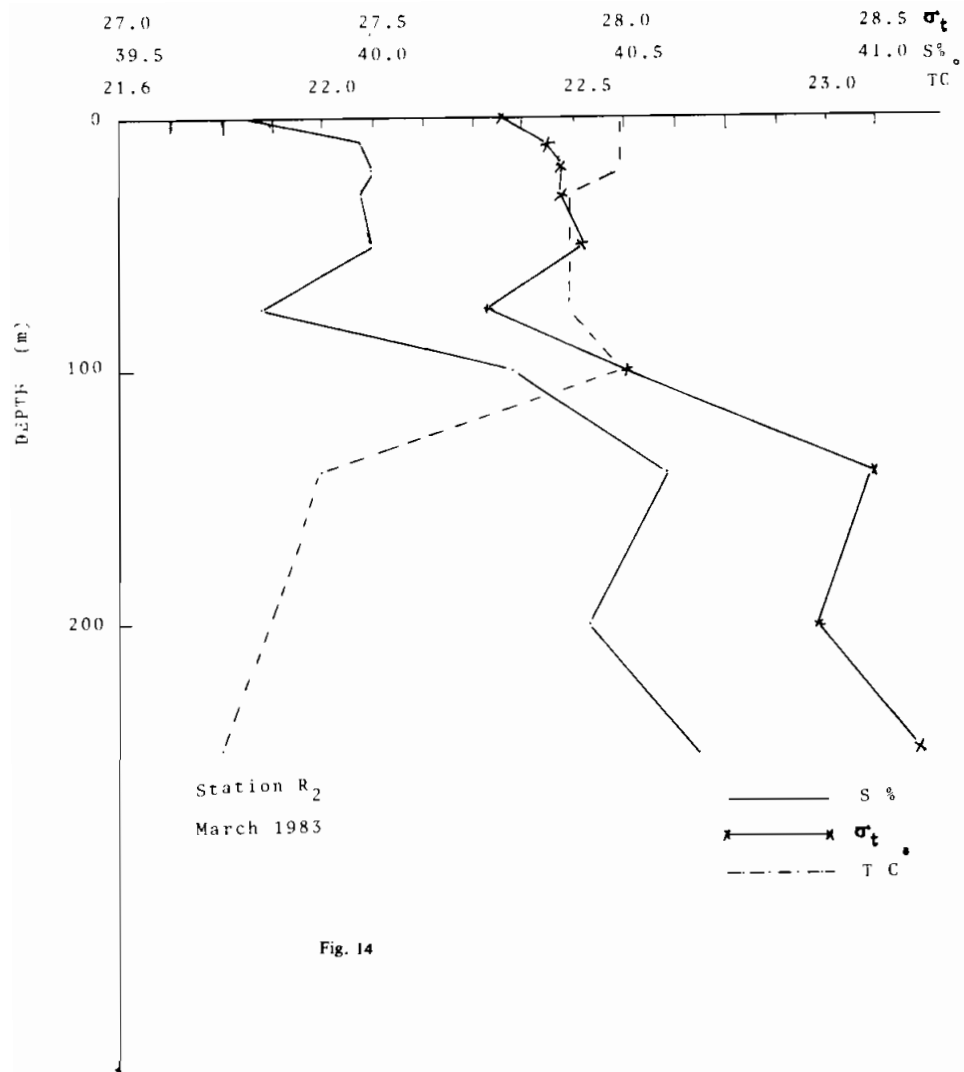


Fig. 14

Fig 14

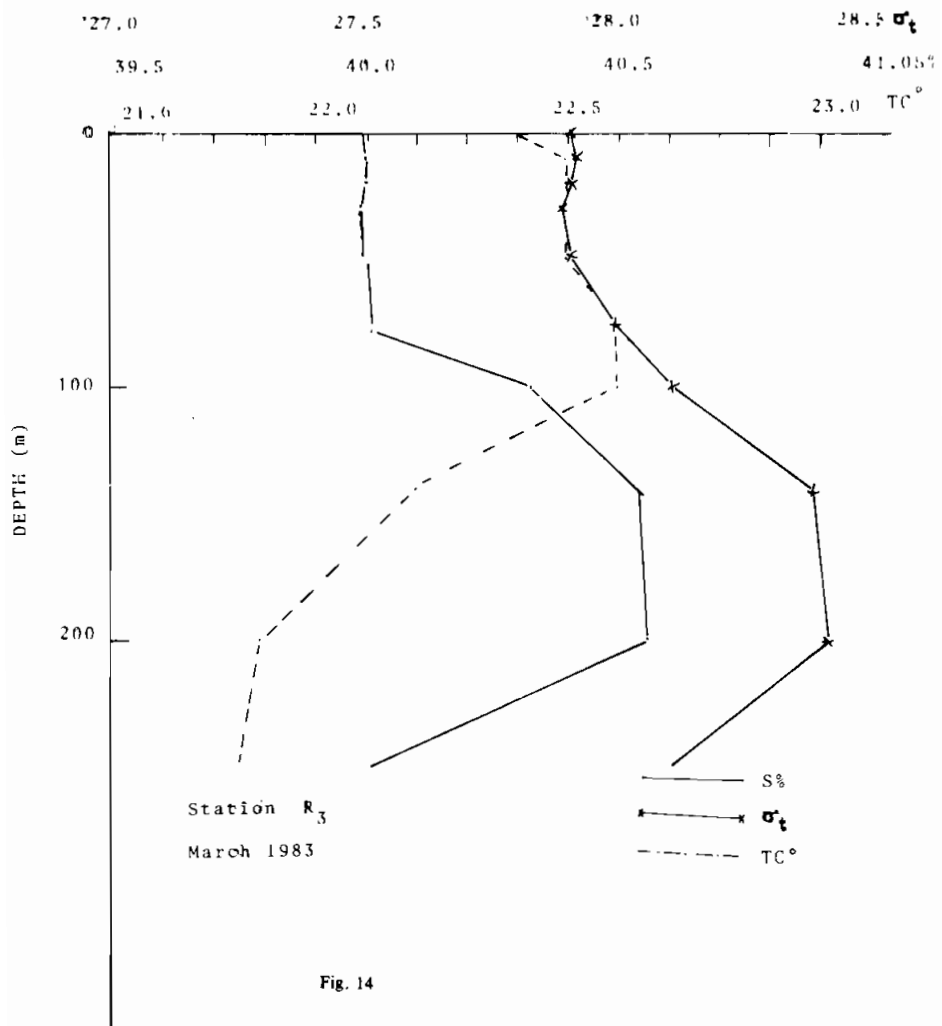


Fig. 14

Fig. 14

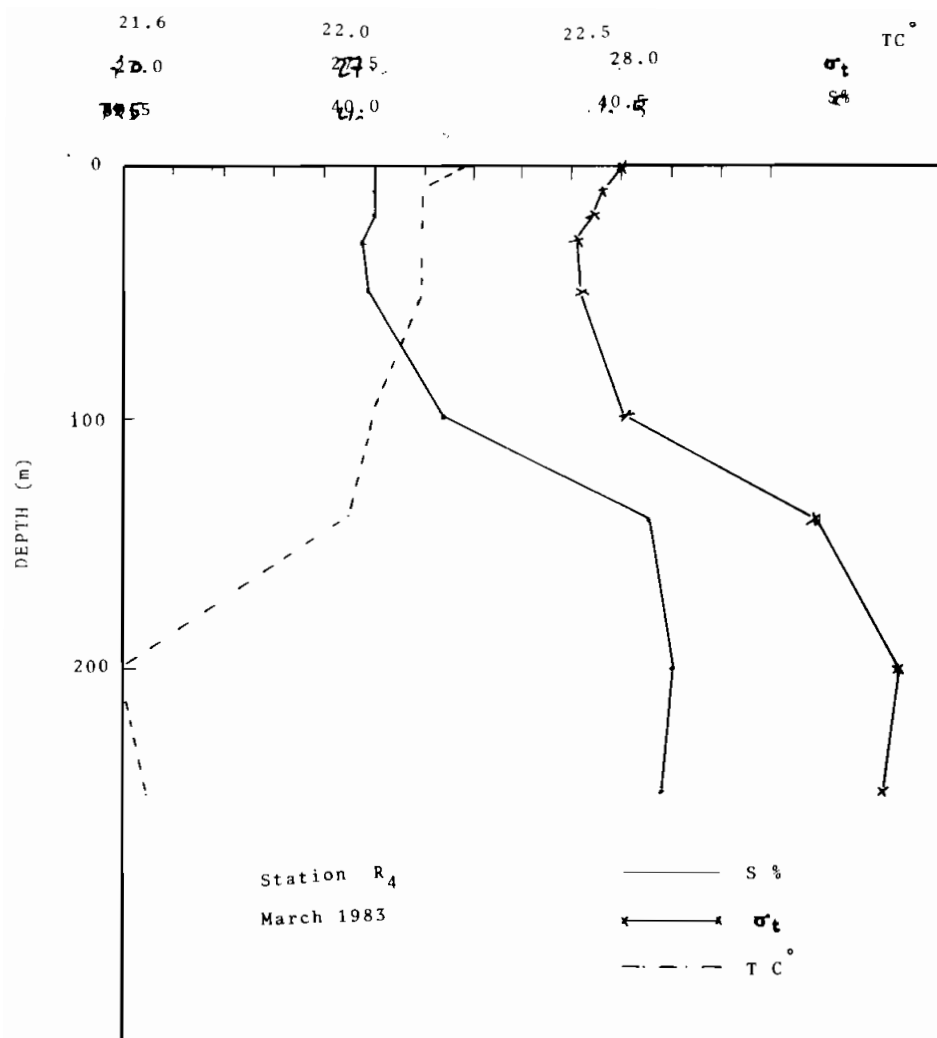


Fig 13

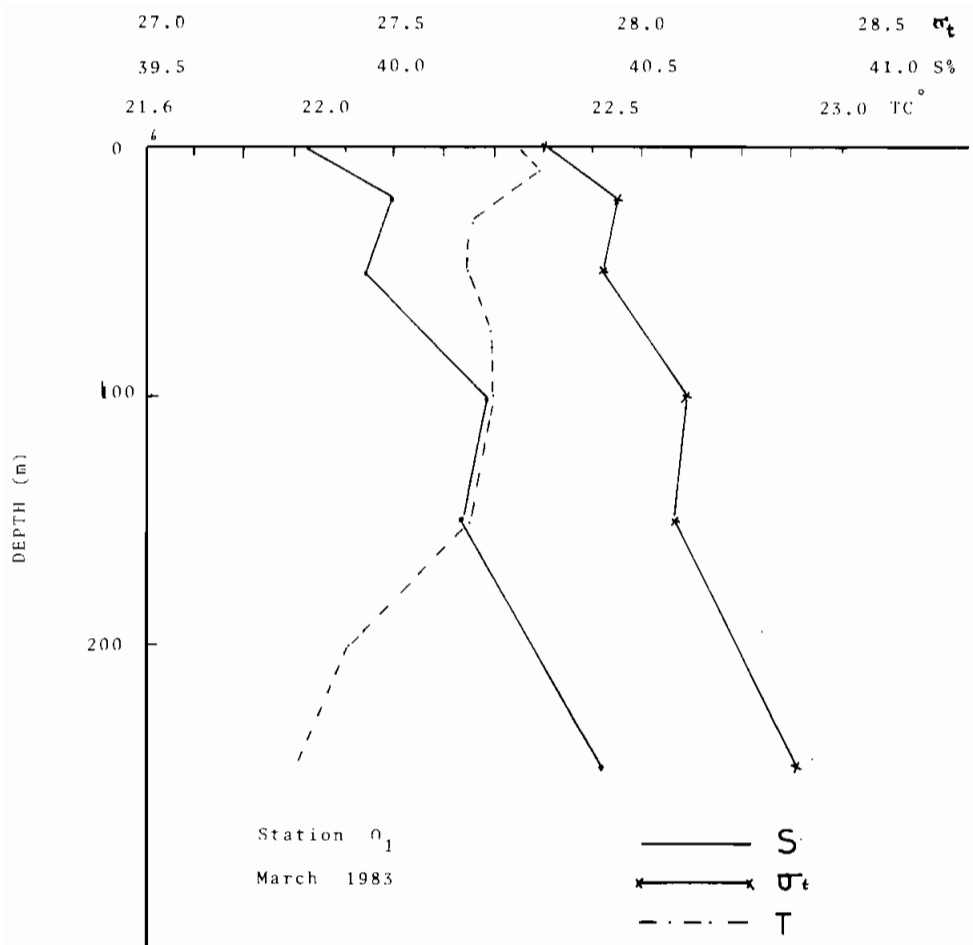


Fig. 14

Fig 14

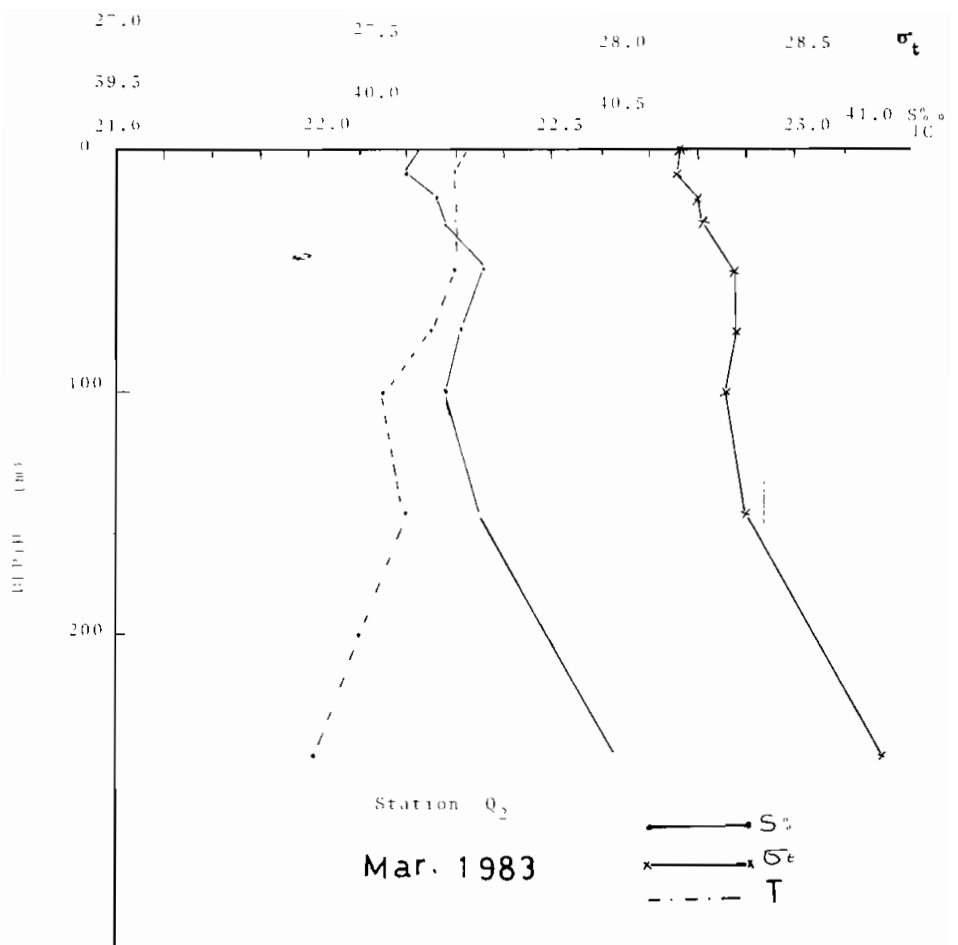


Fig. 14

Fig 14

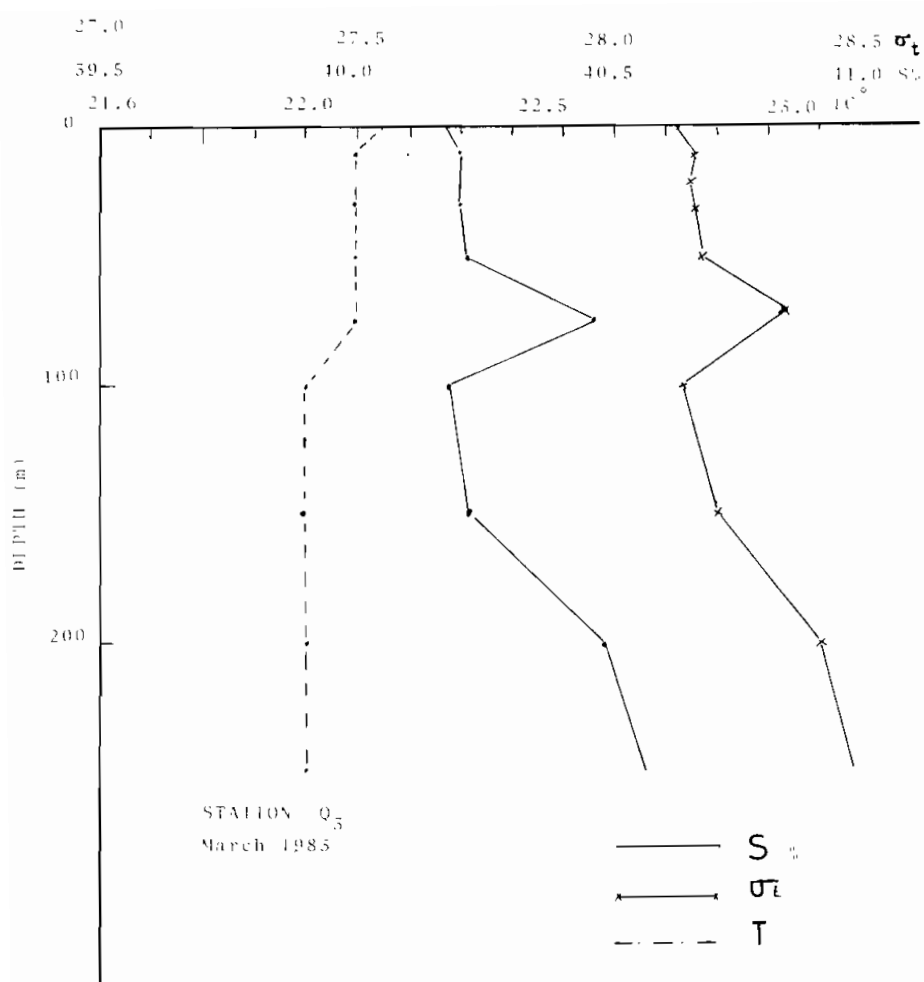


Fig. 14

Fig 14

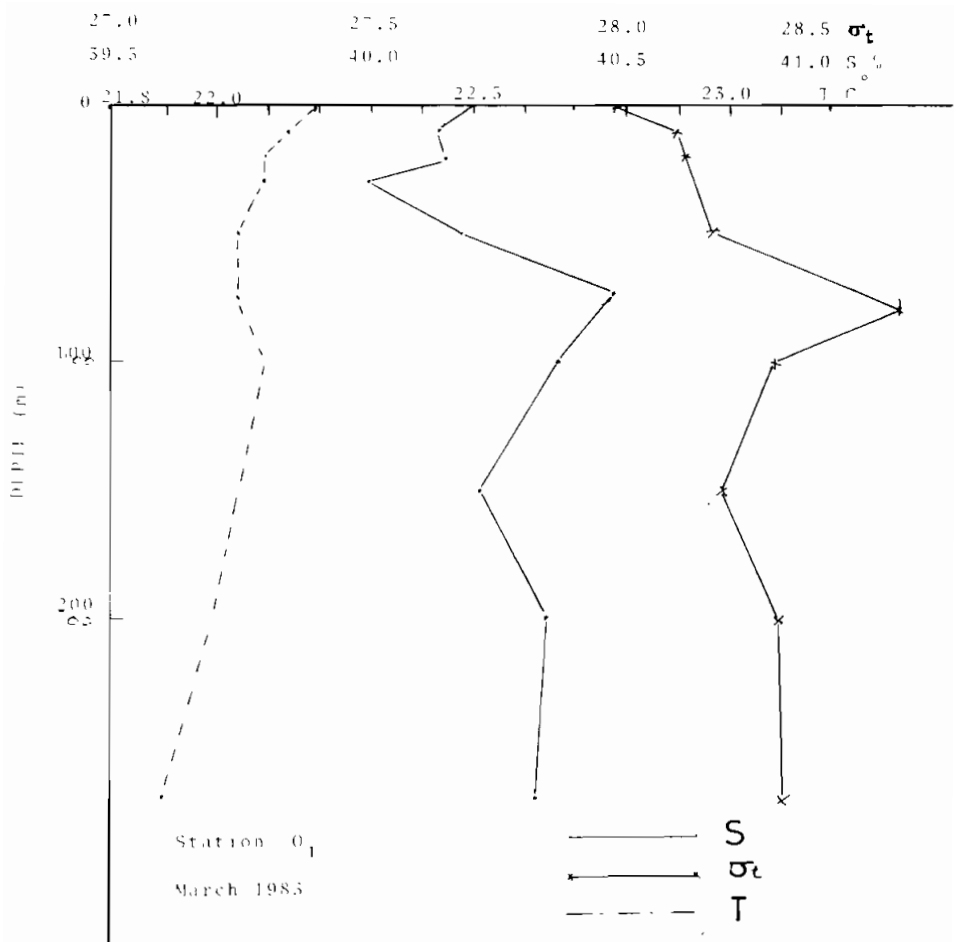


Fig. 14

Fig. 14

ب - ٥ - ٣ - الكتل المائية :

يتضح من دراسة منحنيات الحرارة والملوحة T-S diagrams التي رسمت من البيانات التي جمعت عن جميع المطارات خلال رحلات مارس ٨٢ شكل (١٥) امكانية تميز ثلاثة كتل مائية في كل قطاع من القطاعات الثلاث J, R, Q ففي القطاع J نجد :

(١) كتلة مائية سطحية تمتد من السطح وحتى عمق ٥٠ مترا وأحيانا يصل الى ١٠٠ مترا وتميز عمود الماء فيها بعدم الاستقرار في بعض المطارات ، ونظرا لأن المياه السطحية تتعرض أكثر من غيرها للأحوال الجوية التي تؤثر على الملوحة والحرارة فمن المتوقع تواجد حالات عدم استقرار في عمود الماء في بعض الواقع . وقد نتجت هذه الكتلة من الامتزاج الرأسي بين الأنماط المائية Water types عند السطح وتلك الموجودة أعلى طبقة المتحدر الحراري . وتميز الكتلة المائية السطحية العليا بارتفاع درجة حرارتها (٢٤ - ٥٢٥°س) وانخفاض ملوحتها

٣٩٪ - ٣٨٪

(٢) كتلة مائية وسطية تمتد من عمق ٥٠ الى ١٥٠ مترا وأحيانا تصل الى ٢٠٠ مترا وتميز هذه الكتلة باتساع مدى حرارتها اذ يتراوح بين ٤٢٢°ر - ٤٢٤°ر وملوحتها بين ٣٩٪ - ٤٠٪

(٣) كتلة مائية ثلاثة تمتد من عمق ٢٠٠ مترا الى الأعماق الأكبر وتميز بتقارب ملوحة مياهها وحرارتها وتغيرها شيئاً مع العمق . ويدل منحنى الحرارة والملوحة على أن المياه السطحية والمياه عند أعماق أكبر من ٢٠٠ مترا لها ملوحة متقاربة مع ملوحة المياه السطحية عند الأعماق الأقل من ٥٠ متر . وقد يرجع ذلك احتلال أن تكون المياه العميقية أصلها مياه سطحية هبطت لأسفل نتيجة حرارتها مما جعلها تعوض إلى أعماق كبيرة ، أما المياه المتوسطة الواقعة بين الطبقة السطحية والطبقة العميقية فان ملوحتها أكبر ولكن حرارتها أعلى بالمقارنة بالمياه العميقية . ويلاحظ تعقيد منحنى الحرارة والملوحة في القطاع J . منحنى الحرارة والملوحة في القطاع R (خلال مارس ٨٢) يوضح وجود :

(١) كتلة مائية سطحية تمتد من السطح وحتى عمق حوالي ٥٠ مترا وتميز مياهها بملوحة متقاربة وحرارة متقاربة عند الأعماق الواحدة . وتتراوح ملوحتها بين ٤٢٣٪ - ٤٢٤٪ وحرارتها بين ٢٣٥°س ، ٢٤٥°س .

(٢) كتلة من المياه الوسطى تمتد من عمق ٥٠ الى ١٥٠ أو ٢٠٠ مترا وتميز مياهها بالارتفاع النسبي في ملوحتها والانخفاض النسبي في حرارتها .

- (٣) كتلة من المياه العميقة التي تتد من تحت عمق ٢٠٠ متر وتمييز بملوحة عالية حوالي ٤٠٪ .
- منحنى الحرارة والملوحة في القطاع Q يشبه الى حد كبير في القطاع R اذ تمييز فيه الكتل المائية الثلاث :
- (١) كتلة مائية سطحية حتى عمق ٧٥ مترا ذات ملوحة منجاسة ولكن درجة حرارتها تنقص مع العمق
 - (٢) كتلة مائية وسطى تزيد ملوحتها وتنقص حرارتها مع العمق وتمتد من عمق ٧٥ الى ١٠٠ مترا .
 - (٣) كتلة مائية عميقة تتد من ٢٠٠ مترا فأكثر وتمييز بتجانس ملوحتها والانخفاض حرارتها .

وقد رجحت (Maillard, 1971) وجود كتلة مائية وسطى في البحر الأحمر وتشابه منحنيات الحرارة والملوحة التي ذكرتها مع المنحنيات المرسمة هنا .. في منطقة البحث .

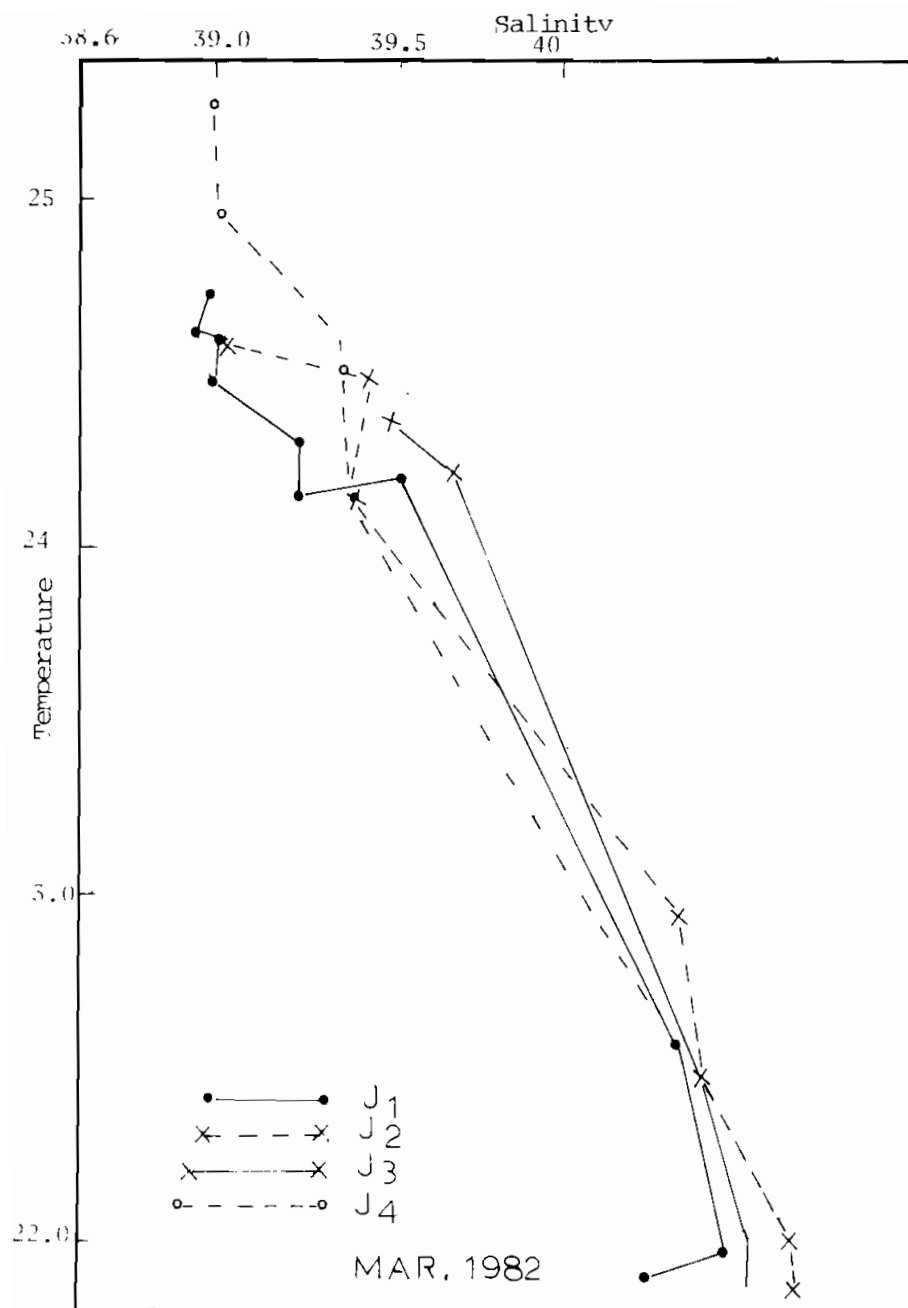
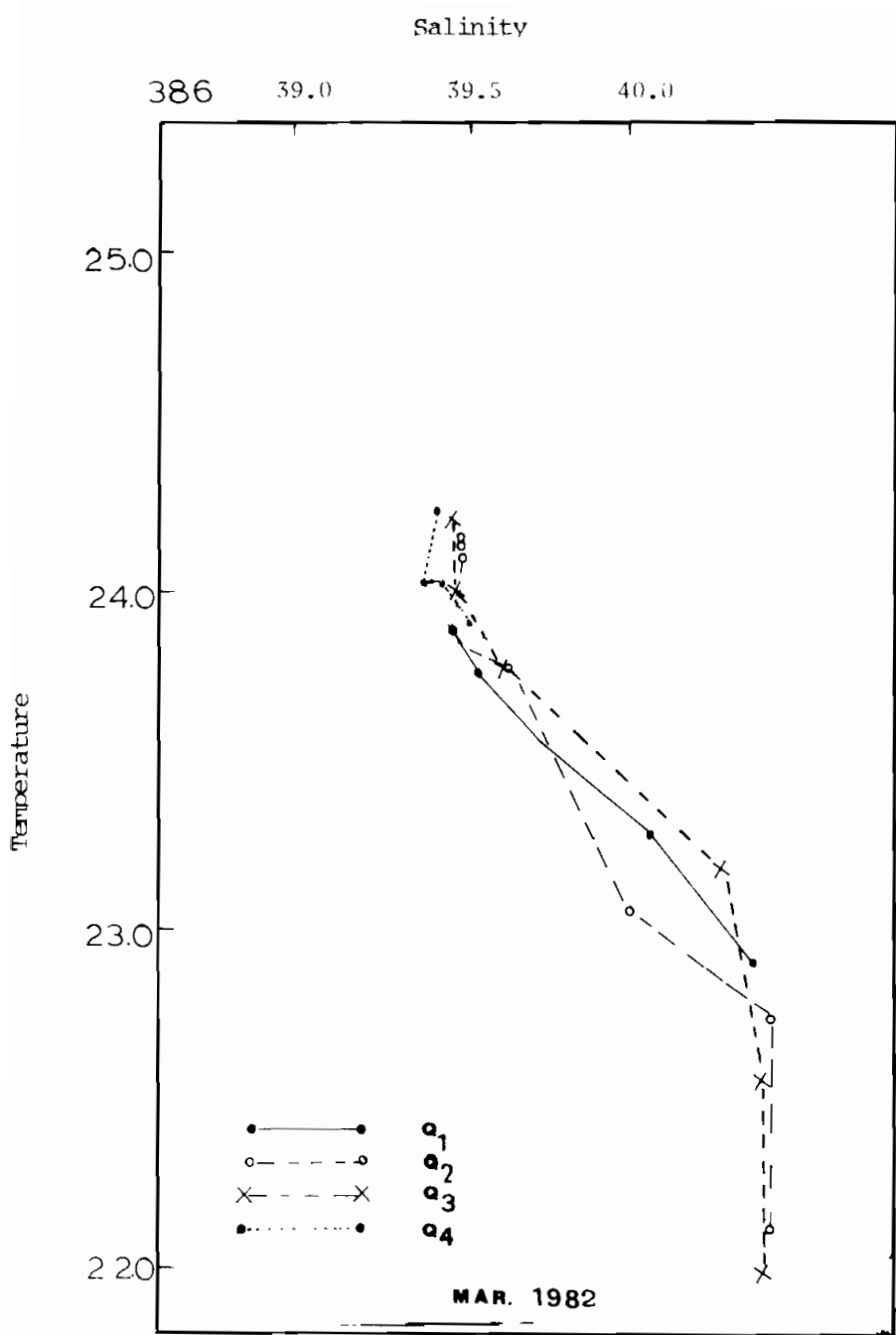


Fig. 15

T-S Diagram

شكل (١٥) : منحنى الحرارة والملوحة خلال مارس ١٩٨٢



i-S-Digaram

Fig. 15

ب - ٦ - الماقشة :

اتضح لنا من توزيع الملوحة والحرارة والكتافة على امتداد القطاعات ١ ، ٢ ، ٣ ، ٤ . خلال شهر مارس وديسمبر ١٩٨٣ م ومارس ١٩٨٢ م وجود حركة للمياه السطحية متوجهة من الجنوب الى الشمال أى في عكس اتجاه الرياح السائدة خلال هذه الشهور والتي تهب من الشمال الغربى .. وهذا يدل على أن تأثير البحر يفوق تأثير الرياح بالنسبة لحركة المياه السطحية في هذا الجزء من البحر الأحمر وهذا يتفق مع رأى نيومان وماجل (Neumann and Magill, 1962) . ولوحظ أيضاً من توزيع الملوحة والحرارة على امتداد القطاعات : J, R, Q, أى المياه الساحلية تحرك عمودياً على خط الساحل ولكن اتجاه حركتها غير ثابت .. ففى مارس ٨٢ كانت المياه السطحية متوجهة من البحر الطليق نحو الساحل (أى من الغرب للشرق) .. وكانت المياه تحت سطحية متوجهة في الاتجاه المعاكس . أى مبتعدة عن الساحل . وفي ديسمبر ٨٢ كان اتجاه المياه السطحية عند كل القطاعات من الشرق الى العرب أى مبتعدة عن الساحل .. وكانت المياه تحت سطحية متوجهة نحو الساحل . أما في مارس ١٩٨٣ م فقد كانت حركة المياه غير واضحة .. ففى القطاع J لوحظ أن حركة المياه ضعيفة وغير محددة المعالم . وإن كان في الامكان تمييز حركة ضعيفة للمياه السطحية متوجهة نحو الساحل . ويفاصلها حركة للمياه تحت سطحية مبتعدة عن الساحل (من الشرق للغرب) ، واتجهت المياه تحت سطحية نحو الساحل (أى من الغرب للشرق) . أما في القطاع Q فقد كانت المياه متحانسة الحرارة والملوحة ، ولم يتضح اتجاه حركة المياه .. وإن كان توزيع الكثافة يرجع أن المياه السطحية والممتدة حتى عمق ١٠٠ متر تتجه نحو الساحل .

ونخلص من ذلك الى استنتاج وجود حركة للمياه السطحية متوجهة من الجنوب الى الشمال .. وفي ذات الوقت تتحرك هذه المياه السطحية اما متوجهة نحو الساحل او مبتعدة عنه أى اما متوجهة نحو الشرق او نحو الغرب اما المياه تحت سطحية فحركتها كانت في اتجاه مضاد لحركة المياه السطحية باستمرار . ولايمكن تفسير حركة المياه السطحية واتجاهها نحو الشمال وفي نفس الوقت نحو الشرق او الغرب الا بافتراض أن هذه المياه لا تتحرك في خط مستقيم واما تأخذ مساراً معرجاً كمنحنى الجيب او كمسار الثعبان بحيث تتجه المياه نحو الساحل في بعض الواقع ثم تعود وتبتعد عنه في موقع اخرى . وذلك أثناء اتجاهها من الجنوب الى الشمال .

ويحدث العكس تماماً للمياه تحت سطحية أثناء اتجاهها من الشمال الى الجنوب .. اذ تأخذ مساراً مشابهاً لمسار المياه السطحية ولكنه يضاده في الاتجاه .

ومن المعروف أن المياه العميقه الموجودة تحت عمق ٢٥٠ متر في البحر الأحمر تتميز بثبات خواصها الفيزيائية ، فتتغير ملوحتها وحرارتها تغيرات طفيفة مع العمق (Patzert, 1974) وتبقي هذه

المياه معزولة بحكم وجودها في حوض عميق طرفه الشمالي ضحل وهو خليج السويس، ولذلك فلا تستطيع هذه المياه أن تمر عبر المنفذ الشمالي وهو قناة السويس إلى البحر الأبيض وبالمثل لا يمكنها أن تمر إلى المحيط الهندي عبر المنفذ الجنوبي وهو مضيق باب المندب نظراً لوجود العتبة Sill التي يصل عمقها إلى حوالي 100 متر.

وتدل منحنيات الملوحة والحرارة المتاحة من نتائج البحث على وجود طبقة من المياه الوسطى الموجودة عند أعمق وسط بين المياه السطحية والمياه العميقة ، ومن المعتقد أن هذه المياه الوسطى تتكون نتيجة زيادة كثافة المياه السطحية للبحر الأحمر على امتداد مسارها من باب المندب متوجهة نحو الشمال حيث تعرض هذه المياه للبخار فتزداد كثافتها بمقدار يكفي فقط لكي تغوص من السطح وتصل إلى عمق متوسطة .. ولكن هذه الزيادة لا تكفي لتمكينها من الغوص إلى الأعماق الكبيرة حيث توجد مياه ذات كثافة كبيرة .. فالمياه العميقة قد تم تكوينها في الجزء الشمالي من البحر الأحمر حيث الملوحة أكبر ودرجة الحرارة أقل .. ولذلك فإن كثافتها أكبر من كثافة المياه الموجودة في المناطق الأخرى التي تقع جنوبها .

وتدل النتائج التي حصلنا عليها على أن تكوين المياه الوسطى خلال الشتاء يتم على امتداد مسار المياه السطحية المتجهة شمالا .. وهذا يتفق مع النتائج التي حصلت عليها (Maillard, 1971) كأن توزيع الملوحة والحرارة والكثافة يدل على وجود حركة للمياه عند الأعماق الوسطى (بين ٥٠ و ٢٠٠ مترا) في اتجاه معاكس لحركة المياه السطحية . ولذلك فمن المعتقد أن هذه المياه الوسطى هي التي تخرج من البحر الأحمر متوجهة لخليج عدن .. وهذا يؤيد ما رجحه نيومان وماجل (Neumann and Magill, 1962)

ب - - الخلاصة :

تبين أن التوزيع الرأسي والأفقي للملوحة والحرارة والكتافة والأوكسجين يرجع وجود حركة للمياه السطحية متوجهة من الجنوب إلى الشمال في عكس اتجاه الرياح السائدة التي تهب من الشمال الغربي . مما يدل على أن تأثير البحر على حركة المياه السطحية في هذا الجزء من البحر الأحمر - يفوق تأثير الرياح . كما اتضح أن المياه السطحية المتوجهة نحو الشمال لا تأخذ مسار مستقيما ولكنها تتدفق شمالا في مسار متعرج كمسار الشعبان بحيث تتجه المياه السطحية نحو الساحل في موقع ما ثم تعود وتبتعد عنه في موقع آخر وذلك أثناء اتجاهها شمالا .. وتأخذ المياه تحت سطحية مسار مضادا لمسار المياه السطحية .

و ثبت من منحنيات الحرارة والملوحة وجود ثلاث كتل مائة متممزة كتلة مائة سطحة وأخرى

للمياه الوسطى وثالثة للمياه العميقة . وترجع الدراسة أن حركة التبادل بين البحر الأحمر والمحيط الهندي تتم في الطبقتين السطحية والوسطى .

المراجع .

- Grasshoff, K., 1976. Methods of Sea water Analysis, Winheim, New York: Verlag Cheine, 317 p.
- Maillard, C., 1971. Étude hydrologique et dynamique de la Mer Rouge en hiver d'après les observations du commandant Robert Giraud (1963). Thèse présentée à la Faculté des Sciences de Paris pour l'obtention du Doctorat ès Cycle, 77 pp.
- Meshal, A.H.; Osman, M.M. and A.K.A. Behairy, 1983. Comparison of Evaporation Rates Between Coastal and Open waters of the Central Zone of the Red Sea. J. Fac. Mar. Sci., 3: 95-105.
- Morcos, S.A., 1970. Physical and Chemical Oceanography of the Red Sea. Oceanography and Marine Biology, 8: 73-202.
- Neumann, J., 1952. Evaporation from the Red Sea. Isr. Explor. J. 2: 153-162.
- Neumann, A.C., 1966. Red Sea. In the encyclopedia of Oceanography, R. Fairbridge, ed. Bowden Hutchinson & Ross Inc. Stroudsburg, pp. 748-751.
- Neumann, A.C. and McGill, D.A., 1962. Circulation of the Red Sea in early summer. Deep-sea Res., 8: 223-235.
- Patzert, W.C., 1974. Wind-induced reversal in Red Sea Circulation. Deep-sea Res., 21: 109-121.
- Privett, D.W., 1959. Monthly charts of evaporation from the North Indian Ocean, including the Red Sea and the Persian Gulf. Quart. J. Roy. Meteorol. Soc., 85: 424-428.
- Tchernia, P., 1980. Descriptive Regional Oceanography. Pergamon Press, New York. 253 pp.
- Thompson, E.F., 1939a. Chemical and physical investigations. The general hydrography of the Red Sea. John Murray Exped. 1933-34. Sci. Repts., 3 (3): 83-103.
- Thompson, E.F., 1939b. Chemical and physical investigations. The exchange of water between the Red Sea and the Gulf of Aden over the "sill" John Murray Exped. 1933-34. Sci. Repts. 2 (3): 105-119.
- UNESCO, 1973. International Oceanographic Tables. UNESCO and National Institute of Oceanography of Britain, Vol. 2.
- U.S. Navy Hydrographic Office, 1952. Tables for Sea water density. H.O. Pub. No. 615. U.S. Hydrographic Office, Washington D.C.

- ح - دراسات البيئة البحرية في منطقة الدراسة .
- ح - ١ - الأملاح المغذية .
- ح - ٢ - المواد العضوية الذائبة .
- ح - ٣ - المحتوى الهيدروكربيوني .
- ح - ٤ - توزيع الفورامينفرا القاعية .
- ح - ٥ - دراسات جيولوجية على رواسب الكربونات البحرية .
- ح - ٦ - المراجع .

ح - ١ - الأملاح المغذية .

ح - ١ - ١ - مقدمة .

ح - ١ - ٢ - الطرق والوسائل .

ح - ١ - ٣ - النتائج .

ح - ١ - ٣ - ١ - الترتيب .

ح - ١ - ٣ - ٢ - الفوسيفات .

ح - ١ - ٣ - ٣ - السليكات .

ح - ١ - ٤ - المناقشة .

ح - ١ - ٥ - الخلاصة .

ح - ١ - الأملالغ المغذية :

ح - ١ - ١ - مقدمة :

ضمن الصفات الكيميائية لمياه البحار تلعب الأملالغ المغذية دورا هاما ورئيسيا في ازدهار ووفرة الكائنات الحية البحرية ، فهي بذلك تحدد خصوبة البيئة البحرية كما تفعل الأسمدة للأرض الزراعية . بما أن المأهومات النباتية (كائنات الفيتو بلانكتون) تعتمد أساسا في حياتها في الطبقة السطحية الماضية في البحار على الأملالغ المغذية فان نمو هذه الكائنات يتعدد بوجود ووفرة هذه الأملالغ . وبما أن هذه المأهومات تمثل أول الحلقة الغذائية في البيئة البحرية فان وفرة كائنات الحية البحرية الأخرى يتعدد بوفرة الكائنات الفيتو بلانكتون .

طبقا للمراجع المتوفرة لدينا ، لا توجد دراسات على الأملالغ المغذية في مياه ساحل البحر الأحمر الشرقي والغربي ، ماعدا تلك القياسات القليلة والمحدودة جدا والتي أجريت فقط حديثا على بعض مناطق ساحلية محددة . أجريت دراسة على التوزيع الرأسى للأملالغ المغذية (النيريت ، الأمونيا ، الفوسفات ، السيليكات) عند محظتين ، اختيرت احداهما في المياه الشاطئية والأخرى في المياه البعيدة عن الشاطئ أمام شرم أبجر (Shaikh, 1981). تمت دراسة أولية على تركيز الفوسفات والسيликات في المياه الشاطئية للبحر الأحمر أمام مدينة جدة (El-Rayis et al., 1982) . أجريت دراسة أكثر تفصيلا على توزيع الأملالغ المغذية (النيريت ، البيرات ، الفوسفات ، السيليكات) في مياه البحر الأحمر الساحلية أمام جدة ، لابراز تأثير التلوث الناتج أساسا من مخلفات هذه المدينة على تركيزات هذه الأملالغ المغذية في مياه البحر (Behairy & Saad, 1984) .

تمت دراسة على التوزيع الرأسى لهذه الأملالغ المغذية في قطاع عمودي على الساحل بطول ٦ كم عند ٤٥ كم شمال جدة (Saad & Fahmy 1983) ، أما بالنسبة للساحل الغربي للبحر الأحمر فقد أجريت دراسة على التغيرات الرئيسية والأفقية للأملالغ المغذية عند منطقة الغردة (Karndil, 1982) .

يتعلق البحث الحالى بالتغييرات الرئيسية والأفقية للأملالغ المغذية (النيريت ، الفوسفات ، السيليكات) وتوزيع هذه الأملالغ المغذية في عمود المياه الساحلية بعمق خمسون مترا في منطقة الدراسة لنفهم التغيرات البيولوجية الخاصة بمجموعات المأهومات النباتية في هذه المنطقة والتي تمثل الغذاء لمجاميع الأسماك . وبذلك تمثل النتائج الحالية المعلومات الأساسية اللازمة في تفهم درجة خصوبة المنطقة من ناحية وفرة الغذاء الطبيعي للأسماك بها . كما أنه يمكن الاعتماد على هذه النتائج في دراسات مستقبلية ومستفيضة على تركيز وتوزيع الأملالغ المغذية في منطقة الدراسة وأيضا في مناطق أخرى ساحلية في البحر الأحمر .

ح - ١ - ٢ - الطرق والوسائل :

تم جمع عينات مائية من مياه البحر الأحمر خلال أربعة رحلات (ديسمبر ١٩٨١ ، فبراير ، مايو ، نوفمبر ١٩٨٢) عند عشرة محطات اختيرت لتغطي منطقة الدراسة بين آخر ومدينة بنبع (شكل ١) وذلك عند أعمق مختلفة (السطح ، ١٠ ، ٣٠ ، ٥٠ متراً) لاستكمال البيانات البيئية التي تم المعايد في هذه المنطقة . بسبب الصعوبات الحقلية في رحلة ديسمبر ١٩٨١ ، لم يتم جمع العينات عند الأعمق ٣٠ ، ٥٠ متراً عند ثمانية محطات وكذلك من جميع الأعمق من المحطتين الأخريتين (٧ ، ٩) . جمعت هذه العينات في قوارير من البلاستيك محمكة الغلق وأضيف إليها مباشرة بعد جمعها الكلوروفورم - (٥ سم^٣/ليتر) كادة حافظة لها ، ثم جمدت هذه العينات عند درجة - ٥٢٥ م إلى حين إجراء التحاليل عليها . تم ترشيح جميع العينات وتعين كل من النيريت والفوسفات والسيликات في الرشيح ، طبقاً للطرق المذكورة بواسطة (Strickland & Parsons 1972) باستخدام جهاز سبكتروفوتومتر (باليونيكام) .

ح - ١ - ٣ - النتائج :

ح - ١ - ٣ - ١ - النيريت :

توجد نتائج النيريت عند كل محطة خلال الرحلات الأربع وعند الأعمق المختلفة في الجدول رقم (١) . يتضح من هذا الجدول أن نتائج النيريت ازدادت في الرحلة الأولى ديسمبر ١٩٨١ من السطح وحتى عمق ١٠ متراً وذلك عند ثلاثة محطات ، بينما أظهر التركيز عكس ذلك حيث نقص من السطح وحتى هذا العمق عند أربعة محطات أخرى . هنا وقد تساوى تركيز النيريت عند السطح وعمق ١٠ متراً عند محطة واحدة رقم (١) . تراوح تركيز النيريت في ديسمبر ١٩٨١ ما بين ٥٠ ر. ميكروجرام ذرة نتروجين / لتر عند سطح المحطة (٢) ، ٣٠ ر. ميكروجرام ذرة نتروجين / لتر عند عمق ١٠ متراً عند المحطة (٤) .

كان تركيز النيريت خلال الرحلة الثانية فبراير ١٩٨٢ غير محسوساً في معظم العينات ، بينما ظهر هذا الملحق المغذي في عينة واحدة عند معظم المحطات أما في الطبقة السطحية أو العميقه . كذلك فإن هذا الملحق لم يوجد في جميع الأعمق عند المحطة (٨) ، على عكس المحطة (٦) حيث ظهر في جميع الأعمق بتغير رأسى غير منتظم . تراوح تركيز النيريت خلال رحلة فبراير ١٩٨٢ من ٤٠ ر. ميكروجرام ذرة نيتروجين / لتر ، حيث ظهر هذا الحد الأدنى من التركيز في أربعة عينات ، بينما وجد الحد الأقصى عند سطح المحطة (٦) .

بالنسبة للرحلة الثالثة مايو ١٩٨٢ فقد تراوح تركيز النتيريت ما بين ٠٠١ ر. ميكروجرام ذرة نيتروجين/لتر عند سطح المخطة (٤) ، ٣١ ر. ميكروجرام ذرة نيتروجين/لتر عند عمق ٥٠ مترا عند المخطة (٢) . تشير التغيرات الرئيسية لتركيزات النتيريات خلال رحلة مايو الى زيادة مع العمق عند ثلاث مخطات وتغير رأسى غير منتظم عند بقية المخطات . كان تركيز هذا الملح غير محسوسا في سبعة عينات فقط .

خلال الرحلة الأخيرة نوفمبر ١٩٨٢ ، تراوح تركيز النتيريت بين حد أدنى قدره ٠٠٢ ر. ميكروجرام ذرة نيتروجين/لتر عند عمق ٥٠ مترا عند المخطة (٢) وحد أقصى قدره ٢٩ ر. ميكروجرام ذرة نيتروجين/لتر عند عمق ٣٠ مترا عند المخطة (٥) . كذلك كان تركيز هذا الملح غير محسوسا في أربعة عينات فقط . كان التغير الرأسى لتركيز النتيريت غير منتظاما عند تسعة مخطات ، بينما ازداد التركيز من السطح وحتى عمق ٥٠ مترا عند المخطة الباقية رقم (٨) .

٤ - ١ - ٣ - ٢ - الفوسفات :

نتائج الفوسفات عند جميع المخطات والأعمق موضحة بالجدول رقم (٢) . تظهر نتائج رحلة ديسمبر ١٩٨١ انعدام الفوسفات عند السطح وعمر ١٠ مترا عند المخطة (٣) أما عند باقي المخطات فقد ازداد تركيز هذا الملح المغذي من السطح وحتى هذا العمق عند ثلاثة مخطات ، كما ظهر تركيز الفوسفات عكس ذلك عند ثلاثة مخطات أخرى ، بينما كان التركيز متساويا عند مخطة واحدة (رقم ٦) عند السطح وعمر ١٠ مترا . تراوح تركيز الفوسفات خلال رحلة ديسمبر من ٠٣٠ ر. ميكروجرام ذرة فوسفور/لتر عند عمق ١٠ مترا عند المخطة (٢) وكذلك عند سطح المخطة (١٠) الى ٣٧ ر. ميكروجرام ذرة فوسفور/لتر عند عمق ١٠ مترا عند المخطة (٥) .

في رحلة فبراير ١٩٨٢ ، تراوح تركيز الفوسفات ما بين ٠٠٤ ر. ٧٩ ر. ميكروجرام ذرة فوسفور/لتر ، حيث ظهر الحد الأدنى في سبعة عينات بينما وجد الحد الأقصى عند سطح المخطة (٦) . وكان تركيز هذا الملح غير محسوسا في تسعة عينات في رحلة فبراير ١٩٨٢ . ازداد تركيز الفوسفات من السطح وحتى عمق ٥٠ مترا عند المخطة (٧) ، بينما أظهر هذا التركيز تغيرات رأسية غير منتظمة عند بقية المخطات التسعة .

أظهرت نتائج رحلة مايو ١٩٨٢ انعدام الفوسفات في اثنى عشر عينة ، منها جميع أعمق المخطة (٧) . تراوح تركيز الفوسفات خلال هذه الرحلة الثالثة من ٠١ ر. ميكروجرام ذرة فوسفور/لتر عند عمق ٣٠ مترا عند المخطة (٢) الى ٥١ ر. ميكروجرام ذرة فوسفور/لتر عند سطح المخطة (٤) . نقص تركيز هذا الملح من السطح وحتى عمق ٥٠ مترا عند المخطة (٣) ، بينما أظهر هذا التركيز تغيرا رأسيا غير منتظما عند المخطات الباقيه .

بالنسبة لرحلة نوفمبر ١٩٨٢ ، لم يظهر الفوسفات أى انعدام في التركيز ، ولكنها أعطت تركيزات في جميع العينات متراوحة ما بين ٣٣٠ ميكروجرام ذرة فوسفور/لتر عند سطح المخطة (٩) و ٢٩٣ ميكروجرام ذرة فوسفور/لتر عند عمق ٣٠ مترًا عند المخطة (٧) . أظهر تركيز الفوسفات تغيراً رأسياً غير منتظاماً عند جميع المخطات .

٤ - ١ - ٣ - السيليكا:

يوضح الجدول رقم (٣) نتائج السيليكا عند المخطات المختلفة والأعمق المتغيرة . توضح نتائج السيليكا خلال الرحلة الأولى في ديسمبر ١٩٨١ زيادة في تركيز هذا الملخ من السطح وحتى عمق ١٠ مترًا ، وذلك عند المخطات الثانية التي تم جمع العينات عندها . لم يظهر أى انعدام للسيليكا في جميع العينات خلال هذا الشهر . تراوح تركيز هذا الملخ من ٦٨٠ ميكروجرام ذرة سيليكون/لتر عند سطح المخطة (٤) إلى ١٤٠ ميكروجرام ذرة سيليكون/لتر عند عمق ١٠ مترًا عند المخطة (١٠) .

في رحلة فبراير ١٩٨٢ ، انعدمت السيليكا في عينة واحدة فقط عند سطح المخطة (١٠) . تراوحت نتائج هذا الملخ خلال هذه الرحلة الثانية بين ٢٦٠ و ٢٦١ ميكروجرام ذرة سيليكون/لتر ، حيث ظهر هذا الحد الأدنى في أربعة عينات ، بينما وجد الحد الأقصى عند عمق ٥٠ مترًا عند المخطة الأخيرة (رقم ١٠) . أظهر التغير الرئيسي للسيليكا ثلاثة أشكال مختلفة فقد ازداد التركيز مع العمق عند المخطة (٨) ، بينما نقص عند المخطتين (٩ ، ٣) . أما عند المخطات السبعة الباقيه فقد كان التغير الرئيسي لتركيز هذا الملخ غير منتظاماً .

لم تظهر السيليكا أى انعدام في تركيزها خلال رحلة مايو ١٩٨٢ . وقد تراوحت تركيزات هذا الملخ من ٦٨١ ميكروجرام ذرة سيليكون/لتر عند سطح المخطة (٨) وعمر ٣٠ مترًا عند المخطة (١٠) إلى ١٧٣ ميكروجرام ذرة سيليكون/لتر عند عمق ٣٠ مترًا عند المخطة (٥) . ازداد تركيز السيليكا من السطح وحتى عمق ٥٠ مترًا عند المخطة (٨) ، بينما كان التغير الرئيسي لهذا الملخ غير منتظاماً عند المخطات التسعة الباقيه .

توضح نتائج السيليكا خلال الرحلة الأخيرة نوفمبر ١٩٨٢ انعدام هذا الملخ عند عمق ٥٠ مترًا عند المخطات (١ ، ٤ ، ١٠) وأيضاً عند سطح المخطة (٨) . تراوحت تركيزات السيليكا ما بين ٣٦١ و ١٥٦١ ميكروجرام ذرة سيليكون/لتر حيث ظهر هذا الحد الأدنى عند سطح المخطة (١) وعمر ٣٠ مترًا للمخطتين (٤ ، ٢) ، كما وجد الحد الأقصى عند عمق ١٠ مترًا عند المخطة (١) وكذلك عند سطح المخطة (١٠) . أظهر التغير الرئيسي لتركيزات السيليكا نقصاً مع العمق عند المخطة (٤) ، بينما كان هذا التغير غير منتظاماً من السطح وحتى عمق ٥٠ مترًا عند المخطات التسعة الباقيه .

تحدد ميزانية الأملالح المغذية في البحر الأحمر بالأملالح المغذية الداخلية إليه والخارجية منه ووضع (Morcos, 1970) بأن المكاسب الصافية قد سجل فقط للنيترات ، بينما تم تسجيل فقدان الصافية للنيترات والفوسفات والسيликات . وبذلك توضح هذه الاشارة إلى فقدان المستمر للأملالح المغذية من البحر الأحمر افتقار مياه هذا البحر بالأملالح المغذية .

إن اعتبار تركيزات النيترات في مياه البحر مفيدة ، كما أشار بذلك سابقا (Wattenberg, 1937) بسبب الوضع الوسط للنيترات بين الأمونيا والنيترات . كان تركيز النيترات غير محسوسا في معظم عينات رحلة فبراير ١٩٨٢ ، بينما لوحظ ذلك في عدد بسيط من عينات رحلتي مايو ونوفمبر ١٩٨٢ . هذا وقد ظهر هذا الملخ المغذي في جميع عينات رحلة ديسمبر ١٩٨٢ . لاحظ (Shaikh, 1981) هذه الظاهرة في ظروف عديدة وهي الانعدام التام للنيترات في مياه البحر الأحمر السطحية القرية من شرم أبجر ، ٣٥ كم شمال مدينة جدة .

ربما يعزى انعدام النيترات وكذلك النقص في تركيزات هذا الملخ الذى لوحظ في عدد من العينات ، أساسا إلى الزيادة في أكسدة النيترات إلى النيترات وربما أيضا اختزاله إلى الأمونيا ، بالإضافة إلى استهلاك الهايمات البانية له كملخ مغذي في المنطقة المضيئة وعلى عكس ذلك فإن التركيزات المرتفعة نسبياً تحتوى النيترات والتي تم الحصول عليها في العينات الأخرى ربما تكون بسبب اختزال التترات إلى النيترات وأكسدة الأمونيا إلى النيترات (Grasshof, 1969) . يبيل التغير الرئيسي لتركيزات النيترات في الرحلتين الثالثة والرابعة غالباً إلى عدم الانتظام ، ويعزى ذلك إلى العوامل المسيبة للزيادة أو النقص في قيم هذا الملخ عند الأعماق المختلفة .

أظهر محتوى النيترات خلال كل رحلة تفاوتاً واضحاً بين الحد الأدنى والأقصى ، وبصفة خاصة في رحلتي مايو ونوفمبر ١٩٨٢ ، حيث كانت معدلات تغير قيم هذا الملخ من ٠٠١٠ - ٠٣١٠ و ٠٢٩٠ - ٠٢٩٠ ميكروجرام ذرة نتروجين/لتر على التوالي . يمثل الحد الأدنى والأقصى لقيم النيترات والتي تم الحصول عليها في رحلة مايو ١٩٨٢ الحد الأدنى المطلق والحد الأقصى المطلق لجميع قيم هذا الملخ في نتائج الرحلات الأربع . وبالمقارنة مع قيم أخرى للنيترات ، تراوحت متوسطات قيم هذا الملخ في المياه الساحلية أمام الغرفة على الساحل الغربي للبحر الأحمر من ٠٠٢٠ - ٠٠٨٠ ميكروجرام ذرة نتروجين/لتر (Kandil, 1982) .

بالنسبة للفوسفات فإن أهمية هذا الملخ المغذي في المياه الطبيعية قد تأكّدت من علماء كثرين (Cooper, 1958; Kramer et al., 1972) . لم تظهر الفوسفات أي انعدام خلال الرحلة الأخيرة (نوفمبر ١٩٨٢) ، ولكن وجود هذا الملخ كان غير محسوساً في عينتين في رحلة ديسمبر ١٩٨١ و ١٦٧

عينات في رحلة فبراير ١٩٨٢ و ١٢ عينة في رحلة مايو ١٩٨٢ . إن هذا الانعدام في الفوسفات وكذلك النقص في تركيزات هذا الملح التي وجدت في بعض العينات ربما يرجع إلى النقص في الماء الداخلي للفوسفات ، مع الزيادة في استهلاك هذا الملح من المائمات النباتية (Kramer et al., 1972) . وقد تعزى الزيادة في تركيزات الفوسفات والتي وجدت في العينات الأخرى إلى تخلل كائنات الفيتو بلانكتون واحراج كميات كبيرة نسبياً من الفوسفات من الكائنات البحرية (Kramer et al., 1972) . كان التغير الرئيسي في تركيزات الفوسفات بصورة عامة غير منتظماً في عامود المياه التي تمت دراسته ، وذلك في الرحلة الثانية والثالثة والرابعة ، بينما أظهر هذا التغير زيادة أو نقصاً من السطح وحتى عمق ١٠ مترًا وذلك في رحلة ديسمبر ١٩٨١ وقد يعزى ذلك إلى العوامل المسيبة إلى الزيادة أو النقص في تركيزات الفوسفات عند الأعماق المختلفة .

وضحت تركيزات الفوسفات تفاوتاً ملحوظاً بين أقل القيم وأكبرها في رحلتي ديسمبر ١٩٨١ ونوفمبر ١٩٨٢ . وقد كان هذا التفاوت كبيراً جداً في رحلتي فبراير ومايو ١٩٨٢ ، حيث تراوحت القيم من ٤٠٤ ر - ٧٩١ ر - ٥١٠ ميكروجرام ذرة فوسفور / لتر على التوالي . تمثل أقل قيمة للفوسفات والتي تم الحصول عليها في رحلة مايو ١٩٨٢ وأكبر قيمة لهذا الملح والتي وجدت في نوفمبر ١٩٨٢ الحد الأدنى المطلق والحد الأقصى المطلق على التوالي وذلك لجميع قيم الفوسفات خلال الرحلات الأربع .

بمقارنة النتائج الحالية مع نتائج أخرى للفوسفات في البحر الأحمر فقد حصل (Shaikh, 1981) على النتائج أقل من ٤٠١ ميكروجرام ذرة / لتر أما الحد الأقصى الذي وجده فقد وصل إلى ٧٦٠ ميكروجرام ذرة فوسفور / لتر ، وذلك في المياه الشاطئية بالقرب من شرم أبجر . كذلك سجل (Kandil, 1982) متوسطات لتركيزات الفوسفات في المياه الساحلية عند الغرفة على الساحل الغربي تراوحت ما بين ٦٠٦ ر و ٣٣٠ ميكروجرام ذرة فوسفور / لتر .

بالإشارة إلى السيليكات ، فإن هذا الملح ذات أهمية قصوى كملح مغذي رئيسي للدياتومات ، حيث أن هذه الكائنات تحتاج إلى عنصر السيليكون لبناء هيكلها ، وبذلك فإن ثبوتها في المياه الطبيعية ينتظم بتوفير هذا العنصر في شكل ذائب (Phaashe, 1973) . ووضح (Grasshof, 1969) أن ماء السيليكون إلى البحر الأحمر يكون في المياه السطحية المتقدمة من خليج عدن ، وربما أيضاً من النزو بان الجزء للكوارتز والحبوب المعدنية المحمولة إلى هذا البحر بواسطة العاصف الرملية .

على القيد من النيريت والفوسفات ، كانت السيليكات غير محسوبة في عدد بسيط جداً من العينات (عينة واحدة في فبراير ١٩٨٢ وأربعة عينات في نوفمبر ١٩٨٢) . إن انعدام السيليكات

في هذه العينات وكذلك النقص في تركيزات هذا الملح في عينات أخرى يرجع أساساً إلى إستهلاك الدياتومات لهذا الملح المغذي (Jorgensen, 1957, Ewins & Spencer, 1967) ، كما تعزى الزيادة في قيم السيليكات في العينات الباقية أساساً إلى النقص في كميات الدياتومات (Ewins & Spencer, 1967).

كان التغير الرئيسي في قيم السيليكات عند معظم المخطبات غير منتظمًا من السطح وحتى عمق ٥٠ متراً ، وذلك في الرحلة الثانية والثالثة والرابعة ويعزى ذلك إلى العوامل المتساوية في زيادة أو نقص تركيزات السيليكات عند الأعماق المختلفة . أما في الرحلة الأولى ، فقد ازداد التركيز من السطح إلى عمق ١٠ متراً عند المخطبات الثانية التي تم جمع العينات عندها .

تظهر تركيزات السيليكات تفاوتاً ملحوظاً بين الحدين الأدنى والأقصى في رحلتي فبراير ونوفمبر ١٩٨٢ ، حيث تراوحت قيم السيليكات من ٢٦ - ٢٦١ و ٣٦ - ٤٦١ ميكروجرام ذرة سيليكون / لتر على التوالي . تمثل أقل قيمة للسيليكات في رحلة فبراير ١٩٨٢ وأكبر قيمة لهذا الملح في رحلة نوفمبر ١٩٨٢ الحد الأدنى المطلق والحد الأقصى المطلق على التوالي ، وذلك لجميع قيم السيليكات خلال الرحلات الأربع .

لمقارنة نتائج الدراسة الحالية مع نتائج أخرى للسيليكات في البحر الأحمر ، تراوحت التركيزات التي وجدتها (Shaikh, 1981) في المياه الشاطئية بالقرب من شرم أبخر ما بين ١٠٩ و ٧٤٠ ميكروجرام ذرة / لتر كذلك تراوحت متوسطات قيم السيليكات في مياه الساحل الغربي أمام الغرفة من ٧٢ إلى ١٤٢ ميكروجرام ذرة سيليكون / لتر (Kandil, 1982) .

٤ - ١ - ٥ - الخلاصة :

تم جمع عينات مائية من الساحل السعودي للبحر الأحمر خلال أربعة رحلات (ديسمبر ١٩٨١ ، فبراير ، مايو ، نوفمبر ، ١٩٨٢) . جمعت هذه العينات أساساً عند أعماق مختلفة (السطح ، ١٠ ، ٣٠ ، ٥٠ متراً) عند عشرة مخطبات اختيارية لتغطي منطقة الدراسة الممتدة من أبخر (٣٥ كم شمال جدة) إلى مدينة ينبع ، وذلك لدراسة التغيرات الرئيسية والأفقية للأملالح المغذي (التيريت ، الفوسفات ، السيليكات) .

كان تركيز التيريت غير محسوساً في معظم عينات فبراير ، وقد لوحظ هذا الانعدام للتيريت في عدد بسيط من عينات مايو ونوفمبر . ظهرت الفوسفات في جميع عينات نوفمبر ، بينما انعدم هذا

الملح في بعض العينات التي جمعت خلال الرحلات الثلاثة الأخرى . كانت السيليكات غير محسوسة في عدد بسيط جدا من العينات .

ربما يعزى انعدام النيتريت وكذلك النقص في تركيزاته أساسا إلى الزيادة في أكسدة هذا الملح إلى النيترات واحتزالية إلى الأمونيا واستهلاكه من كائنات الفيتو بلانكتون . وقد يرجع انعدام الفوسفات والنقص في تركيزات هذا الملح إلى النقص في المد الداخلي للفوسفات مع الزيادة في استهلاكها من الماءيات النباتية . تقل تركيزات السيليكات أساسا بسبب استهلاك الدياتومات لهذا الملح . ومن جهة أخرى فإن التركيزات المرتفعة للنيترات ربما تكون بسبب احتزالية الترات إلى النيتريت وأكسدة الأمونيا إلى النيتريت . كما تعزى الزيادة في تركيزات الفوسفات إلى تحلل كائنات الفيتو بلانكتون وخارج الفوسفات من الكائنات البحرية . أما الزيادة في قيم السيليكات فإنها ترجع أساسا إلى النقص في كميات الدياتومات .

كان التغير الرئيسي في تركيزات النيتريت والفوسفات والسيليكات بصورة عامة غير منتظما في مايو ونوفمبر ، وقد أظهرت الفوسفات والسيليكات هذه الظاهرة أيضا في فبراير . ويعزى ذلك إلى العوامل المساعدة للزيادة أو النقص في تركيزات هذه الأملاح عند الأعمق المختلفة .

أظهر محتوى النيتريت في كل رحلة تفاوتا واضحأ بين الحدين الأدنى والأقصى ، خاصة في مايو ونوفمبر . ووضحت تركيزات الفوسفات تفاوتا ملحوظا بين أقل القيم وأكبرها في ديسمبر ونوفمبر ، وتفاوتا كبيرا جدا في الرحلتين الأخرىين . أظهر تركيز السيليكات تفاوتا ملحوظا بين الحد الأدنى والحد الأقصى في فبراير ونوفمبر .

جدول رقم (١)

التغيرات الرأسية لتركيز البيريت (ميكروجرام ذرة نتروجين / لتر)

في منطقة الدراسة خلال ١٩٨١ - ١٩٨٢ م

نوفمبر	مايو	فبراير	ديسمبر	أعمق العينات (متر)	رقم الخطة
٠٢٧	٠٠٦	لا يوجد	٠١٣	سطح	١
٠٠٧	لا يوجد	لا يوجد	٠١٣	١٠	
٠٠٩	٠٠٦	لا يوجد	-	٣٠	
٠٠٧	٠١٦	٠٠٩	-	٥٠	
٠٠٣	٠١٣	لا يوجد	٠٠٥	سطح	٢
٠٠٥	٠١٠	لا يوجد	٠١١	١٠	
٠٠٦	٠١٩	لا يوجد	-	٣٠	
٠٠٢	٠٣١	٠٠٥	-	٥٠	
٠٢٣	٠٠٣	٠٠٩	٠١٧	سطح	٣
٠٠٦	٠٠٤	لا يوجد	٠١٥	١٠	
٠١٤	٠٠٤	لا يوجد	-	٣٠	
٠١٨	٠١٧	لا يوجد	-	٥٠	
٠٢٤	٠٠١	لا يوجد	٠١٤	سطح	٤
٠٢٧	٠٠٨	٠٠٢	٠٣٠	١٠	
لا يوجد	لا يوجد	لا يوجد	-	٣٠	
لا يوجد	٠١٣	لا يوجد	-	٥٠	
٠١٩	٠٠٦	لا يوجد	٠١١	سطح	٥
٠١٥	٠١٤	لا يوجد	٠٠٩	١٠	
٠٢٩	٠٠٩	لا يوجد	--	٣٠	
٠٠٣	٠١١	٠٠٩	-	٥٠	

تابع جدول رقم (١)

نوفمبر	مايو	فبراير	ديسمبر	أعماق العينات (متر)	رقم المخطة
١٩٨٢ م			١٩٨١ م		
٠٠٤	٠١٤	٠١٤	٠١٦	سطح	٦
٠٢١	٠١٣	٠٠٤	٠١٤	١٠	
٠٢٥	٠٠٦	٠٠٢	--	٣٠	
٠٢٣	٠١١	٠٠٩	--	٥٠	
٠١٨	٠٠٣	٠٠٤	--	سطح	٧
٠١٨	٠٠٩	لابيوجد	--	١٠	
٠٠٣	٠١١	لابيوجد	--	٣٠	
٠٠٥	٠٢١	لابيوجد	--	٥٠	
لابيوجد	٠٠٧	لابيوجد	٠١٨	سطح	٨
٠٠٤	٠٠٢	لابيوجد	٠١٦	١٠	
٠٠٩	لابيوجد	لابيوجد	--	٣٠	
٠١٥	٠٠٧	لابيوجد	--	٥٠	
٠٠٧	لابيوجد	٠٠٢	--	سطح	٩
لابيوجد	٠٠٥	لابيوجد	--	١٠	
٠٢٧	لابيوجد	لابيوجد	--	٣٠	
٠٠٧	لابيوجد	لابيوجد	--	٥٠	
٠١٠	لابيوجد	٠٠٢	٠٠٨	سطح	١٠
٠١٤	٠٠٢	لابيوجد	٠١٠	١٠	
٠٢٢	٠٠٤	لابيوجد	--	٣٠	
٠١٧	٠١٣	لابيوجد	--	٥٠	

جدول رقم (٢)

التغيرات الرأسية لتركيز الفوسفات (ميکروجرام ذرة فوسفور / لتر)

في منطقة الدراسة خلال ١٩٨١ - ١٩٨٢ م

نوفمبر	مايو	فبراير	ديسمبر	أعمق العينات (متر)	رقم الخطة
م ١٩٨٢			م ١٩٨١		
٤٤ ر	١١ ر	٠٤ ر	٧ ر	سطح	١
١٣ ر	٤ ر	٩ ر	٢٠ ر	١٠	
٦٤ ر	٧ ر	١٧ ر	-	٣٠	
٥٨ ر	٢٨ ر	٤ ر	-	٥٠	
٧٢ ر	٤ ر	٢٦ ر	١٧ ر	سطح	٢
٣٧ ر	٧ ر	٦٨ ر	٣ ر	١٠	
٦٤ ر	١ ر	لابوجد	-	٣٠	
٤٥ ر	٤ ر	٢٦ ر	-	٥٠	
٣٩ ر	٣٥ ر	٩ ر	لابوجد	سطح	٣
٦٧ ر	٣٢ ر	٩ ر	لابوجد	١٠	
٦٤ ر	٢٥ ر	٦٨ ر	-	٣٠	
١١ ر	٢٥ ر	٢١ ر	-	٥٠	
٥٢ ر	٥١ ر	٤ ر	٢٠ ر	سطح	٤
١٢ ر	٢٨ ر	٩ ر	٧ ر	١٠	
٤٧ ر	لابوجد	لابوجد	-	٣٠	
١٣ ر	٤ ر	٣ ر	-	٥٠	
٣٦ ر	٢٥ ر	٥ ر	٧ ر	سطح	٥
٥٢ ر	٤ ر	٩ ر	٣٧ ر	١٠	
٧٢ ر	٢٥ ر	٧ ر	-	٣٠	
٨٨ ر	٤ ر	٧ ر	-	٥٠	

تابع جدول رقم (٢)

نوفمبر	مايو	فبراير	ديسمبر	أعمق العينات (متر)	رقم الخطة
١٦٦	١١	٧٩	٤٤	سطح	٦
٥١	١٤	٠٩	٢٤	١٠	
٨٣	لابوجد	٠٤	-	٣٠	
٨٤	لابوجد	١٣	-	٥٠	
١٦	لابوجد	لابوجد	-	سطح	٧
٧٩	لابوجد	٤	-	١٠	
٩٣	لابوجد	١٧	-	٣٠	
٣٥	لابوجد	٦٤	-	٥٠	
٧٠	٧	٤	٢٠	سطح	٨
٦٤	لابوجد	لابوجد	١٠	١٠	
٢٢٧	لابوجد	٩	-	٣٠	
٢٠	٧	لابوجد	-	٥٠	
٣٣	لابوجد	لابوجد	-	سطح	٩
٣٥	٦	٩	-	١٠	
٥٥	لابوجد	١٧	-	٣٠	
٦٩	لابوجد	لابوجد	-	٥٠	
٧٤	١٨	لابوجد	٣	سطح	١٠
٣٧	٢٥	لابوجد	١٧	١٠	
٠٨	٣	١٣	-	٣٠	
١٣	٢١	٠٤	-	٥٠	

جدول رقم (٣)

التغيرات الرئيسية لتركيز السيليكات (ميكروجرام ذرة سيليكون / لتر)

في منطقة الدراسة خلال ١٩٨١ - ١٩٨٢ م

نوفمبر	مايو	فبراير	ديسمبر	أعمق العينات (متر)	رقم الخطة
١٩٨٢ م			١٩٨١ م		
١٣٦	٢٧٠	١٨٣	١١٢٩	سطح	١
١٥٦١	٤٤٢	١٥٧	١٢٢٢	١٠	
٤٦١	٢٩٨	١٧٤	-	٣٠	
لابوجد	٢٤٢	٢٥٣	-	٥٠	
٢٣١	٢٣٣	١٤٨	١١٢٩	سطح	٢
٤٠٧	٢٧٠	١٤٨	١٢٢٢	١٠	
١٣٦	٢٥١	٠٤٤	-	٣٠	
٥١٣	٢٦١	٠٧٠	-	٥٠	
٧٠٠	٢٢٣	٠٨٧	١٠٩٩	سطح	٣
١٩٠	٢١٤	٠٧٨	١١٦٠	١٠	
٢٢٥	١٨٦	٠٢٦	-	٣٠	
٣٢٥	٢٦١	٠٢٦	-	٥٠	
٨٢٥	٢٤٢	٠٩٦	١٠٦٨	سطح	٤
٥٥٠	٢٢٣	٠٥٢	١١٢٩	١٠	
١٣٦	٢٥١	٠٦١	-	٣٠	
لابوجد	٢٧٠	٠٥٢	-	٥٠	
٥٥٠	٢٦١	٠٢٦	١١٢٩	سطح	٥
٨٢٥	٢٧٠	٠٦١	١٢٢٢	١٠	
٦٠٠	٣١٧	٠٣٥	-	٣٠	
٤٨٨	٢٦١	٠٣٥	-	٥٠	

تابع جدول رقم (٣)

نوفمبر	مايو	فبراير	ديسمبر	أعمق العينات (متر)	رقم المخطة
م ١٩٨٢			م ١٩٨١		
١٣١٧	٢٣٣	١٣٩	١٢٢٢	سطح	٦
١٤٣٨	٢٤٢	٠٧٨	١٢٨٣	١٠	
٦٦٨٨	٢٤٢	٠٢٦	-	٣٠	
٢٠٠	٢٣٣	١٨٣	-	٥٠	
٣٨٨	٢٦١	١٣٩	-	سطح	٧
٤٥٠	٢٢٣	٠٨٧	-	١٠	
١٣٨٨	٢٥١	٠٨٧	-	٣٠	
٤٠٠	٢٧٤	١٠٥	-	٥٠	
لابوجد	١٦٨	٠٤٤	١١٦٠	سطح	٨
٧٠٦	٢٢٣	٠٧٠	١٢٢٢	١٠	
٩٦٤	٢٤٢	٠٨٧	-	٣٠	
٥٣٨	٢٥١	٠٨٧	-	٥٠	
٧٣٣	٢٤٢	٠٩٦	-	سطح	٩
١٤٩٤	٢١٦	٠٩٦	-	١٠	
٤٠٧	١٧٧	٠٩٦	-	٣٠	
٦١١	٢١٤	٠٥٢	-	٥٠	
١٥٦١	٢٢٣	لابوجد	١٢٨٣	سطح	١٠
٤٠٧	٢٢٣	١١٣	١٤٦	١٠	
٥٤٣	١٦٨	١٠٥	-	٣٠	
لابوجد	٢١٤	٢٦١	-	٥٠	

- ح - ٢ - المواد العضوية الذائبة .
- ح - ٢ - ١ مقدمة .
- ح - ٢ - ٢ الطرق والوسائل .
- ح - ٢ - ٣ النتائج .
- ح - ٢ - ٤ المناقشة .
- ح - ٢ - ٥ الخلاصة .

ح - - المواد العضوية الذائبة :

ح - ٢ - ١ - مقدمة :

تؤثر المواد العضوية تأثيرا هاما على بيولوجية وكمائية وطبيعة مياه البحار . حيث ثبت أن الاتاجية الأولية تتأثر بوجود المواد العضوية الذائبة في مياه البحار (Barber, 1968; Prakash, 1975; Rashid, 1975; Sunda, 1975;) وكذلك فان الكربون العضوي قد يكون مصدرا للطاقة لبعض الكائنات البحرية في أعماق البحار (Craig, 1970; Wangersky, 1972) وتؤثر المواد العضوية في مياه البحار على الخط الفاصل بين سطح الماء والهواء . حيث أن المواد العضوية الذائبة ترفع من لزوجة ماء البحر وكذلك توثره السطحي وظاهرة التلاؤ التي تلاحظ على سطح البحر (Gorrett, 1974; Blan chard, 1964; Barger et al., 1972; & 1967) وللمواد العضوية دور هام في العمليات الكيميائية التي تم عند السطح الفاصل بين قاع البحر وسطح الرواسب البحرية وكذلك فان عمليات التبادل الأيوني (Rashid, 1969) وترسب الكالسيت (Chave and Suess, 1970) كلها تتأثر ب المباشرة بالمواد العضوية الذائبة في مياه البحار . وتؤثر عمليات أكسدة المواد العضوية في مياه البحار تأثيرا عظيما على جهد الأكسدة في مياه البحار التي تؤثر مباشرة وبحدة على بيولوجية وكمائية المنطقة حيث أنه في حالات خاصة في الكتل المائية العدبية والمحدودة الدوران يسبب استهلاك الأكسجين في المنطقة إلى ظروف مختزلة مؤقتة أو دائمة قد تؤدي إلى انعدام الحياة في المنطقة .

ويعتبر وجود المواد العضوية في مياه البحار أحد العوامل الهاامة في نمو الفيتو بلانكتون حيث ثبت أن وجود كميات معتدلة من المواد العضوية تزيد من نمو البلانكتون .

وتذكر أهمية المواد العضوية في نمو البلانكتون في كونها مواد أساسية للنمو مثل الفيتامينات ، وكذلك تقوم المواد العضوية بالاتحاد مع بعض العناصر النادرة لتكون بعض المركبات المعقدة في صورة ذائبة تجعلها قابلة للاستخدام من قبل الكائنات البحرية الدقيقة . وعلى سبيل المثال فإتحاد المركبات العضوية مع الزنك تكون مركبات ثابتة وذائبة تكون في صورة قابلة للامتصاص والاستخدام بواسطة البلانكتون والطحالب الدقيقة . وتعمل المواد العضوية كذلك على زيادة ذوبان المواد الميدرو كربونية الى حوالي الضعف (Bolhm & quinn, 1973) .

ويعتبر الفيتو بلانكتون من أهم المصادر التي تضيف مواد عضوية الى البيئة البحرية ، حيث أن خلايا البلانكتون الحية تخرج بعض محتوياتها العضوية الى ماء البحار حوالي من $10 - 25\%$ من المحتوى العضوي في الخلية الحية (Hellebust, 1974) وذلك يضيف الى مياه البحار حوالي 6×10^{10} جم / كربون / سنة . وبعد موت خلايا البلانكتون فانها تبدأ في التعرض لعمليات تحلل مختلفة تضيف الى البيئة البحرية حوالي 8×10^{10} جم / كربون / سنة .

٤ - ٢ - الطرق والوسائل :

لقد جمعت عينات مائة من عشر محطات مماثلة (شكل ١) وذلك من أعماق صفر ، ١٠ ، ٣٠ ، ٥٠ متر خلال أشهر نوفمبر ١٩٨١ ، فبراير و مايو و نوفمبر ١٩٨٢ . و تم ترشيح العينات مباشرة باستخدام أغشية ترشيح زجاجية Whatman, GF/C وقد سبق حرقها عند درجة ٥٤٥°C و تحت ضغط ٥٠ سم / زئبق ثم ثبت العينات باضافة محلول مشبع من كلوريد الزئبق (١ سم^٣ / لتر) ثم حفظت العينات عند - ٥٢°C الى حين القيام بالتحليل .

لقد تم تعين الكربون العضوي الذائب DOC في العينات بطريقة الأكسدة الرطبة باستخدام ثان كرومات البوتاسيوم الحمضية - طبقاً لطريقة (Maciolek, 1962; Strickland & Parsons, 1972) بعد تبخير ١٠٠ مل من العينة الى الجفاف يضاف كمية معلومة من ٤٠٠ مل ثان كرومات البوتاسيوم الحمضية ، ويوضع الخليط في فرن تسخين عند ١١٠°C . وبعد ذلك تعاير الزيادة من ثان كرومات البوتاسيوم باستخدام كبريتات الحديدوز الأمونيومية .

وقد تم تعين المواد الكربوهيدراتية الكلية TCHO والأحادية MCHO مباشرة بعد الترشيح وذلك باستخدام طريقة 3 - Methyl 2 - Benzothiazolinone Hydrochloride (MBTH) (Johnson & Sieburth, 1977; Burney & Sieburth, 1977) بطرح MOHO من TCHO وقد استخدم في هذه الطريقة عينات قياسية على درجة عالية من النقاوة من الجلو كوز والمانitol بتركيزات من ١٢٥ الى ١٠٠٠ ميكروجرام وحللت بنفس الطريقة .

أما البيتروجين العضوي DON فقد عين بطريقة ميكرو كلداهل طبقاً لطريقة & (Strickland, 1972) Parsons, ثم عدلت النتائج بطرح القيم الخاصة بتركيز الأمونيا الحرة في العينة .

وقد تم تعين الدهون الذائبة DL في مياه البحار بالطريقة الوزنية باستخدام عدد ١٠ لترات من العينة باستخدام الكلوروفورم - بعد ترشيحها وتحميصها باستخدام حامض الكبريتيك . أما الفوسفور العضوي الذائب DOP فقد تم تعينه باستخدام أنزيم Alkaline Phosphatase طبقاً (Soloranzo & Strickland, 1966) لطريقة كل القياسات اللونية تم قياسها باستخدام جهاز Spector ophotometer, Pay Unicam SP 500) التبخر ثم عند درجة ٥٠°C تحت ضغط منخفض وكل الكيماويات المستخدمة من النوع العالى النقاوة والمذبيات العضوية تم تقطيرها مرتين قبل الاستخدام . والنتائج المسجلة هى عبارة عن متوسط لثلاث قرأت .

٤ - ٣ - النتائج :

سجلت نتائج الـ TCHO, PCHO, MCHO, DOP, DL, DON, DOC في الجداول رقم (١)، (٢)، (٣)، (٤).

ترواحت قيمة الـ DOC من ٧٦٦ إلى ٣٠٠٧ ميكروجرام - كربون / لتر (متوسط ١٥٧٠ ميكروجرام - كربون / لتر) في شهر نوفمبر ١٩٨١ ، من ٦٣٧ إلى ١٨٣٥ ميكروجرام كربون / لتر (متوسط ١١٤١ ميكروجرام - كربون / لتر) في شهر فبراير ١٩٨٢ ، من ٧٣٠ إلى ٢٧١٩ ميكروجرام - كربون / لتر (متوسط ١٣٤٨ ميكروجرام - كربون / لتر) في شهر مايو ١٩٨٢ ، من ٦٤٠ إلى ٣١١٧ ميكروجرام كربون / لتر (متوسط ١٥٥٩ ميكروجرام كربون / لتر) في شهر نوفمبر ١٩٨٢ .

تغيرت قيمة التيروجين العضوي DON من ٢١٤ إلى ٨٩٠ ميكروجرام - نتروجين / لتر (متوسط ٤٦١ ميكروجرام - نتيروجين / لتر) وذلك في شهر نوفمبر ١٩٨١ ، من ١٧١ إلى ٥٥٨ ميكروجرام - نتروجين / لتر (متوسط ٣٥٥ ميكروجرام - نتروجين / لتر) وذلك في شهر فبراير ١٩٨٢ ، من ٢٠٩ إلى ٧١٨ ميكروجرام نتيروجين / لتر (متوسط ٣٧٩ ميكروجرام نتيروجين / لتر) وذلك في شهر مايو ١٩٨٢ ، من ١٩٢ إلى ٩٥٣ ميكروجرام نتيروجين / لتر (متوسط ٤٧٦ ميكروجرام - نتيروجين / لتر) وذلك في شهر نوفمبر ١٩٨٢ .

وقد لوحظ تغير في تركيز الدهون الذائبة DL من ١٣٦ إلى ٤٧٨ ميكروجرام / لتر (متوسط ٤٧٨ ميكروجرام / لتر) وذلك في شهر نوفمبر ١٩٨١ ، من ١٠٥ إلى ٢٨٩ ميكروجرام / لتر (متوسط ١٨٧ ميكروجرام / لتر) وذلك في شهر فبراير ١٩٨٢ ، من ١١٩ إلى ٤٥٣ ميكروجرام / لتر (متوسط ٢١٥ ميكروجرام / لتر) وذلك في شهر مايو ١٩٨٢ ، من ١٠٦ إلى ٤٧٦ ميكروجرام / لتر (متوسط ٢٣٦ ميكروجرام / لتر) وذلك في شهر نوفمبر ١٩٨٢ .

وقد تراوحت كمية الفوسفور العضوي DOP من ٦٨٠ إلى ١٣٢ ميكروجرام ذرة - فوسفور / لتر (متوسط ١٢٨ ميكروجرام ذرة - فوسفور / لتر) وذلك في شهر نوفمبر ١٩٨١ ، من ٤٤٥ إلى ٤٤٨ ميكروجرام ذرة - فوسفور / لتر (متوسط ١٤٨ ميكروجرام ذرة - فوسفور / لتر) وذلك في شهر فبراير ١٩٨٢ ، من ٥٣٥ إلى ٥٣٩ ميكروجرام ذرة - فوسفور / لتر (متوسط ٩٤٩ ميكروجرام ذرة - فوسفور / لتر) وذلك في شهر مايو ١٩٨٢ ، من ٥٣٥ إلى ٦٦٢ ميكروجرام ذرة - فوسفور / لتر (متوسط ٢٦٢ ميكروجرام ذرة - فوسفور / لتر) وذلك في شهر فبراير ١٩٨٢ .

وتراوحت قيمة السكريات الأحادية MCHO من ١٣٤ إلى ٤١٧ ميكروجرام هكسوز / لتر (متوسط ٢٤٥ ميكروجرام هكسوز / لتر) وذلك في شهر نوفمبر ١٩٨١ ، من ٩٠ إلى ٣١٦ ميكروجرام هكسوز / لتر (متوسط ١٨٧ ميكروجرام هكسوز / لتر) وذلك في شهر فبراير ١٩٨٢ ، من ١٠٨ إلى ٤١٥ ميكروجرام هكسوز / لتر (متوسط ٢٠١ ميكروجرام هكسوز / لتر) وذلك في شهر مايو ١٩٨٢ ، من ٨٨ إلى ٤٣٣ ميكروجرام هكسوز / لتر (متوسط ٢٢٨ ميكروجرام هكسوز / لتر) وذلك في شهر نوفمبر ١٩٨٢ . وتغيرت قيمة السكريات الكلية TCHO من ٢٩١ إلى ١١٣٢ ميكروجرام هكسوز / لتر (متوسط ٦٢٦ ميكروجرام هكسوز / لتر) وذلك في شهر نوفمبر ١٩٨١ ، من ٢٢٢ إلى ٧٧٢ ميكروجرام هكسوز / لتر (متوسط ٤٧٩ ميكروجرام هكسوز / لتر) وذلك في شهر فبراير ١٩٨٢ ، من ٣١٧ إلى ١١٦٠ ميكروجرام هكسوز / لتر (متوسط ٥٦١ ميكروجرام هكسوز / لتر) وذلك في شهر مايو ١٩٨٢ ، من ٢٥١ إلى ١١٦٢ ميكروجرام هكسوز / لتر (متوسط ٦١٠ ميكروجرام هكسوز / لتر) وذلك في شهر نوفمبر ١٩٨٢ . أما السكريات العديدة PCHO فقد تراوحت من ١٥٧ إلى ٧١٥ ميكروجرام هكسوز / لتر (متوسط ٣٨١ ميكروجرام هكسوز / لتر) وذلك في شهر نوفمبر ١٩٨١ ، من ١٤٢ إلى ٤٥٦ ميكروجرام هكسوز / لتر (متوسط ٢٩٢ ميكروجرام هكسوز / لتر) وذلك في شهر فبراير ١٩٨٢ ، من ٢٠٦ إلى ٧٤٥ ميكروجرام هكسوز / لتر (متوسط ٣٦٠ ميكروجرام هكسوز / لتر) وذلك في شهر مايو ١٩٨٢ ، من ١٦٣ إلى ٧٧٩ ميكروجرام هكسوز / لتر (متوسط ٣٨٢ ميكروجرام هكسوز / لتر وذلك في شهر نوفمبر ١٩٨٢ .

٤ - ٢ - المناقشة :

تعتبر هذه الدراسة الأولى من نوعها على هذه المنطقة . ولذلك – فلا يوجد نتائج على هذه المنطقة حتى يمكن مقارنتها بنتائج التقرير الحالية .

بالنسبة للتغيرات المشاهدة في تركيز الكربون العضوي ، فقد وجد أن أعلى تركيز يقع في الخريف والربيع (جدول ١) أي بعد فترة ازدهار البلانكتون . من الناحية البيولوجية فإن التغير في محتوى الكربون العضوي يحدث نتيجة لعاملين أساسيين :

(أ) افراز المواد العضوية من البلانكتون في مراحل حياتها المختلفة وكذلك انطلاق المواد العضوية من نفايات الكائنات البحرية الحيوانية والنباتية .

(ب) استخدام المواد العضوية بواسطة الكائنات البحرية الأخرى . وعلى ذلك فإن قياس تركيز المواد العضوية عند أي نقطة في أي وقت يعني الحصولة بين هذين العاملين (Wangersky, 1978)

ويعتبر افراز المواد العضوية من خلايا البلانكتون الحية من المظاهر الصحية لهذه الخلايا (Mague et al., 1981 و Storch & Saunders, 1987) ويلاحظ كذلك زيادة تركيز المواد العضوية الذائبة في نهاية الازدهار حيث يفسر على أنه ناتج من افراز المواد العضوية بكميات كبيرة من خلايا البلانكتون المسنة (Giullard & Wangersky, 1958) وتم عملية الافراز بطريقة طبيعية من البلانكتون أو أثناء رعى الروبيانات على الفيتو بلانكتون حيث تكسر الخلايا وتخرج محتوياتها العضوية إلى ماء البحر .

يلاحظ أن تركيز الكربون العضوي يكون أعلى ما يمكن في شهر نوفمبر (جدول ١) وذلك لأن شهر نوفمبر قد يكون نهاية دورة الازدهار الثانية التي تم في فصل الخريف . أما التركيز في شهر مايو فهو أقل من شهر نوفمبر لأن البلانكتون في شهر مايو قد يكون لازال في فترة الازدهار التي تنتهي في أوائل شهور الصيف . أما في شهر فبراير فإن التركيز يكون أقل مما يمكن لأنه لا يوجد فترات ازدهار في شهور الشتاء . ولذلك يكون تركيز المواد العضوية في الشتاء في أقل معدل . ويلاحظ أن أعلى معدل للكربون العضوي يقع في المحطات ٦ ، ٧ ، ١٠ ، (جدول رقم ١) ، وهذا يمكن تفسيره على أن هذه المحطات تقع بالقرب من موانيء رابغ ، بينما حيث تساعد الحياة الأدبية على الشوطىء في إثراء المنطقة بالمواد العضوية التي قد تصل إلى البحار بواسطة عدة طرق مختلفة منها - المخلفات الأدبية أو عن طريق عوامل التلوث المختلفة التي تنشأ مع التمدن والعمان .

وعلى العكس فإنه يلاحظ أن أقل محتوى للكربون العضوي يقع في محطات رقم ٤ ، ٣ ، ٢ ، ١ (جدول رقم ١) وذلك لأنها تقع بعيدة إلى حد ما عن مناطق العمران المختلفة مما يجعل محتواها العضوي يعتمد كلياً على الانتاجية الأولية في المنطقة بعكس المحطات الأخرى التي تعتمد في محتواها العضوي بجانب الانتاجية الأولية على المصادر الأرضية المختلفة .

وبمقارنة المحتوى الكربون العضوي الذائب في منطقة الدراسة مع المناطق الأخرى ، نلاحظ أن التركيز المشاهد يماثل التركيزات المشاهدة في البحار المفتوحة والمحيطات ، حيث سجل (Burney, 1979) في منطقة شمال الأطلسي تركيزات تتراوح بين ٥٧٠ إلى ١٣٣٠ بمتوسط ٩٤٠ ميكروجرام كربون عضوي / لتر ، وقد سجل (Ittekkot, 1982) تركيزات من ٦٠٠ إلى ١٦٠٠ ميكروجرام كربون عضوي / لتر في منطقة بحر الشمال . وهذه من المناطق التي تعتبر فقيرة في محتوى الكربون العضوي الذائب ، وهذا المعدل يقل عمما قد سجل بالنسبة للمناطق الساحلية المماثلة لمنطقة الدراسة .

وعند دراسة توزيع الكربون العضوي الذائب في العمود المائي نلاحظ بصورة عامة تركيز المواد العضوية يكون أقل عند السطح . وهذا يعني أن كتل الماء تتركز في المناطق المائية التحت

سطحية وذلك بسبب الارتفاع الشديد في درجة حرارة الجو وسطح الماء الذي قد يصل في بعض الأحيان إلى ٥٤٠ م ، وكذلك لصفاء الجو في المنطقة وشدة أشعة الشمس وشفافية مياه البحر العالية التي تسمح بنفاذ أشعة الشمس القوية إلى أعماق كبيرة .

يعتبر النيتروجين العضوي من المركبات الهامة في مياه البحر حيث أنه يمثل بصفة خاصة تركيز الأحماض الأمينية والبيتيدات الذائية في مياه البحر . وتنشأ أهمية هذه المركبات في أنها تكون مركبات معقدة مع الكاتيونات Cations الهامة نحو الكائنات البحرية مثل الزنك ، وتكون هذه المركبات عادة ذائية في الماء مما يجعلها في صورة قابلة للامتصاص والاستخدام بواسطة الكائنات البحرية .

وقد تستخدم هذه الأحماض الأمينية كمصدر للنيتروجين في بعض الكائنات البحرية الدقيقة .

ويلاحظ في منطقة الدراسة أن أعلى معدل للنيتروجين قد ظهر في خلال شهر نوفمبر ١٩٨٢ أي عقب دورة اردهار البلانكتون ، وذلك لأن البلانكتون في هذا الوقت قد أصبحت هرمة حيث تبدأ في التحلل ذاتياً أو بواسطة البكتيريا التي تعمل على تحمل محتويات هذه الخلايا مضيفة إلى البيئة كميات عظيمة من المواد العضوية . ويقع أعلى معدل للنيتروجين العضوي في محطات رقم ٦ ، ٧ ، ١٠ (جدول رقم ١) وذلك لأن هذه المحطات تستقبل المخلفات من الأرض نتيجة للعمان المتواجد بالقرب منها .

وبمقارنة النتائج التي تم الحصول عليها مع مثيلاتها في مناطق أخرى ، نجد أنها تتوافق تماماً مع نتائج (Solorzano & Ehrlich, 1979) في البحر الاسكتلندي حيث بلغ تركيز النيتروجين العضوي قيم تتراوح بين ٢١٧ إلى ٥٣٣ ميكروجرام نيتروجين عضوي يكون أعلى ما يمكن عند عمق ٥٠ متراً . ويمكن تفسير ذلك على أساس أن خلايا البلانكتون الهرمة تحول إلى جسيمات معلقة تهبط في عمود الماء حيث تبدأ عملية التحلل الذائية وغير ذاتية بواسطة البكتيريا في مناطق تحت سطحية متتجة كميات كبيرة من الأحماض الأمينية والمركبات النيتروجينية العضوية الأخرى .

تعتبر الدهون الذائية في مياه البحر من المركبات التي تعطي دلالة واضحة على ثراء المنطقة بالأحياء البحرية . حيث تنتج الدهون والأحماض الدهنية في البحر والحيطان أما بواسطة الإفراز من الكائنات البحرية الهامة أو من بعض الطحالب . وقد تكون الأحماض الدهنية نتيجة لبعض النشاطات البكتيرية على بعض المركبات الهيدروكربيونية البيوجونية أو الأكسوجونية (Beach et al., 1970; Harrington et el., 1970; Billmore & Aoronson, 1976)

ويتبع توزيع الدهون في المنطقة نفس الاتجاه العام بالنسبة للكربون العضوي الذائب ، حيث سجل أعلى تركيز للدهون الذائبة في محيطات رقم ٥ ، ٦ ، ٧ ، ١٠ (جدول رقم ٢) وأقل تركيز للدهون الذائبة في محيطات رقم ١ ، ٢ ، ٣ (جدول رقم ٢) .

وقد سجل (Jeffrey, 1970) تركيز الدهون الذائبة في المياه الساحلية خليج المكسيك بين ١٥٠ و ١٥٩٠ ميكروجرام / لتر ، وهى تظهر بعض التمايز مع النتائج المشاهدة في منطقة الدراسة . وتعتبر الدهون الذائبة من الأهمية بمكان للتعميل الغذائي في بعض الكائنات البحرية حيث أن الكربون المثبت بواسطة التمثيل الضوئي في البلانكتون يتتحول جزء كبير منه إلى دهون وأحماض دهنية يحدث لها افراز في المنطقة حيث تستعمل بواسطة كائنات بحرية أخرى . وقد ثبت أن حوالي ٢٠٪ من كل الكربون المثبت بواسطة التحلل الضوئي يظهر في صورة دهون في بعض الحيوانات البحرية (Von Holt & Von Holt, 1968)

يرتبط تركيز الفوسفور العضوي ارتباطاً وثيقاً بنشاط الفيتوبلانكتون والانتاجية الأولية حيث أن عنصر الفوسفور في مركباته الغير عضوية يحدث له امتصاص داخل خلايا البلانكتون ويتحول إلى فوسفور عضوي في صورة مركبات أستر مع السكريات والدهون الفوسفاتية والمركبات العضوية الأخرى التي يحدث لها بعد ذلك افراز في البيئة البحرية ، حيث يزداد تركيز الفوسفور العضوي أثناء فترة ازدهار البلانكتون وتحدث هذه الزيادة على حساب الفوسفور الغير عضوي الذي يحدث له استنزاف في نفس الوقت . وفي منطقة الدراسة يلاحظ أن تركيز الفوسفور العضوي يكون أعلى ما يمكن في أشهر نويفمبر أي عقب الازدهار . وفي أثناء فترة الازدهار في شهر مايو (جدول رقم ٢) وتكون التركيزات أقل مما يمكن في أشهر الشتاء التي لا تكون مصحوبة بفترات ازدهار للبلانكتون .

ويبلغ متوسط تركيز الفوسفور العضوي في البحر الأسكتلندي حوالي ١٢ ر. ٥ إلى ٥٥ ميكروجرام ذرة فوسفور / لتر (Solorzano & Ehrlich, 1979) وهذه النتائج تتوافق مع مشاهداتنا في منطقة الدراسة .

نلاحظ التغيرات الفصلية واضحة جداً في دراسة المواد الكربوهيدراتية الذائبة في مياه البحار ، حيث أنها من أهم نتائج التمثيل الضوئي في الفيتوبلانكتون التي لا تثبت أن تفرز من الخلية إلى البيئة المحيطة . وقد حظت دراسة المواد الكربوهيدراتية في مياه البحار بدراسات كثيرة بطرق عددة تعتمد على طريقة الفصل والتقطير (Degens et al., 1964; Degens, 1970; Mopper, 1977)

وقد أعطت هذه الدراسات نتائج تتفق مع مشاهداتنا لمحيطات الدراسة ويلاحظ من الدراسة مدى تأثر تركيز المواد الكربوهيدراتية الفيتوبلانكتون حيث يكون التركيز أعلى مما يمكن في أشهر الازدهار وما بعدها . ويكون أقل مما يمكن في أشهر الشتاء الحالية من الازدهار .

بمقارنة النتائج المشاهدة في منطقة الدراسة - بالدراسات الخاصة بـ (Sellner, 1968) على مياه بحر سار جاسو والبحر الكاريبي وشواطئ بيرو حيث نلاحظ أنه قد سجل للكربون العضوي الذائب ٩٠،١٤ جم كربون / م^٢ / ساعة في البحر الكاريبي وشواطئ بيرو على التوالي . نلاحظ أن هذه النتائج تعتبر مرتفعة جدا بالنسبة للمشاهد في منطقة الدراسة . وهذا يعكس مدى فقر منطقة الدراسة بالمواد العضوية الذائبة بالنسبة لمنطقة غنية بالحياة مثل شواطئ بيرو . وحيث أن دورة الحياة في البحار تعتبر دائرة متصلة اذا ضعفت احدى حلقاتها ضعفت باق الحلقات ، وحيث أن المنطقة تعتبر من المناطق الفقيرة في الأملام الغذائية فهذا يجعلها فقيرة في كتل المأهومات النباتية التي هي بداية الهرم الغذائي في البحار . ولأن المواد العضوية الذائبة ترتبط ارتباطا وثيقا بكل المأهومات النباتية فان فقر المنطقة في المأهومات النباتية انعكس مباشرة على تركيز المواد العضوية الذائبة الا في بعض المحطات مثل محطة رقم ٧ ، ٨ ، ٩ ، ١٠ حيث تلاحظ تركيز معتدل في المواد العضوية - الذي يعكس بدوره زيادة كتل المأهومات النباتية في هذه المناطق التي بالتالي تشير الى ثراء هذه المحطات بالحياة النباتية والحيوانية - مقارنة بالمحطات الأخرى في منطقة الدراسة .

جدول رقم (١)

توزيع الكربون العضوي الذائب والبيروجين العضوي الذائب

في منطقة الدراسات

البيروجين العضوي الذائب (ميکروجرام نیتروجين / لتر)				الكربون العضوي الذائب (ميکروجرام كربون / لتر)				العمق (متر)	رقم المخطة
نوفمبر ١٩٨٢	مايو ١٩٨٢	فبراير ١٩٨٢	نوفمبر ١٩٨١	نوفمبر ١٩٨٢	مايو ١٩٨٢	فبراير ١٩٨٢	نوفمبر ١٩٨١		
٢٩٤	٢١٤	٢٠٣	٢٦٤	٨٣٢	٧٤٥	٦٣٧-	٨٧١	صفر	١
٣٦٠	٢٢٠	٢٤٩	٢٩٧	١٠٢٢	٧٦٧	٨١٥	٩٩٥	١٠	
٣٩٠	٢٣٦	٢٧١	٣٠٩	١٠٣٠	٩١٥	٨٢١	١٠٧٧	٣٠	
٣٩١	٣١٥	٢٦٦	٣١٨	١٠٦٤	١٠٥٢	٨٣٥	١٠٩٨	٥٠	
٤٨٣	٣٨٥	٣٦٦	٤٤١	١٦٤٤	١٢٤٦	١١٥٠	١٥٤٣	صفر	٢
٤٥٩	٢٩٤	٣٢١	٤٤٠	١٥٣١	١٠٢٣	٩٨٠	١٤٧٣	١٠	
٤٣١	٣٣٦	٣٠٢	٤٢٩	١٥٣٠	١٢٦٤	١٠٠٥	١٤٣٦	٣٠	
٤٠٦	٤٠٢	٣٦٠	٤٢١	١٥٣٦	١٣٩٩	١١٣٠	١٤٤٢	٥٠	
٤٣٠	٣٢٣	٣٤٧	٣٦٧	١٣٤٤	١١٥٧	١٠٩١	١٢٦٠	صفر	٣
٢٣٠	٣٥٤	٣٤٢	٣٥١	٧٦٨	١٢٠٣	١١٣٧	١١٧٦	١٠	
٣٥٩	٣٥٨	٣٧٠	٣٧١	١٣١٨	١٣٤١	١١٦٠	١٢٧١	٣٠	
٤١٤	٣٨٧	٣٨٨	٤٢٧	١٤٧١	١٣١٧	١٢١٩	١٤٣١	٥٠	
١٩٢-	٢٩٩-	٢٢٠	٢١٤-	٦٤-	٧٣٠-	٦٩١-	٧١٦-	صفر	٤
٣٦٦	٢١٦	٢٧٣	٣٦٤	١٢٥٦	٩١٠	٨٥٦	١٢٢٠	١٠	
٤١٠	٣٤٧	٣٤٢	٣٩٨	١٣٦٧	١٣٠١	١٠١٧	١٢٩٨	٣٠	
٤٦١	٣٨٤	٣٣١	٤٠٧	١٥٣٨	١٣٧٧	١٠٨٠	١٤٦٣	٥٠	
٥٥٣	٤٨٣	٤٠٦	٥١٨	١٧٨٤	١٥٢٣	١٤٤٥	١٨٠١	صفر	٥
٣٥٤	٤٦٣	٤٢٦	٣٦٣	١١٥٢	١٦١٢	١٤٥٠	١٢١٥	١٠	
٤٥٢	٥٣٥	٤٦٢	٤١٢	١٤١٩	١٩٣٠	١٥١٣	١٣٧٩	٣٠	
٦٠٤	٤٦٠	٥٤٠	٥٩١	٢٠١٦	١٦٠١	١٧٠٨	٢١١٢	٥٠	
٨٦٦	٥١٠	٤٨٧	٦١٥	٢٢٨٨	١٧٧٤	١٥٠١	١٢٩٣	صفر	٦
٧٧٢	٤١٨	٤٨٩	٧١٢	٢٤٢٥	١٦٧٣	١٥٣٣	٢٥١٧	١٠	
٥٢٨	٣٤٩	٥٤٥	٦٩٠	١٩٤٣	١٢٤١	١٧٠٩	٢٣١٠	٣٠	
٣٩١	٢٩٢	٥٥٨+	٧٢١	١٢٨٣	١٠١٨	١٨٣٥٤	٢٥١٠	٥٠	

تابع جدول رقم (١)

البيروجين العضوي الذائب (ميکروجرام نيتروجين / لتر)				الكريون العضوي الذائب (ميکروجرام كربون / لتر)				العمق (متر)	رقم المخطة
نوفمبر ١٩٨٢	مايو ١٩٨٢	فبراير ١٩٨٢	نوفمبر ١٩٨١	نوفمبر ١٩٨٢	مايو ١٩٨٢	فبراير ١٩٨٢	نوفمبر ١٩٨١		
٤٤٦	٣٧٧	٣٧٩	٤٢١	١٤٧٢	١٣١٢	١٢٤٥	١٣٧٩	صفر	٧
٦٨٤	٥٠٧	٣٦٥	٥٦٨	٢١٦٠	١٧٦٣	١١١٩	١٩٦٨	١٠	
٨٥١	٦٣٤	٤٢٧	٦٦٩	٢٨٢٣	٢٢٣٧	١٣٤١	٢٣٣٠	٣٠	
٩٥٣+	٧١٨+	٤٤٨	٨٩.+	٣١١٧+	٢٧١٩+	١٥١٩	٣٠٠٧+	٥٠	
٣٢٥	٣٠٨	١٧١-	٣٢٣	١٠٤٠	١٠٧٣	٨٣٥	١١٢	صفر	٨
٣٤١	٢٦٨	٢٦٩	٣٧٤	١١٥٣	٩٩٧	٩٣٠	١١٦١	١٠	
٤١٥	٣٥٤	٣٧٦	٣٩.	١٤٣١	١٢٠١	١١٥١	١٣٧٢	٣٠	
٤٠٧	٣٤٢	٤٣٢	٣٧١	١٢٣٧	١١٩٧	١٣٢٩	١٣٠٩	٥٠	
٣٥٥	٢٨٦	٢٦٠	٣٢٨	١١٨٤	٩٥٣	٨١٧	١٠٩٨	صفر	٩
٣٧٨	٣٤٥	٢٩٧	٣٥٨	١٢٩٠	١٢٣٣	٩٦٥	١١٩٩	١٠	
٤٦٠	٤٣١	٣٩٩	٤٣٢	١٤٧٤	١٥١٦	١٢٥١	١٤١٦	٣٠	
٥٧٨	٥١١	٤٢٦	٥٠١	١٩٨٥	١٧٧٧	١٣٣٧	١٧٥٣	٥٠	
٢٨٨	٢٧٨	٢٣٤	٣١١	٩٦٠	٩٩٨	٧٦٣	١٠١٥	صفر	١٠
٦١٤	٣٧٧	٢٥٧	٦٦٠	٢١٣٧	١٣١١	٨٠٦	٢٢٠٩	١٠	
٦٩٠	٤٥٣	٣٠٤	٦٩٠	٢٢٠٢	١٥٤١	٩٥٣	٢٣٧٦	٣٠	
٦٩٤	٥١٧	٣١٩	٧٣٦	٢٣١٥	١٩٨٧	٩٧٠	٢٥٣١	٥٠	
٤٧٦	٣٧٩	٣٥٥	٤٦١	١٥٥٩	١٣٤٨	١١٤١	١٥٧٠	المتوسط	

(+) تعنى القيم العظمى .
(-) تعنى القيم الدنيا .

جدول رقم (٢)

توزيع الدهون الذائية والفوسفور العضوي الذائب

في منطقة الدراسات

الفوسفور العضوي الذائب (ميكروجرام ذرة فوسفور / لتر)				الدهون الذائية (ميكروجرام لتر)				العمق (متر)	رقم المخطة
نوفمبر ١٩٨٢	مايو ١٩٨٢	فبراير ١٩٨٢	نوفمبر ١٩٨١	نوفمبر ١٩٨٢	مايو ١٩٨٢	فبراير ١٩٨٢	نوفمبر ١٩٨١		
٦٨	٥٣-	٥٧	٨٠	١٢٥	١٢٠	١٠٥-	١٤١	صفر	١
٩٥	٦٤	٦١	٨٣	١٧٠	١٢٨	١٣٩	١٦٦	١٠	
٨٤	٨٣	٦٦	٨٧	١٥٩	١٦٤	١٤٦	١٨١	٣٠	
٨٠	٧٢	٧١	٧٢	١٦٠	١٨٦	١٣٨	١٧٨	٥٠	
١٠٥	٨٥	٨٥	١٣	٢٤٦	١٩٩	١٩٨	٢٤٨	صفر	٢
١٢٤	٦٢	٧١	٤٥	٢١٩	١٦٣	١٦٥	٢٥٩	١٠	
١١٥	٩١	٧٤	٥١	٢٠١	٢٠٢	١٦٥	٢٢٣	٣٠	
١٠٩	٥٩	٨٥	٣١	٢٣٠	٢٤٢	١٦٨	٢٤٣	٥٠	
١١٦	٨٢	٧٢	٩١	٢١١	١٨٥	١٨٠	٢١٤	صفر	٣
٧٢	٨٩	٦٩	١٧	١١٥	١٨٢	١٧٤	١٩٠	١٠	
٨٩	٩٧	٩٣	١١	١٧٩	٢١٤	٢٠٢	٢٠٦	٣٠	
١١٢	٩٨	٩٧	٢٧	٢٢٠	٢١٠	٢٠١	٢٢٣	٥٠	
٥٣-	٥٤	٥٩	٦٨-	١٠٦-	١١٩-	١١٤	١٣٦-	صفر	٤
١٠٩	٦٣	٦٠	٩٦	٢١٨	١٥٤	١٤٦	١٩٨	١٠	
١١٨	١٠٢	٧٥	١١	٢٣٥	٢٠٨	١٧٤	٢١٠	٣٠	
١٣١	٩٤	٨١	١٤	٢٦٨	٢٢٠	١٧٩	٢٣٧	٥٠	
١٥١	١١٢	٢٢	٢٨	٢٧٦	٢٣٤	٢١٠	٢٧٩	صفر	٥
٨٤	١٥٩	١١٠	٦٦	١٧٢	٢٨٥	٢١٩	٢١٧	١٠	
١٦	١٤٥	١٧	١٢	٢١٢	٣٠٩	٢٣٩	٢٣٢	٣٠	
١٥٧	٢٥	٢٣	٦٣	٢٩٢	٢٦٥	٢٨٦	٣٢٤	٥٠	
١٧٣	١٠٥	٢١	٦٧	٣٣٤	٢٤٨	٢٥٢	٣٥٥	صفر	٦
١٨١	١١٥	٣٠	٨٨	٣٣٦	٢٦٨	٢٧٣	٣٩١	١٠	
١٥٦	٧٥	٣٧	٩٢	٢٩١	١٨٩	٢٨٥	٣٥٤	٣٠	
١٠٩	٥٨	٤٨+	٠١	١٨٩	١٦٣	٢٨٩+	٤٠٧	٥٠	

تابع جدول رقم (٢)

الفوسفور العضوي الذائب (ميكروجرام ذرة فوسفور / لتر)				الدهون الذائبة (ميكروجرام لتر)				العمق (متر)	رقم الخطة
نوفمبر ١٩٨٢	مايو ١٩٨٢	فبراير ١٩٨٢	نوفمبر ١٩٨١	نوفمبر ١٩٨٢	مايو ١٩٨٢	فبراير ١٩٨٢	نوفمبر ١٩٨١		
١٢١	٨١	٨٤	١٦	٢٢٠	٢١٠	١٩٦	٢٣٢	صفر	٧
١٨٢	١٠١	٩٥	١٥٥	٣٢٤	٢٦٢	١٩٨	٣٢٢	١٠	
٢٣٧	١٥٦	١٠٧	١٩٥	٤٣٢	٣٨٥	٢١٢	٣٧٨	٣٠	
٢٦٨+	٢٠١+	٢٠٩	٢١٣٠	٤٧٦٤	٤٥٣٤	٢٢٣	٤٥٨	٥٠	
١٠٨	٨٠	٤٥-	٨٣	١٦٧	١٧١	١٠٨	١٨٠	صفر	٨
١١٣	٧٩	٥٧	١٢	١٩٣	١٩٥	١٣٩	١٨٨	١٠	
١٣٣	٨١	٧٤	١٠٥	٢٢٧	١٩٢	١٩٥	٢٢٢	٣٠	
١٣٤	٦٧	١٠٤	١٦	٢٠٣	١٧١	٢٤٢	٢٠٧	٥٠	
١٨٧	٧١	٦٥	٨٤	١٧٧	١٥٢	١٤٣	١٦٧	صفر	٩
١٠٦	٨٢	٦٣	٨٩	١٩٣	١٩٧	١٥٤	٢١٤	١٠	
١١٣	٦٧	٩٧	١٠٩	٢١٢	٢٢٤	٢٠٧	٢٢٩	٣٠	
١٤٥	٩٩	١٠٧	٦١	٢٧٩	٢٤٨	٢٢١	٢٨١	٥٠	
٦٢	٨٢	٦٥	٩٣	١٤٤	١٥٩	١٢٤	١٧٧	صفر	١٠
٦٧	٨١	٦٨	٢٠١	٣٢٠	٢٠١	١٣٣	٤٧٨+	١٠	
٧٤	٢١	٦٩	١٧٨	٣٥٤	٢٦٤	١٧٥	٣٥٨	٣٠	
٩٨	٢٥	٨٢	١٥٧	٣٧٤	٢٨١	١٦٥	٣٩٠	٥٠	
١٢٦	٩٤	٨٦	١٢٨	٢٣٦	٢١٥	١٨٧	١٥٧	المتوسط	

(-) تعنى القيم الدنيا .
(+) تعنى القيم العظمى .

جدول رقم (٣)

توزيع الكربوهيدرات الأحادية الذائبة والكربوهيدرات المعقدة والكربوهيدرات الكلية

في منطقة الدراسة

رقم الخطوة	العمق (متر)	الكربوهيدرات الكلية ميکرو جرام هکسوز / لتر				الكربوهيدرات المعقّدة ميکرو جرام هکسوز / لتر				الكربوهيدرات الأحادية ميکرو جرام هکسوز / لتر			
		نوفمبر ٨٢	مايو ٨٢	فبراير ٨٢	نوفمبر ٨١	نوفمبر ٨٢	مايو ٨٢	فبراير ٨٢	نوفمبر ٨١	نوفمبر ٨٢	مايو ٨٢	فبراير ٨٢	نوفمبر ٨١
١	صفر	٣٣٠	٣١٧-	٢٨٠	٣٥٧	٢١٨	٢٠٦-	١٦٦	٢١٣	١١٢	١١١	١١٤	١٤٤
	١٠	٤١٨	٣٤١	٣٤١	٣٧٩	٢٦٥	٢١٢-	٢٠٧	٢٣٤	١٥٣	١٢٩	١٣٤	١٤٥
	٢٠	٤١٠	٤٣٧-	٣٥٧	٤١٧	٢٧٥	٢٤٨-	٢١٥	٢٦١	١٣٥	١٨٩	١٤٢	١٥٦
	٥٠	٤٣٦	٤٦٩-	٣٦٨	٤٢٥	٢٦٦	٢٠٤-	٢٢١	٢٩٦	١٧٠	١٦٥	١٤٧	١٢٩
	٢	٦٦٦	٥١٠-	٤٨٦	٦٢٣	٤١١	٣١٣-	٢٩٥	٣٨٧	٢٥٥	١٩٧	١٩١	٢٣٦
	١٠	٦٠٩	٤٤٣	٤٢٤	٦٠٣	٣٨٢	٢٧٨-	٢٧٦	٣١٦	٢٢٧	١٦٥	١٤٨	٢٨٧
	٣٠	٦١٧	٥١٨-	٤١٧	٥٨٨	٣٩٠	٢٣٦-	٢٥١	٣١٥	٢٢٧	١٨٢	١٦٦	٣٧٣
	٥٠	٦٣١	٦٥٤	٤٨٩	٥٧١	٣٤٢	٤٢٥-	٢٩٩	٣٣٥	٢٨٣	١٢٩	١٩٠	٢٣٦
	٣	٤٣٤	٤٧٣-	٤٦٠	٤٩١	٣١٦	٢٩٧-	٢٨٩	٣٠٨	١١٨	١٧٦	١٧١	١٨٣
	١٠	٣٢٠	٤٥٨	٤٣٧	٤٨٢	١٩٢	٢٧٩	٢٥٨	٢٨٨	١٢٨	١٧٩	١٧٩	١٩٤
	٣٠	٥١٣	٥٧٠-	٥١٢	٥١٢	٣١٩	٣٧٠-	٢٩٨	٣١١	١٩٤	٢٠٠	٢١٤	٢٠١
	٥٠	٥٦٥	٥٦٠-	٥٣٦	٥٦٨	٣٥١	٣٦٤-	٣٢٣	٣٤٠	٢٠٤	١٩٦	٢١٣	٢٢٨
	٤	٢٥١-	٣١٨	٣٠١	٢٩١-	١٦٣-	٢١٠	١٨٣	١٥٧-	٨٨-	١٠٨-	١١٨	١٣٤-
	١٠	٤٩١	٤٠١	٣٦٧	٤٩٧	٣١	٢٦٩	٢٢٧	٢٩٩	١٩٠	١٣٢	١٤٠	١٩٨
	٣٠	٥١٧	٥٤٥	٤٣٧	٥٢٢	٣٢٧	٣٤٥	٢٦٥	٣٣٨	١٩٠	٢٠٠	١٧٢	١٨٥
	٥٠	٥٩٠	٥٦٨	٤٥٨	٥٩٩	٣٦٠	٣٧٩	٢٧٥	٣٦٥	٢٣٠	١٨٩	١٨٣	٢٢٤
	٥	٧٠٢	٦٤٢	٥٦١	٧٠٣	٤٤٦	٤١٧	٣٣١	٤٧١	٢٥٦	٢٢٥	٢٣٠	٢٣٢
	١٠	٤٦٠	٧٤٠	٥٨٩	٤٨٩	٢٨٨	٣٨١	٣٥٥	٢٩٧	١٧٢	٣٥٩	٢٣٤	١٩٢
	٣٠	٥٤٧	٨٠٢	٦١٩	٥٥٦	٣٤٥	٥١٢	٣٧٥	٣٣٧	٢٠٢	٢٩٠	٢٤٤	٢١٩
	٥٠	٨٠١	٦٩٨	٦٩٧	٨٥٦	٥٠٤	٤٣٥	٤٥٠	٥١٧	٢٩٧	٢٥٣	٢٤٧	٣٣٩
	٧	٨٦٢	٦٦٦	٦٥٤	٨٩١	٥٢٧	٣٩٩	٣٩٥	٥٧٣	٣٣٥	٢١٧	٢٥٩	٣١٨
	١٠	٩١٨	٧١٤	٦٦٧	٩٣١	٥٨١	٤٦٤	٤٠٧	٥٩١	٣٣٧	٢٥٠	٢٦٠	٣٤٠
	٣٠	٧٦٨	٥٠٤	٧٤٥	٩١٧	٤٥٨	٣٢٧	٤٤٥	٥٥٦	٣١٠	١٧٧	٣٠٠	٣٦١
	٥٠	٥١٩	٤٤٣	٧٧٢+	٩٨٢	٣٢٠	٢٧٨	٤٥٦+	٦١٥	٢٩٩	١٦٥	٣١٦+	٣٦٧

تابع جدول رقم (٣)

**توزيع الكربوهيدرات الأحادية الذاتية والكربوهيدرات المعقدة والكربوهيدرات الكلية
في منطقة الدراسة**

الكربوهيدرات الكلية ميكروجرام هكسوز / لتر				الكربوهيدرات المعقدة (ميكروجرام هكسوز / لتر)				الكربوهيدرات الأحادية (ميكروجرام هكسوز / لتر)				العمق (متر)	رقم المخطة
نوفمبر ٨٢	مايو ٨٢	فبراير ٨٢	نوفمبر ٨١	نوفمبر ٨٢	مايو ٨٢	فبراير ٨٢	نوفمبر ٨١	نوفمبر ٨٢	مايو ٨٢	فبراير ٨٢	نوفمبر ٨١		
٥٥٩	٥٦٠	٥٠٤	٥٥٦	٣٦٨	٣٦٤	٣١٥	٣٣٧	١٩١	١٩٦	١٨٩	٢١٩	صفر	٧
٨٤٧	٦٨٩	٤٩٥	٧٨٩	٥٤٠	٤٤٨	٣٠٤	٤٨٢	٣٠٧	٢٤١	١٩١	٣٠٧	١٠	
١١٢٤	٩٢٦	٥٧٠	٩٢٥	٦٩١	٥٨٧	٣٥٥	٥٥١	٤٣٣+	٣٣٩	٢١٥	٣٧٤	٣٠	
١٦٦٢+	١١٦٠+	٦٠٢	١١٣٢+	٧٧٩+	٧٤٥+	٣٦٣	٧١٥+	٣٨٣	٤١٥+	٢٣٩	٤١٧+	٥٠	
٤١٦	٤٦٥	٢٣٢-	٤٥١	٢٣٧	٣٠٢	١٤٢-	٢٨٢	١٧٩	١٦٣	٩٠-	١٦٩	صفر	٨
٤٣٠	٥١٠	٣٦٢	٤٦٧	٢٤١	٣٣١	٢٤٢	٢٦٤	١٨٩	١٧٩	١٢٠	٢٠٣	١٠	
٥٥١	٤٩٨-	٥٠٢	٥٦٢	٢٢٥	٣٣٢	٣١٣	٣٣٦	٢٢٦	١٦٦	١٨٩	٢٢٦	٣٠	
٥٠١	٤٦٥	٥٧٩	٥٣١	٢٩٨	٣١٢	٣٥٠	٣٢١	٢٠٣	١٥٣	٢٢٩	٢١٠	٥٠	
٤٧٩	٤٠٥	٣٤٧	٤٣٠	٢٩٦	٢٦٣	٢١٦	٢٦٩	١٨٣	١٤٢	١٣١	١٦١	صفر	٩
٥٢٢	٥٢٥	٣٩٤	٤٧١	٣٢٢	٣٤١	٢٤٧	٢٩٣	٢٠٠	١٨٤	١٤٧	١٧٨	١٠	
٥٧٩	٥٧٩	٥٣٢	٥٦٠	٣٦٨	٣٦٧	٣٢٣	٣٢٧	٢٠١	٢١٢	٢٠٩	٢٣٣	٣٠	
٧٨٣	٦١٦	٥٦٩	٧٠٨	٤٦٩	٣٩٨	٣٥٥	٤٠٩	٣١٤	٢١٨	٢١٤	٢٩٩	٥٠	
٣٨٨	٤٤٢	٣٣٢	٤١٦	٢٤٠	٢٧٨	٢٠٥	٢٤٨	١٤٨	١٦٤	١٢٧	١٦٨	صفر	١٠
٨٥٦	٥١٦	٣٥٠	٨٨٣	٥٣٤	٣٥٣	٢١٤	٥١١	٣٢٢	١٦٣	١٣٦	٣٧٢	١٠	
٩١٣	٦٩٩	٤٠٢	٩٢٠	٥٥٧	٤٤٥	٢٤٣	٥٨٢	٣٥٦	٢٥٤	١٥٩	٨٣٨	٣٠	
٩٣٧	٧١٣	٤٤١	٩٩٣	٥٧٨	٤٦٣	٢٥٦	٦٠٢	٣٥٩	٢٥٠	١٨٥	٣٩١	٥٠	
٦١٠	٥٦١	٤٧٩	٦٢٦	٣٨٢	٣٦٠	٢٩٢	٣٨١	٢٢٨	٢٠١	١٨٧	٢٤٥	المتوسط	

() تعنى القيم الدنيا .

(+) تعنى القيم العظمى .

٥ - ٢ - الخلاصة :

تم جمع عينات مائية من المنطقة بين جدة وينبع من خلال عشر محطات تمثل المنطقة ، وذلك في خلال أشهر نوفمبر ١٩٨١ ، فبراير ، مايو ١٩٨٢ م ، نوفمبر ١٩٨٢ وقد تم تحليل العينات لتعيين محتوى الكربون العضوي الذائب DOC والنيتروجين العضوي الذائب DON والدهون الذائبة DL والفوسفور العضوي الذائب والكربوهيدرات الأحادية الذائبة MCHO والكربوهيدرات الكلية الذائبة TCHO والكربوهيدرات المعقدة الذائبة PCHO .

بالنسبة للكربون العضوي الذائب ، بلغ متوسط التركيز : ١٥٧٠ ميكروجرام / لتر في شهر نوفمبر ١٩٨١ ، ١١٤١ ميكروجرام كربون / لتر في شهر فبراير ١٩٨٢ ، ١٣٤٨ ميكروجرام كربون / لتر في شهر مايو ١٩٨٢ ، ١٥٥٩ ميكروجرام كربون / لتر في شهر نوفمبر ١٩٨٢ .

وقد بلغ تركيز النيتروجين العضوي الذائب ٤٦١ ميكروجرام نيتروجين للتر في شهر نوفمبر ١٩٨١ ، ٣٥٥ ميكروجرام نيتروجين / لتر في شهر فبراير ١٩٨٢ ، ٣٧٩ ميكروجرام نيتروجين في شهر مايو ١٩٨٢ ، ٤٧٦ ميكروجرام نيتروجين / لتر في شهر نوفمبر ١٩٨٢ .

أما الدهون الذائبة فقد بلغت ٢٥٧ ميكروجرام / لتر في شهر نوفمبر ١٩٨١ ، ١٨٧ ميكروجرام / لتر في شهر فبراير ١٩٨٢ ، ٢١٥ ميكروجرام / لتر في شهر مايو ١٩٨٢ ، ٢٣٦ ميكروجرام / لتر في شهر نوفمبر ١٩٨٢ .

وقد بلغ تركيز الفوسفور العضوي ١٢٨ ميكروجرام ذرة فوسفور / لتر في شهر نوفمبر ١٩٨١ ، ١٨٦ ميكروجرام ذرة فوسفور / لتر في شهر فبراير ١٩٨٢ ، ٩٤ ميكروجرام ذرة فوسفور / لتر في شهر مايو ١٩٨٢ ، ٢٦١ ميكروجرام ذرة فوسفور / لتر في شهر نوفمبر ١٩٨٢ .

أما بالنسبة للكربوهيدرات الأحادية فقد بلغت ٢٤٥ ميكروجرام هكسوز / لتر في شهر نوفمبر ١٩٨١ ، ١٨٧ ميكروجرام هكسوز / لتر في شهر فبراير ١٩٨٢ ، ٢٠١ ميكروجرام هكسوز / لتر في شهر مايو ١٩٨٢ ، ٢٢٨ ميكروجرام هكسوز / لتر في شهر نوفمبر ١٩٨٢ . وفي حالة الكربوهيدرات الكلية ، فقد بلغت : ٦٢٦ ميكروجرام هكسوز / لتر في شهر نوفمبر ١٩٨٢ ، ٤٧٩ ميكروجرام هكسوز / لتر في شهر فبراير ١٩٨٢ ، ٥٦١ ميكروجرام هكسوز / لتر في شهر مايو ١٩٨٢ ، ٦١٠ ميكروجرام هكسوز / في شهر نوفمبر ١٩٨٢ . والكربوهيدرات المعقدة - بلغ تركيزها ٣٨١ ميكروجرام هكسوز / لتر في شهر نوفمبر ١٩٨١ ، ٢٩٢ ميكروجرام هكسوز

/ لتر في شهر فبراير ١٩٨٢ ، ٣٦٠ ميكروجرام هكسوز / لتر في شهر مايو ١٩٨٢ ، ٣٨٢ ميكروجرام هكسوز / لتر في شهر نوفمبر ١٩٨٢ .

وتوضح النتائج السابقة تغيرات واضحة في تركيز المواد العضوية الذائبة وهذه التغيرات مرتبطة بفترات ازدهار الفيتو بلانكتون ، حيث يزداد تركيز المواد العضوية أثناء وبعد فترة ازدهار الفيتو بلانكتون ، نتيجة لأن خلايا البلانكتون تفرز بعض محتوياتها إلى البيئة البحرية أثناء نموها ثم بعد موتها فإنها تتعرض لعمليات تحلل مختلفة متجدة كميات هائلة من المواد العضوية الذائبة .

ح - ٣ - المحتوى الهيدروكربوني .

ح - ٢ - ١ مقدمة .

ح - ٢ - ٢ الطرق والوسائل .

ح - ٢ - ٣ النتائج والمناقشة .

ح - ٢ - ٤ الخلاصة .

٣ - المحتوى الهيدروكربيوني :

١ - مقدمة :

من خلال مشروع دراسة الثروة السمكية في المياه الشاطئية في المنطقة ما بين مدینتی جدة وينبع من الشاطئ السعودى للبحر الأحمر ومن بين الكثير من الدراسات البيئية في المنطقة للتعرف على الأحوال الكيميائية والطبيعية المؤثرة على تنويع وتوزيع الجموعات السمكية في المنطقة ، يتناول هذا البحث تركيز المواد الهيدروكربيونية في المياه السطحية ، وكذلك في الأسماك المصاد منها .

بالنسبة للتلوث البترولي لمياه وبيئة البحر الأحمر بصورة عامة ، فإنه لا يتيسر الا القليل من المعلومات ، رغم الاحتمالات الكبيرة لاضافة المزيد من المواد البترولية الى تلك البيئة سواء عن طريق التسرب الطبيعي من آبار انتاج البترول ، وخاصة في الجزء الشمالي من البحر الأحمر ، أو من الدلق المقصود Intentional discharges من مصاف البترول وخاصة على الشاطئ السعودى ، واحتمالات انتشاره في البحر الأحمر تحت تأثير نظام دوران المياه الموسمى والرياح الشمالية المتوسطة طيلة العام (تقرير اليونسكو لسنة ١٩٧٤) .

ومن بين المجهودات والبحوث التي تتناول تلك المشكلة في النظام البيئي لشواطئ البحر الأحمر المختلفة - تلك الدراسات على طول الشاطئ المصرى فيما بين مدینتی السويس شمالاً وسفاجا جنوباً بحوالى ٥٠٠ كم طولاً ، حيث تناولت تلك البحوث تقدير المستويات الحالية من محتويات هيدروكربيونية في الرسوبيات وبعض الأحياء السائدة من طحالب ورخويات ، وكذلك في بعض الأسماك وقد رصدت بعض الأماكن المتميزة بحالة من التلوث البترولي المرتفع وخاصة عند مدينة الغردقة (Awad et al., 1982; Awad & Michel, 1983). بالنسبة للشاطئ السعودى ، فإنه قد تم تقدير الوضع الحالى لمحتوى المياه من المواد الهيدروكربيونية في بعض المناطق المتفرقة فعلى سبيل المثال ، تم رصد المحتوى الهيدروكربيوني في كل من المياه الشاطئية لمدينة رابغ (٢٠٠ كم شمال جدة) ، وثبت احتواها على محتويات عالية منها تقدر بالمليجرامات في اللتر كبترول . كذلك ثبت احتواء المياه في منطقة القصر شمال جدة على كميات قليلة من المواد الهيدروكربيونية بالنسبة لما رصد في مياه مدينة رابغ .

فيما يختص بمصادر التلوث البترولي ، فقد تم تقدير كميات المواد البترولية ونفاياتها التي تصل الى شواطئ جدة بحوالى (٧٠٠) طنا سنوياً تصدر من مصدر واحد وهو مصفاة بترومين جدة Awad, 1984 .

٢ - ٣ - الطرق والوسائل :

خلال رحلتين من رحلات سفينة الأبحاث « ابن ماجد » تم جمع عينات من المياه السطحية بعمق ١ م في المنطقة الواقعة بين خطى عرض ٣٦°٠٢١' و ٣٦°٠٣' وأمام مدينة جدة و ٥٢٤°٠٣' شمالي أمام مدينة بنبع ، حيث جمعت ١٢ عينة في شهر نوفمبر ١٩٨٢ م و ١٩ عينة خلال شهر مارس ١٩٨٣ و تكرر هذه العينات في ثلاثة قطاعات ممثلة أمام مدن جدة و رابغ و بنبع بالإضافة إلى عينات فيما بين القطاعات مثلة لأماكن الدراسات الدورية للثروة السمكية في المنطقة ، و موقع هذه العينات موضحة بالخرائط المرفقة (شكل ١) .

في كل محطة جمعت عينات سطحية بعمق متر واحد باستخدام الطريقة القياسية الموصى بها من قبل لجنة خبراء اليونسكو في التقرير رقم (٧) لسنة ١٩٧٦ . في هذه الطريقة تستعمل زجاجات بنية القياسية خاصة بتبغية المذيبات العضوية بحجم ٢٥ لتر حيث تنزل للعمق المطلوب محاطة بدروع من الحديد ، فتمتليء خلال عشرون ثانية وأثناء نزولها إلى الماء تكون محتوية على رابع كلوريد الكربون (٥٠ مل) . بعد ملء الزجاجة تخرج وبضبط المحجم بها إلى ٢٥ لتر ثم ترج بشدة لاستخلاص المواد العضوية الكلية في مياه العينة ، وتكرر هذه العملية عدة مرات في المعمل .

بالنسبة للأسمك فقد تم صيد خمسة أنواع منها من المحطة رقم ١٣ (حوالي ١٠٠ كم شمال جدة و ١٥ كم من الشاطئ) . تصنيف هذه الأسماك مدون في الجدول رقم (٣) المشتمل على النتائج الخاصة بالأسمك .

بعد الاستخلاص الكامل للمواد العضوية المحتوية على الهيدروكربونات من المياه باستخدام طريقة الاستخلاص التجزئي تبعاً للطريقة المذكورة في تقرير اليونسكو رقم (٧) لسنة ١٩٧٦ ، يتم تنقية المواد الهيدروكربونية من المواد العضوية بالفصل الكروماتوجراف باستخدام عمود الفلوروسيل تبعاً للطريقة المنشورة (Awad, 1981a) .

بالنسبة للأسمك فإن عملية استخلاص وتنقية المواد الهيدروكربونية قد تمت بجرام واحد من الوزن الجاف ، وذلك بإجراء عملية التصبن ثم الاستخلاص التجزئي بالهكسان n -hexane ثم الفصل الكروماتوجرافic column chromatography باستخدام عمود من الفلوروسيل .

بالنسبة لتقدير المحتوى الهيدروكربوني في عينات المياه والأسمك في مستخلصاتها الندية واعتباراً على التسهيلات المعملية المتاحة ، فقد تمت القياسات باستخدام الفصل الكروماتوجراف السائل تحت الضغط المرتفع HPLC . حيث تم تعين تركيز المواد الهيدروكربونية في العينة بتقدير طيف الامتصاص الناتج من تعرض المستخلص لطول موجي قدره (٢٧٥) نانومتر من طيف الأشعة فوق البنفسجية .

وأساس التقديرات للمحتوى الهيدروكربيوني اخذت على أساس المقارنة بين طيف الامتصاص لكل عينة وذلك الناتج من محاليل قياسية لنوعين من أنواع البترول العربي ، وكذلك للفينانثرين Phenanthrene وهذا الأخير كقياس لمحتوى الهيدروكربونات الأروماتية المتعددة الأنوية . وقد حضرت المحاليل القياسية للبترول بتقنية محتوياتها من المواد الهيدروكربيونية تبعاً للطريقة المنشورة (Awad, 1981 b) .

في الجداول من (١) إلى (٣) جمعت النتائج الخاصة بالمياه والأسماك حيث قدرت المحتويات الهيدروكربيونية كبترول عربى خفيف وثقيل باليكروجرام في اللتر وكفينانثرين بالنانوجرام في اللتر في حالة المياه . بالنسبة للأسماك فإن المحتوى يقدر بالملليجرامات لكل كجم من الوزن الجاف في حالة أي من نوعى البترول وباليكروجرامات لكل كجم من الوزن الجاف في حالة الفينانثرين .

٣ - ٣ - النتائج والمناقشة :

بالأخذ في الاعتبار البترول العربى الخفيف كأساس مقارنة ومناقشة النتائج الخاصة بالمحتوى الكلى المرصود سواء في عينات المياه أو الأسماك - يتضح من الجدولين رقم (١) ، (٢) والمشتملين على النتائج الخاصة بالمياه ، أنه بوجه عام سواء في العينات الخاصة بشهر نوفمبر ١٩٨٢ م (جدول ١) أو تلك الخاصة بشهر مارس ١٩٨٣ م (جدول ٢) فإن محتوى المياه من المواد الهيدروكربيونية الكلية في معظم العينات يتراوح فيما بين ٥٠ و ٢٥٠ ميكروجرام / لتر مع الملاحظة بوجود عينات ذات محتوى أعلى قد يصل إلى ٧٥٠ ميكروجرام / لتر وخاصة في تلك العينات الممثلة للمياه أمام المدن الكبيرة وخاصة خلال رحلة شهر مارس ١٩٨٣ م كما هو واضح في العينات من رقم (٢٢) إلى (٣١) وبالأخذ في الاعتبار متosteات المحتوى الهيدروكربيوني للقطاعات أمام تلك المدن ، يتضح أن أعلىها يتواجد أمام مدينة راغب حيث يصل إلى أكثر من ٣٣٠ ميكروجرام من البترول العربى الخفيف لكل لتر ، ثم يأتي في المرتبة الثانية القطاع أمام مدينة بنع حيث يصل إلى أكثر من ٢٦٠ ميكروجرام / لتر . وأخيراً القطاع أمام مدينة جدة حيث لا يتعدى ١٥٠ ميكروجرام / لتر ، وذلك خلال مارس ١٩٨٣ م .

من ناحية أخرى يلاحظ أن أعلى قيم المحتويات الكلية من الهيدروكربونات وجد بالقرب من مدينة راغب (محطة رقم ١٦) ، حيث يصل المحتوى إلى ٧٥٠ ميكروجرام / لتر .

بالأخذ في الاعتبار اختلاف طرق التقديرات للمحتويات الهيدروكربيونية يمكن مقارنة تلك النتائج مع ما تضمنه تقرير اليونسكو لسنة ١٩٨١ م والمشتمل على توزيع التلوث البترولي في معظم بحار ومحبيطات العالم ، نجد أن التركيز المتوسط للمياه في المنطقة تحت الدراسة يزداد كثيراً في بعض الأحيان عن التركيزات المتوسطة للبحر الأبيض على سبيل المثال ، حيث يتراوح ما بين صفر وخمسة

ميکروجرامات / لتر . وتشابه النتائج مع تلك الخاصة بمنطقة شرق البحر الأبيض والمعروف عنها بدرجة تلوثها البترولي المرتفعة حيث دائماً ما يتعدى محتواها الكلي من المواد الهيدروكرboneية خمسون ميکروجرام / لتر .

بالأخت في الاعتبار تركيز الفينانثرين في العينات وهو المعيار عن المحتويات الأرومانية المتعددة الانوية Polycyclic Aromatic Hydrocarbons المقاسة والمعروفة بسموميتها المرتفعة للبيئة البحرية والأكثر ثباتية فيها (Dacre, 1981; Oudot et al., 1981) يلاحظ أن التركيزات بصورة عامة ضعيفة حيث أنه في معظم الأحيان - لا تتعدى مستوى النانو جرام واحد في اللتر وإن كانت هذه المحتويات تزداد بصورة واضحة وخاصة في عينات القطاعات أمام المدن ، حيث تصل لقائمتها في المخططات أمام رابع بالذات . ففي المخطة الشاطئية شمال مدينة رابغ تحتوى المياه على مواد هيدروكرboneية كلية كفينانثرين بمقدار ٤٤ نانو جرام / لتر (المخطة ١٦) .

هذه النتيجة السابقة تؤكد أن حالة التلوث البترولي في المنطقة تمثل حالة من التلوث الحديث الغير مزمن ، وإن كان أكثر حدة في شهر مارس عنه في شهر نوفمبر حيث لا تتعدى قيم المحتويات الكلية من الهيدروكرboneات مستوى ١٠٠ ميکروجرام من البترول العربي الخفيف / لتر في معظم العينات الخاصة بشهر نوفمبر ١٩٨٢ م بينما تلك العينات الخاصة بشهر مارس ١٩٨٣ م فإن معظم العينات تتعدى هذا المستوى بكثير حتى أنه يلاحظ أنه في موقعين فقط (مخطة ٢٠ ، ٢١) كان المحتوى أقل من ١٠٠ ميکروجرام / لتر خلال هذا الشهر . هذه النتيجة يمكن تلخيصها على أنه في هذه المنطقة هناك عمليات من سكب المواد البترولية بعمد وبطريقة مستمرة يختلف مقداره مع الوقت ، ويلاحظ أن تركيز هذه العمليات تكون في المنطقة البعيدة عن الشاطئ ، حيث يلاحظ دائماً أن العينات البعيدة عن الشاطئ (خارج الشعاب المرجانية مباشرة) هي الأكثر احتواء على مواد هيدروكرboneية ، وخاصة أمام المدن التي فيها موانئ مثل (جدة - رابغ - ينبع) . وحيث أن المناطق الخارجية عن حدود الشعاب المرجانية تكون هي المياه المفضلة لسير السفن فإنه يمكن استنتاج أن سبب احتواء هذه المناطق على محتويات أعلى من البترول يرجع أساساً إلى حركة النقل البحري ، حيث أعادت السفن في هذه المنطقة على التخلص من نفاياتها قبل الدخول إلى الماء أو بعد خروجها منها .

بالنسبة للنتائج الخاصة بالأسماك فإن الجدول رقم (٣) يشتمل على النتائج للمحتويات الـهيدروـكرboneية معبراً عنها بكل من المراجع المأذوذة في الاعتبار . في الجدول يتضح أن كل العينات تحتوى على مقدار من المواد الـهيدروـكرboneية (معبراً عنه بالبترول العربي الخفيف) أقل من ٦٥٠ جم / كجم من الوزن الجاف وأن نوع الشاحورة *Decapterus sanctae heleneae* يظهر أعلى القيم من المحتويات حيث تعدى المحتوى مقداره ٥ جم / كجم من الوزن الجاف وهو محتوى أكثر عشرة مرات مما تحتوى أسماك هذا النوع من مناطق أخرى ، حيث أنه بتحليل أسماك الشاحورة في المعمل

وجد أن محتواها يصل إلى ٤٣٨ مليجرام / كجم وهذه العينة جمعت من السوق المركزي للأسمدة (البنقلة) بمدينة جدة (نتيجة غير منتشرة) . أيضاً بالنسبة لنوع الشعور *Lethrinus Lentjan* فقد وجد أن محتوى الأسماك المتداولة في السوق المركزي بمدينة تحوى على أقل من نصف تلك المذكورة في نفس النوع جدول (٣) . وهذا دليل على احتواء تلك الأسماك المصادة من المنطقة موضوع الدراسة على تركيزات أعلى في الهيدروكربونات عن تلك الأنواع المناظرة والمصاداة من مناطق أخرى والمتداولة في الأسواق .

جدول رقم (١)
المحتوى الهيدروكربوني في المياه السطحية للعينات المجموعة
خلال رحلة ابن ماجد في نوفمبر ١٩٨٢ م

رقم المخطة	الموقع			المحتوى الهيدروكربوني معبراً عنه بال:		المحتوى الهيدروكربوني معبراً عنه بال:			
	الفينانثرين نانيوجرام / لتر	البترول العربي الثقيل ميكروجرام / لتر	البترول العربي الخفيف ميكروجرام / لتر	خط عرض		خط طول		درجة دقيقة	درجة دقيقة
				خط طول	خط عرض	خط طول	خط عرض		
١	٣٣٨	٢٢٥	٣٨	٥٦	٢١	٣٦	٢١	١	٣٦
٢	١٥٠	١٠٠	٣٨	٥٠	٢١	٥٦	٢١	٢	٥٦
٣	٧٥	٥٠	٣٨	٥٣	٢٢	٠٩	٢٢	٣	٠٩
٤	٢٢٥	١٥٠	٣٨	٤٠	٢٣	٠٥	٢٣	٤	٠٥
٥	٧٥	٥٠	٣٨	٤٨	٢١	٣٦	٢١	٥	٣٦
٦	٢٣٦	١٧٥	٣٨	٣٢	٢١	٣٦	٢١	٦	٣٦
٧	٧٥	٥٠	٣٨	٢٢	٢١	٣٦	٢١	٧	٣٦
٨	٣٣٨	٢٢٥	٣٨	٣٧	٢٢	٥٠	٢٢	٨	٥٠
٩	١١٣	٧٥	٣٨	٢٦	٢٢	٥٠	٢٢	٩	٥٠
١٠	١١٣	٧٥	٣٧	٤٣	٢٤	٠٣	٢٤	١٠	٠٣
١١	١٨٨	١٢٥	٣٧	٣٤	٢٤	٠٣	٢٤	١١	٠٣
١٢	١٥٠	١٠٠	٣٧	٢٤	٢٤	٠٣	٢٤	١٢	٠٣

جدول رقم (٢)
المحتوى الهيدروكربوني في المياه السطحية المجموعة
 خلال رحلة ابن ماجد في مارس ١٩٨٣ م

البيانات نانوجرام / لتر	المحتوى الهيدروكربوني معبرا عنه بالـ :		الموقع				رقم الخطة	
	البتروال العربي النفط	البتروال العربي الخفيف	خط طول		خطعرض			
			درجة	دقيقة	درجة	دقيقة		
٩	٢٢٥	١٥٠	٣٨	٥٦	٢٢	٠٢	١٣	
٩	٢٢٥	١٥٠	٣٩	٠٢	٢٢	٢٦	١٤	
٦	١٥٠	١٠٠	٣٩	-	٢٢	٣٩	١٥	
٤	١١٢٥	٧٥٠	٣٨	٤٨	٢٢	٥٨	١٦	
٩	٢٢٥	١٥٠	٣٨	٣٩	٢٢	٠٥	١٧	
٦	١٥٠	١٠٠	٣٨	٢٨	٢٢	-	١٨	
٩	٢٢٥	١٥٠	٣٨	٤٨	٢٢	٤٥	١٩	
٣	٧٥	٥٠	٣٩	٠٤	٢١	٣٥	٢٠	
٤	١٦٣	٧٥	٣٨	٥٦	٢١	٣٥	٢١	
٥	٣٧٥	٢٥٠	٣٨	٤٨	٢١	٣٥	٢٢	
٣	٣٣٨	٢٢٥	٣٨	٤٢	٢١	٣٥	٢٣	
١	٢٦٣	١٧٥	٣٨	٥٨	٢٢	٤٥	٢٤	
٩	٧٥٠	٥٠٠	٣٨	٤٩	٢٢	٤٣	٢٥	
٦	٤١٣	٢٧٥	٣٨	٤٢	٢٢	٤٢	٢٦	
٢	٥٦٣	٣٧٥	٣٨	٣٥	٢٢	٤١	٢٧	
٥	٣٧٥	٢٥٠	٣٨	٢٩	٢٢	٢٥	٢٨	
٤	٦٠٠	٤٠٠	٣٨	٢١	٢٢	٢٥	٢٩	
٥	٣٧٥	٢٥٠	٣٨	١٦	٢٢	٢٥	٣٠	
٩	٢٢٥	١٥٠	٣٨	٠٩	٢٢	٢٥	٣١	

جدول رقم (٣)

الختوى الجيلبروكروف لعيادات الأسماك المصادة من المحطة رقم (١)

خلال رحلة ابن ماجد لشهر مارس ١٩٨٣م (المحتويات مقدمة بالشارة إلى الملف)

بالنسبة للمحتويات الهيدرو كربونية يتضح ما لوحظ من قبل بالنسبة للمياه من نفس المنطقة وذلك احتواء الأسماك على مواد هيدرو كربونية اромاتية كلية بنسب ضئيلة ، حيث لا تتعدي ٤ ميكرو جرامات / كجم (مقدراً كفينانثرين) الا في حالة نوع الشاخورة والذى وصل فيه المحتوى لأكثر من ٣٠ ميكرو جرام / كجم وهذا دليل آخر على حداثة حالة التلوث في منطقة الصيد . ويجب الأخذ في الاعتبار أنه في كثير من الأسماك تكون معظم المواد الهيدرو كربونية الموجودة داخل الجسم ذات أصل بيولوجي ، وليس دليلاً على التلوث . وهذا ما لا يمكن اثباته بالطرق التحليلية المستخدمة في هذا البحث . وقد ثبت بالفعل أن الكثير من الأسماك المصادة من مناطق متعددة تحتوى في بعض الأحيان على أكثر من ٩.٩٪ من محتواها الهيدرو كربوني من مادة واحدة وهى الاسكوالين Squalene وهو مركب هيدرو كربوني يخلق داخل جسم الأسماك (Awad, 1982) .

بمقارنة تلك النتائج بتنتائج أخرى لأسماك مختلفة ولكن مصادرة من البحر الأحمر نفسه على الجانب المصرى فإنه يلاحظ بصورة عامة احتواء الأسماك موضوع البحث على محتوى صغير نسبي سواء من الهيدرو كربونات الكلية أو الاروماتية أقل مما رصد في الأسماك المصادة من المياه الشاطئية المصرية من البحر الأحمر (Awad & Michel, 1984; Awad et al., 1982) .

٤ - ٣ - الخلاصة :

ما سبق من نتائج ومناقشتها - يمكن إستنتاج ما يلى :

(١) مستوى التلوث البترولى في المنطقة ما بين جدة وينبع مرتفع الى حد ما ، حيث تتعدي القيم المرصودة بوجه عام القيم التي تم قياسها في أماكن أخرى من البحر المشابهة جغرافيا وكذلك تباينت النتائج فيما بين فترى الجمع حيث بينما لم يتعدي المحتوى البترولي الكل ١٥٠ جرام / (كيتروول عرى خفيف) في معظم عينات شهر نوفمبر ١٩٨٢ م ، تجاوزت العينات هذا المستوى بكثير للعينات الخاصة بشهر مارس ١٩٨٣ م ، حيث بلغت في بعض المناطق أكثر من (٥٠٠) ميكرو جرام / لتر .

(٢) تتميز المناطق بعيدة عن الشاطئ وخلف مناطق الشعاب بمحتويات عالية من الهيدرو كربونات البترولية وخاصة أمام المدن الرئيسية على الساحل وخاصة المنطقة أمام مدينة رابغ ، حيث تعدد فيها محتويات المياه السطحية من المواد الهيدرو كربونية ٧٠٠ ميكرو جرام لكل لتر في شمال مدينة رابغ ، وقد تعزى هذه الحالة إلى السكب المقصود للنفايات البترولية من السفن التي تتحذد دائماً المنطقة خلف الشعب في اتجاه البحر مساراً مثالياً لتحركاتها .

(٣) القيم الخاصة بالمحتويات الهيدروكربونية الأروماتية في المياه تكون دائماً منخفضة ولا تتعدي مستوى الواحد نانوجرام / لتر (كفينانثرين) في معظم المناطق الا تلك المتميزة بمحتويات عالية من الهيدروكربونات الكلية كما في حالة القطاعات أمام المدن وخاصة مدينة رابغ . هذه النتيجة تؤكد حداثة التلوث بصورة عامة .

(٤) الأسماك الجموعة من المنطقة تحت الدراسة تميزت بمحتويات متوسطة من المواد الهيدروكربونية ، وترواحت فيما بين ٤٠٠ - ٦٠٠ مليجرام / كجم كبرول عرق خفيف الا في حالة نوع واحد من أسماك الشاخورة *Decapterus sanctae helenae* حيث تدعى محتواه مقدار الخمسة جرامات / كجم من الوزن الجاف وهذه القيم بصورة عامة منخفضة بالمقارنة بما هو معروف عن أسماك البحر الأحمر الخاصة بالجانب الغربي عند الشواطئ المصرية ، حيث بلغت التقديرات فيها ضعف ما هو مرصدود في هذه المنطقة . ويجب الأخذ في الاعتبار احتمال تكون المواد الهيدروكربونية في الأسماك بيولوجيا وهو مالم يفحص في هذه العينات لعدم توفر الامكانيات المعملية الخاصة .

- ح - ٤ - توزيع الفورا منفرا القاعية .
- ح - ٢ - ١ مقدمة .
- ح - ٢ - ٢ الطرق والوسائل .
- ح - ٢ - ٣ النتائج .
- ح - ٢ - ٤ المناقشة .
- ح - ٢ - ٥ الخلاصة .

ح - ٤ - توزيع الفورا منفرا القاعية :

ح - ٤ - ١ - مقدمة :

إن توزيع الفورا منفرا في بحار العالم يتبع او يخضع لعوامل بيئية متعددة مما ادى الى اعتبار احافير الفورا منفرا كدليل للتعرف على بيئة الترب التي عاشت وتواجدات بها وتنصاعد هذه الأهمية خاصة حالة اختفائها وكثرة تواجدها وتعدد انواعها .

ولقد تمت حتى الآن دراسات كثيرة حول توزيع انواع الفورا منفرا القاعية في بحار العالم مع التركيز على علاقة توزيعها بالعوامل المختلفة مثل درجة الحرارة ، الملوحة ، طبيعة القاع ، التغذية والضوء .

على أى حال فانه مع الفوارق الفيزياء الكيميائية الموجودة في بحار العالم ، فإنه لا يجوز ان يخلل تواجد بعض انواع الفورا منفرا القاعية في اعمق محددة بدرجة الحرارة والملوحة ، وطبيعة القاع وهذا يتضح في بعض المناطق مثل خليج العقبة حيث لا يوجد في عمود الماء اي تغير هام مع درجة الحرارة والملوحة (Klinker et al. 1976, Reiss 1961 Said 1949) بان هناك علاقة واضحة ما بين توزيع بعض الأنواع وكثرتها من ناحية وعمق الماء من ناحية أخرى ووجد (Said 1950) بأنه لطبيعة القاع التي تعيش عليه هذه الكائنات الحية دور هام في توزيعها .

ح - ٤ - ٢ - الطرق والوسائل :

اخذت العينات المدروسة بواسطة الكباش من سفينة ابن ماجد خلال ديسمبر ١٩٨٢ ولم يتم اخذ جميع العينات المقررة على القطاعات المرسومة وذلك لكتافة الشعاب المرجانية في كثير من المخطاطات وبعد التحليل الميكانيكي للعينات اخذت ٤٠٠ - ٥٠٠ جبنة من الجزء الذي يزيد فيه حجم الحبيبات عن ار. مم وتم فصل الفورا منفرا وتصنيفها ويوضح شكل (٦) التوزيع المؤى للثلاثة تحت رتب كما تم ايضا حصر التوزيع المؤى للأنواع السائدة في الشكل (٢١)

ح - ٤ - ٣ - النتائج :

لقد تم تصنيف ٣٥ نوعا من الفورا منفرا القاعية والتي تتبع الثلاثة تحت رتب روتالينا ، مليولينا وتيكستولارينا جدول (١) تسود في المياه الضحلة حتى عمق ٢٠ م المليولينا باجانسها *Elphidium spp.*, *Triloculina spp.*, *Quinqueloculina spp.* يتبعها روتالينا ثم بنسبة لا تزيد عن ٥٪ تيكستولارينا وتميز هذه المنطقة بتواجد الالفيديوم بانواعها *Elphidium advenum*, *E. crispum* و *Borelis schlumbergerii* و *Ammonia beccarii* و تصل نسبة الفورا منفرا القاعية في هذه المنطقة الى ٨٪ وتكثر فيها الانواع وتendum فيها الفورا منفرا الهايمية .

في عمق ٤٠ م تسود الروتالينا بنسبة تزيد عن ٦٠٪ يتبعها المليولينا بنسبة تتراوح ما بين ١٠ - ١٨٪. ثم تيكتستولارينا بنسبة لا تتجاوز ١٥٪ وتميز هذه المنطقة بارتفاع نسبه *Amphistegina* وظهور *Operculina ammonoides* وانخفاء امونيا ييكري و *Elphidium spp.* وتميز الأعمق ما بين ٧٠ - ٨٠ م بارتفاع الروتالينا حتى ٨٠٪ يتبعها وأول مرة تيكتستولارينا ثم مليولينا بنسبة لا تزيد عن ٥٪ وفي هذه الأعمق تكثر الفورا منفرا الهائمة .

جدول رقم (١)
يبيّن أنواع الفورا منفرا القاعية التي تم تصنيفها

تيكتستولا رينا (تحت رتبة)	
II. Miliolina (تحت رتبة)	
<i>Textularia Condeiana</i>	d'Orbigny
<i>Textularia Cushman</i>	Said
<i>Textularia foliacea</i>	Heron-Allen & Earland
<i>Articulina Sagra</i>	d'Orbigny
<i>Articulina Queenslandica</i>	Collins
<i>Borelis Schlumbergerii</i>	(Reichel)
<i>Peneroplis pertusus</i>	(Forskal)
<i>Spirolina arietina</i>	(Batsch)
<i>Spiroloculina Clara</i>	Cushman
<i>S. angulata</i>	Cushman
<i>Sorites marginalis</i>	(Lamarck)
<i>Triloculina affinis</i>	d'Orbigny
<i>Triloculina asymmetrica</i>	Said
<i>Triloculina irregularis</i>	(d'Orbigny)
<i>Triloculina trigonula</i>	(Lamarck)
<i>Quinqueloculina costata</i>	d'Orbigny
<i>Quinqueloculina Lamarckina</i>	d'Orbigny
<i>Quinqueloculina neostriatula</i>	Thalmann
<i>Quinqueloculina oblonga</i>	(Montagu)
<i>Quinqueloculina pseudoreticulata</i>	Parr
<i>Quinqueloculina Siminula</i>	(Linne')

III. Rotaliina

روتالينا (تحت رتبة)

<i>Ammonia beccarii</i>	(Linne')
<i>Amphistegina bicirculata</i>	larsen
<i>Amphistegina Lessonii</i>	d'Orbigny
<i>Amphistegina Lobifera</i>	Larsen
<i>Amphistegina papillosa</i>	Said
<i>Anomalina punctata</i>	d'Orbigny
<i>Cibicides subhaidingerii</i>	(Carpenter)
<i>Cympaloporettabradleyi</i>	(Cushman)
<i>Cympaloporella tabellaeformis</i>	(Brady)
<i>Discorbis pellucidus</i>	Said
<i>Elphidium advenum</i>	(Cushman)
<i>Elphidium crispum</i>	(Linne')
<i>Epistomina elegans</i>	(d'Orbigny)
<i>Furstenkoina acerosa</i>	(Cushman)
<i>Nonionella turgida</i>	(Williamson)
<i>Noiuria polymorphinoides</i>	Heron-Allen & Earland
<i>Operculina ammonoides</i>	(Carpenter)

٤ - ٤ - المناقشة :

تبين النتائج الواردة في شكل ١٦١ بأن المليولينا تسود فقط في المياه الضحلة وتنخفض نسبتها مع زيادة العمق حتى تصل إلى ٦٪ في عمق ٨٠ م وعلى العكس تماماً ترتفع نسبة الروتالينا مع العمق بينما لا تظهر هناك علاقة واضحة ما بين العمق وتوزيع التيكستولارينا وما يدل أيضاً على أهمية العمق في توزيع الفورا منفراً القاعية نسبة الروتالينا المتساوية (٦٠٪) في العينات (٨، ٩، ١٠) والتي أخذت جميعها من عمق ٤٠ م ولكن من مناطق جغرافية مختلفة وهذا ما يشير أيضاً إلى أن الفوارق في درجة الحرارة ، الملواحة وقيمة الأكسجين بين المحطات التي أخذت فيها العينات بسيطة جداً ولا تؤثر على توزيع الفورا منفراً القاعية في المنطقة المدروسة وما يؤكّد صحة هذه الخلاصة ما جاء في دراسات الهيدروجراف باه هذه الفوارق فعلاً بسيطة جداً ومن الوارد اهمال تأثيراتها على توزيع الثلاثة تحت رتب .

وتشير العلاقة العكssية بين الروتالينا والمليولينا من ناحية وعمق الماء من ناحية أخرى شكل (١٧) أيضاً إلى أهمية العمق وبالتالي قيمة الضوء التي تصل إلى القاع في توزيع هذه التحت رتب .

يبين لا يوجد هناك أي علاقة بين توزيع الروتالينا ، المليولينا والتيكستولارينا ومتسط حجم حبيبات الرسوبيات شكل ١٨١ كما تبين النتائج الواردة في شكل ١٩ بأنه لا توجد أيضاً علاقة واضحة بين نسبة الفورا منفراً القاعية ونوعية الرسوبيات من ناحية وقيمة المواد العضوية من ناحية أخرى شكل ٢٠ وتفق هذه النتائج مع دراسات (Hottinger 1977) في خليج العقبة حيث فسر توزيع الفورا منفراً القاعية أولاً بعمق الماء وبالتالي قيمة الضوء التي تصل إلى القاع .

ومن هنا فإنه من المعتقد بأن المليولينا تسود في المياه الضحلة حتى عمق ٢٠ م بينما تطفى عليها الروتالينا مع زيادة العمق وبالتالي فإن نسبة الروتالينا والمليولينا في عينة ما تعكس عمق الماء الذي أخذت منه العينة اذا اهمل تأثير العوامل الأخرى .

تكثر أنواع الفورا منفراً القاعية في المياه الضحلة (٢٠ م) وتقل مع زيادة العمق بينما تكثر الفورا منفراً الكبيرة وتميّز هذه المياه بتواجده *E. crispum spp.* بنسبة عالية وبأنواعها *E. advenum spp.* وتعدّم *E. advenum spp.* في الأعماق التي تزيد عن ٤٠ م كلياً شكل ٢١ وهذا ما يتفق مع نتائج (Murray 1973) الذي وجد في شوطيء كريتنا في البحر الأبيض بان *E. crispum spp.* تسود في عمق ١٠ م وتعيش على النباتات الأولية وتميّز المياه الضحلة أيضاً بظهور *S. marginalis* والتي تتراجع نسبتها من ٦٪ في عمق ٢٠ م. إلى ٢٪ في عمق ٤٠ م شكل ٢٢ وهذا ما يتفق مع دراسات Hottinger 1977 في خليج العقبة حيث وجد أنها تعيش في أعماق ما بين ٣٥-٤٥ م وتبلغ قمتها في أعماق ما بين ٣٥-٣٠ م ويوضح توزيعها في خليج العقبة بأنه لا توجد هناك أي علاقة بين نسبتها وطبيعة القاع التي تعيش عليه .

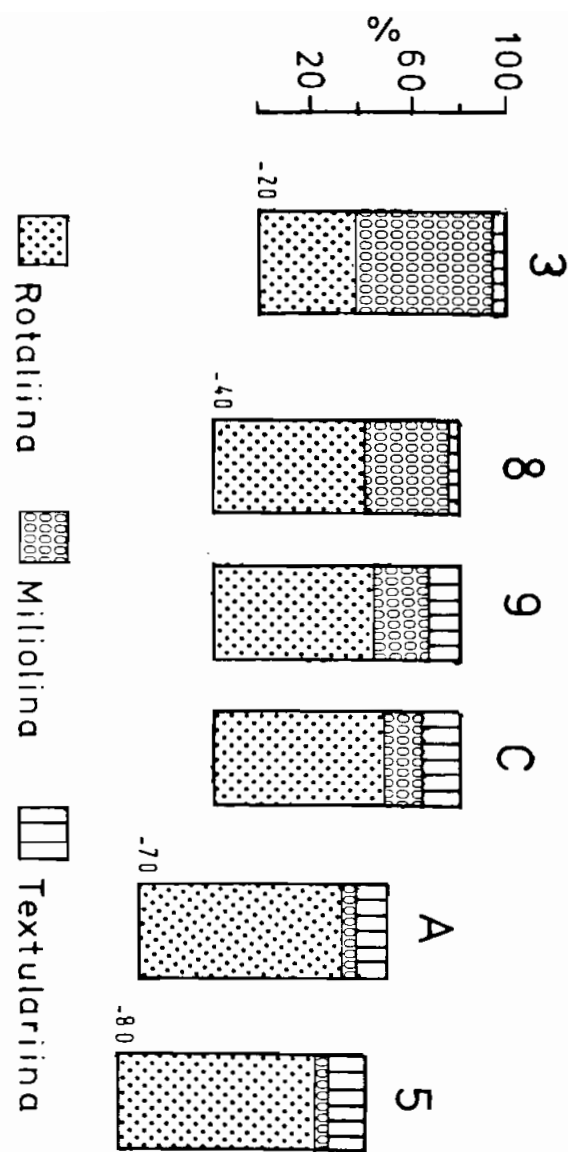


Fig 16: Distribution of benthonic foraminifera in the sediments between Jeddah and Yanbu
Fig 16

Fig 16

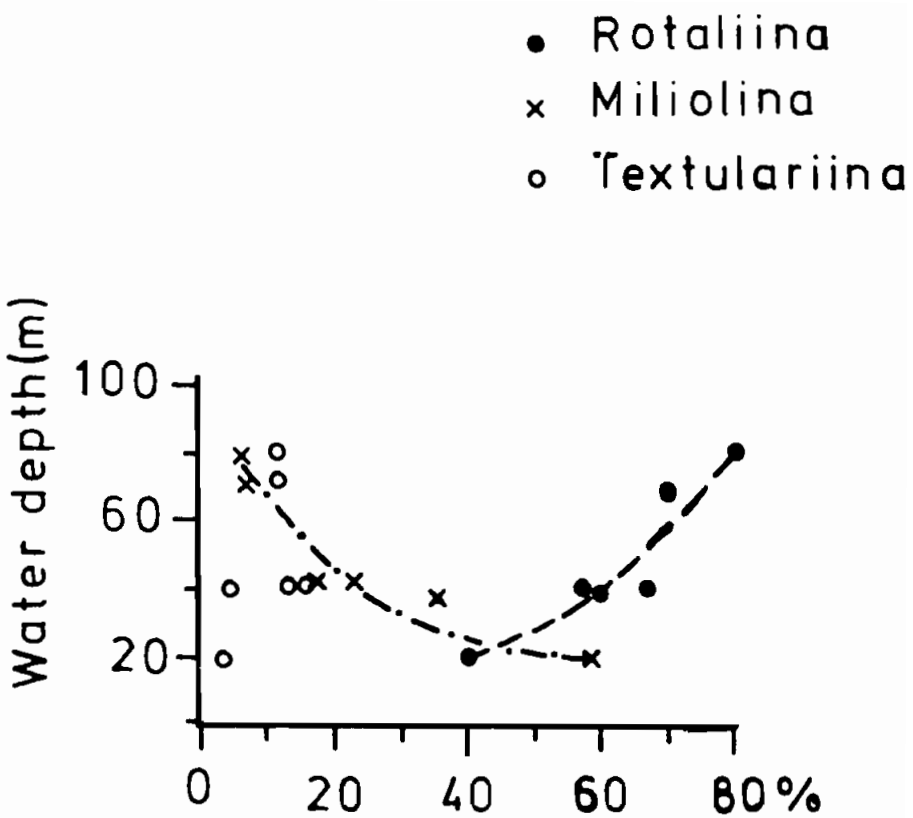


Fig 17 : Frequency distribution of benthic forams in relation to water depth.

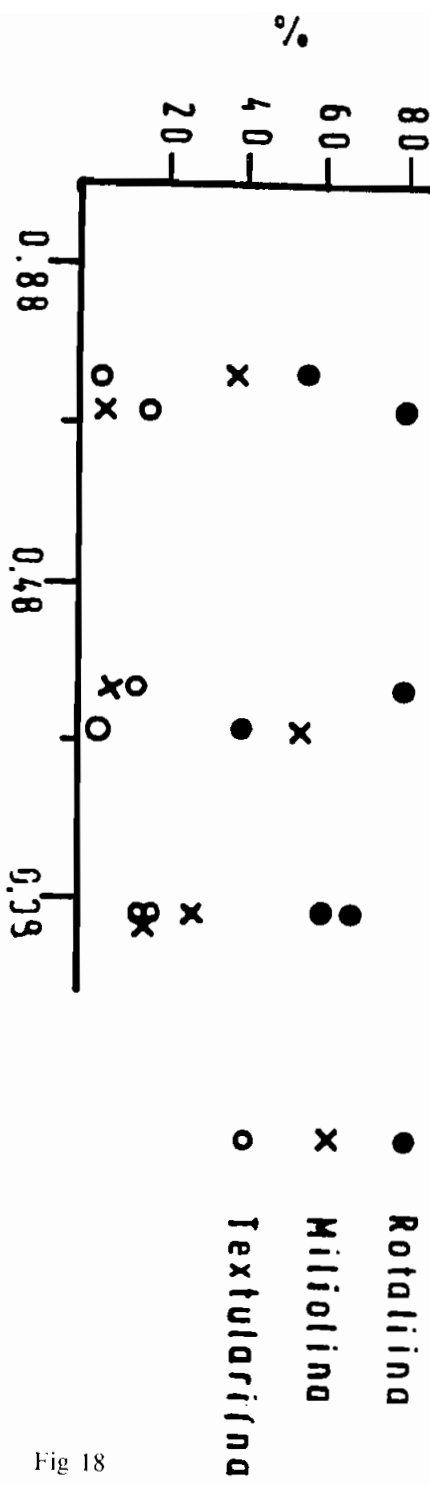


Fig 18 : Distribution of Rotaliina, Miliolina and Textulariina in relation to mean grain-size

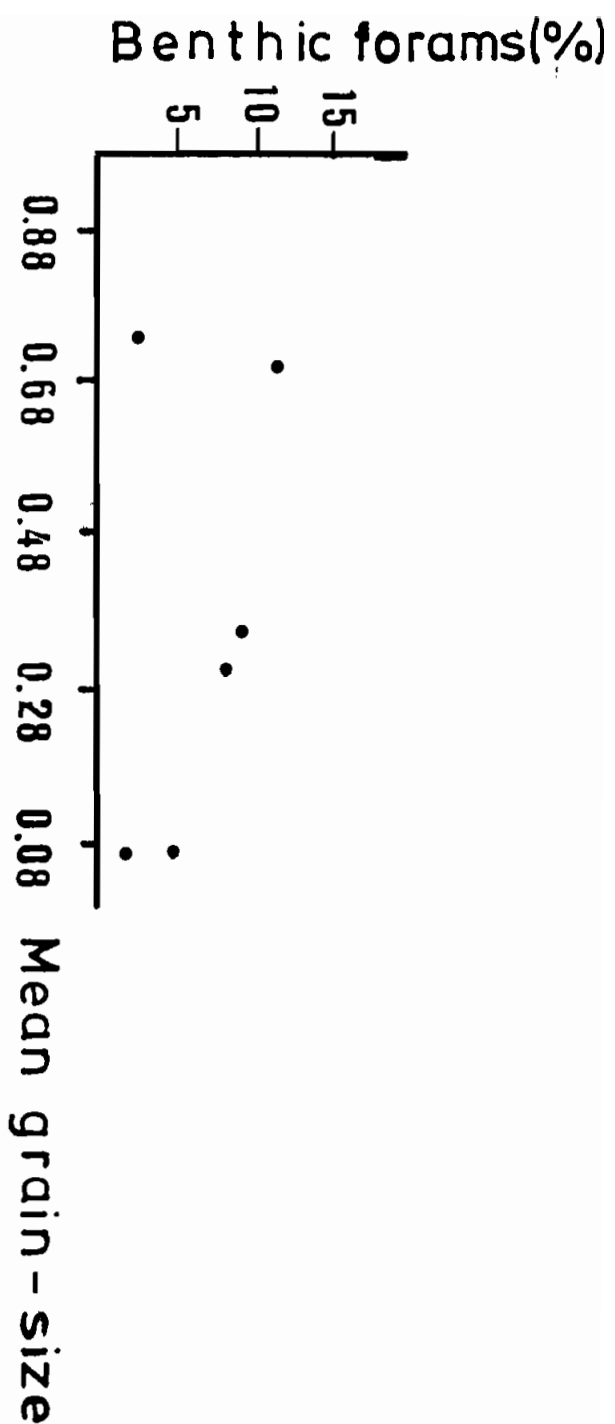


Fig : Percentage of benthonic foraminifera in relation to the mean grain-size.

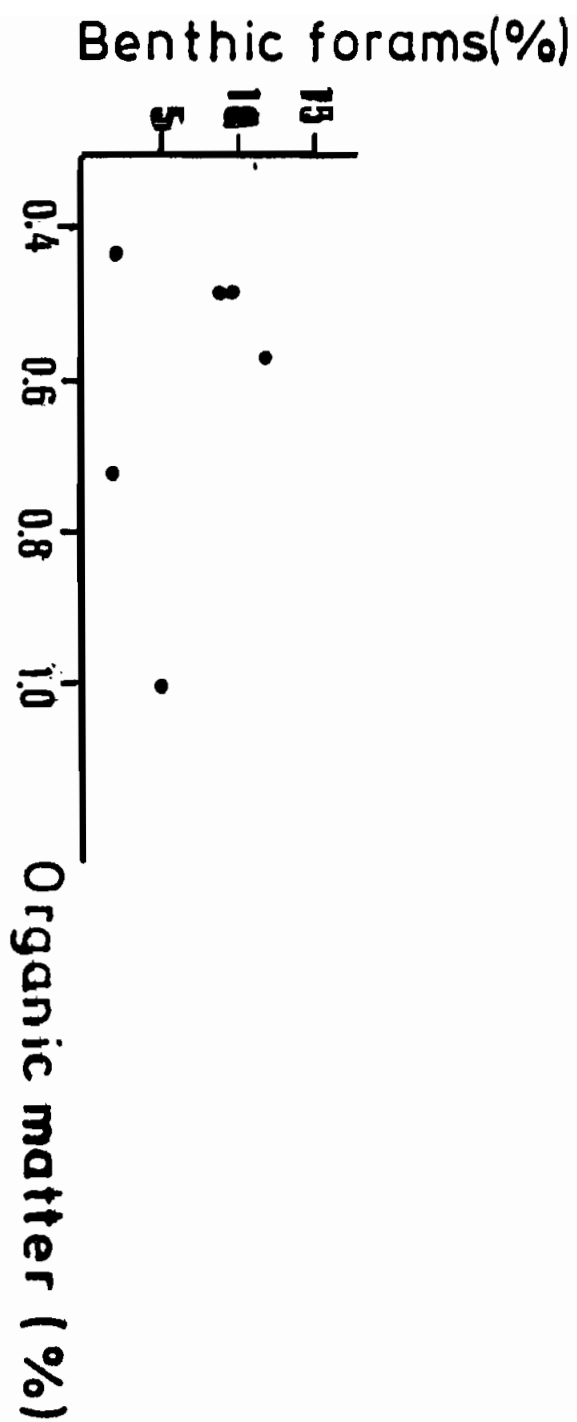


Fig 20

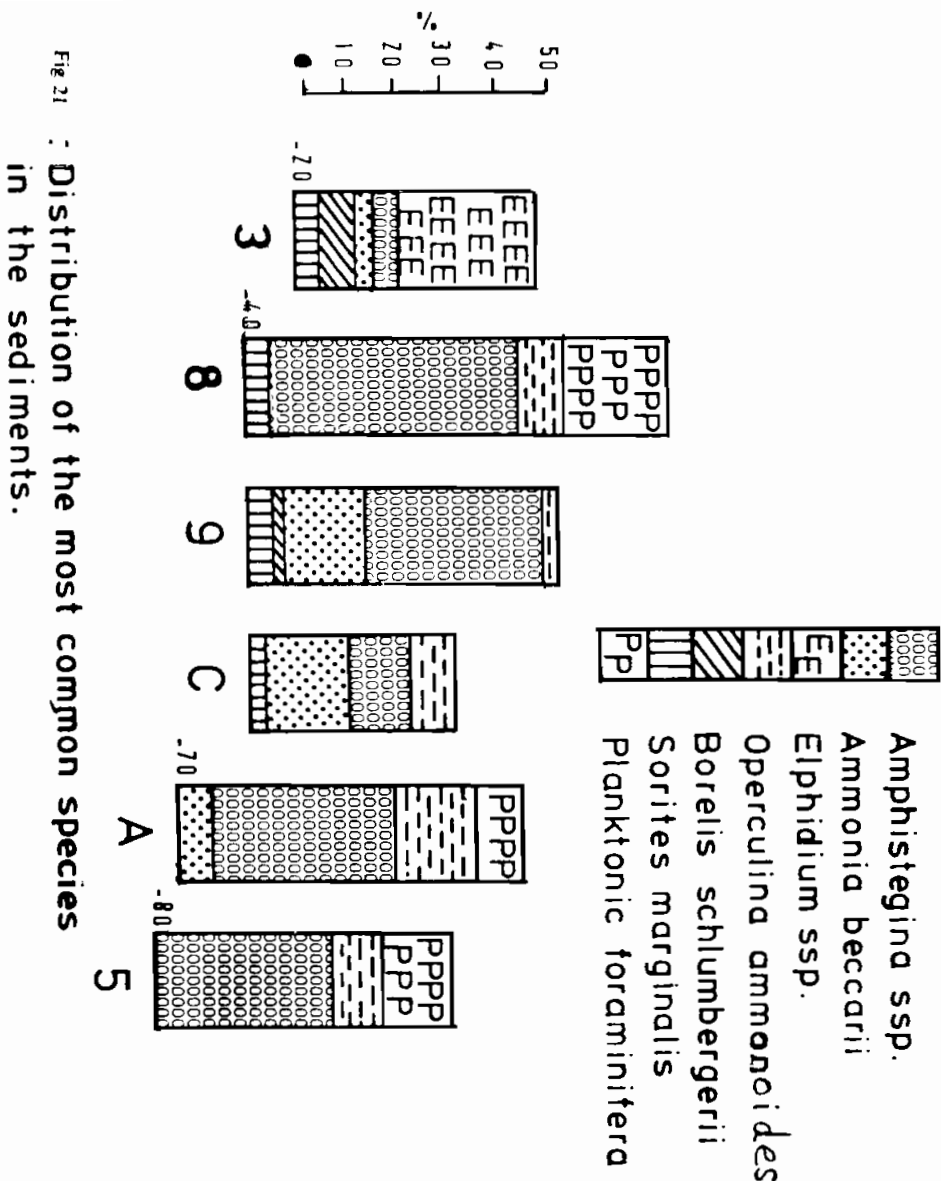
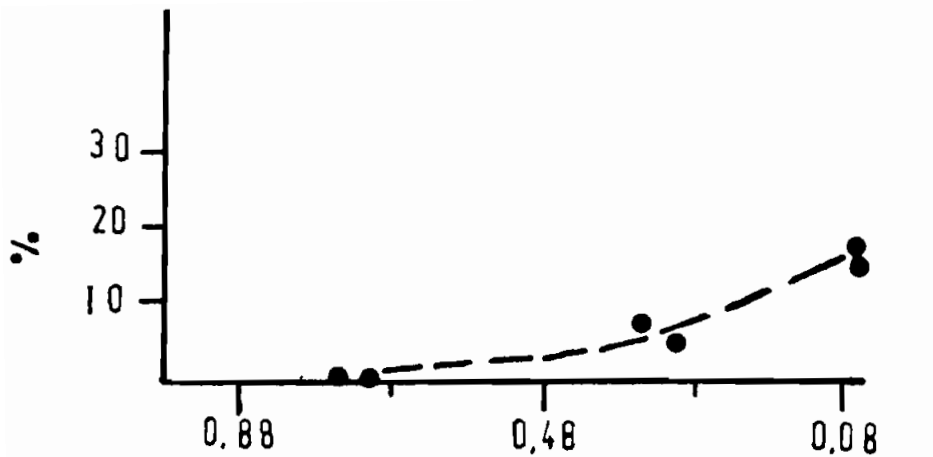


Fig 21 : Distribution of the most common species in the sediments.



: Distribution of *Ammonia beccarii* in relation to mean grain-size.

Fig 22

ويزيد توزيع *Sorites marginalis* بانها من الانواع التي تحبذ المياه الضحلة فهى تتوارد في اعمق تراوح ما بين ٤٠-٢٠ م بنسبة لا تزيد عن ٥٪ ويمكن اعتبار هذا العمق هو الحد الأقصى لعيشتها وهذا يتفق مع نتائج ١٩٦٩ (Blanc-Vernet) ويختلف مع دراسات (Davies 1976) الذى حدد فيها معيشة *Sorites marginalis* بعمق ٦٧ م وعلى هذا فانه من المعتقد بان الحد الأقصى لعيشة *Sorites marginalis* تزيد عن ٢٥ م بينما تعيش *Borelis schlumbergerii* في اعمق حتى ٤٠ م وتعيش *Sorites marginalis* ايضا حتى عمق ٤٠ م وتبلغ قمتها في اعمق تقل عن ١٠ م (Yusuf 1984) وتفيد النتائج بان توزيع معظم الانواع التي تسود في العينات المدروسة لا تظهر اي علاقة مع متوسط حجم حبيبات الروسوبيات . اما بالنسبة لامونيا بيكرى فهى تكثر في العينات الطينية وتقل في الرمال الخشنة وبين الشكل ٢٢، بأنه توجد هناك علاقة عكssية ما بين نسبة الامونيايكى ومتsoط حجم الحبيبات فهى تتوارد بنسبة ضئيلة في الروسوبيات ذات الحجم المتوسط ٣ م . وترتفع هذه النسبة الى ١٨٪ مع (صغر حجم) الحبيبات في العينات (٩ و ب) على عمق ٤٠ م بينما تخفي كلها في العينة ٨ والتي أخذت ايضا من عمق ٤٠ م شكل ٢٢ ومن المعتقد بأن هذا يعود الى متsoط حجم الحبيبات في هذه العينة والذي يبلغ ٧٥ م وينطبق هذا ايضا على اختفائها في العينة (٥) وهذا يدل على تقلص اهمية العمق في توزيعها في حين ان متsoط حجم حبيبات الروسوبيات الملامح لعيشتها يقل عن ٧٠ م وهذا ما يتفق مع دراسات (Frenkel 1974) الذي وجد ارتفاعا لنسبة الامونيا بيكرى في الروسوبيات عما هي عليه على الصخور والنباتات ومن ناحية اخرى فإنه من المؤكد بعكس ما ورد في دراسات (Phleger 1960) بأن امونيا بيكرى تعيش في البحر الأحمر في اعمق تقل عن ٨ م وتزيد عن ٣٥ م .

ومن الانواع التي تكتسب اهمية بالغة مع العمق هي *Operculina ammonoides*, *O. ammonoides* وظهور *Amphistegina Spp.* فقط في الاعماق التي تزيد عن ٤٠ م شكل (٦) وتبلغ قمتها في عمق ٧٠ م وهذا ما يتفق مع دراسات (Fermont 1977) الذي وجدتها في اعمق ما بين ١٥٠-٣٥ م . ومع نتائج (Riss 1977) الذى وجد بانها تكثر في خليج العقبة في عمق ٥٠ م . اما *Amphistegina spp.* بانواعها الاربعة فهى تطغى على باق الانواع في الاعماق التي تزيد عن ٤٠ م وتبلغ قمتها (٥٢٪) في عمق ٤٠ م شكل ٢١ وتسود في هذا العمق *Amphistegina lessonii* وتقل اهميتها مع العمق حتى تخفي كلها في عمق ٨٠ م والذى يظهر كحد اقصى لعيشتها في المنطقة المدروسة شكل (٢٣) وهذا ما ينطبق ابعضا على *Amphistegina lobifera* التي تبلغ قمتها

(٪ ١٠) في عمق ٢٠ م وتقل هذه النسبة مع العمق حتى تختفي كلية في عمق ٤٠ م . أما بالنسبة لـ *Amphistegina papillosa*, *Amphistegina bicirculata* فانهما لا يتواجدان في اعمق تقل عن ٤٠ م وتبعد *A. papillosa* قمتها في عمق ٦٠ م تقريباً وتقل نسبتها مع العمق بينما ترتفع نسبة *A. bicirculata* والتي تبلغ قمتها في عمق ٨٠ م شكل ٢٣ وتفق هذه النتائج مع الدراسات التي تمت في خليج العقبة . من قبل (Larsen 1977, Hansen & Buchardt 1977) والتي توصلوا من خلالها إلى أن توزيع انواع *Amphistegina spp.* يتعلق مباشرة بقيمة الضوء التي تصل إلى القاع وبالتالي بعمق الماء ولقد وجد (Hottinger 1972) بان اختفاء *Amphistegina lessonii*, *A. lobifera* على عمق ٨٠ م يعود إلى اختفاء *Halophila* التي تعيش عليها وعلى هذا فانه من المعتقد بان انتشار *Halophila lessonii*, *A. lobifera* كفاعدة لمعيشة *A. lessonii* يلعب ايضاً في المنطقة المدروسة دوراً هاماً في تواجد او اختفاء هذين النوعين بينما *A. papillosa*, *A. bicirculata* ليسا بحاجة إلى مثل هذه القاعدة وهذا ما يشير إلى ان توزيع بعض انواع *Amphistegina* يتعلق مباشرة بطبيعة القاع وبالتالي بقيمة الضوء التي تصل إليه واخيراً بعمق الماء وتفيد النتائج ايضاً بأنه لا يوجد هناك اي علاقة بين توزيع هذه الانواع ونوعية الروسوبيات في المنطقة وعلى هذا من المعتقد بان الأعمق التي حددت لمعيشتها من قبل د Blanc-vernet (٥ - ٢٠ م) و (Seiglie 1970) (٩٥ - ١٢٥ م) لا تتطبق على حدود معيشتها في البحر الأحمر .

٤ - ٥ - الخلاصة :

ان عمق الماء وبالتالي قيمة الضوء الذي يصل إلى القاع هو العامل الاساسى الذى يتحكم في توزيع الفورا منفرا القاعية وظاهر هناك علاقة عكssية بين توزيع المليولينا والروتالينا مع زيادة العمق .

ويتصح ايضاً بأنه لا توجد هناك علاقة واضحة بين توزيع الثلاثة تحت رتب مليولينا روتالينا وتيكسنولا رينا ومتوسط حجم حبيبات الروسوبيات في حين ان بعض الأنواع مثل امونيا بيكرى يتاثر توزيعه مباشرة بنوعية الروسوبيات التي يعيش عليها .

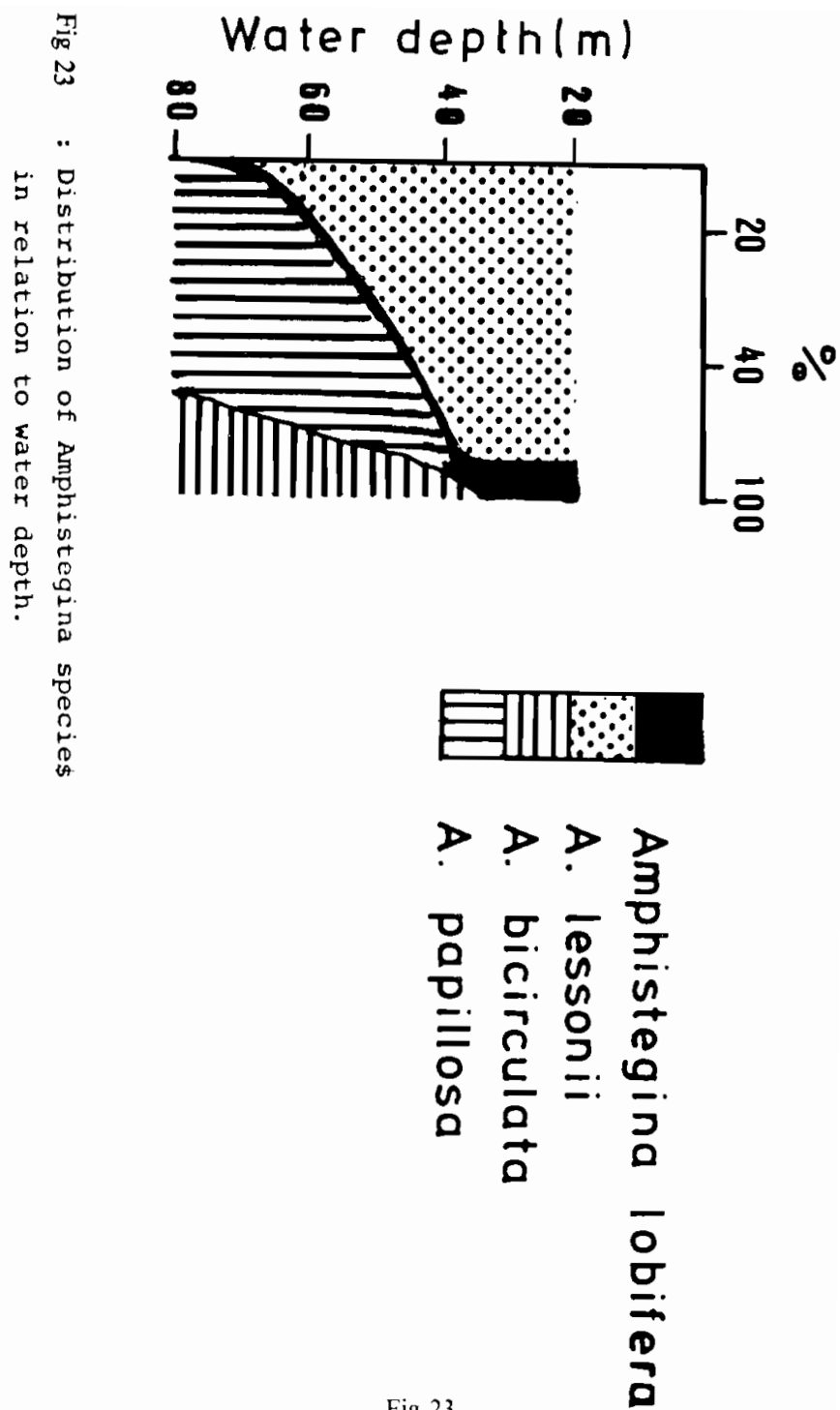


Fig 23

Fig 23 : Distribution of Amphistegina species in relation to water depth.

- ح - ٥ - دراسات جيولوجية على رواسب الكربونات البحرية
- ح - ٥ - ١ مقدمة
- ح - ٥ - ١ - ١ - جيولوجية المناطق الساحلية بين جدة وينبع
- ح - ٥ - ٢ - تضاريس القاع للمنطقة الممتدة بين جدة وينبع
- ح - ٥ - ٢ الطرق والوسائل
- ح - ٥ - ٣ النتائج والمناقشة
- ح - ٥ - ٣ - ١ - الدراسات الكيميائية
- ح - ٥ - ٣ - ١ - ١ - المكونات الرئيسية (للكربونات والمواد العضوية)
- ح - ٥ - ٣ - ١ - ٢ - المرجانيات
- ح - ٥ - ٣ - ٢ - المعادن الثقيلة
- ح - ٥ - ٣ - ٢ - ١ - الرواسب البحرية
- ح - ٥ - ٣ - ٢ - ٢ - المرجانيات
- ح - ٥ - ٣ - ٢ - ٣ - الدراسات المعدنية
- ح - ٥ - ٣ - ٢ - ٤ - الرواسب البحرية
- ح - ٥ - ٣ - ٢ - ٣ - ٢ - المرجانيات
- ح - ٥ - ٤ - الخلاصة

٥ - دراسات جيولوجية على رواسب الكربونات البحرية :

١ - مقدمة :

لقد تمت دراسة انتاجية الكربونات ورواسب الشعاب في البحار الدافئة وتعرضت تلك الدراسات لرواسب البحر الأحمر (Degens & Ross, 1968 Milliman, 1974; Bathurst, 1976).

وفي المناطق الخجولة بالشعاب المرجانية ترسب الكربونات بطريقتين ، امامكوانة المياكل الصلبة أو كرواسب غير متراكمة . واللاحظ أن الشعاب لا تكون فقط من المرجانيات بل أيضاً من طحالب كلسية ، أصداف الرخويات والفورا منفرا ... إلخ .

ونتيجة للعوامل الديناميكية النشطة في مناطق الشعاب ، فإن الفناء المتكون من الشعاب يكون عادة في أحجام الرمال الخشنة والخشبي .

وتكون رواسب الشعاب من خمس مكونات أساسية وهي فئات : المرجانيات والطحالب المرجانية الكلسية ، الطحالب الحضراء المنتجة للكربونات ، الفورا منفرا والرخويات . ولقد تم استعراض هذه المكونات لأنها هي التي تكون أساساً لرواسب الكربونات التي تغطي الأفريز الهامشي للبحر الأحمر .

ومن المعروف أنه على طول امتداد سواحل البحر الأحمر (حوالي ٢٧٥٠ كم) تنمو الشعاب المرجانية مكونة أما شعاب هدية ، أو حواجز ، أو قطع (Crossland, 1939) نتيجة لذلك فإن انتاجية رواسب الكربونات عالية جداً في البحر الأحمر حيث قيس معدل ترسيبها خلال عصر الهولوسين بحوالي ٥ جم/سم^٢ سنة ، وهي كمية تعادل ثلاثة أضعاف الكربونات المترسبة في البحر الأبيض المتوسط خلال تلك الفترة Milliman, 1974 وقد تمت دراسة رواسب الكربونات في شمال البحر الأحمر بواسطة Crossland, 1939; Shukri & Higazy, 1944 a.b; Mohamed, 1949; Said, 1950, 1951; Shukri, 1953; El-Deeb 1978; El-Sayed, 1984) وتجدر الإشارة إلى أن الدراسات الجيولوجية على امتداد الأفريز الهامشي للبحر الأحمر بين جدة وينبع قليلة جداً فقد تم دراسة تلك المنطقة في دراسة تمهدية بواسطة (Behairy et al 1983) غير أن هناك دراسة مستفيضة عن تلك المنطقة تمثل في دراسة تضاريس القاع تمت بواسطة (Behairy & El-Sayed, 1983) والأفريز الهامشي للبحر الأحمر هو أحد السمات المميزة لتركيبة الجيولوجي وذلك لافتقاره إلى وجود أفريز قاري متظور ، والأفريز الهامشي يتميز بصيقه على امتداد الساحل السعودي وشدة امتداده مقارنه بما هو موجود على الساحل الأفريقي للبحر الأحمر .

ومن المعلوم أن الدراسة الجيولوجية لقاع البحر الأحمر قد لا تعكس أهمية مباشرة على دراسة المصايد ، ولكن يجدر الإشارة هنا إلى دور الرواسب من حيث محتواها العضوي والأملال المعدنية كذلك العناصر الثقيلة في استكمال دورة الأملال والعناصر لماء البحر ، وكذلك مساهمة تلك الدراسات في الاستدلال على الملوثات المعدينة . كذلك فإن دراسة تضاريس القاع تكون لها أثر فعال لمعرفة أنساب الأماكن لعمليات الجر بالشباك .

ويعنى الدراسة الحالية إلى الاستدلال على مكونات الرواسب البحرية من حيث دراسة النسيج والمحتوى الجيوكيميائى والمعدنى للمنطقة المحصورة بين جدة وينبع ، علاوة على اضافة فكرة عامة عن جيولوجيا المنطقة الساحلية وتضاريس القاع في منطقة البحث .

٤ - ١ - ١ - جيولوجية المنطقة الساحلية بين جدة وينبع :

تتم دراسة جيولوجية المنطقة الساحلية بين جدة وينبع باستفاضة بواسطة (Behairy, 1983) والمدى من استعراض الدراسات الجيولوجية هو معرفة أثر الفئات الأرضى والساخلى على رواسب الكربونات التى تغطى الأفريز الخامشى .

تصف المنطقة الساحلية المتداة على الساحل السعودى للبحر الأحمر بوجود مرتفعات (مصاطب) تكونت بفعل التحت البحرى ومكونة من حجر جيرى مرجانى . هذه المصاطب تتوارد على ارتفاعات مختلفة من مستوى منسوب سطح البحر .

وفي المنطقة المتداة بين جدة وينبع فان السهل الساحلى يرتفع باتجاه القارة مكونا سهلا شرقيا مغطى برواسب طمى تجمعت من الجبال المحيطة . أما في اتجاه البحر فان هناك العديد من التراكيب المعروفة باسم (شرم) والتى تكونت فى وقت انخفاض منسوب سطح البحر فى عصور جيولوجية سابقة .

والسهل الساحلى ضيق قرب جدة ثم يتسع بغير انتظام فى اتجاه ينبع وهناك ثلاثة مستويات من الحجر الجيرى المرجانى تميز السهل الساحلى بارتفاع ١ ، ٣ ، ١٠ متر وقدرت اعمارها بواسطة الكربون المشمع بين ٣٠٠٠٠ او ١٠٠٠٠ سنة . وبديهى أن الأحدث عمرا هو الأقرب للساحل الان . وتكونت هذه المستويات عبر عمليات مستمرة لأنحسار البحر خلال الـ ٣٠٠٠ سنة الأخيرة (Behairy, 1983) .

أما بالنسبة لجيولوجية المنطقة بصفة عامة فتمثل في تواجد السهل الساحلي المكون في الحقب الرباعي . كذلك وجود البازلت Basalt . أما الجبال الخيطية فهي مكونة أساساً من الجرانيت Granite ، والأندزيت Andesite والديابيز Diabase والريوليت Rhyolite والحجر الأخضر Greenstone بينما يكون الديوريت Diorite . وجرانوديوريت Granodiorite والأمفيبول Amphibole نسبة قليلة من هذه المكونات .

ح - ٥ - ١ - ٢ - تضاريس القاع للمنطقة الممتدة بين جدة وينبع :

ان تضاريس القاع للساحل الشرقي للبحر الأحمر قد تم تفصيلها باستفاضة في دراسة (Behairy & El-Sayed, 1983) . وتميز المنطقة بصفة عامة بوغررة القاع وشدة الانحدار ، وتلخيصاً لتضاريس القاع لو افترضنا قطاعاً متماماً على الشاطئ فإننا نجد أولاً لاجون ساحلي ذو أعماق مختلفة لا تتعدي ١٠ أمتار ، يلي ذلك في اتجاه البحر شعاب مستوية ، ثم حاجز مرجاني ثم ينحدر بشدة إلى خندق بين الشعاب المرجانية وال الحاجز يصل العمق فيه بين ٦٠٠-٤٠٠ متر . ثم المنطقة الخلفية للجاجز وفيه ينحدر القاع بشدة من ٦٠٠-٤٠٠ ١٠٠٠ متر ثم آخذ في الانحدار حتى عمق ٢٠٠٠ متر على امتداد الخندق المورى للبحر الأحمر .

ح - ٥ - ٢ - الطرق والوسائل :

تم جمع عينات من رواسب القاع أو من قطع الشعاب وذلك من ١٢ محطة تبعاً للخطة العامة لمشروع البحث إضافة إلى ثلاثة محطات إضافية أمام رابع لدراسة التلوث بالمعادن . وقد أجري تعديل في المحطات نظراً لتضاريس القاع ووجود رواسب من عدمه وذلك تبعاً للجدول رقم (١) والمبين فيه رقم المحطة وموقعها (خط طول وعرض) والعمق وبيانات أولية عن العينات .

جمعت العينات بواسطة كباش وتم سير الأعماق وتسجيلها ، وتحدر الاشارة إلى أن الكباش قد فشل في عدة محطات في الحصول على أي عينات (انظر الجدول ١) .

تم غسل العينات للتخلص من الأملاح ثم جفنت ، وأجرى بعد ذلك تقسيمها لإجراء تحليل لمعرفة حجم الرواسب ثم التحليل الكيميائي والمعدني .

بالنسبة لتحليل حجم الرواسب فقد تم ذلك بواسطة غربلة الرواسب في مجموعة من المناخل القياسية ، ثم تم وزن الأجراء المقصولة في المناخل ذات الأحجام القياسية ومن ثم حساب نسبة التكرار والتراكم . . اسخدام معادلات (Folk 1974) تم حساب متوسط الحجم M_{phi}

موقع العينات والعمق

جدول رقم (١)

ملاحظات	العمق بالمتر	المرفق		رقم المخطة
		خط طول (شرقاً)	خط عرض (شمالاً)	
شعاب	٣٠	٥٥ ٠٣٨	٤٦ ٠٢١	١
شعاب ، رمال شعاب	٢٠	٥٢ ٠٣٨	٣٩ ٠٢١	٢
طين رمل كلى	٢٠	٤٤ ٠٣٨	٥١ ٠٢١	٣
شعاب	٢٠	٤٥ ٠٣٨	٥١ ٠٢٢	٤
رمال	٨٠	٥٨ ٠٣٨	٣٦ ٠٢٢	٥
-	٦٠٠	٥٩ ٠٣٨	٢٤ ٠٢٢	٦
شعاب	٦٠	٥٩ ٠٣٨	٣٩ ٠٢٢	٧
رمل وبقايا أصداف	٤٠	٤٥ ٠٣٨	٥٠ ٠٢٢	٨
طين رمل	٤٠	٤١ ٠٣٨	٥٦ ٠٢٢	٩
شعاب	٦٠	٢١ ٠٣٨	٣٠ ٠٢٢	١٠
-	-	- -	- -	١١
شعاب ، رمال شعاب	٤٠	١٠ ٠٣٨	٤٩ ٠٢٢	١٢
رمال وأصداف	٧٠	- ٥٣٩	٤٠ ٠٢٢	رابع أ
شعاب	٧٥	٥٨ ٠٣٨	٤٧ ٠٢٢	رابع ب
طين	٤٠	٥٦ ٠٣٨	٤٤ ٠٢٢	رابع ج

بالنسبة لتجهيز العينات للتحليل الكيميائي والمعدني فقد تم طحن الرواسب أو عينات المرجانيات في هاون من العقيق حتى صارت ناعمة جداً . تم تقدير أكسيد الكالسيوم والمغnesium ومنها حساب الكربونات الكلية بواسطة طريقة (Riley, 1958) ، وتم تحديد المحتوى العضوي الكلي بعد تعين الكربون العضوي بطريقة (El-Wakeel & Riley, 1957) أما الفوسفور الكلي فقد عين بواسطة طريقة (Riley & Burton, 1958) أما العناصر الثقيلة فقد تم تعينها بقياس تركيزها بواسطة جهاز امتصاص الأطيف الذري للعناصر AAS IL 157 بعد استخلاص العناصر تبعاً لطريقة (Robinson, 1980).

أما التحليل المعدني للتعرف على مجموعات المعادن الأساسية في الرواسب والمرجانيات فقد تم باستخدام جهاز تشتيت أشعة اكس XR D ، ثم استخدام الحساب في معرفة التركيز النسبي لكل معدن من تحليل منحنيات تشتيت الأشعة .

٤ - ٥ - ٣ - النتائج والمناقشة :

في هذا الجزء سيتم استعراض نتائج الدراسة على كل من مكونات الرواسب وبقايا المرجانيات .

تميزت الرواسب التي تم جمعها بوجه عام بخشنونتها وترواحت أحجامها بين الرمل الخشن واللحمي ، غير أن هناك عينتين تتميزان بوجود حجم الرمال الدقيقة كذلك الطين بها . أما بقايا المرجان التي جمعت فقد غالب عليها وجود *Stylophora sp.*, *Acropora sp.* وإذا استعرضنا الجدول (١) فاننا نجد أن الحجم لا يتوقف على العمق الذي جمعت منه الرواسب .

وقد تم ذكر متوسط الحجم للرواسب M_{phi} في الجدول (٢) وترواح حجم الحبيبات بين ٨٤ ر.٠ فاي (خشن) و ٤٢٠ ر.٤ فاي (طين) ، والغالب على الرواسب هو الحجم الخشن . وهذا الحجم يعزز إلى امتداد الرمال بفتات الكائنات البحرية والأصداف والمرجانيات ، أما الحجم الدقيق فيغلب عليه التأثير بالرواسب القارية عبر السيلول أو الرواسب القديمة في تلك المناطق .

٤ - ٥ - ٣ - ١ - الدراسات الكيميائية :

٤ - ٥ - ٣ - ١ - ١ - المكونات الرئيسية (الكربونات والمواد العضوية) ،

٤ - ٥ - ٣ - ١ - ١ - ١ - الرواسب البحرية ،

ترواح تركيز أكسيد الكالسيوم في الرواسب بين ٢٤٪ و ٣٠٪ ر.٨ و ٩٢٪ و ١٣٪ ر.٦ ، أما أكسيد الماغنيسيوم فترواح تركيزه بين ٧٩٪ و ٩٨٪ . أما الكربونات الكلية فترواحت نسبتها بين ٩٢٪ و ٩٨٪ .

أن ارتفاع تركيز الكربونات الكلية في الرواسب تؤكد على الأصل البيولوجي لتلك الرواسب من حيث كونها بقايا كائنات بحرية تكون أصدافها وهياكلها من كربونات الكلسيوم (Milliman, 1974) . كما لوحظ ارتفاع بسيط في تركيز الكربونات مع الأحجام الأكبر خشونة نسبيا (جدول رقم ٢) والتي تزيد بها قطع المرجان وأصداف الرخويات .

وعلى كل فإن النسبة المرتفعة للكربونات في رواسب البحر الأحمر صفة مميزة لتلك الرواسب وخاصة في مناطق الشعاب والمناطق الضحلة والبعيدة عن مناطق الأغوار أو الأعمق البعيدة (Friedman, 1968; Behairy, 1980; El-Sayed & Hosny, 1980; Durgaprasada Rao 1983; El-Sayed, 1983) . وترواح معدل تركيز الكربون العضوي في الرواسب بين ٢١٪ و ٥٨٪ ر.٠ و ٢١٪ ر.٥ مع تغير منطقة رابع بأعلى نسبة كربون عضوي في رواسبها جدول (٢) . ويترتب على ذلك تواجد

المحتوى العضوي الكلى بنسب تراوح بين ٣٧٪ و ٥٠٪ . والكربون العضوى فى رواسب المنطقة بين جدة وينبع أقل منها فى رواسب المنطقة الساحلية للمردقة على الساحل المصرى للبحر الأحمر (El-Sayed & Hosny, 1980).

والفوسفور الكلى تراوح تركيزه بين ٢٠٪ و ٦٥٪ مع استمرار زيادة الفوسفور فى رواسب منطقة رابع مثل الكربون العضوى جدول (٢) .

وان المحتوى القليل نسبياً للمواد العضوية فى رواسب البحر الأحمر فى منطقة جدة - ينبع يعكس قلة الانتاجية الأولية بشكل عام وغياب المواد القارية التى من الممكن أن تزيد من تلك المعدلات .

أما منطقة رابع بما تمثله من أنشطة مكثفة على ساحلها يسبب بعض الاضافات العضوية للرواسب عبر الأنشطة الآدمية والصناعية .

جدول رقم (٢)

نتائج التحليل الكيميائى للرواسب

(أ) المكونات الأساسية ومتوسط الحجم

رقم المخطة	متوسط الحجم فائى	الكربونات الكلية %	الكربون العضوى %	المادة الكلية %	المادة العضوية %	الفوسفور الكلى %	أكسيد الكلسيوم %	أكسيد المغنيسيوم %
١	-	-	-	-	-	-	-	-
٢	١٢٥	٩٨٩٢	٠٤٨	٠٨٧	٠٢٠	٣٦٤٦	٣٦١٣	-
٣	١٦٦	٩٧٨٧	٠٢٧	٠٤٩	٠٣٦	٣٥٦٢	٧٣٢	-
٤	٣٣٣	٩٥٢٣	٠٢٤	٠٤٣	٠٥٢	٣٢٠١	٦٩٧	-
٥	٠٨٩	٩٧٩٢	٠٣١	٠٥٦	٠٥٧	٣٠٠٨	٦٢٧	-
٦	-	-	-	-	-	-	-	-
٧	-	-	-	-	-	-	-	-
٨	٠٨٤	٩٨٠٢	٠٢٤	٠٤٣	٠٣١	٣٨٢٤	٧٧٧	-
٩	٣٩٢	-	٠٣٩	٠٧٢	٠٤٢	٣٦٤٢	٧٨٢	-
١٠	-	-	-	-	-	-	-	-
١١	-	-	-	-	-	-	-	-
١٢	٠٨٥	٩٧٢٤	٠٢١	٠٣٧	٠٢٣	٣٧٧٤	٧٧٠	-
أ	١٤٤	٩٢٢٣	٠٢٧	٠٤٩	٠٥٢	٣٦١٠	٧٩٨	-
ب	-	-	-	-	-	-	-	-
ج	٤٢٠	٩٢٠٥	٠٥٨	١٠٥	٠٦٥	٣٦٥٧	٧١٣	-

٤ - ٥ - ١ - ٢ - المرجانيات :

تعتبر معدملات توزيع وتركيز أكسيد الكالسيوم والماغنيسيوم والكربونات الكلية في المرجانيات أعلى من معدلها في الرواسب بصفة عامة . وبين ذلك قلة تركيز المواد العضوية والفوسفور بها مقارنة بالرواسب (جدول ٣) .

وقد بلغ تركيز أكسيد الكالسيوم في عينات المرجانيات وكلها اما *Acropora sp.* او *Stylopora sp.* بين ١٠١٪ و ٤٠٪ اما أكسيد الماغنيسيوم فترواح بين ١٥٪ و ٨٪ والكربونات الكلية فترواح تركيزها بين ٩٨٪ و ٩٩٪ .

وان ذلك يؤكد على أن البقايا البيولوجية هي المصدر الرئيسي للرواسب على امتداد الأفريز الهاشمي بين جدة وينبع .

اما الكربون العضوي فترواح تركيزه بين ٦٪ و ٧٥٪ بينما تراوح تركيز الفوسفور الكليل بين ٠٠٦٪ و ٠٥١٪ في المرجانيات وهي نسب أقل من معدلاتها في الرواسب . وهذه التركيزات تفسر فعل الاضافات الغير بيولوجية على تركيز الكربون العضوي والفوسفور في الرواسب أو بفعل تحلل الأجزاء الحية من الكائنات وامتزاجها بالرواسب .

جدول رقم (٣)

نتائج التحليل الكيميائي للمرجانيات

(أ) المكونات الأساسية

رقم المخطة	الكربونات الكلية٪	الكربون العضوي٪	المادة العضوية الكلية٪	الفوسفور الكليل٪	أكسيد الماغنيسيوم٪	أكسيد الكلسيوم٪
١	٩٨٢٠٪	٧٥٠٪	١٣٦٪	٠٠٩٪	٤٠١٤٪	٧٥٥٪
٢	٩٨٨٢٪	٠٦٪	٠١٢٪	٠٠٦٪	٣٥٣٩٪	٦١٥٪
٥	٩٩٣٠٪	٠٦٪	٠١٢٪	٠٥١٪	٣٣٠١٪	٦٦٢٪
٧	٩٨٧٢٪	٤٨٪	٠٨٧٪	٠٠٩٪	٣٣٤٩٪	٦٣٣٪
١٠	٩٩١٠٪	٤٨٪	٠٨٧٪	٠٢٠٪	٣٦٣٣٪	٨٠٠٪
١٢	٩٨١٠٪	٧٢٪	١٣٠٪	٠١٤٪	٣٨٩٥٪	٧٢١٪
ب	٩٨٥٠٪	٦٢٪	١١٪	٠٣٩٪	٣٣٢٥٪	٧٤٥٪

ح - ٥ - ٣ - ١ - ٢ - المعادن الثقيلة

ح - ٥ - ٣ - ١ - ٢ - ١ - الرواسب البحرية

تم تعين خمسة من المعادن الثقيلة في الرواسب البحرية وكذلك المرجانيات . وهذه المعادن هي الحديد ، المنجنيز ، الزنك ، النحاس ، والكادميوم . وقد درست هذه المعادن لما لها من أثار قد تضرر بالبيئة البحرية اذا ما زاد تركيزها عن حدود التوازن الطبيعي في البيئة وتعتبر في تلك الحالة ملوثات معدنية .

ويتراوح تركيز الحديد في الرواسب بين ١٢٠ و ٢٦٩٧ جزء في المليون مع وجود أعلى نسبة في رواسب منطقة رابع . وعموماً فإن معدلات تركيز الحديد ، اذا ما استثنينا عينات رواسب رابع ، تتمثل مع رواسب منطقة القصر بشمال جدة (El-Sayed, 1983) . كما أن تركيز الحديد أقل عن مثيله في رواسب منطقة الغردقة (El-Sayed, 1984) . علماً بأن رواسب المنطقة الأخيرة يظهر فيها فعل امتصاص الرواسب القارية الغنية بعنصر الحديد . والتركيز لهذا العنصر في المنطقة بين جدة وبين ميناء نواعماً تركيزه في رواسب خليج العقبة (Friedman, 1968) والمنجنيز يلي الحديد من حيث تواجده بوفرة في الرواسب (جدول رقم ٤) . ويتراوح معدل تركيزه بين ١٢ و ٢٣٠ جزء في المليون .

والزنك يوجد بمعدلات أقل من المنجنيز حيث يتراوح تركيزه بين ١١ و ٢٩ جزء في المليون مع استمرار تسجيل التركيزات المرتفعة لكل من الزنك والمنجنيز في منطقة رابع . والنحاس يتراوح معدل تركيزه بين ٦ و ٢٠ جزء في المليون ، والكادميوم أقل العناصر على الاطلاق من حيث تركيزه حيث يبلغ حوالي جزء واحد في المليون أو أقل من ذلك (جدول رقم ٤) .

وهذه التركيزات على وجه العموم تتمثل مع تلك الموجودة في رواسب الشعاب في البحر الأحمر (Milliman, 1974; El-Sayed, 1983) أو جزر البهاما (Friedman, 1968) .

ومن المؤكد أن منطقة رابع كما تعانى رواسبها من تراكم المواد العضوية فانها تتميز بتركيز المعادن الثقيلة مكونة ما يمكن تصنيفه بعها لذلك بالتلوث بالمعادن الثقيلة ، وعلى وجه العموم فإن المحتوى من المعادن الثقيلة يمثل التركيزات الأساسية التي تدخل في تركيب المياكل والأصداف البحرية والتي تستخدمن بواسطة تلك الكائنات لبناء هياكتها . والجدير بالذكر أن تركيز عنصرى الحديد والمنجنيز في رواسب رابع (متوسط حوالي ٢٤٠٠ و ١٦٠ جزء في المليون) هو حوالي ١٠ أضعاف الموجودة في رواسب الكائنات المماثلة في تركيزها حيث تبلغ ٣٤٠ جزء في المليون للحديد و ١٠ أجزاء في المليون للمنجنيز (Milliman, 1974) .

جدول رقم (٤)
**نتائج تحليل المعادن الثقيلة في الرواسب
 مقدرة بجزء في المليون**

رقم الخطوة	حديد	منجنيز	زنك	نحاس	كاديوم
٢	١٢٣	١٢٨	١١٣	٦	٠٧
٣	٢٥٧	٢١٤	١١٦	١٠	٠٩
٤	٢٨٠	٢٠-	١٢٧	١١	٠٩
٥	١٧٨٥	٩٠-	١٦-	١٢	٠٨
٨	١٨٠	١٧١	١٢٨	١٠	١٢
٩	٢٤٨	٩٥٧	٢٦-	١٨	٠٩
١٢	١٢٠	١٤٢	١٨٦	١٠	٠٧
١	٢١٤٠	٩٨٥	٢٧٨	١٨	٠٣
٢	٢٦٩٧	٢٣٠-	٢٩٢	٢٠	٠٥

٢ - ١ - ٣ - ٤ - ٥ - ح -

يوضح الجدول رقم (٥) تركيز العناصر الثقيلة (حديد ، منجنيز ، نحاس ، وكاديوم) في هيكل المرجانيات الموجودة في بعض العينات التي جمعت من منطقة البحث .

ومن هذا الجدول يتضح أن تركيز تلك العناصر على وجه العموم أقل منها في الرواسب ، حيث تراوح تركيز عنصر الحديد بين ٩٧ و ٩٥ جزء في المليون ، والزنك بين ١٠ و ٢٧ جزء في المليون ، والنحاس بين ٦ و ١٦ جزء في المليون والكاديوم حوالي جزء واحد في المليون .

وهذه التركيزات على وجه العموم مماثلة لما وجد في مرجانيات خليج العقبة (Friedman, 1968) والمرجانيات في مناطق مختلفة من العالم (Milliman, 1974).

جدول رقم (٥)
نتائج تحليل المعادن الثقيلة في المرجانيات
مقدمة بجزء في المليون

رقم الخطوة	حديد	منجنيز	زنك	نحاس	كادميوم
١	١٤٨	٨٥	١٨٦	١٤	١٤
٢	٩٧	٤٢	١٠٠	٦	١٢
٧	١٤٢	١١	٢٧	١٢	١٢
١٠	٣١٤	٤٥	٢١٤	١٤	٠٩
١٢	١٦٢	١١	١٧٣	١٤	٠٩
ب	٩٠٥	٨٨	٢٣٥	١٦	٠٢

ح - ٥ - ٣ - ٢ - الدراسات المعدنية :

ح - ٥ - ٣ - ٢ - ١ - الرواسب البحرية :

يوضح جدول رقم (٦) التواجد النسبي وتركيز معادن الكربونات الأساسية في الرواسب وهي معادن الأراجونيت (كالك أم) ، الكالسيت (كالك أب) وكالسيت عالي ماغنسيوم (ماغنسيوم أكثر من ١٥ جزء %) .

وفي الرواسب التي تعطى الأفريز الهاشمى بين جدة وينبع ، وجد أن معادن الأراجونيت يتراوح تركيزه بين ٣٨ % و ٧٠ % مشتملًا تقريباً في ذات النسبة مع الكالسيت عالي الماغنسيوم ويتراوح تواجده بين ٣٠ % و ٧٠ %. أما معادن الكالسيت فقد أظهرت منحنيات تشتت أشعة أكس أنه موجود فقط في بعض العينات وغائب من الأخرى ويتراوح نسبته بين ١٪ و ٦٪ (شكل (٢٤))

وهذه المجموعة من المعادن متماثلة مع تلك الموجودة في رمال منطقة القصر بشمال جدة (Durgaprasada Rao, 1984) ، ومنطقة الغردقة (Friedman, 1968، El-Sayed, 1984) . ومعادن الكربونات أساساً هي معادن ذات أصل بيولوجي خاصّة إذا مانعيزت بوجود الكالسيت عالي الماغنسيوم مقتربنا مع أراجونيت . وكلها دلالات على الأصل البيولوجي لتلك الرواسب في تلك المنطقة .

جدول رقم (٦)
نتائج تحليل معادن الكربونات في الرواسب

كالسيت %	كالسيت عالي المغسيوم %	أرجونيت %	رقم المخطة
-	٤٥	٥٥	٢
١	٤٦	٥٣	٣
٣	٦٨	٢٩	٤
٢	٧٠	٢٨	٥
-	٥٠	٥٠	٨
-	٣٠	٧٠	١٢
٢	٦٥	٣٣	٦
٦	٥٨	٤٦	٧

٤ - ٥ - ٣ - ٢ - ٢ - المرجانيات :

أظهرت دراسات منحنيات تشتت أشعة أكس غياب معدن الكالسيت على الاطلاق من عينات المرجانيات بينما تواجدت فقط معادن الأرجونيت والكالسيت عالي المغسيوم . ويظهر الجدول (٧) التواجد النسبي للمعدنين وتركيزهما في العينات التي جمعت كذلك يظهر الشكل ٢٥ منحنيات التشتت لأشعة أكس في تلك العينات .

والأرجونيت تصل نسبته حتى ١٠٠٪ في بعض العينات . وفي الأخرى لا يقل عن ٧٥٪ بينما الكالسيت عالي المغسيوم يتراوح تركيزه بين ٢٪ و ٢٥٪ .

جدول رقم (٧)

نتائج تحليل معادن الكربونات في المرجانيات

كالسيت عالي الماغسيوم %	أرجونيت %	رقم المخطة
-	١٠٠	١
١٠	٩٠	٢
٢	٩٨	٧
٢٥	٧٥	١٢

Mg C

↓

5

C

A

C

C

F

A

O

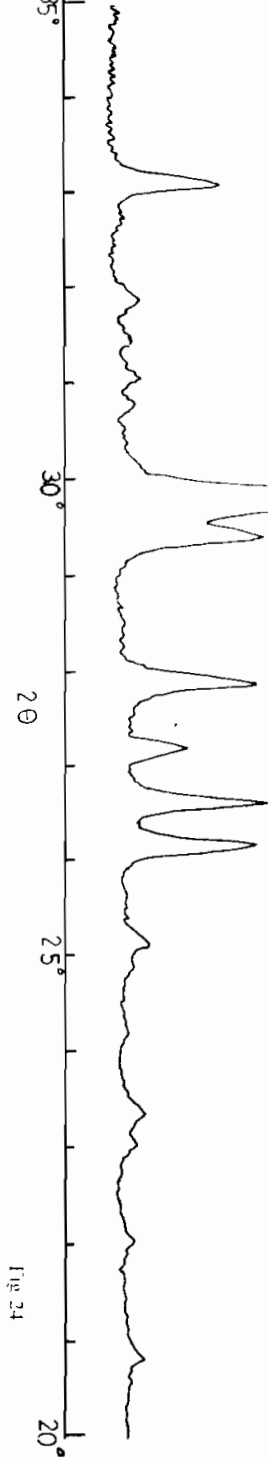
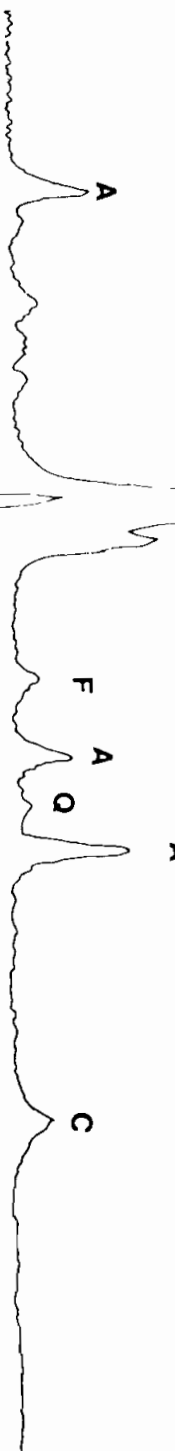


Fig 24

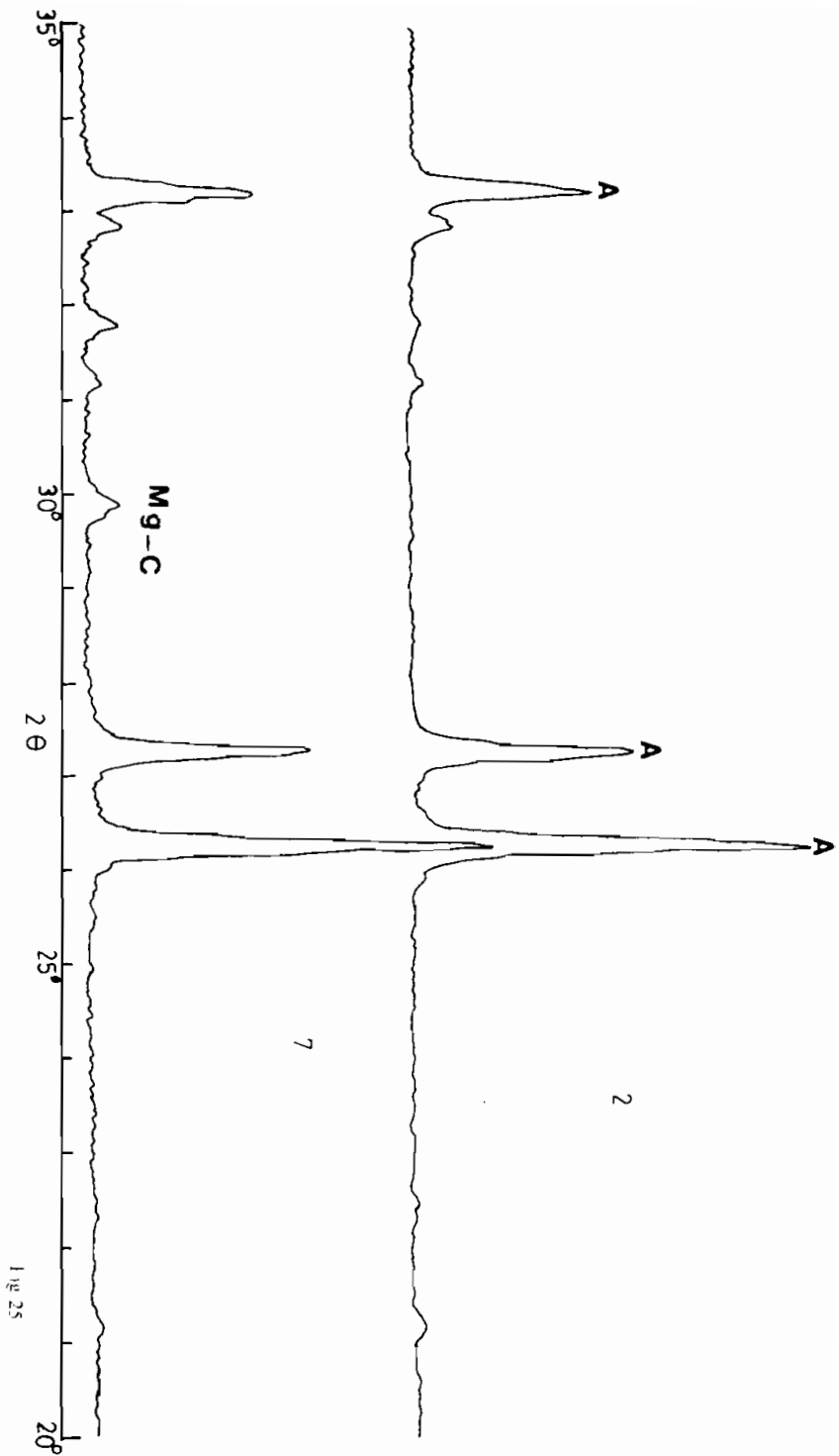


Fig 25

٤ - ٥ - الخلاصة :

أوضح البحث على منطقة الأفريز الهاشمى بين جدة وينبع أن خريطة الادميرالية رقم ١٣٨ يجب أن تصحح لوجود أعمق أكبر من المسجلة عليها (Behairy & El-Sayed, 1983).

أما دراسة رواسب الكربونات في منطقة البحث فقد أظهرت انتاجية الكربونات المرتفعة من الشعاب حيث كان ذلك صفة مميزة لجميع البحار الحارة وأن المكونات الأساسية لتلك الرواسب هي فتات المرجان ، والطحالب المرجانية ، الرخويات ، الفورا مينفرا كذلك الطحالب المنتجة للкарbonات مثل *Halimeda sp* ومعادن الكربونات المنتجة هي بالتألى ذات أصل بيولوجي كما أنها حديثة نتيجة لغياب معدن الدولوميت مثلاً والذى يصاحب عمليات الدلتة مع تقادم الرواسب .

وقد أوضحت الدراسة أن المكونات الكيميائية المختلفة وبخاصة المواد العضوية وبعض المعادن الثقيلة توجد بتركيزات عالية نسبياً في منطقة رابع وتلك اشارة الى تلوث الرواسب في تلك المنطقة نتيجة لازدياد النشاط الصناعي والعمانى وعلى ذلك فيجب الاهتمام بدراسة بيئة تلك المنطقة ومحتملى المعادن الثقيلة بالأسمك وصلاحية استمرار نشاط المصايد بها .

- Shukri, N.M., 1953. Bottom deposits of the Red Sea. *Nature*, 155: 306.
- Solorzano, L. and Strickland, J.D.H., 1966. In: Harold Barnes (eds.) Some contemporary studies in Marine Science, P. 665-674.
- Solorzano, L. and Ehrlich, B., 1979. Chemical investigation of Loch Creran, Scotland. *J. Exp. Mar. Biol. Ecol.*, 40: 1-25.
- Storch, T.A. and Saunders, G.W., 1978. Phytoplankton extracellular release and its relation to the seasonal cycle of dissolved organic carbon in the eutrophic lake. *Limnol. Oceanogr.* 23: 112-119.
- Strickland, J.D.H. and Parsons, T.R., 1972. Practical handbook of seawater analysis. *Bull. Fish. Res. Board. Canada*. 167: 1-311.
- Sunda, W., 1975. The relationship between cupric ion activity and the toxicity of copper to phytoplankton. Thesis, WHOI/MIT.
- UNESCO, Division of Marine Sciences, 1974. Marine Science Program for the Red Sea; recommendations of workshop held in Bremenhaven, F.R.G. 22-23 Oct. 1974. 29 pp.
- UNESCO, 1976. Guide to operational procedures for the "IGOSS" pilot project on marine pollution (*Petroleum*) Monitoring. Report 7, pp. 50.
- UNESCO/IOC, 1982. Global Oil Pollution, Results of MAPMOPP, the IGOSS Pilot Project on Marine Pollution (*Petroleum*) Monitoring, pp. 35.
- Von Holt, C. and Von Holt, M., 1968. Transfer of photosynthetic products from Zoocanthellae to coelentrerate hosts. *Comp. Biochem. Physiol.* 24: 73-81.
- Wangersky, P.J., 1972. The cycle of organic carbon in sea water. *Chimica*, 26: 559-564.
- Wangersky, P.J., 1978. Production of dissolved organic matter. In: O. Kinne (ed.) *Marine Ecology*. Wiley, Chichester. Vol. IV, pp. 115-200.
- Wattenberg, H., 1937. Die chemischen Arbeiten auf der "Meteorm" Fahrt, Feb.-Mai. 1937. *Ann. Hydrogr. Berl. Sept. Beiheft*: 17-22.

- Mohammed, A.F., 1949. The distribution of organic matter in sediments from the Northern Red Sea. *Am. J. Sci.*, 247: 116-127.
- Mopper, K., 1977. Sugars and uronic acids in sediments and water from the Black Sea and North Sea with emphasis on analytical techniques. *Marine Chem.*, 5: 585-603.
- Morcos, S.A., 1970. Physical and chemical oceanography of the Red Sea. *Oceanogr. Mar. Biol. Annu. Rev.* 8: 73-202.
- Murray, J., 1973. Distribution and ecology of living Benthic foraminiferid, Heineman Educational Books, 275 p.
- Neihof, R. and Loeb, G., 1974. Dissolved organic matter in sea water and the electric charge of immersed surfaces, *J. Mar. Res.* 32: 5-12.
- Outdot, J.P.F.; Van Preat, H.; Feral, J.P. and Gill, F., 1981. Hydrocarbon weathering in seashore invertebrates and sediments over a two-year period following the Amoco Cadiz oil spill: influence of microbial metabolism. *Environ. Pollut. Ser. A*, Vol. 26n-2, pp. 93-110.
- Prakash, A. and Rashid, M.A., 1968. Influences of humic substances on the growth of marine phytoplankton: dinoflagellates. *Limnol. Oceanogr.*, 13: 598-606.
- Paasche, E., 1973. Silicon and the ecology of marine plankton diatoms. I. *Thalassiosira pseudonana* (*Cyclotella nana*) grown in a chemostat with silicate as limiting nutrient. *Mar. Biol.*, 19: 117-126.
- Rashid, M.A., 1969. Contribution of humic substances to the cation exchange capacity of different marine sediments. *Maritime Sediments*, 5: 44-50.
- Reiss, Z.; Klug, K. and Merling, P., 1961. Recent foraminifera from the Mediteranean and Red Sea coasts at Israel, *Isr. Geol. Surv. Bull.*, 32: 27-28.
- Reiss, Z., 1977. Foraminifera research in the Gulf of Elat-Aqaba – a review. *Utrecht Micro. Bull.*, 15: 7-27.
- Riley, J.P., 1958. The rapid analysis of silicate rocks and minerals. *Anal. Chim. Acta*, 19: 413-428.
- Robinson, P., 1980. Determination of calcium, magnesium, manganese, strontium, sodium and iron in the carbonate fraction of limestones and dolomites. *Chem. Geol.*, 28: 135-146.
- Saad, M.A.H. and Fahmy, M.A., 1983. Vertical variation of nutrient salts in El-Qasr region. In: Ecology of a coral reef complex and an inshore lagoon near Sharm Obhur, Red Sea. Final Report, K.A.U. FMS and Nice Univ.
- Said, R., 1949. Foraminifera of the northern Red Sea. Cushman Lab. Foraminiferal Res. Spec. Publ., 26: 1-44.
- Said, R., 1950. The distribution of foraminifera in the northern Red Sea. *Contrib. Cushman Found Foran. Res.*, 1: 9-29. id, R. (1951) Organic origin of some calcareous sediments from the Red Sea. *Science*, 113: 518-519.
- Sellner, K.G., 1981. Primary productivity and the flux of dissolved organic matter in several marine environments. *Marine Biol.* 65: 101-112.
- Shaikh, E.A., 1981. Phytoplankton ecology and production of the Red Sea off Jeddah, Saudi Arabia. Ph.D. Thesis, Open Univ.
- Shukri, N.M. and Higazy, R.A., 1944a. Mechanical analysis of some bottom deposits of the northern Red Sea. *J. Sed. Petrol.*, 14: 45-69.
- Shukri, N.M. and Higazy, R.A., 1944b. The mineralogy of some bottom deposits of the northern Red Sea. *J. Sed. Petrol.*, 14: 70-85.

- Garrett, W.D., 1972. Impact of natural and man-made surface films on the properties of the air-sea interface. In: D. Dyrsen and D. Tagner (eds.). *The changing chemistry of ocean*. Wiley, New York.
- Grasshof, K., 1969. "Meteor" Forschungsergebnisse, Gebrüder Bornträger, Berlin, Reihe A, 6, 76 pp.
- Guillard, R.R.L. and Wangersky, P.T., 1958. The production of extracellular carbohydrates by some marine flagellates. *Limnol. Oceanogr.*, 3: 449-454.
- Hansen, H.J. and Buchardt, B., 1977. Depth distribution of *Amphistegina* in the Gulf of Elat. *Utrecht Micro Bull.*, 15: 205-225.
- Harrington, G.W.; Beach, D.H.; Dunham, J.E. and Holz, Jr. G.G., 1970. The poly-unsaturated fatty acids of marine dinoflagellates. *J. Protozool.*, 17: 213-219.
- Hellebust, J.A., 1974. Extracellular products. In: W.D.P. Steward (ed.), *Algal physiology and Biochemistry*. Blackwell, Oxford, pp. 838-863.
- Hottinger, L., 1972. Large foraminifera in the Gulf of Elat (Red Sea), a provisional inventory. Report, Department of Geology, The Hebrew University of Jerusalem.
- Hottinger, L. 1977. Distribution of larger peneroplidae, Borelis and Nummulitidae in the Gulf of Ealt, Red Sea. *Utrecht Micro. Bull.*, 15: 35-111.
- Ittekkot, N., 1982. Variations of dissolved organic matter during a plankton bloom: Quantitative aspects, based on sugar and amino acid analyses. *Marine Chem.*, 11: 143-158.
- Jeffrey, L.M., 1970. Lipids of Marine waters. *Occ. Publ. Inst. Mar. Sci., Alaska*, 1: 55-76.
- Jorgensen, E.G., 1957. Diatom periodicity and silicon assimilation. *Dansk bot. Ark.*, 18: 3-54.
- Johnson, K.M. and Seiburth, J.Mc.N., 1977. Dissolved carbohydrates in sea water. *Marine Chem.*, 5: 1-13.
- Kandil, M.M., 1982. Hydrographical and chemical studies on the Red Sea waters in front of Hurgada. M.Sc. Thesis, Alex. Univ.
- Kitano, Y. and Hood, D.W., 1964. The influence of organic material on the polymorphic crystallization of calcium carbonate. *Geochim. et Cosmochim. Acta*, 29: 29-41.
- Klinker, J.; Reiss, Z.; Korpach, C.; Levanon, I.; Harpaz, H. and Halisz, E., 1976. Observations of the circulation pattern in the Gulf of Elat (Aqaba), Red Sea, Israel. *J. Earth Sci.*, 25: 85-103.
- Kramer, J.R.; Herbes, S.E. and Allen, H.E., 1972. Analysis of water, biomass, and sediment. In: *Nutrients in Natural waters* (edit. Allen, H.E. and Kramer, J.R.) A Wiley-Interscience Publication, 51-100.
- Larsen, A. and Drooger, C., 1977. Relative thickness of the test in the *Amphistegina* species of the Gulf of Elat. *15*: 225-241.
- Maciolek, J.A., 1962. Limnological organic analysis by quantitative dichromate oxidation. *U.S. Fish Wildl. Serv. Res. Rep.* 60: 61 p.
- Mague, T.H.; Friberg, E.; Hughes, D.J. and Morris, J., 1980. Extra-cellular release of Carbon by marine phytoplankton; a physiological approach. *Limnol. Oceanogr.* 25: 262-279.
- Milliman, J.D., 1974. *Marine Carbonates*. Springer-Verlag, Berlin, Heidelberg, New York, 375 pp.

- Boehm, P.D. and Quinn, T.G., 1973. Solubilization of hydrocarbons by the dissolved organic matter in seawater. *Cosmochim. Acta*, 37: 2459-2477.
- Burney, C.M. and Sieburth, J.Mc.N., 1977. Dissolved Carbohydrates in sea water. *Marine Chem.*, 5: 15-28.
- Burney, C.M.; Johnson, K.M.; Lovie, D.M. and Sieburth, J.Mc.N., 1979. Dissolved carbohydrates and microbiol ATP in the North Atlantic: Concentrations and interactions. *Deep-Sea Res.* 26: 1267-1290.
- Chave, K.E. and Suess, E., 1970. Calcium carbonate saturation in seawater: Effect of dissolved organic matter. *Limnol. Oceanogr.*, 15: 633-637.
- Cooper, L.H.N., 1958. Consumption of nutrient salts in the English channel. Symp. Internat. Counc. Explor. Sea Bergen.
- Craig, H., 1970. Abyssal Carbon -13 in the South Pacific. *J. Geophys. Res.*, 75: 691-695.
- Dacre, J.C., 1981. Potential health hazards of toxic residues in sludge, in "Sludge-health risks of land applic." publ. by Ann Arbor Sci. Publ. Inc. pp. 85-105.
- Degens, E.T.; Egon, J.H.; Reuter, J.H. and Shaw, K.N.F., 1964. Biochemical compounds in offshore California sediments and sea water. *Geochemical et Cosmochimica Acta*, 28: 45-66.
- Degens, E.T. and Ross, D.A. 1969. Hot brines and Recent heavy metals deposits in the Red Sea. 500 pp. Springer-verlag, New York.
- Degens, E.T. 1970. Molecular nature of nitrogenous compounds in seawater and recent sediments. In: Organic matter in natural waters; D.W. Hood (ed.), Institute of Marine Science, University of Alaska, pp. 77-106.
- El-Deeb, W.Z.M., 1978. Ecological studies on Foraminifera in Recent marine sediments of the Northern Red Sea. M.Sc. Thesis, Ain-Shams Univ., Egypt, 304 pp. (Unpubl.).
- El-Rayis, O.A.; Abbas, M.M. and Qurashi, A.A., 1982. Distribution of Chemical pollutants in Jeddah coastal waters, Red Sea. I. Phosphate and silicate. *J. Fac. Mar. Sci.* 2: 73-80.
- El-Sayed, M.Kh. and Hosny, F.C., 1980. Sediments of the intertidal zone off Ghardaga, Red Sea, Egypt. *Proc. Symps. Coast. Mar. Envir. Red Sea*, Kbartoum, 2: 3-15.
- El-Sayed, M.Kh. 1984. Reefal sediments of Al-Ghardaga, Northern Red Sea, Egypt. *Mar. Geol.*, 56: 259-271.
- El-Wakeel, S.K. and Riley, J.P., 1957. The determination of organic carbon in marine muds. *J. Cons. Int. Explor.*, 22: 180-183.
- Ewins P.A. and Spencer, C.P., 1967. The annual cycle of nutrients in the Menai Strait. *J. Mar. Biol. Ass. U.K.* 47: 533-542.
- Fermont, W. 1977. Biochemical investigation of the genus Operculina in Recent sediments of the Gulf of Elat, Utrecht Micro. Bull., 15.
- Folk, R.L., 1974. Sedimentary rocks. Hemphill Public. Texas, 174 pp.
- Frenkel, H., 1974. Observations on some shallow benthonic foraminifera in the Gulf of Elat, Israel. *Isr. J. Earth Sci.*, 23: 63-67.
- Friedman, G.M., 1968. Geology and geochemistry of reefs, carbonate sediments and waters, gulf of Aqaba, Red Sea, *J. Sediment. Petrol.*, 38: 895-919.
- Garrett, W.D., Stabilization of air bubbles of the air-sea interface by surface-active material. *Deep-Sea Res.* 14: 661-672.

- Awad, H., 1981a. Methode établie pour doser les hydrocarbures dans les sediments et les organismes marins. In proceedings of the joint CIESM-UNEP workshop on pollution of the Mediterranean, Cagliari, Italy, October 1980, pp. 69-72.
- Awad, H., 1981b. Passive tagging of oil pollution sources in Alexandria beaches (Egypt). In proceedings of the Scientific Meeting on Environmental Pollution in the Mediterranean Region of MESAEP, Athens, Greece, 30-8/1-9-1981, pp. 95-105.
- Awad, H., 1982. Rapport des hydrocarbures biogènes et exogènes dans poissons soumis à des conditions de contamination chronique. Revue Internationale d' Oceanographie Médicale, vol. 66/67, Sept. 1982, pp. 91-101.
- Awad, H.; Mechel, P. and El-Shazly, A., 1982. Actual situation of oil pollution in the eco-system along the Egyptian Red Sea coast, presented to the International Conference on Marine Science in the Red Sea, El-Ghardaqah, April 24-28, (in press).
- Awad, H. and Michel, P., Aromatic and persistent polynuclear aromatic hydrocarbons in some seashore organisms of the Egyptian Red Sea coast (in preparation).
- Awad, H., 1984. Role of Petroleum Refinery in adding crude oils to Jeddah coastal waters. Article proposed to Symposium on Coral Reef Environment of the Red Sea. Faculty of Marine Science, King Abdulaziz University, Jeddah, Saudi Arabia.
- Barber, R.T., 1968. Dissolved organic carbon from deep waters resist microbial oxidation. Nature, 220: 274-275.
- Barger, W.R.; Baniel, W.H. and Garrett, W.D., 1974. Surface Chemical properties of bounded sea slicks. Deep-Sea Res. 21: 83-89.
- Bathurst, R.G.C., 1976. Carbonate sediments and their diagenesis. *Development in Sedimentology*, v. 12, 620 pp. New York, Elsevier Publ.
- Beach, D.H.; Harrington, G.W. and Holz, G.G.Jr., 1970. The poly-unsaturated fatty acids of marine and fresh water cryptomonads. J. Protozool., 17: 501-510.
- Behairy, A.K.A., 1980. Clay and carbonate mineralogy of the reef sediments north of Jeddah, West Coast of Saudi Arabia. *Bull. Fac. Sci., KAU, Jeddah*. 4: 265-279.
- Behairy, A.K.A. 1983. Marine transgression in the West coast of Saudi Arabia (Red Sea) between Mid-Pleistocene and Present. *Mar. Geol.* 52: M25-M31.
- Behairy, A.K.A. and El-Sayed, M.Kh. 1983. Bathymetry and bottom relief beyond the reef complex off Jeddah, Red Sea. *J. Fac. Mar. Sc., Jeddah*. 3: 73-80.
- Behairy, A.K.A. and Saad M.A.H. 1984. Effect of pollution on the coastal waters of the Red Sea in front of Jeddah, Saudi Arabia.
II. Nutrient salts tethys (in press).
- Behairy, A.K.A.; Al-Kholi, A.A.; Hashem, M.T. and El-Sayed, K.H. 1983. Preliminary Study on the Geology and Fisheries of the coastal area between Jeddah and Yanbu. *J. Fac. Mar. Sc.*, 2: 1-47 (in arabic).
- Billmore, E. and Aronson, S., 1976. The secretion of lipids by the fresh water photoflagellate *ochromonas danica*. Limnol. Oceanogr., 21: 138-140.
- Blanchard, D.C., 1964. Sea-to-air transport of surface active material. *Science*, 146: 396-397.

د - المصايد والثروة السمكية

د - ١ - دراسات هيdro بيلوجية

د - ٢ - إنتاجية مصايد الأسماك

د - ٣ - المراجع

د - ١ -

دراسات هيدرو بيولوجية

د - ١ - ١ -

الطرق والوسائل

د - ١ - ٢ -

النتائج والمناقشة

د - ١ - دراسات هيدرو بيولوجية :

د - ١ - ١ - الطرق والوسائل :

تم جمع عينات البلانكتون بواسطة سفينة الأبحاث ابن ماجد من جدة إلى ينبع في ثلاث رحلات . الأولى في شهر نوفمبر ١٩٨١ م ، والثانية في شهر مارس ١٩٨٢ م ، والثالثة في شهر نوفمبر ١٩٨٢ م - للتعرف على أنواع المائمات النباتية ولتقدير الانساجية الأولية بطريقة العد وكذا بتقدير كمية الكلوروفيل - أ .

في الرحلة الأولى ، أمكن جمع العينات من ١٢ محطة متتالية . وقد تعذر ذلك في الرحلتين التاليتين - جمع العينات من تلك المحطات ، نظراً لصعوبة الأحوال الجوية وارتفاع الأمواج ، وعدم استطاعة قبطان السفينة الوصول إلى المحطات التي تم جمع عينات البلانكتون منها في الرحلة الأولى ، وكان عدد المحطات في الرحلة الثانية والثالثة (٦) محطات . بحيث أصبحت المحطة الأولى في الرحلة الثانية والثالثة هي محطة رقم (٢) في الرحلة الأولى وهكذا بالترتيب ، حتى تصبح محطة (٦) بالرحلتين الثانية والثالثة هي رقم (٧) بالرحلة الأولى . ووضعوا جميعاً في مسلسل واحد - من ١ إلى ٦ .

بالنسبة لعينات البلانكتون - تم جمعها رأسياً باستخدام شبكة البلانكتون الرئيسية رقم (٢٥) ذات فتحات ٥٥ ميكرون وطولها ٣ متر وتم حفظ العينات في فورمالين متعادل ٤٪ حين دراستها معملياً .

تم تركيز تلك العينات معملياً حتى ١٠٠ ملتر وتم فحصها مجهرياً للتعرف على المائمات النباتية . ويبين جدول رقم (٣) الأنواع التي تم التعرف عليها ، وتمثل في (٧٧) نوع من الدياتومات و (٤٧) نوعاً من السوطيات - مستخدماً الفحص الميكروسكوبى . بالنسبة للانساجية الأولية للمحطات المختلفة لكل رحلة فقد تم تقديرها بطرقين :

الطريقة الأولى :

وهي عملية حصر عدد خلايا المائمات النباتية الموجودة في كل لتر والتعبير عنها بـ (خلية/لتر) وقد تم ذلك بالعد تحت المجهر لكل عينة وذلك بأحد ٢ ملتر في كل مرة على شريحة العد من العينة الأصلية التي تم تركيزها إلى ١٠٠ ملتر . وتكرار ذلك بالنسبة لكل عينة ثلاثة مرات متتالية وأخذ المتوسط وحساب عدد الخلايا الموجودة لكل لتر بالنسبة للعينة الأصلية .

الطريقة الثانية :

أما الطريقة الأخرى لتقدير الانتاجية الأولية عن طريق تقدير كمية الكلوروفيل - أ مستخدمين طريقة استركلاند وبارسون (١٩٧٢ م) حيث أخذت عينات مائية من على الأعماق المختلفة من السطح حتى ٢٥ متر لكل محطة وترشيحها (سعة العينة لكل عمق ٥ لتر) على ظهر السفينة ، مستخدمين كربونات المغنيسيوم لعمل طبقة رقيقة على ورق الترشيح لحفظ العينة من أي تأثير حمضي . ثم وضعها في علبة معتمة جداً في حالة تجميد عند - ١٨°C لحين دراستها معملياً .

هذا وقد تم تحليل تلك العينات عملياً بمجرد العودة من الرحلة حيث أجري استخلاص الكلوروفيل - أ بواسطة استيفن ٩٠٪ لكل عينة على حدة .

٤ - ٢ - النتائج والمناقشة :

جدول رقم (١) يبين عدد الخلايا لكل لتر للمحطات المختلفة لكل رحلة . ومن الواضح أن عدد الخلايا لكل لتر خلال شهر نوفمبر ١٩٨١ م يعتبر تقريراً مطابقاً لشهر نوفمبر ١٩٨٢ م . وبالنسبة لعدد الخلايا لكل لتر خلال شهر مارس ١٩٨٢ م ، كان يمثل ضعف شهر نوفمبر تقريراً مما يبين أن الانتاجية الأولية خلال شهر مارس تعتبر أكبر بكثير من الانتاجية الأولية خلال شهر نوفمبر .

وجدول رقم (٢) يبين متوسط قيمة الانتاجية الأولية لكل محطة معبراً عنها بـ ملجرام كربون لكل متر مكعب ، كما يبين الجدول أن معدل الانتاجية الأولية خلال شهر مارس تتوافق مع ما جاء في جدول رقم (١) من حيث عدد الخلايا لكل لتر حيث أن الانتاجية مرتفعة إلى أكثر من الضعف عن شهر نوفمبر . وفي نفس الوقت نتائج شهر نوفمبر ١٩٨١ م جاءت متقاربة مع شهر نوفمبر ١٩٨٢ .

ويعتبر الحد الأقصى الذي تم تقديره للانتاجية هو ٤٦ ر. ملجرام كربون لكل متر مكعب . وكان ذلك خلال شهر مارس ، بينما أدنى مستوى بلغ ١٢ ر. ملجرام كربون لكل متر مكعب . وكان ذلك خلال شهر نوفمبر .

جدول رقم (١)

يمثل الخصول المطلق Standing Crop C/L
عدد خلايا الدياتومات والسوطيات
مقدراً بعدد الخلايا لكل لتر

رحلة نوفمبر ١٩٨٢ م	عدد الخلايا لكل لتر		رقم الخطة
	رحلة مارس ١٩٨٢ م	رحلة نوفمبر ١٩٨١ م	
١٠٠	٣٠٠	٦٦	١
١٨٠	٤٠٠	١٥٠	٢
٥٥	١٠٠	٥٠	٣
٢٤٠	٢٧٠٠	٣٠٠	٤
٢١٠	١٨٠٠	٢٦٠	٥
١٣٠	١٠٠٠	١٤٠	٦

جدول رقم (٢)

يمثل متوسط قيمة الانتاجية الأولية
معبرا عنها بـ مليجرام كربون لكل متر مكعب

نوفمبر ١٩٨٢ م	مليجرام لكل متر مكعب		رقم الخطة
	مارس ١٩٨٢ م	نوفمبر ١٩٨١ م	
٠٢٠	٤٠	١٧	١
٠١٢	١٢	١٢	٢
٠٢٦	٤٤	٢٢	٣
٠١٢	٣٧	١٤	٤
٠٢٥	٤٦	٢٩	٥
٠٢٦	٤١	٢٩	٦

د - ٢ - انتاجية مصايد الأسماك :

د - ٢ - ١ - مقدمة :

بدأت الدراسات العلمية على مصايد البحر الأحمر منذ منتصف القرن الثامن عشر - عندما قام بيتر فورسكال (١٩٦١ - ١٧٦٧ م) بعمل بعض الدراسات القيمة وخاصة في تصنيف الأسماك - ثم توالىت الدراسات بعد ذلك ، مثل ما قامت به الرحلة البحرية الإيطالية (١٩٢٣ - ١٩٢٤ م) - والرحلة البحرية المصرية (١٩٣٤ - ١٩٣٥ م) . ثم تلى ذلك الكثير من الدراسات الجماعية والفردية . وهنا لابد من التنوية الى أعمال محطة الأحياء المائية بالغردقه وما بذل فيها من جهد على يد الكثير من العلماء المصريين والأجانب - من أمثال جوهر وآخرين .

ثم ظهرت بعض الأعمال عن مصايد البحر الأحمر نذكر منها الصبي وفارينا (١٩٥٤) وفيرو (١٩٥٨) والخلوي (١٩٦٥ - ١٩٧٢ م) . ثم كانت رحلات المركب الروسية اكتيلوج عن مصايد الشانشولا (٦٤ - ١٩٦٥) في المياه المصرية .

ثم قام بطرس (١٩٧١) بتقديم عمل قيم سرد فيه التاريخ العلمي والأعمال التي تناولت تصنيف وحصر وتوزيع الأنواع المختلفة من أسماك البحر الأحمر .

ثم قامت وزارة الزراعة والمياه السعودية بالتعاقد مع هيئة السمك الأبيض البريطانية للقيام بدراسة مصايد الشوطىء السعودية ، والتي ظهرت نتائجها في عدة تقارير (Neve et al., 1973 ; Peacock, 1979) .

ثم قامت كلية علوم البحار - جامعة الملك عبد العزيز - بالتعاون مع مركز أبحاث الثروة السمكية بوزارة الزراعة السعودية بدراسة مصايد المنطقة بين جدة وبنبع ضمن برنامج عام يشمل مختلف النواحي البيولوجية والكيميائية والفيزيائية والجيولوجية - حيث بدأ البرنامج في أكتوبر ١٩٨١ م ، واستمر حتى مارس ١٩٨٢ م (المرحلة الأولى) ، ثم بدأت المرحلة الثانية في أكتوبر ١٩٨٢ م . وانتهت في نوفمبر ١٩٨٢ م .

وتلعب جيولوجية وهيدرولوجيا البحر الأحمر دورا هاما في طبيعة وتكوين التجمعات السمكية الموجودة فيه . ويعتبر البحر الأحمر غير مستغل على الوجه الأكمل من ناحية الثروة السمكية - ما عدا منطقة السويس ، التي تعتبر المنطقة الانتاجية الأولى في شمال البحر الأحمر . كما وأن هناك مصايد نشطة في خليج عدن في المياه الأقلímية لجمهورية اليمن الديمقراطية . وفيما عدى ذلك فإن جسم البحر الأحمر نفسه غير مستغل على الوجه الأكمل .

ولقد اختلفت التقديرات الخاصة بكمية المخزون السمكي للبحر الأحمر وبالتالي الكثيّات التي يمكن استغلالها منه ، حيث قدرت ما بين ٢٥٠ ألف طنا ونصف مليون طنا من الأسماك . ومع هذا فإن انتاجية جميع الدول المطلة على البحر الأحمر لا تتعدي ٨٠ ألف طنا من الأسماك سنويا .

ويقدر الانتاج السمكي للملكة العربية السعودية حاليا من البحر الأحمر بحوالي عشرة آلاف طناً معظمها من أسماك الشعاب المرجانية .

علماً بأنه بالامكان استخراج كميات أكبر من ذلك اذا تحسنت صناعة الصيد وترشدت طرقه ، كما توجد على امتداد سواحل البحر الأحمر مناطق ساحلية ضحلة تتميز بقاعها الترسيبي الطيني التي يمكن تحويل بعضها الى مزارع بحرية للأسماك والمخاريث والروبيان ذات القيمة الاقتصادية .

ويرى الاتجاه العالمي في الوقت الحاضر على تشجيع الاستزراع السمكي ليعوض النقص الذي ينتاب المصايد المحلية نتيجة اجهادها من الصيد الجائر وكذلك لاجابة طلبات المستهلك بالكم والسعر المجزي . وعليه يجب البدء في الاستزراع السمكي حتى تستفيد من الشوطء الطويلة للملكة ، وتوجيه الجهود في تنمية المزارع السمكية البحرية والتعرف على الصفات الفيزيائية والكيميائية لهذه المياه ونوعية الأسماك التي تصلح للاستزراع فيها ، وهي الأسماك التي تعيش في المياه المالحة ويمكن تغذيتها صناعياً أو طبيعياً ، ويمكن الحصول على صغارها ، وقد رشحت أسماك السيجان للاستزراع السمكي بالإضافة الى السلماني والعربي والقاصد .

د - ٢ - ٢ - مصايد الأسماك بمنطقة (جدة - ينبع)

د - ٢ - ٢ - ١ - المرحلة الأولى :

قامت سفينة الأبحاث « ابن ماجد » واللنش التابع لها « عقام » في المدة من ٢٤ أكتوبر ١٩٨١م إلى ١٥ مارس ١٩٨٢م بعمل رحلتين للصيد فقط - هذا بالإضافة إلى الرحلة الاستكشافية (وكانت عامه - بغرض تحديد المحطات) كما قام اللنش عقام منفرداً بالصيد لمدة يومين اثنين في محطة رقم (١) . ولقد تم نشر نتائج هذه المرحلة في العدد الثاني بمجلة الكلية (١٩٨٢م) .

د - ٢ - ٢ - ١ - ١ - الرحلة الاستكشافية :

١ - تم تحديد موقع محطات الصيد التجاري على امتداد المنطقة من جدة إلى ينبع وهي عدد (١٢) محطة تبدأ أمام جدة وتنتهي أمام ينبع حسب الخريطة شكل رقم (١) .

٢ - تم تحديد مسار السفينة بين الموقع المختار حيث أن منطقة البحث تتميز كلها بوجود

الشعاب المرجانية وبتغيرات في عمق المياه ، مما يستدعي الحذر في الملاحة .

٣ - أجريت بعض عمليات الصيد بالخيط والستار اليدوي من على ظهر السفينة « ابن ماجد » في المحطات (١ ، ٤ ، ٩ ، ١٠) - السنارة غرة (٧) والخيط نايلون غمرة (٧٠) وأجريت عمليات الصيد بواسطة (٥-٣) صياداً وملدة (٥-٢) ساعة في المحطات المختلفة - وكانت نتيجة الصيد قليلة في المحطات (٧ ، ٩) بينما كان الانتاج متواسطاً في المحطات (١ ، ٤ ، ١٠) (جدول رقم ١) .

والجدوال المرفقة تبين تفاصيل مصايد السنار في المحطات المختلفة ويلاحظ أن أسماك البار والكشر والحبيرية والكحانية والشعور تمثل نسبة كبيرة من مصيد السنار في هذه الأماكن (جدول رقم ٢ ، ٣) .

٤ - كما أجريت بعض عمليات الصيد التجاري بالشباك الخيشومية القاعية في المحطات (٧ ، ٩ ، ١٠) - الشباك المستعملة كانت من الداكرتون ماجه ٣٥ بوصة للعين المشدودة - الطول ٢٥٠ م والارتفاع ٤ قامة .

- كان الانتاج ضعيفاً في جميع المحطات - وكانت القروش والبياض تمثل نسبة كبيرة من الانتاج - والجدوال المرفقة تبين انتاج كل محطة حسب الأنواع والأعداد والأوزان في وحدة الجهد (جدول ٦ ، ٧ ، ٨) .

د - ٢ - ١ - ٢ - رحلة المصايد الأولى :

١ - أجريت بعض عمليات الصيد بالخيط والستار اليدوي في المحطات : (١ ، ٣ ، ٥ ، ٧ ، ١١) وكانت كمية المصيد معدومة في المحطات (١ ، ٥) وكانت قليلة في المحطات (١١ ، ٧) بينما كان الانتاج متواسطاً في المحطات (٣ ، ٩) جدول رقم (٤) .

والجدول المرفق بين تفاصيل مصايد في السنار المحطات المختلفة ويلاحظ أن أسماك البار والكشر والكحانية والعقام كانت تمثل نسبة كبيرة في مصيد السنار (جدول رقم ٥) .

٢ - كما أجريت بعض عمليات الصيد بالشباك الخيشومية القاعية في المحطات (١ ، ٣ ، ٥ ، ٧ ، ٩ ، ١١) وكانت الشباك المستعملة من الداكرتون ماجه ٣٥ بوصة للعين المشدودة - بطول ٢٥٠ م وارتفاع ٤ قامة . وقد سميئها بالشباك القاعية الصغيرة . وقد استخدمت هذه الشباك في جميع المحطات المذكورة وعلى أعماق مختلفة .

بالاضافة الى الشبكة المذكورة فقد استعملت في المخطات (١ ، ١١) شبكة اخرى سميها بالشبكة القاعية الكبيرة - وهي نايلون Monofilment ماجه ٥٤ بوصة للعين المشدودة - بطول ٢٥٠ وارتفاع ٨ قامة .

وكان الانتاج ضعيفا في بعض المخطات وكان معقولا في مخطات اخرى والجداول المرفقة تبين انتاج هاتين الشبكتين في المخطات المذكورة وعلى اعمق مختلفة ، كما تبين الانواع المصيدة والانتاج في وحدة الجهد لكل شبكة ولكل مخطة (الجداول من رقم ٩ الى رقم ١٤) .

٣ - تم اجراء بعض عمليات الاصياء من على جانب السفينة - ودونت الملاحظات التي شوهدت للتجمعات السلميكية وسلوكها في منطقة الاصياء .

د - ٢ - ١ - ٢ - ١ - رحلة النش عقام :

١ - أجريت بعض عمليات الصيد بالشباك الخيشومية القاعية الصغيرة (ماجه ٢٥ ، ٣٥ ر) - بطول ٢٥٠ م وارتفاع ٤ قامة) وكذلك الشبكة القاعية الكبيرة (ماجه ٥٤ وارتفاع ٨ قامة) .

والجداول المرفقة تبين انتاج هذه الشباك في المخطة رقم (١) حسب الانواع وكمية الانتاج في وحدة الجهد (جدول رقم ١٥ ، ١٦) .

٢ - تم تجربة صيد القرش بواسطة العوامات (البراميل) .

د - ٢ - ١ - ٣ - رحلة المصايد الثانية :

١ - استعملت الشبكة الخيشومية السطحية (غزل داكرتون مزدوج - ماجه ٢٥ بوصة للعين المشدودة - بطول ٢٥٠ م وارتفاع ٤ قامة) في جميع المخطات : (٢ ، ٣ ، ٤ ، ٥ ، ٦ ، ٧) وكان انتاجها تافها في جميع هذه المخطات - فيما عدا المخطة رقم (٧) حيث صادفها تجمع من أسماك التونة (المعروف باسم التبان) فكان المصيد الموضح بالجدول المرفق (جدول رقم ١٧) .

٢ - استعملت الشباك القاعية الصغيرة والكبيرة (سالفة الذكر) في جميع المخطات المذكورة ، وكان الانتاج قليلا في بعض المخطات ومعقولا في البعض الآخر والجداول المرفقة تبين انتاج هذه الشباك في المخطات المختلفة حسب النوع وكمية الانتاج في وحدة الجهد (جداول رقم ١٨ - ٢٣) .

٣ - تم اجراء بعض عمليات صيد لأسماك القرش بواسطة السنار والعوامات (البراميل) .

- ٤ - تم اجراء بعض عمليات الاضاءة وتجربة الشباك الرافعه .
- ٥ - خلال الرحلة لم تتمكن من اجراء عمليات صيد بواسطة السنار اليدوي من على ظهر السفينة بسبب هياج البحر واشتداد الريح وبرودة الجو ليلاً .

٥ - ٢ - ١ - ٤ - النتائج :

- مصايد الخيط والسنار :

أولاً : الرحلة الاستكشافية :

جدول رقم (١)

مصيد السنار اليدوى

الكمية كجم	الزمن ساعة	عدد الصيادين	المخطة
٢٥	٤	٣	١
٣٥	٤	٣	٤
٤	٣	٣	٧
٣	٣	٣	٩
١٥	٣	٣	١٠

جدول رقم (٢)

محطة رقم (١)

ملاحظات	الخيط والسنار		الأنواع
	الوزن كجم	عدد الأسماك	
عدد	١٨	٥	عقام (كنية)
٤ ساعات	٢١	٢	بياض
٣ أفراد	٢٩	٦	شعور (خرمى)
الخيط	١٩	٨	حبرية
٧٠ نيلون /	٣٩	٧	كشر
الستارة /	١١٥	١	خرم
	١٠	٤	أنواع أخرى
	٢٥١		

جدول رقم (٣)

محطة رقم (٤)

المحطة	عدد الصيادين	الزمن ساعة	الكمية كجم
١	٣	٢	-
٣	٣	٣	٢٠
٥	٣	١	-
٧	٣	٣	١٢
٩	٣	٣	١٨٥
١١	٣	٣	٨

ثانياً : رحلة المصايد الأولى :

جدول رقم (٤)
مصيد السنار اليدوى

المحطة	عدد الصيادين	الزمن ساعة	الكمية كجم
١	٣	٢	-
٣	٣	٣	٢٠
٥	٣	١	-
٧	٣	٣	١٢
٩	٣	٣	١٨٥
١١	٣	٣	٨

جدول رقم (٥)

عدد الأسماك	عدد الأسماك	عدد الأسماك
٥ كشر	١ بهار	٣ بهار
٢ بهار	٢ شطف	٤ كحابة
٢ عصمود	٢ بياض	١ بكتش
٤ براكودا		١ مورينا
٢ قروش		١ براكودا
		١ شعور
		١ بياض

جدول رقم (٦)

مصاديد الشباك الخيشومية

الرحلة الاستكشافية

تاريخ ١٩٨١/١٠/٢٧ م

محطة رقم (٧)

ملاحظات	الشبكة القاعية الصغيرة		الأنواع
	الوزن كجم	عدد الأسماك	
انتاج عدد / ٢ شبكة قاعدية (٢٥٠ م طول × ٧ م عرض)	١٢.٣	٣	قروش
الماجه	١٥.٨	١٩	بياض
٣٥ بوصة للعين المشدودة خيوطها من الداكون	٣.٣	٣	حربيد
	٠.٩	١	دراك
	١.٩	٣	أنواع أخرى
جملة الانتاج = ٣٤.٢ كجم			
الانتاج في وحدة الجهد = ٨٥ كجم / ليلة			

جدول رقم (٧)

تاریخ ١٩٨١/١٠/٢٨ م

محطة رقم (٩)

ملاحظات	الشبكة القاعية الصغيرة		الأسواع
	الوزن كجم	عدد الأعمال	
	٦ ر ٤	٨	سحل
	١ ر ٨	٢	دراك
	٠ ر ٩	١	قطرنية
	٤ ر ١	٥	أنواع أخرى
	١٣ ر ٢		= حملة الانتاج
	٦ ر ٢ كجم / م ١٠٠ / ليلة		= الانتاج في وحدة الجهد

جدول رقم (٨)

تاریخ ١٩٨١/١٠/٢٩ م

محطة رقم (١٠)

ملاحظات	الشبكة القاعية الصغيرة		الأسواع
	الوزن كجم	عدد الأعمال	
انتاج عدد ٢ شبكة قاعية	١٣ ر ٨	٣	فروش
	٥ ر ٥	٦	بياض
	١ ر ٦	٢	كحلياية
	١ ر ٢	١	حريد
	١ ر ٨	٣	أنواع أخرى
	١١ ر ١		= حملة الانتاج
	٦ ر ٢ كجم / م ١٠٠ / ليلة		- = الانتاج في وحدة الجهد

رحلة المصايد الأولى :

جدول رقم (٩)

تاریخ ١٤ - ١١/٢١/١٩٨١ م

محطة رقم (٣)

الشبكة القاعية الصغيرة (٢)		الشبكة القاعية الصغيرة (١)		الأنواع
الوزن كجم	عدد الأسماك	الوزن كجم	عدد الأسماك	
٢٢٩	٢	١٧٤٦	٧	قروش
٤٥	٦	٢٠٥	١٤	بياض
-	-	١٩٧	١٠	بهار
٢١	٢	٣٦٦	٣٦	جريدة
		٨٢	١٠	أنواع أخرى
٣٣٤		جملة الانتاج =	٢٥٩٦	جملة الانتاج =
١٣٤		الانتاج في وحدة الجهد -	١٠٣٨	الانتاج في وحدة الجهد -
كجم / م / ليلة			كجم / ١٠٠ م / ليلة	
على عمق ٢٥ م			على عمق ١٢ م	

جدول رقم (١٠)

محطة رقم (٥)

الشبكة القاعية الصغيرة (٢)		الشبكة القاعية الصغيرة (١)		الأنواع
الوزن كجم	عدد الأسماك	الوزن كجم	عدد الأسماك	
-	-	٤٥	١	قروش
-	-	٢٠	٢	بياض
١٠	١	-	-	بمار
٥	١	-	--	أنواع أخرى

١٥	= جلة الانتاج	٧٤	= جلة الانتاج
٠٠	= الانتاج في وحدة الجهد	٣٠	= الانتاج في وحدة الجهد
كجم / م / ليلة	١٠٠ كجم / م / ليلة	٢٠	على عمق ١٥ م

محطة رقم (٧)

جدول رقم (١١)

الشبكة القاعية الصغيرة (٢)			الشبكة القاعية الصغيرة (١)			الأنواع
النسبة المئوية	الوزن كجم	عدد الأسماك	النسبة المئوية	الوزن كجم	عدد الأسماك	
٧٥	١		١٩	١		قروش
١٣	٢		٨٣	١		بياض
٠٨	١		٦٠	١		كثثر
—	—		—	—		أنواع
						أخرى

جملة الانتاج = ١٠٨
 الانتاج في وحدة الجهد = ٤٣
 كجم / ١٠٠ م / ليلة

جملة الانتاج = ٦٦
 الانتاج في وحدة الجهد = ٣٨
 كجم / ١٠٠ م / ليلة

على عمق ٣٣ - ٣٠ م

على عمق ٢٠ - ١٢ م

جدول رقم (١٢)

محطة رقم (٩)

الشبكة القاعية الصغيرة		الأنواع
الوزن / كجم	عدد الأسماك	
٦ر٦	٢	قروش
٤ر٤	٥	بياض
٧ر٢	٤	أبوقرن
٢٦ر٢	٤٣	بدون قرن
٤ر٣	٦	أنواع أخرى

٥٣ر٩	= جلة الانتاج
٦ر٢١ كجم / ١٠٠ م / ليلة	= الانتاج في وحدة الجهد
على عمق ٨ - ١٠ م	

جدول رقم (١٣)

محطة رقم (١)

تاريخ ١٤/١١/٢١ - ١٩٨١ م

الشبكة القاعية الكبيرة			الشبكة القاعية الصغيرة			الأنواع
النسبة المئوية	الوزن كجم	عدد الأسماك	النسبة المئوية	الوزن كجم	عدد الأسماك	
٧٤٠	٣٥٥	٣	-	-	-	قروش
٧٣	٣٥	٥	٢٨	٣٥	١	بياض
٥٠	٢٤	١	٣٢	٤٠	١	بهار
٨٥	٤١	٩	٤٠	٥٠	٥	أنواع أخرى

$$\text{جملة الانتاج} = ٤٨٠ \times ١٢٥ = ٦٠٠ \text{ كجم / ليلة}$$

$$\text{الانتاج في وحدة الجهد} = ١٩٢ \text{ كجم / ١٠٠ م / ليلة}$$

$$\text{الانتاج في وحدة الجهد} = ٤٨٠ \text{ كجم / ١٠٠ م / ليلة}$$

جدول رقم (١٤)

محطة رقم (١١)

الشبكة القاعية الكبيرة			الشبكة القاعية الصغيرة			الأنواع
النسبة المئوية	الوزن كجم	عدد الأسماك	النسبة المئوية	الوزن كجم	عدد الأسماك	
٢٦.٥	٣٢.٥	٥٢٨٢	٣٣.٧	١٥.١	٥	قروش
	٤٣.٠	٣٦	١٥.٨	٧.١	٤	بياض
١١.١	١٨.٠	٢٢	٦.٩	٣.١	٥	ماكيريل
١٢.٥	٢٠.٣	٨	١٨.١	٨.١	٣	بهار
--	--	--	--	--	--	تونة
--	--	--	١٠.٠	٤.٥	١	براكودا
٥.٩	٩.٦	١٢	١٥.٤	٦.٩	٩	أنواع أخرى

١٦٢.٣	= جملة الانتاج	٤٤.٨	= جملة الانتاج
٦٤.٩	= الانتاج في وحدة الجهد	١٧.٩	= الانتاج في وحدة الجهد
كجم / ١٠٠ م / ليلة	كجم / ١٠٠ م / ليلة		

رحلة النش عقام :

محطة رقم (١)

تاریخ ١٩٨٢/١/١٦ م

جدول رقم (١٥)

الشبكة القاعية الكبيرة (٥٤ بوصة)			الشبكة القاعية الصغيرة (٣٥ بوصة)			الأنواع
النسبة المئوية	الوزن كجم	عدد الأسماك	النسبة المئوية	الوزن كجم	عدد الأسماك	
-	٨٩.٧	٤	-	-	-	قروش
-	١٠.٩	٧	-	٨.٥	١	بياض
-	١.٦	١	-	-	-	كشر
-	٢.٦	١	-	-	-	جريدة

١٠٤.٩	= جملة الانتاج	٨.٥	= جملة الانتاج
٤١.٩	= الانتاج في وحدة الجهد	٣.٤	= الانتاج في وحدة الجهد
كجم / م / ليلة	كجم / م / ليلة		

جدول رقم (١٦)

محطة رقم (٧)

الشبكة القاعية الصغيرة (٥٢ بوصة)						الأنواع
النسبة المئوية	الوزن كجم	عدد الأسماك	النسبة المئوية	الوزن كجم	عدد الأسماك	
٣١٦٥	٥	قروش	-	٦٤	٦	خرم
٣١٥	١	بهار	-	١٢	١٢	عيد باحة
	٢٣٥	١	تونة			(غم)

٣٧١٥	= جملة الانتاج	٦٧	= جملة الانتاج
١٤٩	= الانتاج في وحدة الجهد	٣٠	= الانتاج في وحدة الجهد
كجم / م١٠٠	كجم / ليلة	كجم / م١٠٠	كجم / ليلة

- الشباك القاعية الصغيرة خيوطها من الداكروان - ماجه ٣٥ ، ٢٥ بوصة - طول كل منها ٢٥٠ م وعرض ٢٧ مترًا .
- الشباك القاعية الكبيرة - خيوطها نايلون شعر نمرة ٧٠ - ماجه ٥٤ بوصة - طول ٥٠٠ م وعرض ١٤ مترًا .

رحلة المصايد الثانية :

جدول رقم (١٧)

تاريخ ١٩٨٢/٥/١٨ م

محطة رقم (٧)

ملاحظات	الشبكة الخيشومية السطحية			الأنواع
	%	الوزن / كجم	عدد الأسمك	
الصوّل ٢٥٠ م العمق ٤ قامة		٥٦٠	٢٤	تونة
الماجة ٢٥ بوصة للعين المشدودة		٣٢	٢	خرم
غزل توين (خيط مزدوج)		٠٨٠	١	سيف
٦٠ جملة الانتاج =				
٢٤ كجم / ١٠٠ م ليلة =				الانتاج وحدة الجهد =
- استعملت الشبكة الخيشومية السطحية في جميع الملاحظات ١ ، ٢ ، ٣ ، ٤ ، ٥ ، ٦ وكان مصيدها تافها فيما عدى المحطة (٧) حيث صادفها تجمع من أسمك التونة (المعروفة بالبيان) وكان المصيد الموضع عاليه .				

جدول رقم (٢١)

محطة رقم (٥)

الشبكة القاعية الكبيرة			الشبكة القاعية الصغيرة			الأنواع
النسبة المئوية	الوزن كجم	عدد الأسماك	النسبة المئوية	الوزن كجم	عدد الأسماك	
٤٧٨	١١	١	٤٦٦	١٧٧	٢٣	بياض
٥٢٢	١٢	١	-	-	-	بهار
-	-	-	٥٠٨	١٩٣	١٧	جريدة
-	-	-	٢٦	١٠	٢	أنواع أخرى
٢٣			٣٨٠			جملة الانتاج =
٠٩			١٥٢			الانتاج في وحدة الجهد =
كجم / م١٠٠ ليلة			كجم / م١٠٠ ليلة			

جدول رقم (٢٢)

محطة رقم (٦)

تاریخ -١٢/٥/١٩٨٢ م

الشبكة القاعية الصغيرة			الأنواع
النسبة المئوية	الوزن : كجم	عدد الأسماك	
٤٢٣	٣٣	٣	بياض
٣٧٢	٢٩	١	مرجان
١١٥	٠٩	١	خرميدة
٩٠	٠٧	١	قطربينة
٧٨			جملة الانتاج =
١٣ كجم / م١٠٠ ليلة			الانتاج في وحدة الجهد =

جدول رقم (٤٣)

محطة رقم (٧)

الشبكة القاعية الكبيرة			الشبكة القاعية الصغيرة			الأنواع
النسبة المئوية	الوزن كجم	عدد الأسماك	النسبة المئوية	الوزن كجم	عدد الأسماك	
٥٠٠	٣٠٠	٤	-	-	-	قرрош
٢٥٢	١٤٠	١١	٧٤٣	٢٦٠	٣٨	بياض
٩٤	٥٢	٢	١٤٩	٥٢	٣	بهار
٤١	٢٣	١	-	-	-	عقام
٣٦	٢٠	١	-	-	-	ناجل
٢٧	١٥	٢	١٠٩	٣٨	٨	أنواع أخرى

٥٥٥	= جملة الانتاج	٣٥٠	= جملة الانتاج
٢٢٢	= الانتاج في وحدة الجهد	١٤٠	= الانتاج في وحدة الجهد
كجم / م١٠٠	/ ليلة	كجم / م١٠٠	/ ليلة

د - ٢ - ٢ - المرحلة الثانية :

قامت سفينة الأبحاث « ابن ماجد » واللنش التابع لها « عقام » بعمل رحلتي صيد في المرحلة الثانية من المشروع - وكانت الرحلة الأولى في أكتوبر ١٩٨٢ م - والثانية في نوفمبر ١٩٨٢ م . والجدير بالذكر أنه خلال هذه المرحلة ألغيت محطة (١ ، ٢) من محطات المرحلة الأولى لقربها من المحطات المجاورة ، وأصبح عدد محطات المرحلة الثانية عشر محطات فقط وعدلت أرقام المحطات وأصبحت كما هو مبين بالخربيطة رقم (أ ب)

د - ٢ - ٢ - ١ - رحلة المصايد الأولى :

(١) أجريت بعض عمليات الصيد بالشباك الخيشومية القاعية والسطحية في المحطات (٣ ، ٥ ، ٧ ، ٨ ، ١٠) - وكانت الشباك المستعملة من النايلون ماجه ٤ بوصة بطول ٢٠٠ م وارتفاع ٨ م ، ١٦ م . كما استعملت شباك من الداكران المزدوج ماجه ٣ بوصة بطول ٢٠٠ م وارتفاع ١٢ م .

كان تصيد الشباك القاعية معقولا في بعض المحطات ، وكان ضعيفا في محطات أخرى ، أما

الشباك السطحية فكان مصيدها ضعيفاً بصفة عامة . والجداول المرفقة تبين انتاج هذين النوعين من الشباك في المحطات المذكورة وعلى أعمق مختلفة - كما تبين الأنواع المصيدة والانتاج في وحدة الجهد لكل شبكة ولكل محطة (الجدوال من رقم ٢٤ الى ٣٣) .

(٢) تم إجراء بعض عمليات الاصياء دون الملاحظات التي شوهدت للتجمعات السمية وسلوكها - كما تم تجربة الشبكة الرافعه من على جانب السفينة .

د - ٢ - ١ - ١ - نتائج رحلة المصايد الأولى :

جدول رقم (٢٤)

تاريخ ١٩٨٢/١٠/١٩ م

محطة رقم (٣)

الشبكة القاعية الكبيرة - ٤ بوصة			الشبكة القاعية الصغيرة - ٤ بوصة			الأنواع
النسبة المئوية	الوزن كجم	عدد الأسماك	النسبة المئوية	الوزن كجم	عدد الأسماك	
-	٦٢٠٠	١	-	٧٨٠٠	٢	قرش
-	-	-	-	١١٠٧٠	١٦	سحل أبو واد
-	٢٥٥٠	٤	-	٢٢٨٠	٤	شعور
-	٧٣٠٠	٢	-	١٠٠٠	١	بهار
-	٤٥٠٠	٥	-	١٧٥٠	٢	بياض
-	-	-	-	٥٩٠	٢	غم
-	٦٥٧٠	٥	-	٣٠٠	٤	أنواع أخرى

٢٧١٢٠	= جلة الانتاج	٢٧٤٩٠ كجم	= جلة الانتاج
١٣٥٦٠	= الانتاج في وحدة الجهد	١٣٧٤٥ كجم	= الانتاج في وحدة الجهد
كجم / ١٠٠ م / ليلة		كجم / ١٠٠ م / ليلة	

د - ٢ - ٢ - ٢ - رحلة المصايد الثانية :

أجريت بعض عمليات الصيد بالشباك الخيشومية القاعية والسطحية في المحطات (١ ، ٢ ، ٤ ، ٥) وكانت الشباك المستعملة هي نفس الشباك التي استعملت في الرحلة السابقة .

كان مصيد الشباك معقولاً في بعض المحطات وكان ضعيفاً في محطات أخرى . والجداول المرفقة

تبين انتاج هذين النوعين من الشباك في المحطات المذكورة - كما تبين الأنواع المصيدة والانتاج في وحدة الجهد لكل شبكة ولكل محطة (الجدوال ٣٤ - ٣٨) .

(٢) تم اجراء بعض عمليات الاصابة ودونت الملاحظات التي شوهدت للتجمعات السماكية كما تم تجربة الشبكة الرافعة .

جدول رقم (٤٥)

تاريخ ١٩٨٢/١٠/١٩ م

محطة رقم (٣)

الشبكة القاعية الكبيرة			الشبكة السطحية			الأنواع
النسبة المئوية	الوزن كجم	عدد الأسماك	النسبة المئوية	الوزن كجم	عدد الأسماك	
			-	٦٧٨٠ ر	٥	عجم
			-	٨٠٠ ر	٨	حبرية
			-	٨٠٠ ر	١	جرم بياض
			-	١٠١ ر	١	خرم
			-	٤٠٠ ر	١	سحل أبووفن
الانتاج ضعيف			جملة الانتاج = ١١٨٠٠ كجم الانتاج في وحدة الجهد = ٥٩٠٠ كجم كجم / م / ليلة			

محطة رقم (٥)

تاریخ ١٩٨٢/١٠/١٨ م

جدول رقم (٤٦)

الشبكة القاعية الكبيرة			الشبكة القاعية الصغيرة			الأنواع
النسبة المئوية	الوزن كجم	عدد الأسماك	النسبة المئوية	الوزن كجم	عدد الأسماك	
-	٣٧٥٠	٥	-	١٥٧٥٠	٢٤	بياض
-	-	-	-	٦٠٠	٥	باغة
-	-	-	-	٤٣٢٠	٩	سحل أوفن
-	٤٨٠٠	١	-	٣١٠٠	١	حريم بياض
-	-	-	-	٣١٥٠	١	قروض
-	٣٢٥٠	١	-	-	-	بهار
-	-	٧٤٨٠-	-	٦٢٠	١٢	أنواع أخرى

جولة الانتاج =	١٣٠ كجم
الانتاج في وحدة الجهد =	١٦٥٦٥ كجم
كجم / م / ليلة	١٠٠ كجم / م / ليلة

كلتا الشبكتين نايلون وحيدة الفتلة خضراء اللون - ماجه ٤ بوصات بطول ٢٠٠ م وعرض ١٦٠٨ م.

محطة رقم (٥)

تاريخ ١٨/١٠/١٩٨٢ م

جدول رقم (٢٧)

الشبكة القاعية الكبيرة			الشبكة القاعية الصغيرة			الأنواع
النسبة المئوية	الوزن كجم	عدد الأسماك	النسبة المئوية	الوزن كجم	عدد الأسماك	
-	٢٠٢٠	٤				بياض
-	-	٤٦٨٠				دراك
-	٦٥٠٠	١				بهار
-	١٠٢٠	٣				غنم
-	١٥٥٠	١				عقام
-	٣٦٩٠	٨				أنواع أخرى

الإنتاج ضعيف

جملة الإنتاج = ١٩٤٦٠ كجم

الإنتاج في وحدة الجهد = ٩٧٣٠ كجم

كجم / م / ليلة

شبكة داكرتون من فلتين اللون رمادي الماجد طول ٢٠٠ م العرض ١٢ م.

محطة رقم (٧)

تاريخ ١٩٨٢/١٠/١٧ م

جدول رقم (٢٨)

الشبكة القاعية الكبيرة			الشبكة القاعية الصغيرة			الأنواع
النسبة المئوية	الوزن كجم	عدد الأسماك	النسبة المئوية	الوزن كجم	عدد الأسماك	
-	٢٤٧٤٠	١١٠	-	١٦٥٠	٤	غنم
-	١١٤٤٠	١٦	-	-	-	درالك
-	٠٧٣٠	٣	-	١١٥٠	٤	خنزير
-	١١٥٠	٣	-	-	-	حبرية
-	٠٣٠٠	١	-	-	-	أبو شرارة
-	٠٦٠٠	٢	-	٣٠٥٠	٦	أنواع أخرى

٣٨٩٦٠ كجم	=	حفلة الانتاج	٥ كجم	=	جملة الانتاج
١٩٤٨٠ كجم	=	الانتاج في وحدة الجهد	٢٩٩٢٥ كجم	=	الانتاج في وحدة الجهد
كم / ١٠٠ م / ليلة			كم / ١٠٠ م / ليلة		

• الشبكة السطحية لم تصد شيئاً والشبكة القاعية الصغيرة غزقت جميعها.

محطة رقم (٨)

تاریخ ١٩٨٢/١٠/١٦ م

جدول رقم (٢٩)

الشبكة القاعية الكبيرة			الشبكة القاعية الصغيرة			الأنواع
النسبة المئوية	الوزن كجم	عدد الأسماك	النسبة المئوية	الوزن كجم	عدد الأسماك	
-	-	-	-	٥٤٠٠	٢١	غنم
-	-	٢	-	٠٨٥٠	١	جملة بياض
-	٥٧٠٠	٢	-	-	-	تونة
-	٢٨٠٠	١	-	-	-	عقام
-	١٠٠٠	٢	-	--	-	أبو شرارة
-	٠٧٠٠	١	-	-	-	كشر

جملة الإنتاج =	٦٢١٠٠ كجم
الإنتاج في وحدة الجهد =	٦٠٥٠ كجم
كجم / م / ليلة	١٠٠ كجم / م / ليلة

جدول رقم (٣٠)

محطة رقم (٨)

تاریخ ١٩٨٢/١٠/١٦ م

الأنواع	الشبكة القاعية الكبيرة			الشبكة القاعية الصغيرة		
	النسبة المئوية	الورن كجم	عدد الأسماك	النسبة المئوية	الوزن كجم	عدد الأسماك
دراك	٢٧٥٠	٣	—	—	—	—
عقام	٣١٠٠	٢	—	١٧٠٠	١	—
بهار	٤٤٥٠	٢	—	—	—	—
أبو شراراة	٢١٥٠	٦	—	١١٥٠	٣	—
شعور	٠٧٠٠	٣	—	—	—	—
حجم	٠٨٥٠	٣	—	—	—	—
أنسوان	٤٩٠٠	٧	—	٥٠٠	١	—
أخرى	—	—	—	—	—	—
جملة الانتاج = ١٨٩٠٠ كجم			جملة الانتاج = ٣٥٠ كجم			جملة الانتاج =
الانتاج في وحدة الجهد = ٩٤٥٠ كجم			الانتاج في وحدة الجهد = ٨٣٨ كجم			الانتاج في وحدة الجهد =
كجم / م / ليلة			كجم / م / ليلة			كجم / م / ليلة

م ١٩٨٢/١٥/٣١ تاریخ

محطة رقم (١٠)

جدول رقم (٣١)

الشبكة القاعية الكبيرة				الشبكة القاعية الصغيرة				الأنواع
النسبة المئوية	الوزن كجم	عدد الأسماك	النسبة المئوية	الوزن كجم	عدد الأسماك	النسبة المئوية	الوزن كجم	
-	-	-	-	٣١٦٠٠	٣٨	قملة بياض		
-	٢٣١٣٠	١٠٤	-	-	-	غنم		
-	١٠١٠٠	١٠	-	-	-	درالد		
-	١٦٠٠	٥	-	-	-	حمرية		
-	٣١٠٠	٣	-	-	-	بهار		
-	٩٤٠٠	٩	-	-	-	أنواع أخرى		
جملة الانتاج = ٥٧٣٢٠ كجم				٣١٦٠٠	جملة الانتاج = ٣١٦٠٠ كجم			
الانتاج في وحدة الجهد = ٢٨٦١٥ كجم				١٥٨٠٠	الانتاج في وحدة الجهد = ١٥٨٠٠ كجم			
كجم / م / ليلة				١٠٠	كجم / م / ليلة			

محطة رقم (١٠)

تاريخ ١٩٨٢/١٠/١٥ م

جدول رقم (٣٢)

الشبكة القاعية الكبيرة			الشبكة القاعية الصغيرة			الأنواع
النسبة المئوية	الوزن كجم	عدد الأسماك	النسبة المئوية	الوزن كجم	عدد الأسماك	
-	٢٣٠٠	٢	-	٩٥٠٠	١٠	دراك
-	-	-	-	٧٠٠٠	١٠	قعلة بياض
-	-	-	-	٩٧٠٠	٨	بياض
-	٦٥٣٠	٧	-	٣٧٠٠	٢	بهار
-	٢٤٥٠	٦	-	٠٩٠٠	٢	أبو شرارة
-	-	-	-	٥٦٥٠	٦	أنواع أخرى

جملة الانتاج = ١١٢٨٠ كجم	جملة الانتاج = ٣٦٤٥٠ كجم
الانتاج في وحدة الجهد = ٦٤٠ كجم	الانتاج في وحدة الجهد = ١٨٢٢٥ كجم
كجم / م١٠٠ / ليلة	كجم / م١٠٠ / ليلة

١ - ٢ - ٢ - ٤ - نتائج رحلة المصايد الثانية : (نوفمبر ١٩٨٢ م)

جدول رقم (٣٣)

تاريخ ١٩٨٢/١١/٣٠ م

محطة رقم (١)

الشبكة القاعية الكبيرة			الشبكة القاعية الصغيرة			الأنواع
النسبة المئوية	الوزن كجم	عدد الأسماك	النسبة المئوية	الوزن كجم	عدد الأسماك	
-	٢٠٠٠	٢	-	٥٨٠٠	٣	بياض
-	٦٠٠٠	٢	-	٤٠٠٠	١	بار
-	٤٣٠٠	٤٨	-	٥٠٠٠	٣	تونة
-	٤٥٠٠	٦	-	٥٥٠٠		براكوندا
-			-			سحل أبو قرق
-			-			فروش
-			-			أنسواع
-			-			آخرى
الإنتاج ضعيف			جملة الإنتاج = ٧٨١٠٠ كجم			
			الإنتاج في وحدة الجهد = ١٣٠١٦ كجم			
			كجم / م / ليلة			

جدول رقم (٣٤)

محطة رقم (٢)

تاريخ ١٩٨٢/١١/١٩ م

الشبكة القاعية الكبيرة			الشبكة القاعية الصغيرة			الأنواع
النسبة المئوية	الوزن كجم	عدد الأسماك	النسبة المئوية	الوزن كجم	عدد الأسماك	
-	٦٥٠٠	٢	-	١٩٧٠٠	٦	بهار
-	٢٣٧٠٠	١٢	-	٢٩٠٠٠	٢٥	بساص
-	-	-	-	٤٢٠٠	١	تونة
-	١٨٢٠٠	١٤	-	-	-	حريد
-	٨-	٤	-	-	-	ماركريل
-	٦٦٠٠	١١	-	-	-	سحل
-	١٠٠-	٤	-	-	-	قروض
-	٣٤٠٠	٣	-	٤-	٥	أنواع أخرى
جملة الانتاج = ١١٦٤٠٠ كجم			جملة الانتاج = ٥٦٩٠٠ كجم			جملة الانتاج =
الانتاج في وحدة الجهد = ٨٣٢ كجم			الانتاج في وحدة الجهد = ٢٨٤٥ كجم			الانتاج في وحدة الجهد =
كجم / ١٠٠ م / ليلة			كجم / ١٠٠ م / ليلة			

مخطة رقم (٤)

تاریخ ١٩٨٢/١١/٢٨ م

جدول رقم (٣٥)

الشبكة القاعية الكبيرة			الشبكة القاعية الصغيرة			الأنواع
النسبة المئوية	الوزن كجم	عدد الأسماك	النسبة المئوية	الوزن كجم	عدد الأسماك	
-	١٥٩٠٠	٤	-	١٨ ر ٠	٣	هبار
-	٢٧٢٠٠	٢٥	-	٢١٠٠	٤	بياض
-	-	-	-	٤٨٠٠	٤	حريد
-	١٣٠٠	١	-	١ ر	١	ماكريبل
-	٢٨٠٠	٧	-	٩٨٠٠	١٤	سحل
منهم اندر	٣٦٥ -	٣	-	-	-	قروش
-	٢٥٨٠٠	١٥	-	-	-	أنواع أخرى

جملة الانتاج = ٤٣٨٠٠٠ كجم	الانتاج في وحدة الجهد = ٢١٩٠٠٠ كجم
الانتاج في وحدة الجهد = ١٧٨٥ كجم	كم / م / ليلة

محطة رقم (٤)

جدول رقم (٣٦)

تاریخ ١٩٨٢/١١/٢٨ م

الشبكة القاعية الكبيرة			الشبكة القاعية الصغيرة			الأنواع
النسبة المئوية	الوزن كجم	عدد الأسماك	النسبة المئوية	الوزن كجم	عدد الأسماك	
ـ	٣٦٠٠	٢	حرم			
ـ	١٨٠٠	١	ماكريل			
ـ	٣٢٠٠	١	بهار			
ـ	٢٤٠٠	٣	سيف			
ـ	٢٠٠٠	١٠	مرجان			
ـ	١٢٠٠	٣	أسوان			
الإنتاج ضعيف			آخرى			
			جولة الإنتاج = ١٤٢٠٠ كجم			
			الإنتاج في وحدة الجهد = ٧١٠٠ كجم			
			كم / م / ليلة			

١٩٨٢/١١/٢٧ تاريخ

محطة رقم (٥)

جدول رقم (٣٧)

الشبكة القاعية الكبيرة			الشبكة القاعية الصغيرة			الأنواع
النسبة المئوية	الوزن كجم	عدد الأسماك	النسبة المئوية	الوزن كجم	عدد الأسماك	
-	٦٠٠٠	١				بهار
-	١٦٢٠٠	١٧				حربيد
-	٧١٠٠	١٢				سحل
-	٢٨٠٠	٤				بياض
-	٢٢٠٠	٤				كمامة
-	٢٤٠٠٠	.				قروش
-	٢٠٠٠	٥				أنواع أخرى
الانتاج ضعيف						
جملة الانتاج - ٦٠٣٠٠ كجم						
الانتاج في وحدة الجهد = ٣٠١٥٠ كجم						
كجم / م ليلة						

د - ٣ - د - المناقشة :

٥ - ٣ - ١ - مصايد الخيط والستار :

استعمل الخليط والستار اليدوى فى صيد الأسماك من على ظهر السفينة « ابن ماجد » فى كل من الرحلة الاستكشافية ورحلة المصايد الأولى (أكتوبر ونوفمبر ١٩٨١ - الجداول ١ - ٥) . من الجداول يتضح أن كمية الانتاج فى وحدة الجهد تعتبر قليلة . ويرجع ذلك الى عدم صلاحية المكان (مكان رسو السفينة) لعمليات الصيد - بالإضافة الى قلة الخبرة لدى صيادي السفينة .

ولقد سبق لكلية علوم البحار (د. محمد طلعت هاشم ، الطالب / عادل بدوى) خلال الفترة من مارس الى أغسطس ١٩٨٠ م القيام بعدة عمليات صيد بواسطة الخيط والستار اليدوى - وكذلك بعض عمليات صيد بالستار المخمور في عدة مواقع أمام مدينة جدة . كما تم جمع بعض البيانات الخاصة بصيد الستار التجارى (تم جمع معلومات عن عدد (١٧) عملية صيد بالستار اليدوى وعدد (٨) عمليات صيد بالستار المخمور) .

بالنسبة للصيد التجريبي وجدنا أن انتاج السنار اليدوى كان معقولاً في أشهر الصيف ، وكان ضعيفاً في فصل الشتاء والربع - كما وأن مصيد النهار كان أعلى بصفة عامة عن مصيد الليل . نفس هذه النتائج تتطبق أيضاً على مصيد السنار المحرر .

بالسبة لنتائج الصيد التجارى ، وجدنا نفس الصورة – بمعنى انتاج معقول في الصيف ، وانتاج ضعيف في الشتاء والربع . مع زيادة انتاج الصيد بالنهار عنه بالليل .

هذا أجهدت مصايد السنار

هكذا يعتقد بعض الباحثين من هيئة المسئولية الأدبية جمعية ويلز راحلتها والذين عاهموا عملاً منسخ
رسايد ، الملكة العربية المسعد ، الملكة العبرية ميريم ، حيث يرى المؤرخ الشهود المسعد ، لارجع وزارة المرأة ، وقد في
الكتاب ، وهي إحدى الكتب التي يدرسها في كلية التربية ، وهي كتاب من إعداد المؤلف ، وهو كتاب يدرس في كلية التربية

ولكننا نعتقد أن السبب يرجع إلى أن هناك تركيز على استغلال بعض المناطق المعروفة لأغلب الصيادين وأقربها لمناطق الأسكان والتسويق . بالرغم من أن هناك العديد من الأماكن الصالحة للصيد بالستار اليدوى والتي لم تستغل إطلاقاً وذلك بسبب بعدها عن مناطق العمران . وهذه يمكن استغلالها لتخفيف الضغط على المناطق القرية .

كما أن الانخفاض في انتاج مصايد السنارة في المياه المقابلة لمنطقة جده في الفترة الحالية يرجع إلى الانشاءات العمرانية والهندسية التي تجري في المياه الشاطئية من دفن لمناطق الضحله التي تعتبر من أهم الحضانات التي تلجأ إليها الأسماك وخاصة الصغار - للحصول على غذائها ، حيث الأمان والأمان .

ولقد لوحظ اختفاء بعض أنواع الأسماك من تلك المياه بعد هذه العمليات العمرانية في حين أنها كانت تتوارد في تلك المناطق بأعداد كبيرة وبصورة اقتصادية .

ومن أسباب الانخفاض أيضاً زيادة التلوث نتيجة لما ينذر في مياه البحر من مخلفات آدمية مرتعها زيادة العدد السكاني في جهة والتطور الصناعي والحضاري .

د - ٢ - ٣ - ٢ - الاضاءة وتحمّم الأسماك :

بالنسبة للإضاءة فقد لاحظنا في رحلة الصيد الأولى (نوفمبر ١٩٨١) تجمع البلانكتون ثم زراعة الأسماك حتى تكونت ما يشبه السحابة في منطقة الضوء ، ثم تلى ذلك ظهور أسماك كبيرة بالقرب من السطح - يتحمل أن تكون من أنواع الشعور - وبدأت في مهاجمة الزراعة التي أخذت تتشتت وتختفي ثم تجتمع من جديد - وبعد فترة بدأت أنواع أخرى من الأسماك الكبيرة (غالباً من أنواع البراكودا) في مهاجمة أسماك الشعور وكانت على أعماق أكبر - ثم تكررت هذه الصورة على فترات متالية .

لذلك رُؤى تجهيز الشبكة الرافعة (Lift net) الموجودة لدى مركز بحوث الغرفة السمكية لتجربتها في صيد الأسماك المتجمعة على الإضاءة في رحلة الصيد التالية .

والشبكة الرافعة المطلوبة عبارة عن إطار مربع أو مستطيل من مواسير ذات قطر مناسب (واحد بوصة) والأحسن أن يكون الإطار دائري من حديد التسليح ذو قطر مناسب مركب عليه شبكة من الغزل النايلون ذات ماجة مناسبة لنوعية الأسماك موضوع الصيد - والشبكة على شكل مخروطي وتدلى الشبكة في الماء من أحد جوانب السفينة إلى عمق ٢٥ - ٣٠ م تحت السطح قبل بداية الإضاءة .

تجمع الأسماك السطحية على مصدر ضوء قوى نتيجة لتجمّع البلانكتون وعندما يستقر التجمّع السُّمكي ويُكَف عن الحركة ترتفع الشبكة الرافعة بسرعة لتصيد ما يكون فوقها من أسماك . وهي بذلك عبارة عن وسيلة صيد تجريبية فقط .

خلال رحلة الصيد الثانية (مايو ١٩٨٢ م) تم تشغيل الشبكة الرافعة مرتين احدهما في المخطة رقم (٤) والثانية في المخطة رقم (٢) . وكانت الاضاءة عبارة عن عدد (٤) لمبات كهربائية كبيرة قوة كل منها ألفين شمعة . واستمرت مدة الاضاءة حوالي ٣ ساعات في كل مرة . وكانت النتيجة عدم وجود مصيد .

كان هناك عاملان أساسيان في هذه التجربة تسببا في عدم امكانية الصيد بها : الأول - هياج البحر وارتفاع الأمواج . والثانى - كان القمر بدرا كاملا ، مما أدى إلى تشتت الضوء وعدم تجمّع الأسماك . هنا بالإضافة إلى وجود عدة عوامل ثانوية أخرى تتصل بتصميم الشبكة الرافعة نفسها . وهذا لا يعني فشل هذه الطريقة حيث ثبت في المرات السابقة تجمع الأسماك بواسطة الضوء عندما كان البحر هادئا وفي غياب ضوء القمر .

وخلال رحلة الصيد الأولى - من المرحلة الثانية (أكتوبر ١٩٨٢ م) أثبتت تجربة الاضاءة فعاليتها في المخطة رقم (٧) - إذ بعد ساعة واحدة من الاضاءة تجمّعت كمية كبيرة من الأسماك تقدر بما لا يقل عن ٣ أطنان من الأسماك السطحية . وتمأخذ عينة من الأسماك بواسطة الشبكة الرافعة . وكانت أهم الأنواع المصادة في العينة هي :

عدد

٣٢	سمكة عجمان صغيرة	- متوسط الطول ٢٠ سم .
٢٥	سمكة سردين	- متوسط الطول ١٤ سم .
٣	سمكة بياض صغيرة	- متوسط الطول ٨ سم .

وكذلك تمت التجربة مرة أخرى في المخطة رقم (٥) - وكانت النتيجة تجمّعات كبيرة من الأسماك - مثل ما حدث في المخطة رقم (٧) . ثم كررنا التجربة للمرة الثالثة في المخطة رقم (٣) - وكانت التجمّعات السُّمكية حول الضوء كبيرة جدا - إلا أن السردين المصاد كان أصغر حجما مما كان عليه في المرات السابقة . كما لوحظت عمليات هجوم لحيوانات الحبار *Sepia* لتلتهم السردين المتجمّع .

خلال رحلة الصيد الثانية - من المرحلة الثانية (نوفمبر ١٩٨٢ م) ، وفي المخطة رقم (٥) (أمام رابع) كان هناك تجمّع كبير من الأسماك السطحية (تونة) وكانت طيور البحر تطاردتها - وأمكن اصطياد أحدهما (٢٠ سم) بواسطة الخيط المجرور .

أضيئت عدد ٢ لمبة (كشاف) قوة كل منها (٢٠٠٠) وات وبالرغم من اضطرابات البحر وجود القمر (ليلة ١٢) من الشهر المجري - فقد تجمعت أسماك كثيرة من السردين بطول ١٠ سم على الضوء - ثم تلى ذلك تجمع من أسماك الباغة بطول (١٥ - ٤٠ سم) .

وفي المخطة رقم (٤) أمام قرية (تلول) لاحظنا تجمعاً كبيراً من الأسماك السطحية (تونة) تهاجمها طيور البحر - وكان هناك قاربين (أوت بورد) يصيدان بالخيط المجرور وسط هذه التجمعات .

أقيمت الشباك وأضيئت الأنوار الكاشفة التي تجمع عليها الكثير من أسماك السردين (١٠ سم) .

وفي المخطة رقم (٢) أضيئت الأنوار الكاشفة التي تجمع عليها أسماك السردين الصغيرة - ثم هاجمتها أسماك الشاخورة (متوسط الطول ١٥ سم) - والتي صيدت منها بعض العينات بواسطة الخيط المعلق به عدة سنارات صغيرة .

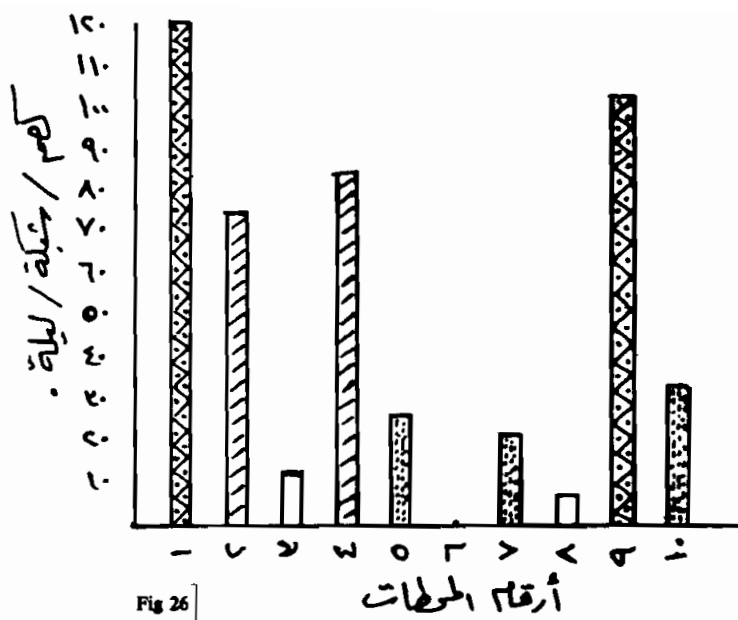
ما تقدم يتضح الآتي :

- (١) توجد تجمعات كبيرة لأسماك التونة في منطقة (تلول) .
- (٢) هناك نتائج إيجابية لجذب الأسماك بواسطة الإضاءة .

و هنا لا بد من ذكر حقيقة أن مصايد الأسماك السطحية ، بدأت في السنوات الأخيرة بواسطة الشانشو لا في المنطقة الشمالية (بنبع - الوجه) ، وهذا يدل على اقتصادية إنتاج مثل هذه الطريقة في صيد الأسماك العائمة إلا أن بعض الصيادين بدأوا حملة شكاوى ضد هذه الحرفة - على أساس أنها ضارة بالمصايد . وللأسف استجابت وزارة الزراعة والمياه لهذه الشكاوى وأوقفت العمل بشباك الشانشو لا - دون الاستناد إلى الحقائق العلمية المتاحة وهي أن مصيد الشانشو لا عبارة عن الأسماك العائمة - وهي أسماك مهاجرة وليس مستقرة في مكان محدد - الأمر الذي يجعل صيدها لا يمثل خطورة على المصايد بصفة عامة ، ومعظمها يتصرف بدورة حياة قصيرة فاما الحصول عليها والاستفادة بمصيدها والا ضاعت علينا وهلكت .

٥ - ٤ - ٣ - ٣ - مصايد الشباك الحيشومية :

من استعراض جداول الانتاج السمكي للشباك الحيشومية في المخطات المختلفة خلال الفترة من أكتوبر ١٩٨١ م الى نوفمبر ١٩٨٢ م - يتضح الآتي (شكل ٢٦)



شكل (٢٦): كمية بروتاج بالنسبة للمرحات في لفترة
سماكتور ١٩٨١ في نوفمبر ١٩٨٢.

Fig 26

(١) كان الانتاج عاليا في المخطة رقم (٩) حيث أجريت عملية صيد احدها بالشبكة القاعية الصغيرة (طول ٢٠٠ م) وكان انتاجها ٤٥ كجم في الليلة . والعملية الثانية بالشبكة القاعية الكبيرة (طول ٢٠٠ م) وكان انتاجها ١٦٢ كجم في الليلة . وعليه فان متوسط الانتاج للشبكة الواحدة (طول ٢٠٠ م) من هذه المخطة هو ١٠٣ كجم في الليلة . وكذلك الحال بالنسبة للمخطة رقم (١) حيث أجريت سبعة عمليات صيد - وكان متوسط الانتاج عاليا (١٢١ كجم في الليلة) .

(٢) كان الانتاج جيدا في المخاطط رقم ٢ ، ٤ حيث أجريت تسع عمليات صيد في المخطة ٢ وكان متوسط انتاج الشبكة (طول ٢٠٠ م) ٧٦ كجم في الليلة . وأجريت أربع عمليات صيد في المخطة (٤) وكان متوسط انتاج الشبكة الواحدة ٨٥ كجم في الليلة .

(٣) كان الانتاج متوسطا في المخاطط رقم ٥ ، ٧ ، ١٠ حيث أجريت عشر عمليات صيد في المخطة ٥ وكان متوسط انتاج الشبكة الواحدة ٢٧ كجم في الليلة . وأجريت أربع عمليات صيد في المخطة ٧ ، وكان متوسط انتاج الشبكة الواحدة حوالي ٢٢ كجم في الليلة . وأجريت أربع عمليات صيد في المخطة ١٠ وكان متوسط انتاج الشبكة الواحدة ٣٤ كجم في الليلة .

(٤) كان الانتاج ضعيفا في المخاطط رقم ٣ ، ٨ حيث أجريت ست عمليات صيد في المخطة ٣ وكان متوسط انتاج الشبكة (طول ٢٠٠ م) - ١١ كجم في الليلة . وأجريت خمس عمليات صيد في المخطة ٨ وكان متوسط الانتاج الشبكة الواحدة حوالي ٨ كجم في الليلة .

(٥) وبحساب كمية الانتاج في وحدة الجهد (أي كمية الانتاج لكل ١٠٠ متر طول من الشبكة في الليلة الواحدة) يتضح أن الانتاج يتراوح بين ٥ كجم / ١٠٠ م / ليلة ، ٥٢ كجم / ١٠٠ م / ليلة - والمتوسط العام للإنتاج في المنطقة يبلغ حوالي ٢١٥ كجم / ١٠٠ م / ليلة .

ولقد سبق لجنة السمك الأبيض (المملكة المتحدة) أن قامت بعده تجارب عام ١٩٧٨-٧٧ م على مصايد الشبكة المستعملة الحيوسنية على طول الساحل السعودي وكانت الشبكة المستعملة هي تقريبا نفس الشبكة المستعملة في البحث الحالي - من حيث المادة المصنوع منها الشبكة (نايلون أحادى الفتلة) مع بعض الاختلافات في مقاس الملاجة وطول الشبكة وكذلك عرضها - اذ كانت الشبكة عرض ٢٥ م في ذلك الوقت ، بينما الشبكة في البحث الحالي فهى ذات عرضين :

(١) شبكة قاعية صغيرة ذات عرض ٤٧ متر .

(٢) شبكة قاعية كبيرة ذات عرض ١٤٨ متر .

و كانت نتائج هيئة السمك الأبيض في منطقة جدة - رابع (جزء من منطقة العمل الحالى) تترواح بين ٢٥٥ كجم / م / ليلة في منطقة جدة . بينما - وصل الانتاج الى ٨٦٣ كجم / ١٠٠ م / ليلة في منطقة تبوك . وكانت القروش تمثل نسبة عالية من المصيد (٥٦ - ٧٣ %) بينما كانت الأسماك السطحية والقاعية الأخرى تمثل نسبة (٤٤ - ٢٧ %) من المصيد .

ومن تحليل البيانات الخاصة بالانتاج السمكي للعديد من مناطق الشعب المرجانية بمنطقة الاندو باسيفيك - توصل (Stephenson & Marshall, 1974) إلى أن الحصول السنوى يتراوح ما بين (٤ - ٥٠) كجم / هكتار في حالة الاستغلال العادى .

ولقد قام (Mastaller, 1982) بدراسة محصول الشباك الحيشومية على مدار سنة كاملة في منطقة سواكن بالسودان ، وكانت عمليات الصيد مكثفة ونصبت الشباك بالطريقة السليمة بين رؤوس الشعب المرجانية في المناطق الضحلة - وتراوح الانتاج بين ٦٠ - ١٠٠ كجم / هكتار / سنة وهذا الانتاج يعتبر كبيراً بالنسبة لانتاج مناطق شمال الأطلنطي الغنية (Munro, 1976) .

ولقد قام (Clark, et al., 1968) عن طريق المشاهدة تحت الماء وحساب كمية الأسماك المتواجدة في قطاع محدد - بتقدير الكتلة الحيوية للأسماك (Standing Crop) في البحر الأحمر بحوالى ٣٥٠ كجم / هكتار . بينما قدرت الكتلة الحيوية للأسماك في منطقة الحاجز المرجاني العظيم عند جزر هواى بحوالى ١٨٥٠ كجم / هكتار (Goldman & Talbot, 1976) وهذه الكمية لا تمثل بالطبع انتاج المحكاري حيث أن الأسماك التي حصرها بالمنطقة غالباً ما يحتوى على بعض أسماك تتجلى في منطقة أوسع من تلك التي تم حصرها وذلك بغرض الغذاء .

د - ٤ - ٣ - ٣ - ١ - أهم أنواع الأسماك المصادة بالشباك :

من جداول عمليات الصيد السابقة يتضح أن هناك العديد من أنواع الأسماك التي يمكن صيدها بالشباك الحيشومية - ولكن أهم هذه الأنواع من حيث الكثرة العديدة أو كمية الانتاج وكذلك بالنسبة للأهمية الاقتصادية هي : البياض - الحرید - البهار - الدراك - التونة - السحل (أبو قرن) - قملة البياض . هذا بالإضافة إلى أسماك القرش إلى تمثل حوالى ٤٤ % من انتاج الشباك .

ولقد كانت هذه الأنواع هي الأسماك الغالبة على صيد الشباك الحيشومية بصفة عامة في المناطق المختلفة وخلال الشهور من أكتوبر ١٩٨١ م إلى نوفمبر ١٩٨٢ م . وما لا شك فيه فإن هناك بعض الاختلافات بين كثرة تواجد نوع معين من الأسماك في منطقة عن آخر أو في شهر دون الآخر . وهذا واضح في جداول عمليات الصيد السابقة - وعلى العموم فإن الأسماك السطحية تمثل ٣٣ % . بينما الأسماك القاعية تمثل ٢٣ % من انتاج الشباك القاعية .

أما بخصوص الأحجام المصادة من كل نوع فهي بلا شك من الأحجام الكبيرة وهذا يتوقف أيضاً

على مقاس ماجه الشباك المستخدمة - وسوف نناقش فيما يلى درجة اختيارات الشباك وعلاقة حجم الماجه بأطوال ألم الأسماك المصادة .

د - ٢ - ٣ - ٤ - كفاءة الشباك :

من المعروف أن تحديد كفاءة وسيلة الصيد من الأمور الصعبة - اذ ليس هناك أية طريقة يمكنها أن تصيد جميع الأسماك الموجودة في أية منطقة - بمعنى أن كفاءة الصيد لا تصل بأى حال من الأحوال إلى ١٠٠٪ . ومع ذلك فكفاءة وسيلة الصيد تعتمد على العوامل التالية :

(١) طريقة تصميم وبناء وسيلة الصيد :

ان طريقة تصميم وبناء الشباك لا بد وأن تقوم على أساس دراسة شاملة لأشكال وأحجام وسلوك الأنواع المختلفة من الأسماك التي يراد صيدها .

كما وأن معامل التعليق وكمية الارحام في الشباك تختلف من شبكة إلى أخرى - ونتيجة لهذه الاختلافات أصبح هناك عدة أنواع من الشباك - تختلف كل منها عن الأخرى في كفاءتها وكذلك نوعية الأسماك التي تصيدها .

(٢) عدم رؤية الأسماك لوسائل الصيد :

بما أن الأسماك ترى في الماء - لذلك فهناك امكانية أن ترى الأسماك الشباك الموجودة وتعمل على تفاديها - وخاصة اذا كانت بألوان مخالفة للون للمياه التي تعمل فيها .

ومن الطبيعي أن تأثير الألوان على كفاءة الشباك أثناء الليل يقل عنه أثناء النهار لعدم وجود ضوء يمكن الأسماك من رؤية الشباك . ومع ذلك فقد ثبت أن أنسنة وقت للصيد بالشباك هو عند الفجر وكذلك عند الغروب .

(٣) طبيعة الأسماك في منطقة الصيد :

ان درجة كفاءة الشباك تعتمد أيضا على سلوك الأسماك وكفاءة الصيد أثناء الليل أو النهار تختلف من نوع إلى آخر . وهذا ناتج عن اختلاف نشاط الأسماك بالليل أو النهار .

ومن المهم أيضا في زيادة كفاءة الشباك حالة الأسماك نفسها فالأسماك المتحركة أكثر تعرضاً للوقوع في الشباك - أما الأسماك قليلة الحركة فهي أقل عرضة للوقوع في الشباك .

(٤) درجة اختيار وسيلة الصيد :

خبيث و ئل الصيد درجات معينة في اختيار الأسماك التي تصيدها سواء من حيث النوع أو الجهة حلف درجة الاختيار هذه من وسيلة الى أخرى فبعض الوسائل لها درجة اختيار ضئيلة جداً - أما البعض الآخر فله درجة اختيار لا يمكن تجاوزها حيث أنها كبيرة لدرجة احداث نعر جوهرية في التجمعات السمكية .

(٥) خبرة القائمين بعمليات الصيد :

أن كفاءة الشباك تزيد بزيادة خبرة القائمين على العمل بها فطريقة نصب الشباك - وتوقيت تشغيلها - والعمق الذي ترمي فيه - وطبيعة المكان - وحالة البحر ... الخ ، كل هذا يؤثر في كفاءة الشباك وكمية المصيد - وهذا يعتمد على خبرة العاملين بالصيد .

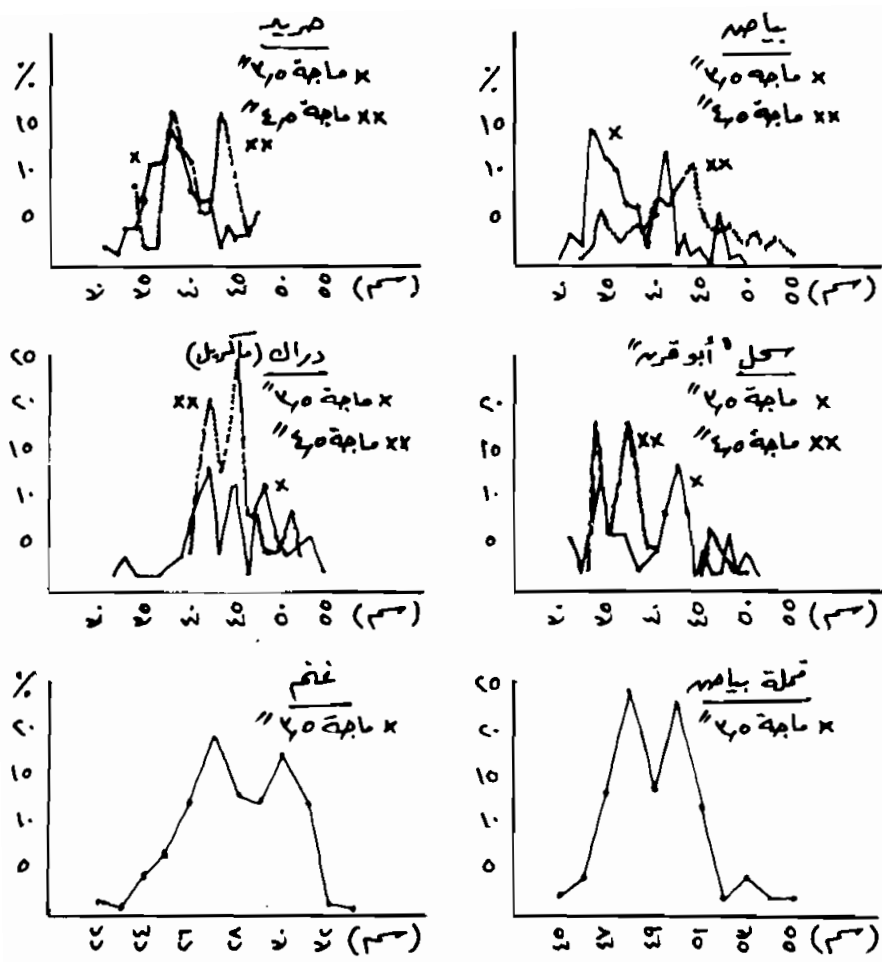
د - ٢ - ٣ - ٣ - اختبارية الشباك : NET SELECTIVITY

لقد أوضح برانوف ١٩٤٨ م أن هناك علاقة بين حجم ماجه الشبكة والطوب المختار Modal Length للأسماك المصادة بها وهذه العلاقة يمكن تمثيلها بالمعادلة $Klm = \emptyset$ حيث \emptyset عبارة عن مقاس ماجه الشبكية / (م) ، Lm عبارة عن الطول الأمثل للأسماك / (م) ، K عبارة عن ثابت مختلف قيمته باختلاف أنواع الأسماك (أشكال الأسماك) . وتعتمد قيمة هذا المعامل عرض السمكة - كما تختلف قيمته مع اختلاف الأعمرار ومعامل الحالة للأسماك .

و... يمكن تمثيل هذه العلاقة بيانيا عن طريق رسم الخط البياني بين أطوال وأعداد الأسماك المصادة -
، ثم رسم يمكن تحديد الطول الأمثل للأسماك المصادة بهذه الشباك ذات الماجات المحددة .

نـ (١)) رـ شـكـل ٢٧ يـوضـحـانـ أـنـ الطـولـ الـأـمـثـلـ لـأـسـمـاـكـ الـبـيـاضـ - Caranx Sexfasciatus -
نـسـمـهـ لـاسـكـهـ لـفـاعـيـهـ الصـغـيرـهـ (ـمـاجـهـ ٣٥ـ بـوـصـهـ)ـ هـوـ ٣٣ـ سـمـ -ـ بـيـنـاـ الطـولـ الـأـمـثـلـ هـذـهـ أـسـمـاـكـ
نـسـمـهـ لـاسـكـهـ لـفـاعـيـهـ الـكـبـيرـهـ (ـمـاجـهـ ٤٤ـ بـوـصـهـ)ـ هـوـ ٤٤ـ سـمـ .

ـ جـدولـ (١٩)ـ وـشـكـلـ ٢٧ـ يـوضـحـانـ أـنـ الطـولـ الـأـمـثـلـ لـأـسـمـاـكـ الـحـرـيدـ Scaridsـ بـالـنـسـبـةـ لـلـشـبـكـةـ
ـ السـعـرـ (ـمـاجـهـ ٣٥ـ بـوـصـهـ)ـ هـوـ ٣٨ـ سـمـ بـيـنـاـ التـوزـعـ الـطـولـ لمـصـيدـ الشـبـكـةـ الـفـاعـيـهـ الـكـبـيرـهـ
ـ ٤٤ـ بـوـصـهـ)ـ يـوـضـعـ وـجـودـ قـمـتـيـنـ -ـ اـحـدـاهـماـ عـنـدـ طـوـلـ ٣٨ـ سـمـ وـثـانـيـةـ عـنـدـ طـوـلـ ٤٣ـ سـمـ
ـ يـهـيـ السـبـبـ فـيـ ذـلـكـ -ـ أـوـلـاـ إـلـىـ قـلـةـ عـدـدـ أـسـمـاـكـ الـمـصـادـهـ ،ـ وـثـانـيـاـ إـلـىـ وـجـودـ عـدـدـ أـنـوـاعـ مـنـ
ـ الـحرـ (ـحـدـيـهـ -ـ بـيـضـيـ -ـ فـرـهـوـدـيـ ..ـ الـخـ)ـ ضـمـنـ هـذـاـ التـوزـعـ -ـ الـأـمـرـ الـذـيـ أـوـجـدـ أـكـثـرـ مـنـ
ـ وـعـبـرـ الـقـمـهـ الثـانـيـهـ هـيـ النـاتـجـهـ عـنـ عـمـلـيـهـ الـاخـتـيـارـ .



شكل (٢٧) : التوزيع الطولى لذئم برسان الصاردة بالستانليتومية
 (ماجنة ٤,٥ بوصة، ماجنة ٤,٥ بوصة)

Fig 27

ومن التوزيع الطولي لمصيد السحل (أبو قرن) Naso Hexacanthus المصادة بالشبكة القاعية الصغيرة (ماجه ٣٥ بوصة) - جدول رقم (٤٠) شكل ٢٧ - يتضح أن هناك قمتين أحدهما عند طول ٣٤ سم والثانية عند طول ٤٢ سم . كذلك أسماك السحل المصاد بالشبكة القاعية الكبيرة (ماجه ٤٤ بوصة) توجد له قمتان الأولى عند طول ٣٧ سم والثانية عند طول ٤٦ سم .

ويرجع السبب في ذلك أولاً إلى قلة عدد الأسماك المصادة . وثانياً إلى وجود مبعدين (شوكتين) على جانبي الذيل الأمر الذي يجعل هذه الأسماك عرضة للوقوع بالشباك عن طريق اشتباك هذه الأشواك . ثالثاً احتمال وجود اختلافات في حالة الأسماك نفسها كنتيجة لاختلاف الجنس - الأمر الذي أدى إلى ظهور هاتين القمتين . ويرجع أن تكون القمة الأولى (في كل التوزيعين) - نتيجة أحد الأسباب المذكورة أو جميعها - بينما القمة الثانية فهي نتيجة لعملية الاختيار .

ومن التوزيع الطولي لمصيد أسماك الدرارك (الماكرييل) Scomberomrus Commersoni المصادة بالشبكة القاعية الصغيرة (ماجه ٣٥ بوصة) - جدول رقم (٤١) شكل ٢٧، يتضح أن هناك أكثر من قمة - الأولى عند طول ٤٢ سم . والثانية عند طول ٤٤ - ٤٥ سم والثالثة عند طول ٤٨ سم . بينما توجد قمتان بالنسبة للشبكة القاعية الكبيرة (ماجه ٤٤ بوصة) - الأولى عند طول ٤٢ سم والثانية عند طول ٤٥ سم . ويرجع السبب في ذلك إلى قلة عدد الأسماك المصادة - وغالباً فإن الطول الأمثل للشبكة الصغيرة ٤٢ سم - وللشبكة الكبيرة ٤٥ سم .

ومن التوزيع الطولي لأسماك قملة البياض - Scomberoides sp المصادة بالشبكة القاعية الصغيرة (ماجه ٣٥ بوصة) جدول رقم (٤٢) ، شكل ٢٧ يتضح أن هناك قمتين - الأولى عند طول ٤٨ سم ، والثانية عند طول ٥٠ سم - وحيث أن هاتين القمتين متقاربتين - لذلك يقع الطول الأمثل لهذه الأسماك بين هذين الطولين (٤٨ - ٥٠ سم) .

ومن التوزيع الطولي لأسماك الغنم Caesio Caerulaureus المصادة بالشبكة القاعية الصغيرة (ماجه ٣٥ بوصة) - جدول (٤٢) ، (شكل ٢٧ يتضح أن هناك قمتين - الأولى عند طول ٢٧ سم . والثانية عند طول ٣٠ سم - وحيث أن هاتين القمتين متقاربتين - لذلك فإن الطول الأمثل لهذه الأسماك يقع بين هذين الطولين (٢٧ - ٣٠ سم) .

وبحساب درجة اختيارية الشباك المستعملة حسب نوعية الأسماك (باستعمال معادلة برانوف) نحصل على الجدول رقم (٤٣) - حيث نجد أن معامل الاختيار بالنسبة للشبكة القاعية الصغيرة

(ماجه ٣٥ بوصه) يكون كبيراً لأسماك الغنم (٣١٢ ر.) - ويقل هذا المعامل الى (٢٧٠ ر.) لأسماك البياض - والى (٢٣٤ ر.) لأسماك الحريد . بينما يصل الى (٢١٢ ر.) لكل من السحل والدراك ويصل الى أقل قيمة (١٨٢ ر.) في قملة البياض . وهذا يرجع الى الاختلاف في شكل أجسام هذه الأسماك . فكلما كانت الأسماك عريضة قلت قيمة هذا المعلم .

أما معامل الاختيار في الشبكة القاعية الكبيرة (ماجه ٥٤ بوصة) فنجد أنه يكاد يكون متساوياً بالنسبة لأسماك البياض (٢٥٩ ر.) وأسماك الحريد (٢٦٥ ر.) وأسماك الدراك (٢٥٣ ر.) ، وهذا يرجع الى تقارب محيط أجسام هذه الأسماك للطول الواحد .

جدول رقم (٤٣)

درجة اختيارية الشباك لأهم الأسماك المصادة (باستعمال معادلة برانوف)

الشبكة القاعية الكبيرة (ماجه ٥٤ بوصه)		الشبكة القاعية الصغيرة (ماجه ٣٥ بوصه)		النوع
درجة الاختيارية	الطول الأمثل (سم)	درجة الاختيارية	الطول الأمثل (سم)	
٢٥٩ ر.	٤٤	٢٧٠ ر.	٣٣	بياض
٢٦٥ ر.	٤٣	٢٣٤ ر.	٣٨	حريد
٢٤٨ ر.	٤٦	٢١٢ ر.	٤٢	سحل « أبو قرن »
٢٥٣ ر.	٤٥	٢١٢ ر.	٤٢	دراك « ماكريبل »
-	-	٢٨٢ ر.	٤٩	قملة بياض
-	-	٣١٢ ر.	٢٨٥	غنم

جدول رقم (٣٨)

التوزيع الطولي لأسماك البياض *Caranx Sexfasciatus*

المصاددة بكل من الشبكة القاعية الصغيرة (ماجه ٣٥ بوصة) والقاعية الكبيرة (ماجه ٥٤ بوصة)

الشبكة القاعية الكبيرة			الشبكة القاعية الصغيرة		
النسبة المئوية	عدد الأسماك	الطول (سم)	النسبة المئوية	عدد الأسماك	الطول (سم)
٠٥	١	٣٢	٠٥	١	٣٠
١٥	٣	٣٣	٣١	٦	٣١
٥٧	١١	٣٤	٢١	٤	٣٢
٤١	٨	٣٥	١٤٧	٢٨	٣٣
٢٦	٥	٣٦	١٣١	٢٥	٣٤
٦٢	١٢	٣٧	١١٠	٢١	٣٥
٤١	٨	٣٨	١٠٠	١٩	٣٦
١٥	٣	٣٩	٦٨	١٣	٣٧
٦٢	١٢	٤٠	٦٣	١٢	٣٨
٧٢	١٤	٤١	٣١	٦	٣٩
٦٢	١٢	٤٢	٥٢	١٠	٤٠
٩٣	١٨	٤٣	١٢٠	٢٣	٤١
١٠٨	٢١	٤٤	٠٥	١	٤٢
٦٢	١٢	٤٥	٢١	٤	٤٣
٤١	٨	٤٦	١٠	٢	٤٤
٣١	٦	٤٧	٦٦	٣	٤٥
٤١	٨	٤٨	٠٥	١	٤٦
٣١	٦	٤٩	٥٢	١٠	٤٧
٢٠	٤	٥٠	—	—	٤٨
٣٦	٧	٥١	٠٥	١	٤٩
٢١	٤	٥٢	—	—	٥٠
٢٦	٥	٥٣	—	—	٥١
٢١	٤	٥٤	٠٥	١	٥٢
٠٠	٢	٥٥			
%١٠٠	١٩٤		%١٠٠	١٩١	

جدول رقم (٣٩)

التوزيع الطولي لأسماك الحريد SCARIDS

المصاد بالشبكة القاعية الصغيرة (ماجه ٣٥ بوصة) - والقاعية الكبيرة (ماجه ٤٥ بوصة)

الشبكة القاعية الكبيرة			الشبكة القاعية الصغيرة		
النسبة المئوية	عدد الأسماك	الطول (سم)	النسبة المئوية	عدد الأسماك	الطول (سم)
-	-	٣١	١٩	٢	٣١
-	-	٣٢	١٠	١	٣٢
-	-	٣٣	٣٩	٤	٣٣
٨١	٣	٣٤	٣٩	٤	٣٤
٢٧	١	٣٥	٦٨	٧	٣٥
٢٧	١	٣٦	١٠٧	١١	٣٦
١٠٨	٤	٣٧	١١٧	١٢	٣٧
١٦٢	٦	٣٨	١٤٦	١٥	٣٨
١٣٥	٥	٣٩	١٢٦	١٣	٣٩
١٠٨	٤	٤٠	٧٨	٨	٤٠
٥٤	٢	٤١	٦٨	٧	٤١
٥٤	٢	٤٢	٦٨	٧	٤٢
١٦٢	٦	٤٣	١٩	٢	٤٣
-	-	٤٤	٣٩	٤	٤٤
-	-	٤٥	٢٩	٣	٤٥
٢٧	١	٤٦	٢٩	٣	٤٦
٪١٠٠	٣٧		٪١٠٠	١٠٣	

جدول رقم (٤٠)

NASO HEXACNTHUS التوزيع الطولي لأسماك السحل (أبو قرن)

المصاد بالشبكة القاعية الصغيرة (ماجرة ٣٥ بوصة) - والقاعية الكبيرة (ماجرة ٤٥ بوصة)

الشبكة القاعية الكبيرة			الشبكة القاعية الصغيرة		
النسبة المئوية	عدد الأسماك	الطول (سم)	النسبة المئوية	عدد الأسماك	الطول (سم)
٢٣	١	٣٣	٦	٣	٣١
١٨٢	٨	٣٤	٢٠	١	٣٢
٦	٣	٣٥	٦	٣	٣٣
١١٤	٥	٣٦	١٢٢	٦	٣٤
١٨٢	٨	٣٧	٦	٣	٣٥
١٣٦	٦	٣٨	-	-	٣٦
٤٥	٢	٣٩	٦	٣	٣٧
٤٥	٢	٤٠	١٢٠	١	٣٨
-	-	٤١	-	-	٣٩
-	-	٤٢	٤١	٢	٤٠
-	-	٤٣	٨٢	٤	٤١
٢٣	١	٤٤	١٤٣	٧	٤٢
٢٣	١	٤٥	٨٢	٤	٤٣
٦	٣	٤٦	٢٠	١	٤٤
-	-	٤٧	٤١	٢	٤٥
-	-	٤٨	٢٠	١	٤٦
٢٣	١	٤٩	٢٠	١	٤٧
٢٣	١	٥٠	٦	٣	٤٨
-	-	٥١	٢٠	١	٤٩
٢٣	١	٥٢	٤	٢	٥٠
-	-	٥٣	٢٠	١	٥١
-	-	٥٤	-	-	
٢٣	١	٥٥			
%١٠٠	٤٤		%١٠٠	٤٩	

جدول رقم (٤١)

التوزيع الطولي لأسماك الدرارك (الماكريل) SCOMBEROMORUS COMMERSOIN

المصاد بالشبكة القاعية الصغيرة (ماجه ٣٥ بوصة) - والقاعية الكبيرة (ماجه ٤٥ بوصة)

الشبكة القاعية الكبيرة			الشبكة القاعية الصغيرة		
النسبة المئوية	عدد الأسماك	الطول (سم)	النسبة المئوية	عدد الأسماك	الطول (سم)
٤٢	١	٣٩	١٩	١	٣٢
-	-	٤٠	٣٧	٢	٣٣
-	-	٤١	١٩	١	٣٤
٢٠٨	٥	٤٢	١٩	١	٣٥
١٢٥	٢	٤٣	-	-	٣٦
-	-	٤٤	١٩	١	٣٧
٢٥٠	٦	٤٥	-	-	٣٨
٨٣	٢	٤٦	٣٧	٢	٣٩
٨٣	٢	٤٧	٧٤	٤	٤٠
٤٢	١	٤٨	-	-	٤١
٤٢	١	٤٩	١٣-	٧	٤٢
-	-	٥٠	٣٧	٢	٤٣
٨٣	٢	٥١	١١١	٦	٤٤
٤٢	١	٥٢	١١١	٦	٤٥
			١٩	١	٤٦
			١٣٩	٥	٤٧
			١١١	٦	٤٨
			٥٦	٣	٤٩
			٣٧	٢	٥٠
			-	-	٥١
			-	-	٥٢
			٦٥	٣	٥٣
			١٩	١	٥٤
			-	-	٥٥
%١٠٠	٢٤		%١٠٠	٥٤	

جدول رقم (٤٢)

التوزيع الطولى للأسماك قملة البياض وأسماك الغنم CAESIO CAERULAUREUS

المصاد بالشبكة القاعية الصغيرة (ماجه ٣٥ بوصة)

د - ٢ - ٣ - ٤ - علاقـة طـول السـمـكـة بـعـضـهـا :

دراسة العلاقة بين طول السمكة وعرضها لها أهمية خاصة بالنسبة لدراسة الشباك وكيفية الأمساك بالأسماك - حيث أن الشباك غالباً ما تمسك بالأسماك عن طريق امكانية مرورها أو عدم مرورها بفتحات (عيون) الشبكة . وعليه فإن دراسة عرض الأسماك وعلاقتها بالطول تتوضع أطوال الأسماك التي يمكن صيدها بشبكة ذات ماجه محددة .

والعلاقة بين طول السمكة وعرضها يمكن تمثيلها بالمعادلة ($G = a + bL$) حيث G عبارة عن عرض السمكة L , Fish Girth Constants a & b عبارة عن ثوابت يمكن حسابها بالطرق الرياضية البسيطة .

ولقد تم حساب هذه المعادلة بالنسبة لبعض الأسماك باستخدام الجداول (٤٤ - ٤٧) والخاصة بعلاقة الطول بالعرض لهذه الأسماك ونتج عن ذلك المعادلات التالية :

$G = - 12.333 + 3.111 L$	أسماك البياض :
$G = - 0.517 + 2.864 L$	أسماك الحريد :
$G = - 0.941 + 2.963 L$	أسماك السحل :
$G = - 32.999 + 3.395 L$	أسماك البار :
$G = - 0.428 + 1.755 L$	أسماك الدرارك :
$G = - 37.027 + 3.601 L$	أسماك الغنم :
$G = - 56.186 + 3.091 L$	أسماك قملة بياض :

كما يمكن تمثيل هذه العلاقة بيانياً عن طريق رسم بياني بين أطوال الأسماك المصادة ومتوسط العرض لكل طول (شكل (٢٨))

ومن هذه المعادلات والرسم البياني يمكن حساب عرض السمكة ذات الطول الأمثل بالنسبة لماجه الشبكة موضوع الدراسة . وهذا يمكننا من الحصول على علاقة أخرى بين عرض السمكة وحجم الماجه المستخدمة ($G = a + b \emptyset$) حيث G عبارة عن عرض السمكة Girth ، \emptyset هي حجم الماجه المستخدمة .

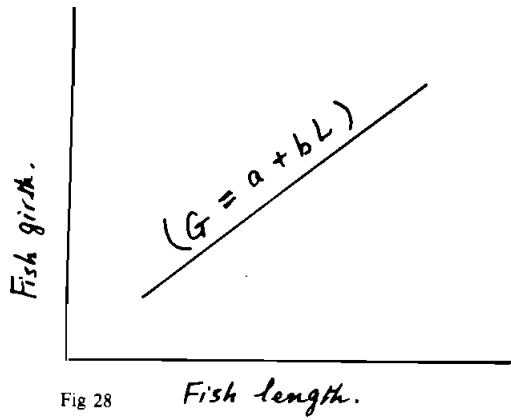


Fig 28

Fish length.

• تجربة طول سمكة بعرضها : (ex) ↗

Fig 28

جدول رقم (٤٤)

العلاقة بين الطول والعرض لأسماك البياض والحريد والسحل « بدون قرن »
المصاددة بالشباك الخيشومية

أسماك السحل « بدون قرن »		أسماك الحريد		أسماك البياض		الطول الكلي (سم)
متوسط العرض	عدد الأسماك	متوسط العرض	عدد الأسماك	متوسط العرض	عدد الأسماك	
٩-	١	-	-	٧٥	٢	٣٠
٩٣	٣	٩٠	٢	٨٦	٦	٣١
٩٦	١	٩٢	١	٩٠	٦	٣٢
٩٨	٤	٩٤	٤	٩٢	٣٣	٣٣
١٠٣	٦	٩٨	٨	٩٨	٢٩	٣٥
١٠٨	٥	١٠٢	١٣	١٠-	٢٥	٣٦
١١-	١١	١٠٦	١٨	١٠٣	٢٦	٣٧
١١٢	٧	١٠٩	٢٢	١٠٦	٢١	٣٨
١١٤	٢	١١٢	١٦	١١-	١٠	٣٩
١١٧	٤	١١٤	١٣	١١٢	٢٣	٤٠
١٢-	٤	١١٦	٩	١١٣	٣٧	٤١
١٢٣	٧	١١٩	٩	١١٦	١٣	٤٢
١٢٥	٤	١٢٢	٨	١٢-	٢٣	٤٣
١٢٨	٢	١٢٥	٤	١٢٣	٢٣	٤٤
١٣٢	٣	١٢٧	٣	١٢٩	١٥	٤٥
١٣٥	٤	١٣-	٤	١٣-	٩	٤٦
١٣٨	١	١٣٥	٢	١٣٢	٧	٤٧
١٤-	٣	١٤-	١	١٣٥	٨	٤٨
١٤٣	١٠	-	-	١٣٩	١٠	٤٩
١٤٥	٣	-	-	١٤٥	٤	٥٠
١٥٠	١	-	-	١٤٨	٧	٥١
١٥٥	١	-	-	١٥٠	٥	٥٢
-	-	-	-	١٥٣	٥	٥٣
-	-	-	-	١٥٦	٤	٥٤
-	-	-	-	١٦٠	٢	٥٥

جدول رقم (٤٥)

علاقة الطول بالعرض لأسماك البار المصادرة بالشباك الخيشومية

متوسط العرض	عدد الأسماك	الطول سم	متوسط العرض	عدد الأسماك	الطول سم
١٥-	١	٥٦	٨-	١	٣٤
١٥٥	٢	٥٧	-	-	٣٥
١٦-	٢	٥٨	٩٠	٢	٣٦
١٧٠	٦	٥٩	٩٥	٤	٣٧
١٧٥	٢	٦٠	٩٨	٤	٣٨
١٨-	٢	٦١	١٠٠	١	٣٩
١٨٢	٤	٦٢	١٠٥	٥	٤٠
١٨٥	١٠	٦٣	١١٠	١	٤١
١٨٧	٣	٦٤	١١٥	٤	٤٢
١٩-	١	٦٥	-	-	٤٣
١٩٣	٦	٦٦	١٢٠	٤	٤٤
١٩-	٣	٦٧	١٢٠	٤	٤٥
١٩٥	٣	٦٨	١٢٥	١	٤٦
-	-	٦٩	-	-	٤٧
٢٠-	٤	٧٠	-	-	٤٨
-	-	٧١	١٣٠	٢	٤٩
٢١-	٢	٧٢	١٣٥	٢	٥٠
٢١٥	١	٧٣	-	-	٥١
٢٢-	١	٧٤	١٣٥	١	٥٢
٢٣-	١	٧٥	١٤٠	٢	٥٣
-	-	-	١٤٥	١	٥٤
-	-	-	١٥-	٣	٥٥

جدول رقم (٤٦)

العلاقة بين الطول والعرض لأسماك الدرارك المصادة بالشباك الخيشومية

متوسط العرض	عدد الأسماك	الطول سم		متوسط العرض	عدد الأسماك	الطول سم
٧ر٠	٤	٤٠		٤٥	١	٢٤
-	-	٤١		-	-	٢٥
٧ر٢	١٢	٤٢		-	-	٢٦
٧ر٣	٥	٤٣		٥٠	١	٢٧
٧ر٢	٦	٤٤		-	-	٢٨
٧ر٥	١٢	٤٥		٥٠	٢	٢٩
٧ر٦	٣	٤٦		٥٥	١	٣٠
٧ر٨	٧	٤٧		-	-	٣١
٨ر١	٧	٤٨		٦٠	١	٣٢
٨ر٥	٤	٤٩		٦٠	٢	٣٣
٨ر٧	٢	٥٠		٦٠	١	٣٤
٩ر٠	٢	٥١		٦٥	١	٣٥
٩ر٥	١	٥٢		-	-	٣٦
٩ر٧	٣	٥٣		٦٥	١	٣٧
١٠ر٠	١	٥٤		-	-	٣٨
-	-	٥٥		٦٥	٢	٣٩

جدول رقم (٤٧)

العلاقة بين الطول والعرض لأسماك الغنم وأسماك قملة البياض المصادقة الشراك الخشومية

أسماك قملة اليابس			أسماك الغنم		
متوسط العرض	عدد الأسماك	الطول سم	متوسط العرض	عدد الأسماك	الطول سم
٨ر٠	١	٤٥	٤٥	٢	٢٢
٨٥	٢	٤٦	٤٨	١	٢٣
٩ر٠	٧	٤٧	٥١	٨	٢٤
٩٣	١٣	٤٨	٥٠	١٣	٢٥
٩٧	٧	٤٩	٥٦	٢٥	٢٦
١٠ر٠	١٢	٥٠	٥٨	٣٨	٢٧
١٠٣	٦	٥١	٦٠	٢٥	٢٨
١٠٥	١	٥٢	٦٥	٢٤	٢٩
١٠٧	٢	٥٣	٧١	٣٤	٣٠
١١ر٠	١	٥٤	٧٥	٢٤	٣١
١١٠	١	٥٥	٨٠	٢	٣٢
			٨٥	١	٣٣

د - ٣ - ٣ - ٥ - العلاقة بين طول السمكة وزنها :

لدراسة سرعة نمو الأسماك في الوزن لابد من تحديد العلاقة بين أطوال الأسماك وأوزانها - وتعتبر دراسة العلاقة بين طول السمكة وزونها من أهم الدراسات المتعلقة ببيولوجيا مصايد الأسماك . اذ بعد الحصول على هذه العلاقة للأسماك الحارى دراستها يمكن بمعرفة أوزانها فقط ايجاد الأطوال المقابلة لكل وزن - وبالعكس يمكن بمعرفة الأطوال ايجاد الأوزان المقابلة لكل طول .

من المعروف أنه كلما كبرت السمكة في الطول كبرت في الوزن أيضاً - حيث توجد علاقة طردية (موجبة) بين طول السمكة وزنها . الا أن الزيادة في الوزن مرتبطة بحجم السمكة أكثر من ارتباطها بمجرد الطول - لذلك فإن الوزن غالباً ما يكون مرتبطاً بمكعب الطول . ولقد أطلق العلماء على هذه العلاقة « معامل الحالة Condition factor » .

ولما كانت الأجزاء المختلفة من السمسكة تنمو ينبع مختلفة أثناء فترة حياتها - لذلك نجد أن علاقة

مكعب الطول لا يصح أن تتدرب على العلاقة بين الطول والوزن طوال فترة حياة السمكة . والشاهد على ذلك كثيرة . لذلك فقد وجد العلماء أن العلاقة بين طول السمكة وزنها خلال فترة حياتها يمكن تمثيلها بالمعادلة التالية أصدق تمثيل $W = cL^n$ OR $\log W = \log c + n \log L$ حيث W = وزن السمكة ، L = طول السمكة ، (c & n) عبارة عن ثوابت Constants يمكن إيجاد قيمتها رياضيا .

بحساب العلاقة بين الطول والوزن لأهم الأسماك المصاددة بالشباك الخيشومية (جداول ٤٨ - ٥١) - حصلنا على المعادلات الآتية :

أسماك البياض بأطوال من ٣٠ الى ٥٥ سم وعدها ٣٩٢ سمكة

$W = - 1.002 + 2.475 \log L$

أسماك الحرير بأطوال من ٣١ الى ٤٨ سم وعدها ١٤٥ سمكة

$W = - 2.015 + 3.140 \log L$

أسماك السحل بأطوال من ٣٠ الى ٥٢ سم وعدها ١٠٧ سمكات

$W = - 0.956 + 2.435 \log L$

أسماك البار بأطوال من ٣٤ الى ٧٥ سم وعدها ٩٥ سمكة

أسماك قملة البياض بأطوال من ٤٥ الى ٥٥ سم وعدها ٥٣ سمكة

$W = - 2.861 + 2.418 \log L$

أسماك الغنم بأطوال من ٢٢ الى ٣٣ سم وعدها ١٩٧ سمكة

$W = - 0.6208 + 2.1924 \log L$

أسماك الدارك بأطوال من ٢٩ الى ٤٥ سم وعدها ٨٠ سمكة

ويكن توضيحاً العلاقة بين الطول والوزن لأية سمكة عن طريق الرسم البياني (شكل ٢٩) حيث يمثل الاحداثي السيني أوزان الأسماك والابعادي الصادي أطوال الأسماك .

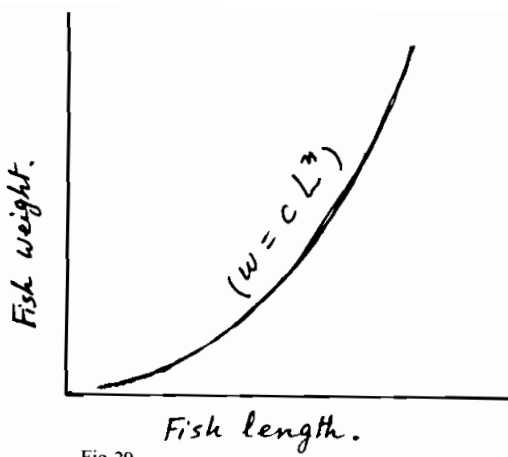


Fig 29

شكل (٢٩) : مخطط طول السمكة بوزنها .

Fig 29

جدول رقم (٤٨)

**العلاقة بين الطول والوزن لأسماك البياض والحريد والسحل
المصادة بالشباك الخيشومية**

أسماك السحل « بدون قرن »	أسماك الحريد		أسماك البياض		الطول الكلي (سم)
	متوسط العرض	عدد الأسماك	متوسط العرض	عدد الأسماك	
٣٢٠	١	—	—	٤١٠	٣٠
٣٨٧	٢	٦٢٠	٢	٤٣٧	٣١
٤٠٠	١	٦٥٠	١	٤٧٠	٣٢
٤٦٢	٤	٦٨٠	٤	٥٠٢	٣٣
٥١٢	٢١	٧٠٨	٨	٥٦٦	٣٤
٥٨٧	٦	٧٣٨	٨	٦٠٢	٣٥
٦٢٥	٥	٧٧٠	١٣	٦٥٣	٣٦
٦٦٦	١١	٨١٥	١٨	٧٩٥	٣٧
٦٨١	٧	٨٥٨	٢٢	٧٦٦	٣٨
٧٣٥	٢	٩٠٨	١٦	٧٩٦	٣٩
٨٤٠	٤	٩٩٥	١٣	٨٧٤	٤٠
٩٨٠	٤	١٠٤٣	٩	٩٧٥	٤١
١٠٩٠	٦	١١١٠	٩	١٠٠٥	٤٢
١١٨٠	٤	١١٨٥	٨	١١٣٠	٤٣
١٢٠٠	٢	١٢٥٠	٤	١٢٠٨	٤٤
١٢٦٧	٣	١٢٧٠	٣	١٣٠١	٤٥
١٣١٣	٤	١٤٤٨	٤	١٣٥٣	٤٦
١٤٠٠	١	١٦٥٠	٢	١٤٣٧	٤٧
١٥٣٠	٣	١٨٥٠	١	١٥٦٠	٤٨
١٧٦٠	١٠			١٦٢١	٤٩
٢٠٠٠	٣			١٧٩٥	٥٠
٢٣٠٠	١			١٨٧١	٥١
٢٣٠٠	١			١٩٠٠	٥٢
				٢١٣٠	٥٣
				٢٢٤٨	٥٤
				٢٣٠٠	٥٥

جدول رقم (٤٩)

علاقة الطول بالوزن لأسمك البهار المصادة بالشباك الحيشومية

متوسط العرض	عدد الأسماك	الطول سم	متوسط العرض	عدد الأسماك	الطول سم
٢٨٠٠	١	٥٦	-	-	٣٤
٢٩٢٥	٢	٥٧	٧٠٠	١	٣٥
٣٢٥٠	٢	٥٨	٧٥٠	٢	٣٦
٣٣٦٧	٦	٥٩	٧٨٥	٤	٣٧
٣٤٥٠	٢	٦٠	٨٧٥	٤	٣٨
٣٥٠٠	٢	٦١	٩٠٠	١	٣٩
٣٨٧٥	٤	٦٢	١٠٠٠	٥	٤٠
٤٠٢٠	١٠	٦٣	١١٠٠	١	٤١
٤٢٣٣	٣	٦٤	١٢٠٠	٤	٤٢
٤٤٠٠	١	٦٥	-	-	٤٣
٥٠٠٠	٦	٦٦	١٣٠٠	٤	٤٤
٥١٦٧	٣	٦٧	١٤٠٠	٤	٤٥
٥٣٣٣	٣	٦٨	١٥٠٠	١	٤٦
-	-	٦٩	-	-	٤٧
٥٧٢٥	٤	٧٠	-	-	٤٨
-	-	٧١	١٧٥٠	٢	٤٩
٦٠٠٠	١	٧٢	١٨٥٠	٢	٥٠
٦٢٠٠	١	٧٣	-	-	٥١
٦٥٠٠	١	٧٤	٢٢٠٠	١	٥٢
٧٠٠٠	١	٧٥	٢٤٠٠	٢	٥٣
			٢٥٠٠	١	٥٤
			٢٦٦٨	٣	٥٥

جدول رقم (٥٠)

العلاقة بين الطول والوزن للأسماك الدرارك المصادة بالشباك الخيشومية

متوسط العرض	عدد الأسماك	الطول سم		متوسط العرض	عدد الأسماك	الطول سم
-	-	٤١		٧٥٠	٢	٢٩
٦٥٠	١٢	٤٢		٤٠٠	١	٣٠
٦٩٢	٥	٤٣		-	-	٣١
٧٢٥	٦	٤٤		٤٥٠	١	٣٢
٧٦٧	١٢	٤٥		٤٨٠	٢	٣٣
٧٨٧	٣	٤٦		٥٠٠	١	٣٤
٨٥٦	٧	٤٧		٥٢٠	١	٣٥
٨٩٣	٧	٤٨		-	-	٣٦
٩٣٨	٤	٤٩		٥٠٠	١	٣٧
١٠٠٠	٢	٥٠		-	-	٣٨
١٠٥٠	٢	٥١		٦٠٠	٢	٣٩
١٢٠٠	١	٥٢		٦١٣	٤	٤٠
١٣٠٠	٣	٥٣		-	-	٤١
١٣٥٠	١	٥٤				

جدول رقم (٥١)

**العلاقة بين الطول والوزن لأسماك الغنم وأسماك قملة البياض
المصادرة بالشبكة الخيشومية**

أسماك قملة البياض			أسماك الغنم		
متوسط العرض	عدد الأسماك	الطول سم	متوسط العرض	عدد الأسماك	الطول سم
٦٠٠	١	٤٥	٢٠٠	٢	٢٢
٦٥٠	٢	٤٦	٢٣٠	١	٢٣
٧٢٢	٧	٤٧	٢٧٥	٨	٢٤
٨٠٣	١٣	٤٨	٢٨٩	١٣	٢٥
٨٥٠	٧	٤٩	٣٠٨	٢٥	٢٦
٨٩٧	١٢	٥٠	٣٢٥	٣٨	٢٧
٩٦٧	٦	٥١	٣٥٧	٢٥	٢٨
١٠٠٠	١	٥٢	٣٨٧	٢٤	٢٩
١٠٥٠	٢	٥٣	٤٠٨	٣٤	٣٠
١١٠٠	١	٥٤	٤٣٢	٢٤	٣١
١٢٠٠	١	٥٥	٤٧٥	٢	٣٢
			٥٠٠	١	٣٣

د - ٤ - الخلاصة :

أولاً : (١) كمية الانتاج في وحدة الجهد لمصايد السنار اليدوى ٣ كجم / صياد / ساعة في حين كانت تصل الى ١٠ كجم / صياد ساعة في سنة ١٩٥٤ م .

(٢) أنساب الحيوط المستعملة في الصيد الخيط رقم ٨٠-٧٠ والسنار رقم ٦-٧ .

ثانياً : (١) لقد أوضحت المشاهدات وتجارب الصيد بواسطة الاضاءة على امكانية صيد الأسماك العائمة بواسطة الشباك الخيطية (الشانشولا) - وهنا لابد من توضيع أن استعمال مثل هذه الشباك في صيد الأسماك السطحية لا يمثل آية خطورة على مصايد الأسماك بالمنطقة - حيث أن هذه الأسماك من الأسماك المهاجرة وصيدها لا يمثل آية خطورة على مصايد الأسماك بصفة عامة .

وقد خلصت النتائج الى ما يلى :

(١) هناك انتاجية عالية لمصايد الشانشولا ويمكن اعتبار هذه المناطق الثلاث مناطق جديدة واقتصادية وهي :

- أ) في محطات المشروع أمام رابع .
- ب) في محطات المشروع أمام تورو .
- ج) حوالي ٣٠ كم شمال أبيعر في منطقة محطة رقم (٢) .

(٢) تتكون حصيلة الأسماك التي تجتمع على الضوء والتي تصاد بشباك الشانشولا حسب الأهمية .

- أ) السردين .
- ب) مجموعة أسماك (الاسكومبرى) الباغة وغيرها .
- ج) البياض الصغير أو مجموعة الأسماك السطحية عموماً .
- د) ما يتجلو في المنطقة من أسماك تتغذى على الأسماك السطحية آه) الجبارة .

ثالثاً : (١) بالنسبة لانتاجية الشباك الخيشومية في منطقة البحث تراوحت كما يلى :

- أ) انتاج على أكثر من ١٠٠ كجم / ليلة .
- ب) انتاج جيد ٨٥-٧٥ كجم / ليلة .
- ج) انتاج متوسط ٣٥-٢٠ كجم / ليلة .

- د) انتاج ضعيف ١٠ كجم / ليلة .
- بمتوسط عام لمنطقة المشروع من ٥١٢٥ الى ٥٧٥ كجم / ليلة وهو انتاج يعتبر جيد .
- (٢) أكثر المناطق انتاجية هي المحطة رقم (٩) وهي أمام منطقة « مستورة » وكذلك المحطة رقم (١) وهي أمام شرم أبجر .
- (٣) الطول الأمثل للأسمك المصاداة بالشباك القاعية الصغيرة ماجه ٣٥ بوصة هي لكل من البياض ، الحرید ، أبو قرن ، الدراك ، قملة البياض ، الغنم (٣٣ ، ٣٨ ، ٤٢ ، ٤٩ ، ٤٢ ، ٤٩ ، ٤٢ ، ٤٩ على التوالي) ودرجات الاختبارية على التوالي كذلك ٣١٢ ر.٠ ، ٢٣٤ ر.٠ ، ٢١٢ ر.٠ ، ١٨٢ ر.٠ ، ٢٧٠ ر.
- (٤) الطول الأمثل للأسمك المصاداة بالشبكة القاعية الكبيرة (ماجه ٤٥ بوصة) لكل من البياض ، الحرید ، أبو قرن ، الدراك ، ٤٤ ، ٤٣ ، ٤٦ ، ٤٥ . ودرجة الاختبارية ٢٥٩ ر.٠ ، ٢٦٥ ر.٠ ، ٢٤٨ ر.٠ ، ٢٥٣ ر.٠ على التوالي .
- (٥) لقد أوضحت تجارب الصيد التجاربي بأن نسبة القرрош في مصايد الشباك الخيشومية في المنطقة تصل إلى حوالي ٤٥٪ وهي نسبة قليلة بالمقارنة مع انتاج المناطق الأخرى التي وصلت في بعضها إلى أكثر من ٧٥٪ من المصيد . ويرجع السبب في ذلك إلى أن منطقة (جدة - ينبع) تعتبر من أكثر المناطق استغلال الأمر الذي يقلل من نسبة القرрош بها .
- (٦) أحسن مصيد عندما يكون عمق الماء في منطقة الصيد يماثل عمق الشبكة تقريراً حتى لا تكون هناك فرصة لخروب الأسماك .
- (٧) زيادة عرض الشبكة يزيد من انتاجيتها .
- (٨) وضع الشباك بالنسبة للشعاب المرجانية (مواجهة أو عمودية أو مائلة) وكذلك بالنسبة لاتجاه الرياح والأمواج - يؤثر كل ذلك على انتاجية الشباك .

د - ٣ - المراجع

- د . عبد الرحمن الخولي (١٩٦٥) : مصايد البحر الأحمر - المؤسسة العامة للثروة المائية - مطابع الهلال - القاهرة .
- د . عبد الرحمن الخولي (١٩٧٢) : الثروة السمكية بالدول العربية - سلسلة الدراسات الموسعة - المنظمة العربية للتربية والثقافة والعلوم .

- Botros, G.A. 1971: Fishes of the Red Sea Oceanogr. Mar. Biol. Ann. Rev. Vol. 9, Publ. George Allen and Unwin Ltd., London.
- CLARK, E.; BEN - TUVIA, A. and STEINITZ, H. 1968 *Bull. Sea Fish. Res. Stn. Israel. no. 49.*
- El Saby, M.K. and Farina, L. 1954. Report to the Government of Saudi Arabia on possibilities for development of marine fisheries. FAO/EPTA Report No. 330.
- Ferrer, G.G. 1958. Report to the Government of Saudi Arabia on the exploration and commercial fishing operation in the Red Sea. FAO/EPTA Report No. 877.
- GOLDMAN, B. and TALBOT, F.H. 1976. pp185-54 in *Biology and Geology of Coral Reefs*, ed. O.A. Jones and R.Epdean, vol. 3 Biology2, Academic Press, New york.
- Munro, J.L., 1976, Potential productivity of coral reef fisheries. In: Ecology and Conservation in Papua New Guinea. Wau Ecol. Inst. Pamphle No. 2, p. 90-97.
- Mustaller, M. 1982: Maricultural Development and Management of shallow water Marine Resources in the Sudanese Red Sea. J. Fuc. Mar. 24, Vol. 2, 37-43.
- Neve, P. and Al-Aiidy, H. 1972 Red Sea fish: Check list No. 1. Bull. Mar. Res. Centre No. 2 Marine Research Centre, P.O.Box 2580, Jeddah, Saudi Arabia, 13pp.
- Peacock, N.A. 1979. The Fishery Resource Survey of Saudi Arabian Red Sea Field Report No. 40.Mar. Res. Centre, Jeddah, Saudi Arabia.
- Peter, Forsskal 1961-67 Expedition to "Arabia Felix".
- Stephenson, D.K. & Marshall, N. 1974: Generalisations on the fisheries potential of coral reefs and adjacent shallow water environments. Proc. II Int. Symp. Coral Reefs, Brisbane, P. 147-156.

هـ - ملحوظ

هـ - ١ - وصف عام لمركب الأبحاث ابن ماجد والمركب عقام



السفينة « ابن ماجد » :

بنيت السفينة عام ١٩٧٦ م كسفينة صيد تجاري بأسانيا

ولقد بنيت بناء على تصميم هيئة السمك الأبيض تقوم بعمليات صيد مختلفة وعديدة .

وهي من النوع الذى بني على أساس الجر الخلفى

ولقد أعدت السفينة تقوم بثلاث مهام رئيسية :

(أ) تقوم بأعمال المصايد في المناطق الساحلية وفي البحر المفتوح للأنواع المختلفة من وسائل الصيد وذلك للحصول على معلومات تفيد في التخطيط للحصول على الانتاج الأقصى من الخرون المتاح .

(ب) تكون قادرة على عمليات التداول والحفظ للأسماك بطرق عده .

(ج) لتسهيل عمليات التدريب التقنى للمساعدين والفنين والصيادين .

ولقد زودت السفينة بمجموعات رadar وأجهزة راديو مكثفة ، ولتعمل السفينة خارج نطاق نظام دكا أو لوران .

وللسفينة توجيه من القمر الصناعى

وقيادة ذاتية وبوصلة جิرو

وأعمال المصايد بالسفينة جهازى اكوسوندرز عموديان

والجر - توجد الأوناش والكابلات اللازمة للجر في جميع الأعماق . وفي السفينة مكان لعدد (١٧) ضابط وبحار على النحو التالي : ثلاثة حجرات مستقلة . وثلاثة سعة شخصين ، وحجرتان تسع كل منها لأربعة أفراد

وحيث أن السفينة سوف تعمل بـ ١١ ضابط وبحار فقط فيكون هناك مكان لأربعة بحاث وتقنيين ومتدربين .

ويوجد معمل ٧م^٢ ومكان لمعالجة الأسماك ١٥م^٢ . ومكان للمخراط في غرفة القيادة . وكل الأماكن مكيفة الهواء .

ولقد صممت السفينة أصلاً تقوم بأعمال الصيد بشباك الجر ، والشباك الحلقة - والطرق الأخرى كعمليات الصيد بالشباك الخيشومة والشرك السنارى ، والجوابى (سخاوى) .

وتم وضع الأوناش اللازمة - ٢ ونش للجر والشاشول بقدرة شد ٧ طنا لكل ونش ، وبكرة

• الشباك تعمل هيدروليك ويوجد كذلك بمحمد سعة ٢٥ طن في اليوم عمودى ومحمد أفقي للفيليه والجزاء المقطعة والأسماك الصغيرة سعة ٢٥ طن في اليوم ، وتجميد سريع بطاقة ١٠ طن في اليوم . والأسماك الجمدة تحفظ في مخزن مبرد (-٢٥° م) بطاقة كلية ١٦ طنا .

والمواصفات الأساسية كالتالى :

الطول الكلى ٣٤٩٥ مترا

الطول عند خط الماء ٣١٣٥ مترا

الطول بين عمودين : ٢٩٠ متر
العرض : ٨٣٠ متر
عمق السفينة : ٤٢٠ متر
مخزن للأسماك .٤٠ م٣ تقريريا
حجرة مبردة ٣٨٣ م٣ تقريريا
خزان وقود ٦٣ طن تقريريا
خزان مياه عذبة ٣٣ طن تقريريا
معمل ٧ متر^٢
مكان لمعاملة السمك ١٥ متر
مكان للبحث ٤٢ م^٢
ماكينة واحدة أساسية قوة ٦٣٥ كيلو فولت أمبير
ماكينات مساعدة ١٣٠ كيلوفولت أمبير
٥٧٥ فـ أ من الماكينة الأساسية وكلها ٢٢٠ فولت ،
ويعمل على المركب كابتن، مهندس أول ، مهندس ثان
كهربائي
طباخ أول ، طباخ ثانى
وستة بخارية ، فيكون العدد الكلى (١٢)
وأما المركب الأخرى المساعدة « عقام » فهي تقوم بعمليات المناورة والقاء ورفع الشباك
الخيشومية على الشعب المرجانية .
بنيت سنة ١٩٧٩ م .
الطول ١٠ متر
العرض ٦ متر
السرعة ٦ عقدة
وفيها الوسائل المساعدة الآتية :
رادار - فيادة أوتوماتيكية - جهاز سير الأعماق - امكانيات مساعدة من ونش وخلافه ،
٦ بخارية